

COLEMAN LIBRARY
GEOLOGY AND MINERALOGY
ROOM 7-413, MINING BLDG.
UNIVERSITY OF TORONTO
Books to be signed for when
borrowed and must be return-
ed within two weeks.
This book belongs in case 23



Digitized by the Internet Archive
in 2014

<https://archive.org/details/atlasderkrystalltaf08gold>

metal.
G.

ATLAS
DER
KRYSTALLFORMEN
VON
VICTOR GOLDSCHMIDT

TAFELN

BAND VIII.
SAFFLORIT — TOPAS

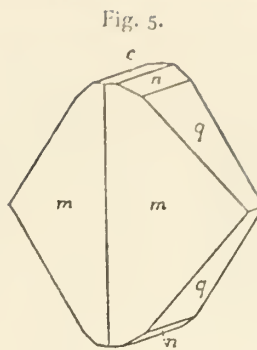
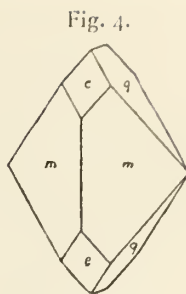
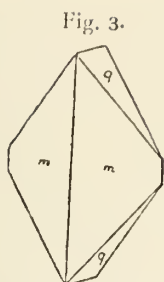
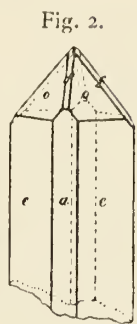
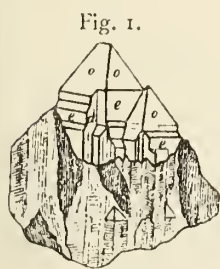
201106
6/3/26



CARL WINTERS UNIVERSITÄTSBUCHHANDLUNG
HEIDELBERG 1922

Germany

Safflorit



Salmiak

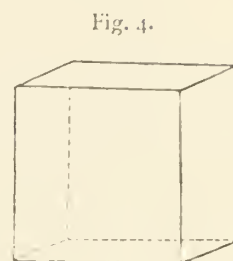
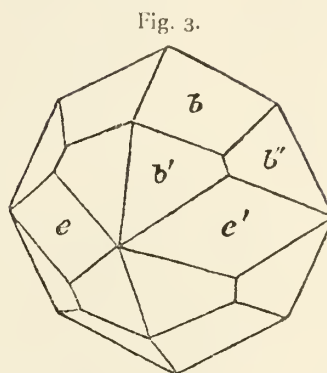
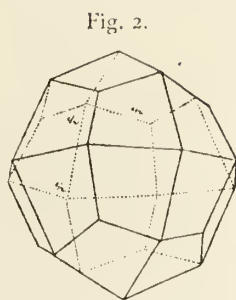
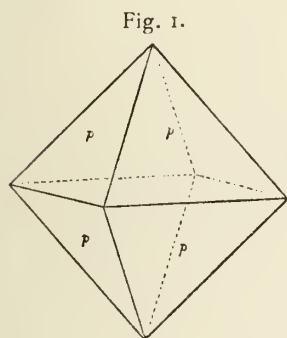


Fig. 5.

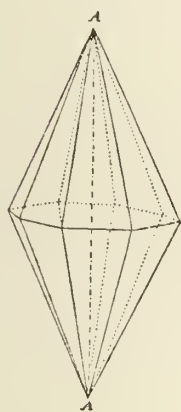


Fig. 6.

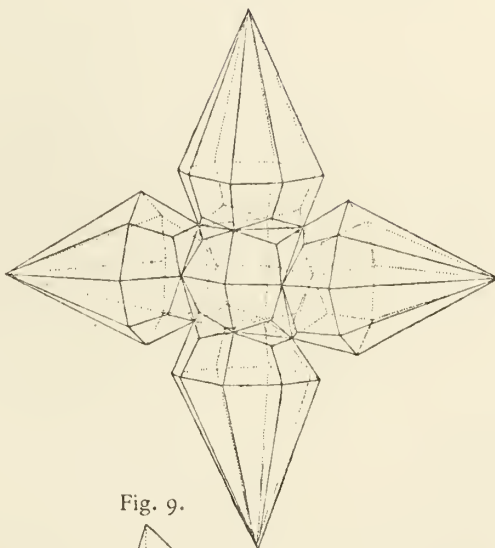


Fig. 7.



Fig. 8.

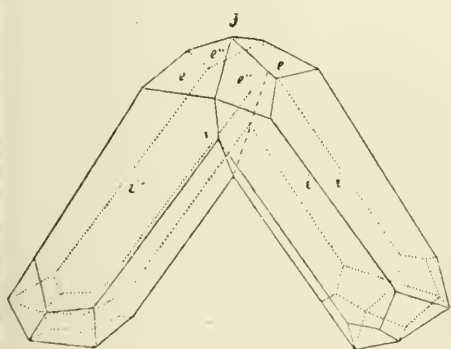


Fig. 9.

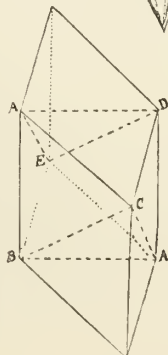


Fig. 10.

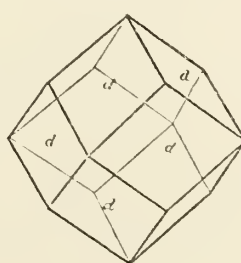


Fig. 11.



Fig. 12.



Salmiak

Fig. 13.

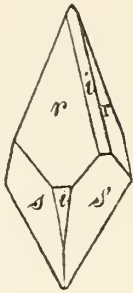


Fig. 14.

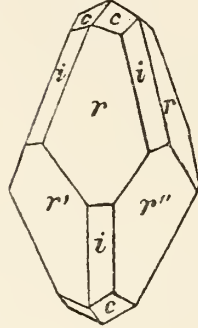


Fig. 15.

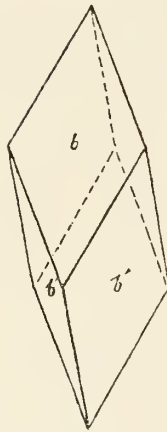


Fig. 16.

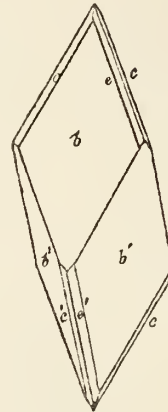


Fig. 17.

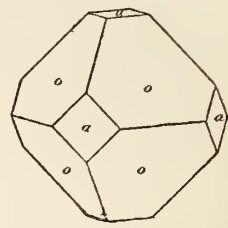


Fig. 18.

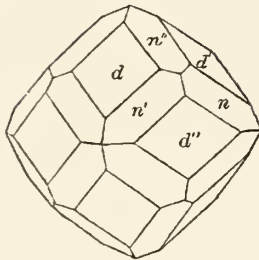


Fig. 19.

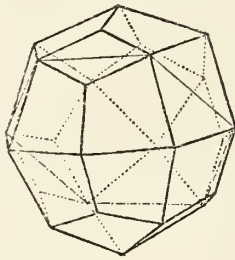


Fig. 20.

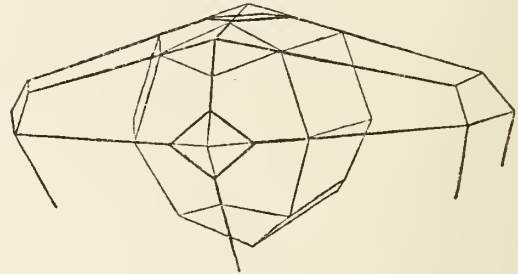


Fig. 21.

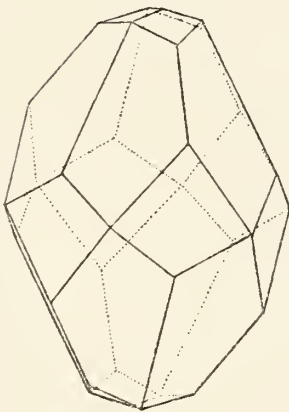


Fig. 22.



Fig. 23.

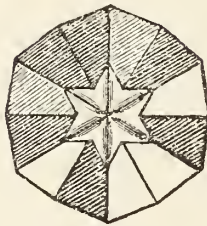


Fig. 24.

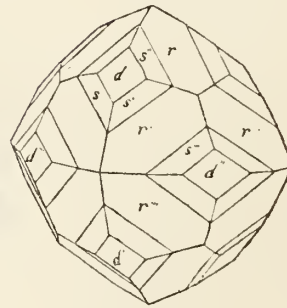


Fig. 28.

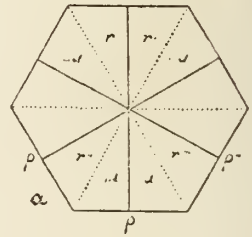


Fig. 25.

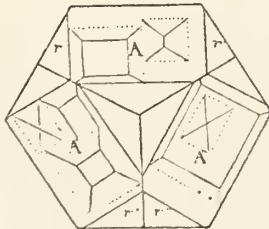


Fig. 26.

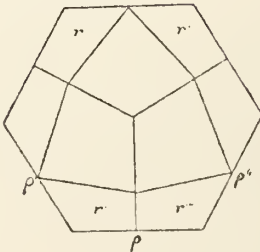
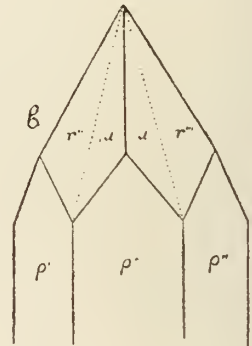
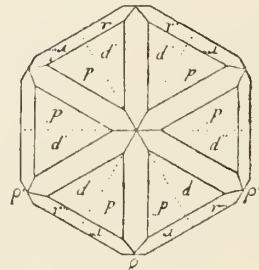


Fig. 27.



Salmiak

Fig. 45.

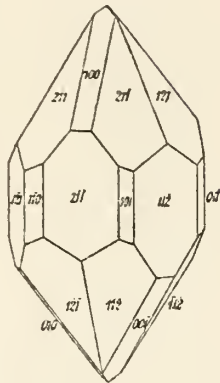


Fig. 46.

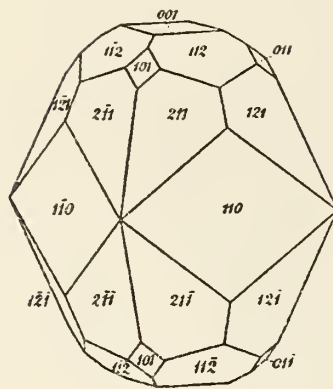


Fig. 47.

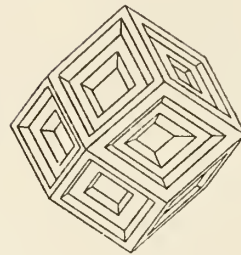


Fig. 48.

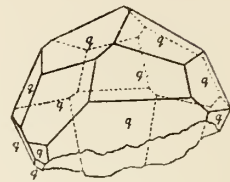


Fig. 49.

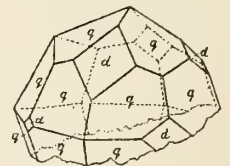


Fig. 51.

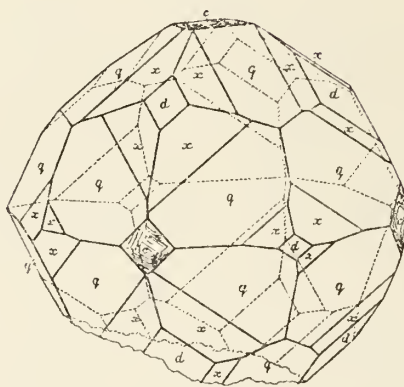


Fig. 50.

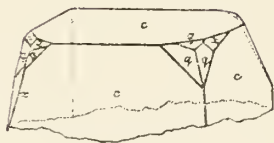


Fig. 52.

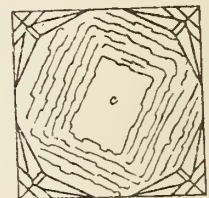


Fig. 53.

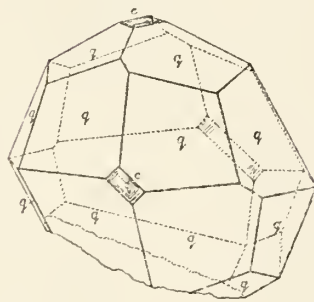


Fig. 54.

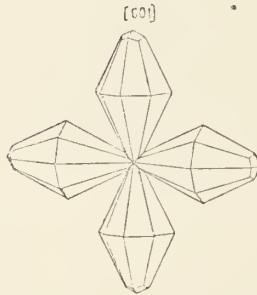


Fig. 55.

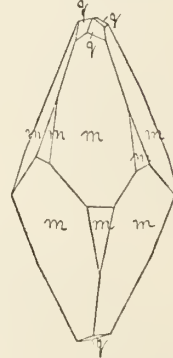


Fig. 56.

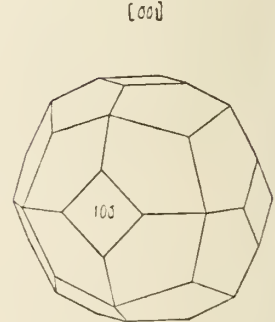


Fig. 57.

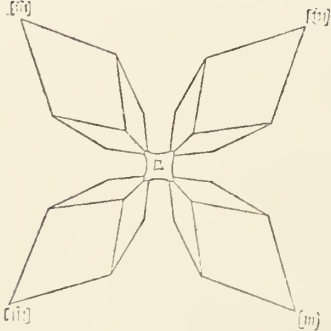


Fig. 58.

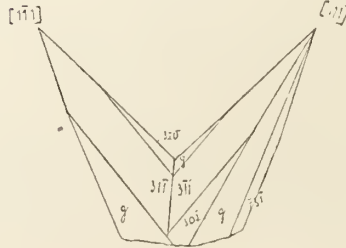
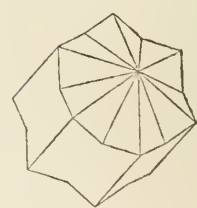


Fig. 59.



Samarskit

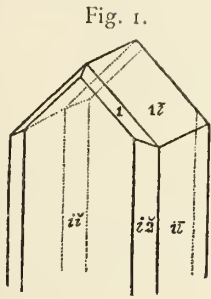


Fig. 1.

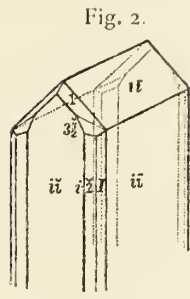


Fig. 2.



Fig. 3.

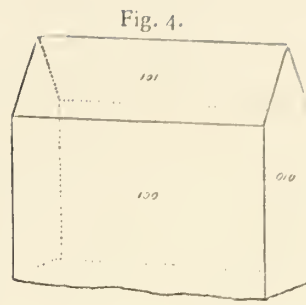


Fig. 4.



Fig. 5.

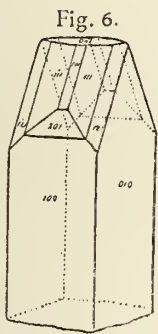


Fig. 6.

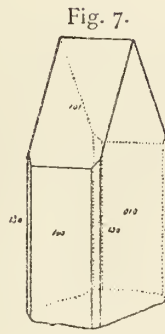


Fig. 7.

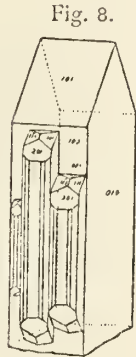


Fig. 8.



Fig. 9.

Samiresit

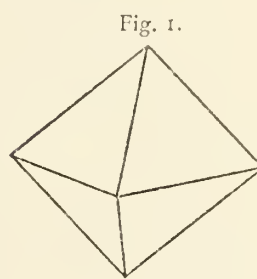


Fig. 1.

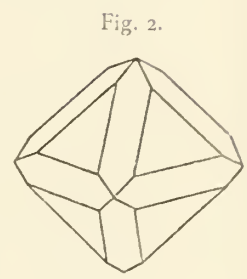


Fig. 2.

Samsonit

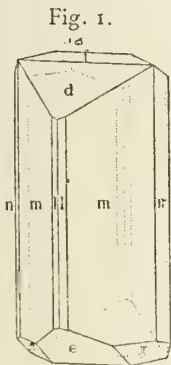


Fig. 1.

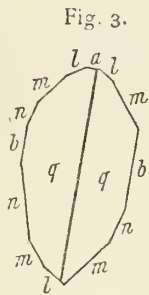


Fig. 3.

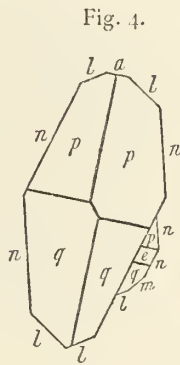


Fig. 4.

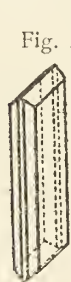


Fig. 1.

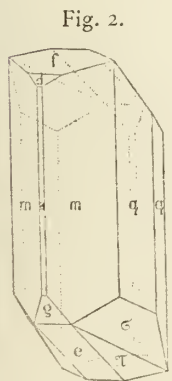
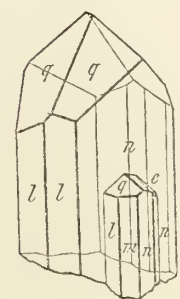
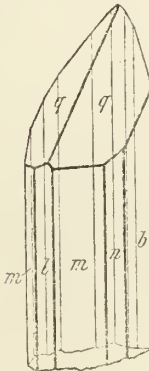


Fig. 2.



Sapphirin

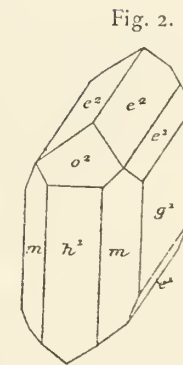


Fig. 2.

Sarkinit

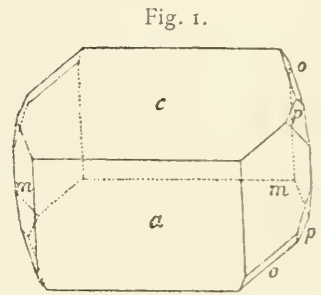


Fig. 1.

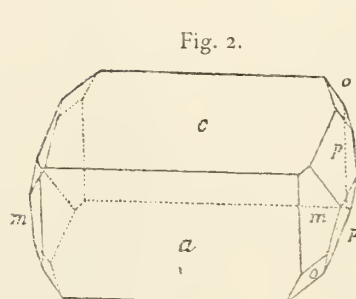


Fig. 2.

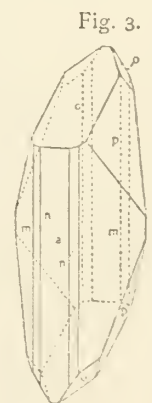
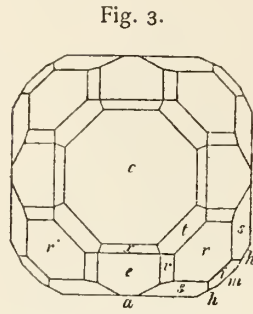
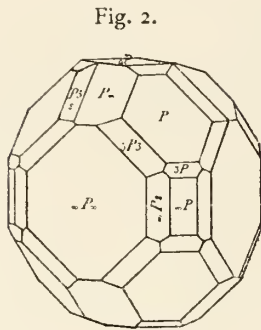
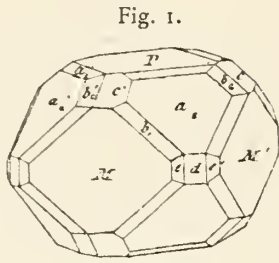
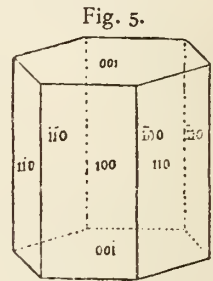
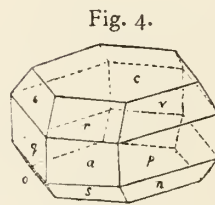
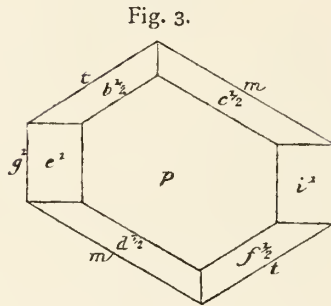
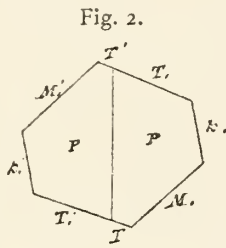
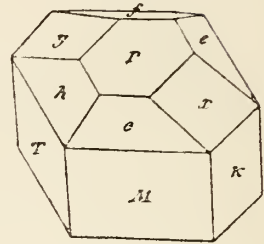


Fig. 3.

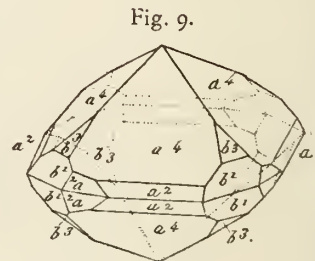
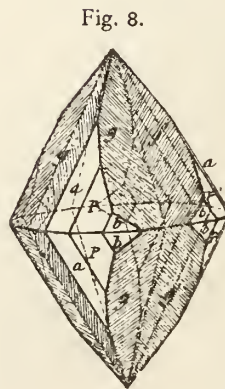
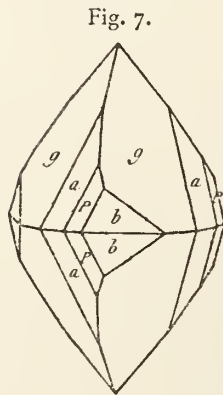
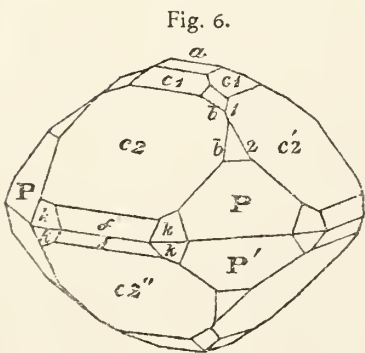
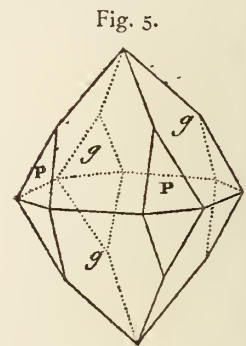
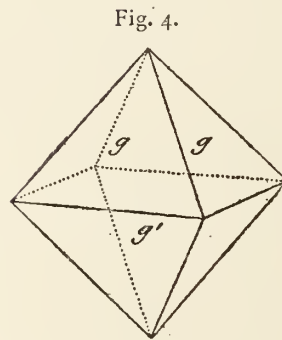
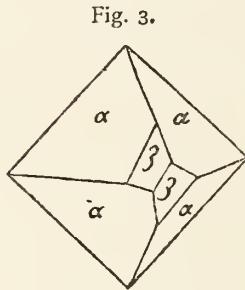
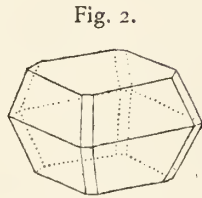
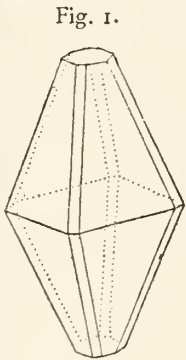
Sarkolith



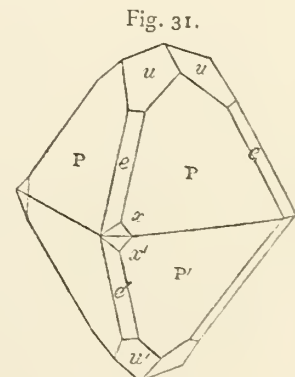
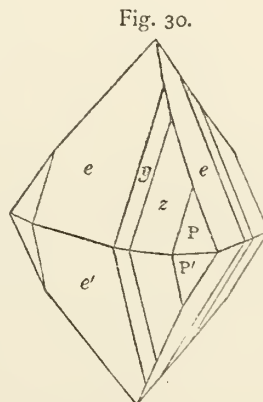
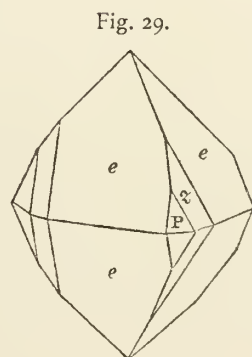
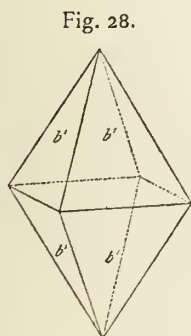
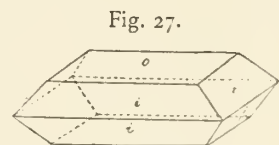
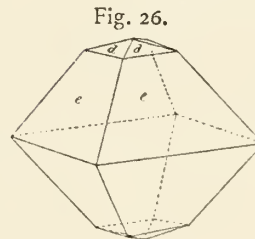
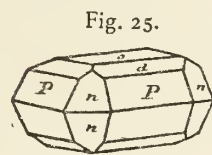
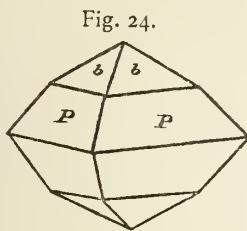
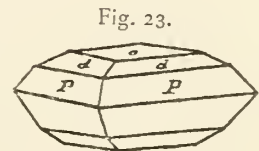
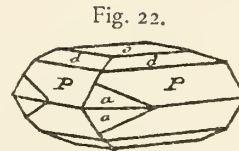
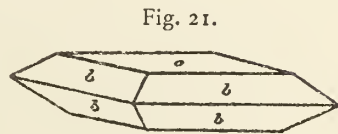
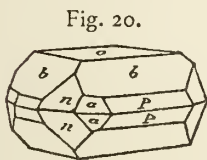
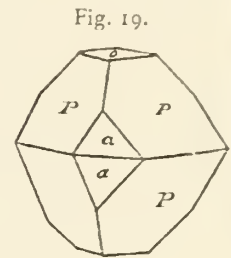
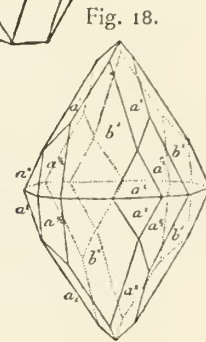
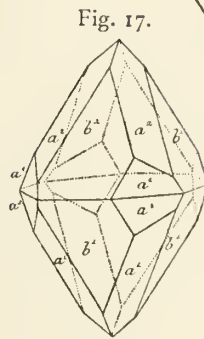
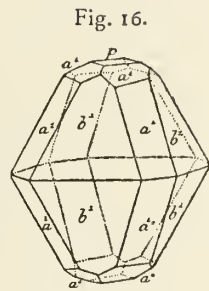
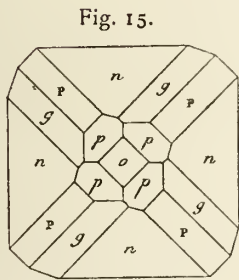
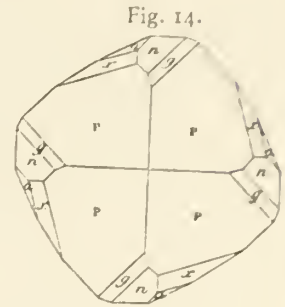
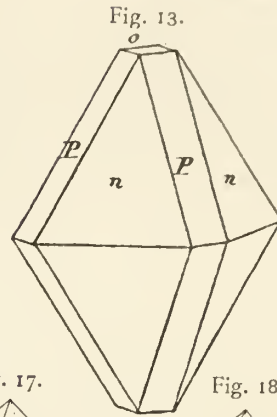
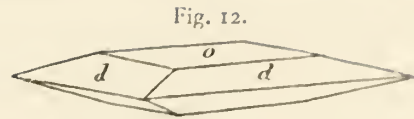
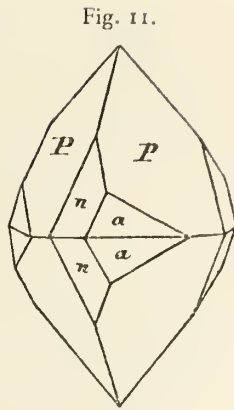
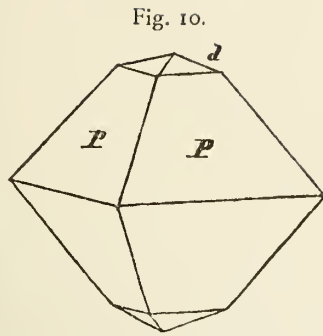
Sassolin



Scheelit



Scheellit



Scheelit

Fig. 32.

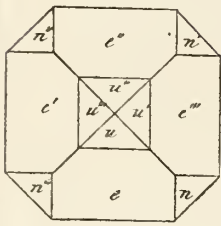


Fig. 33.

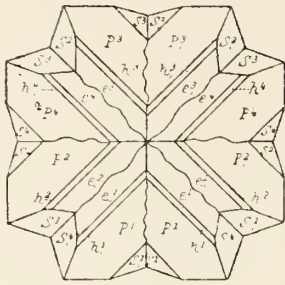


Fig. 34.

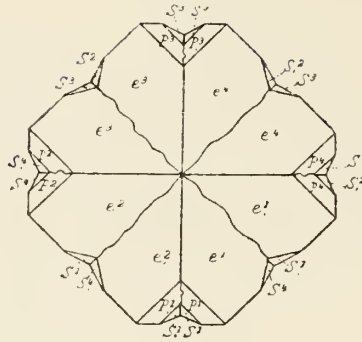


Fig. 35.

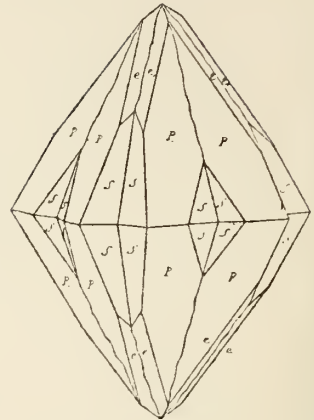


Fig. 36.

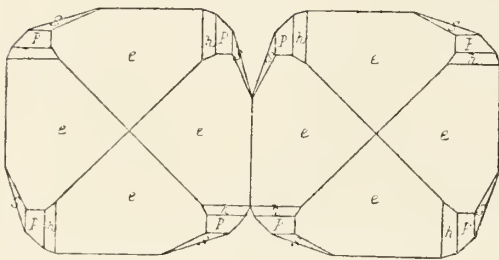


Fig. 37.

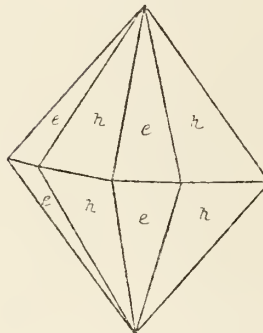


Fig. 38.

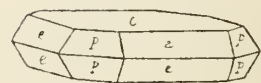


Fig. 39.

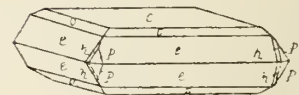


Fig. 40.

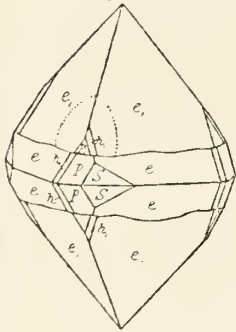


Fig. 41.

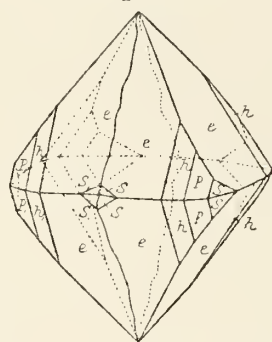


Fig. 42.

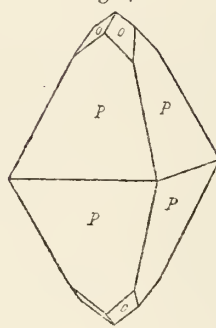


Fig. 43.

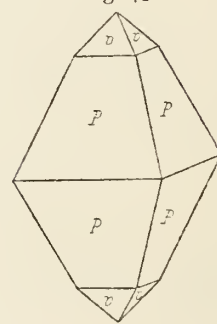


Fig. 44.

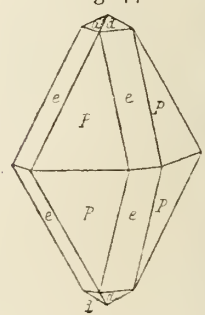


Fig. 45.

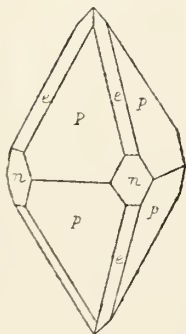


Fig. 46.

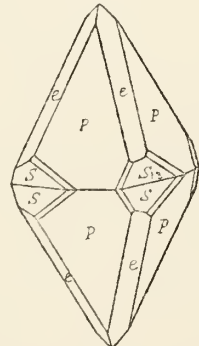


Fig. 47.

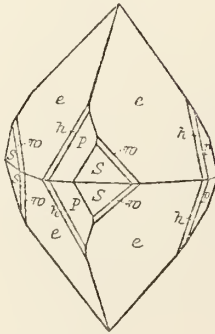


Fig. 48.

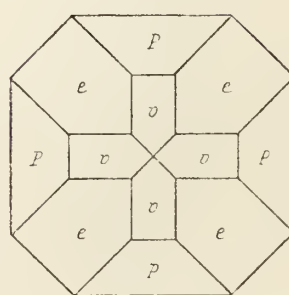
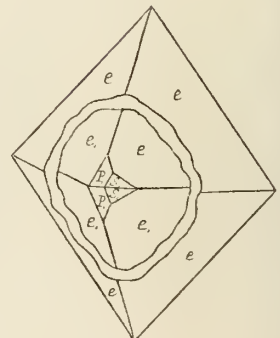


Fig. 49.



Scheelit

Fig. 50.

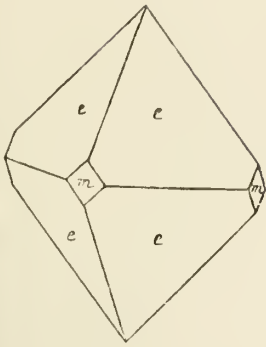


Fig. 51.

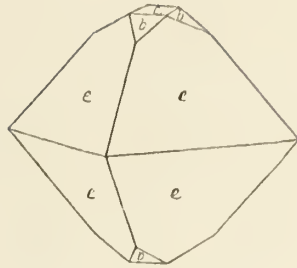


Fig. 52.

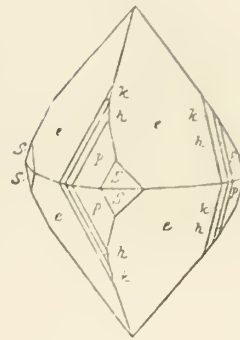


Fig. 53.



Fig. 54.

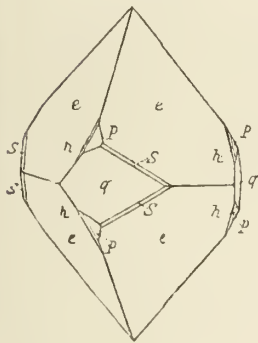


Fig. 55.

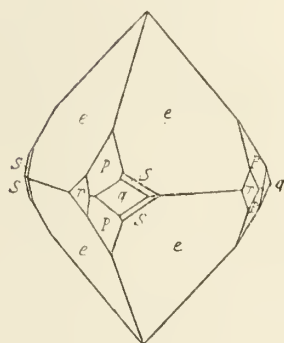


Fig. 56.

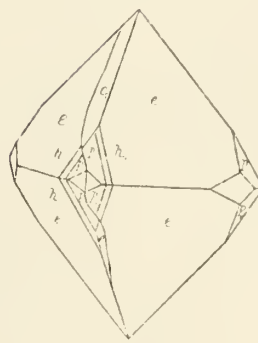


Fig. 57.

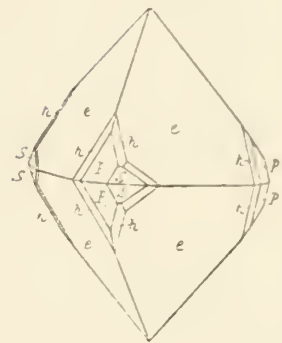


Fig. 58.

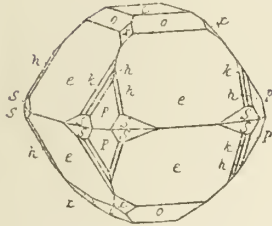


Fig. 59.

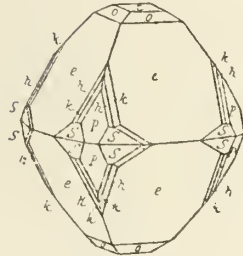


Fig. 60.

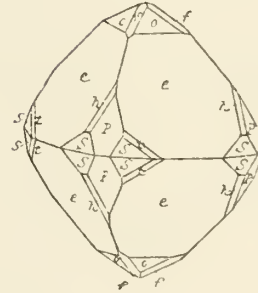


Fig. 61.

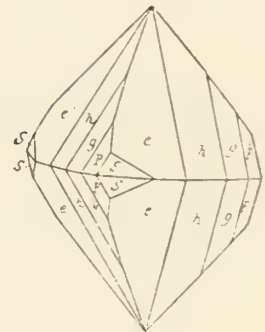


Fig. 62.

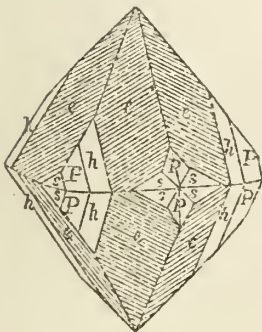


Fig. 63.

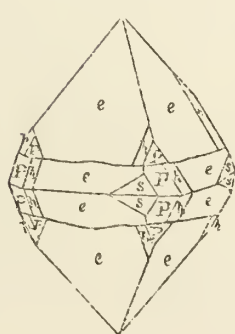


Fig. 64.

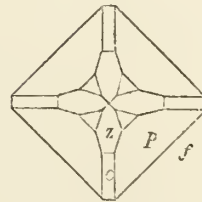
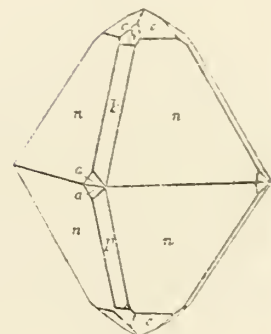


Fig. 65.



Scheelit

Fig. 66.

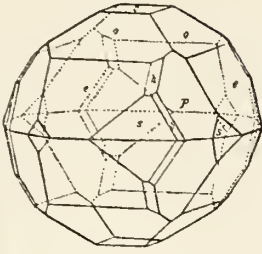


Fig. 67.

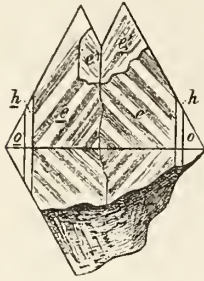


Fig. 68.

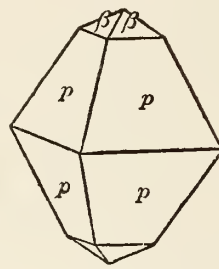


Fig. 69.

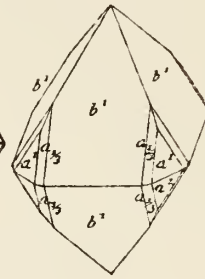


Fig. 70.

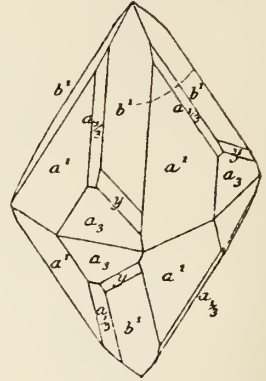


Fig. 71.

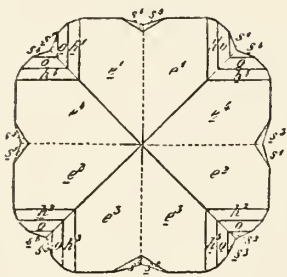


Fig. 72.

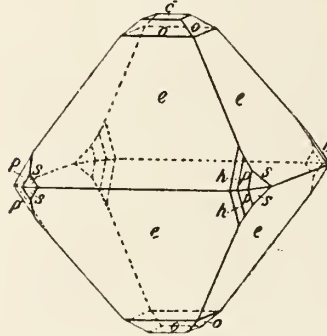


Fig. 73.

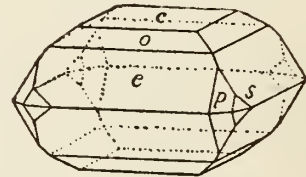


Fig. 74.

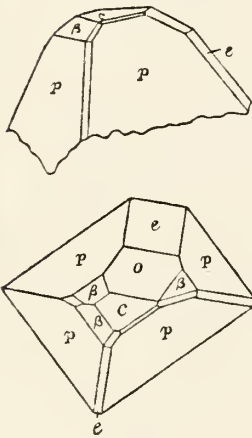


Fig. 75.

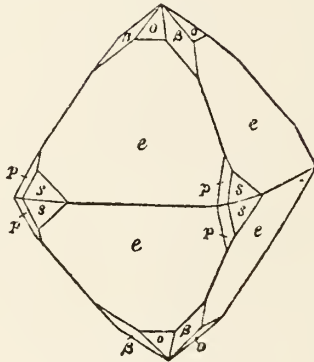


Fig. 76.

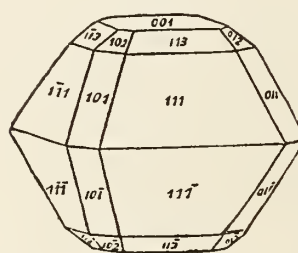


Fig. 77.

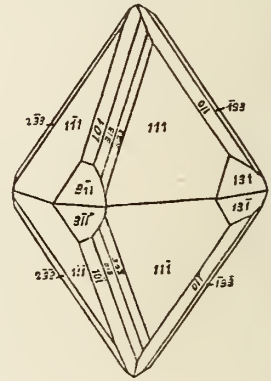


Fig. 78.

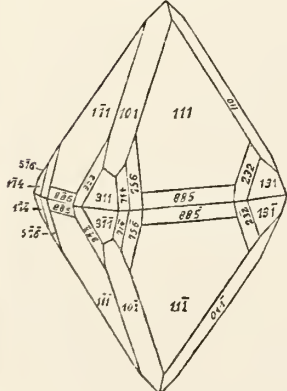


Fig. 79.

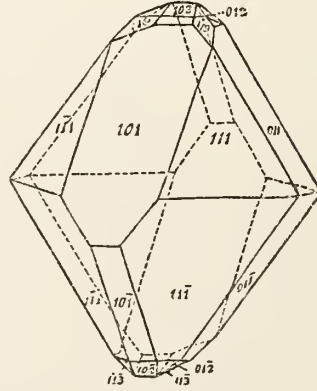


Fig. 80.

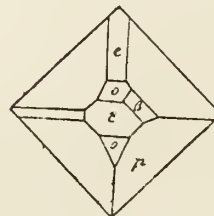
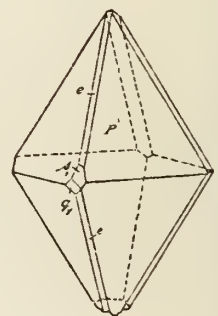


Fig. 81.



Scheelit

Fig. 82.

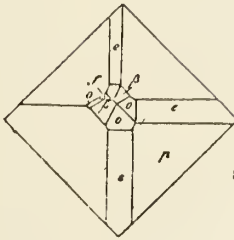


Fig. 83.

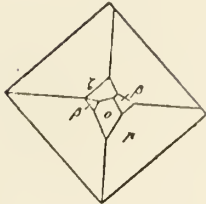


Fig. 84.

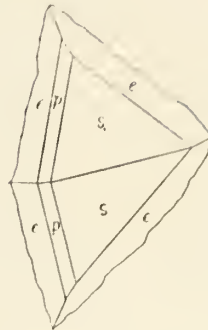


Fig. 85.



Fig. 86

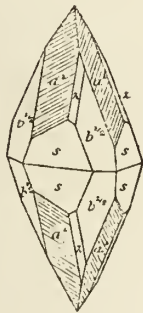


Fig. 87.

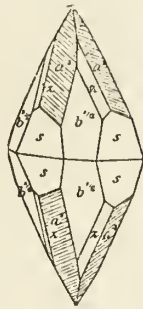


Fig. 88.

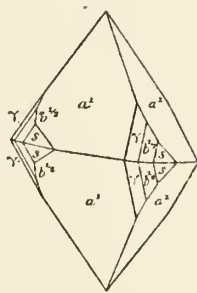


Fig. 89.

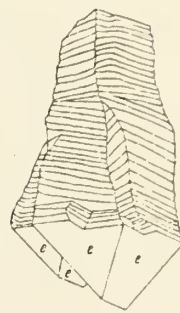


Fig. 90.

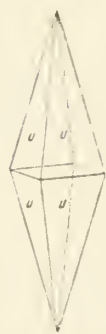


Fig. 91.

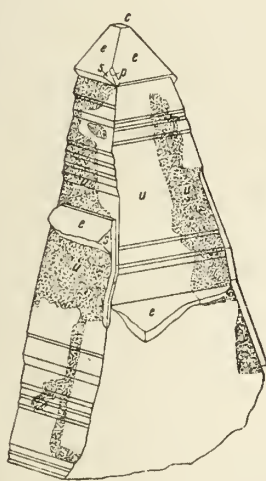


Fig. 92.

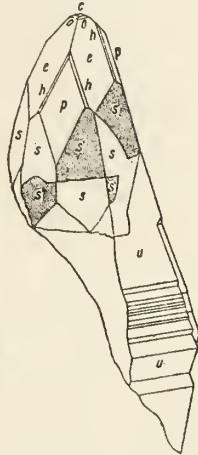
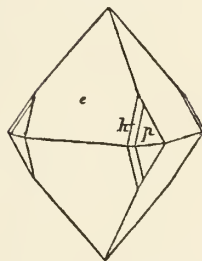


Fig. 93.



Schizolith

Fig. 1.

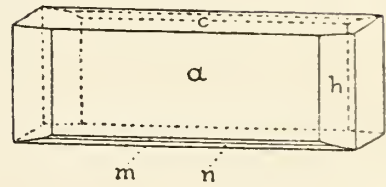


Fig. 2.

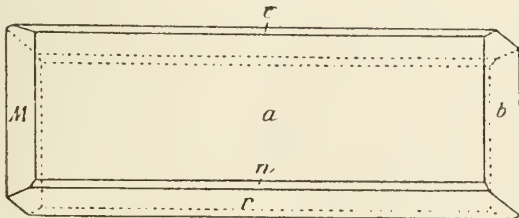
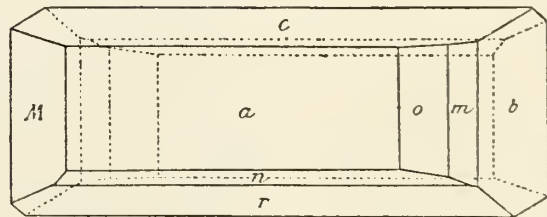


Fig. 3.



Schizolith

Fig. 4.

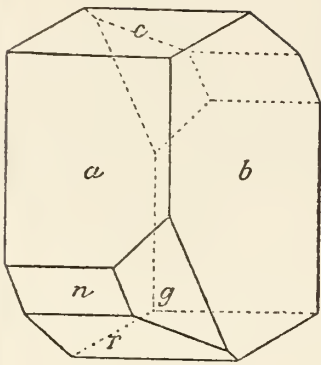


Fig. 5.

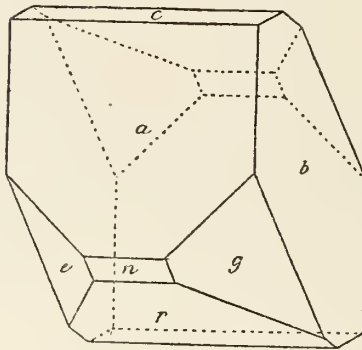


Fig. 6.

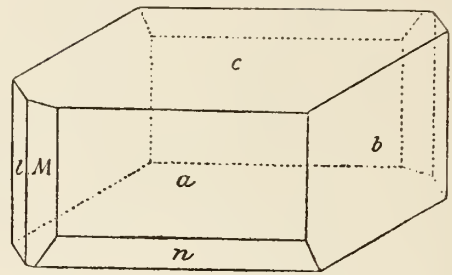


Fig. 7.

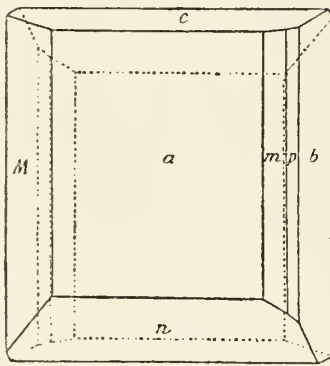


Fig. 8.

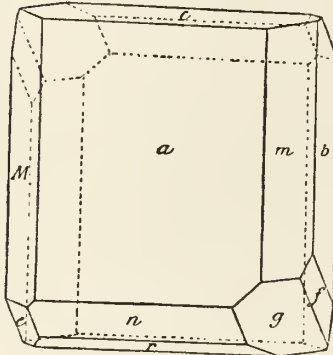


Fig. 9.

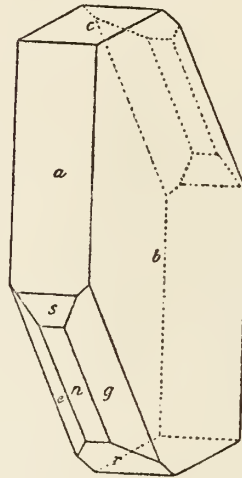


Fig. 10.

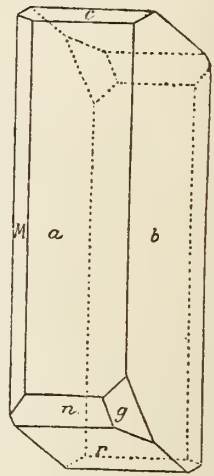


Fig. 11.

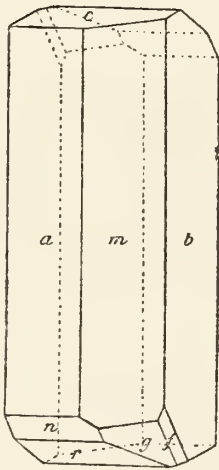
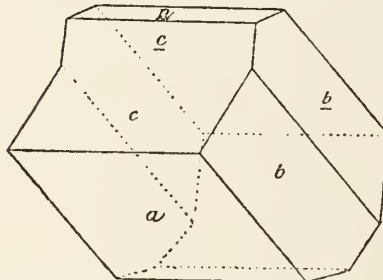
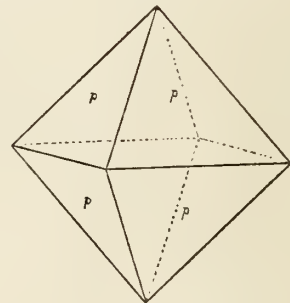


Fig. 12.



Schneebergit

Fig. 1.



Schwartzemberg

Fig. 1.

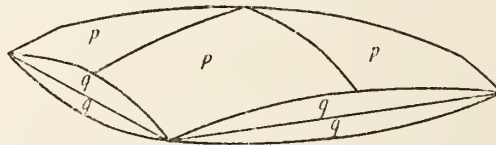
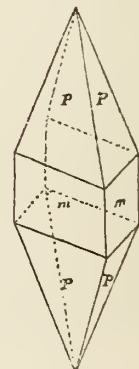


Fig. 5.



Schwefel

Fig. 1.

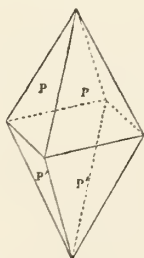


Fig. 2.

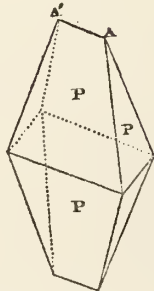


Fig. 3.

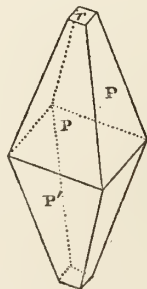


Fig. 4.



Schwefel

Fig. 6.

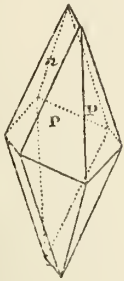


Fig. 7.

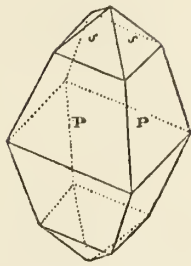


Fig. 8.

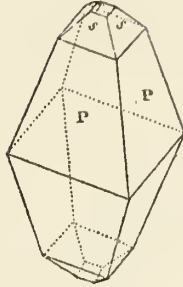


Fig. 9.

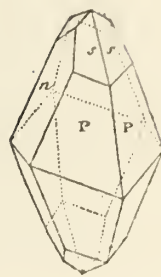


Fig. 10.

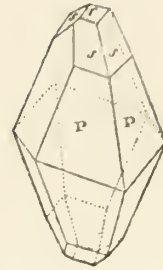


Fig. 11.

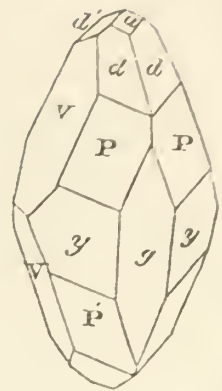


Fig. 12.

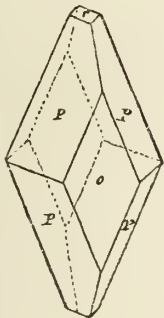


Fig. 13.

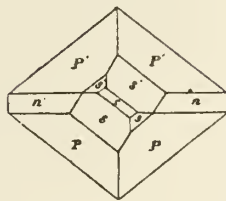


Fig. 14.

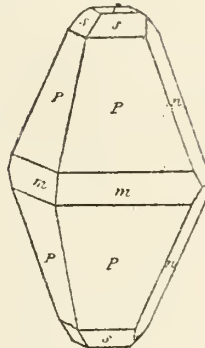


Fig. 15.

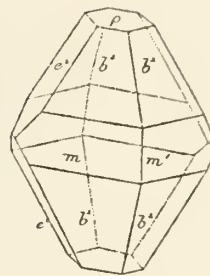


Fig. 16.

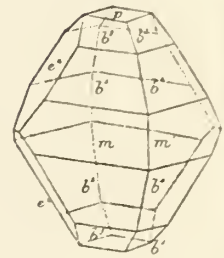


Fig. 17.

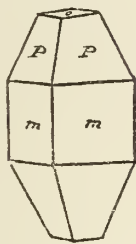


Fig. 18.

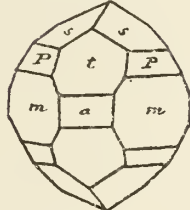


Fig. 19.

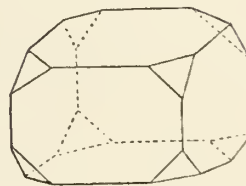


Fig. 20.

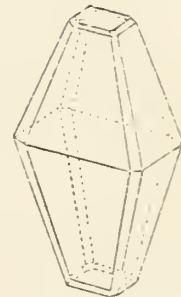


Fig. 23.

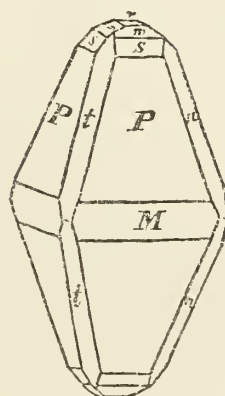


Fig. 21.

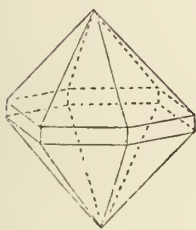


Fig. 22.



Fig. 24.

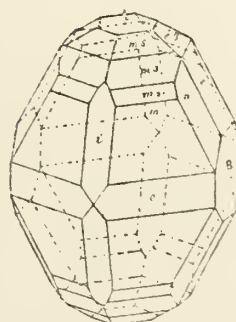
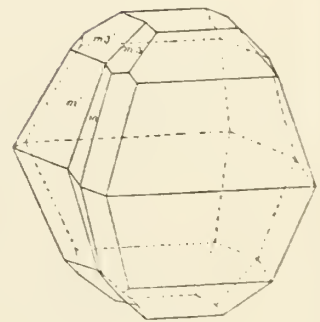


Fig. 25.



Schwefel

Fig. 27.

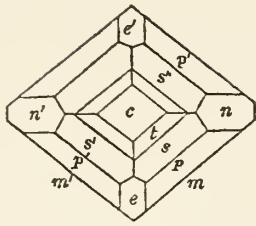


Fig. 28.

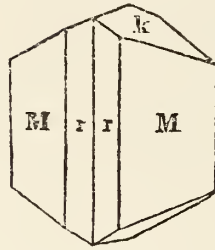


Fig. 29.

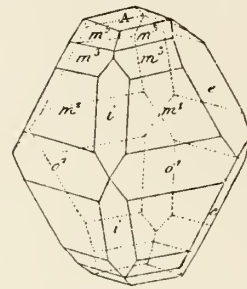


Fig. 30.

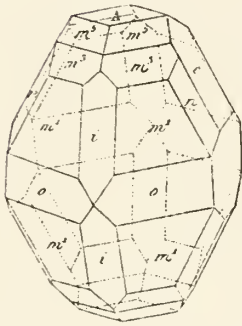


Fig. 31.

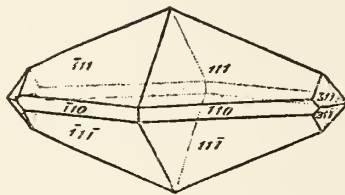


Fig. 32.

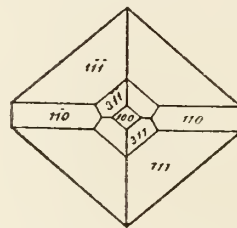


Fig. 33.

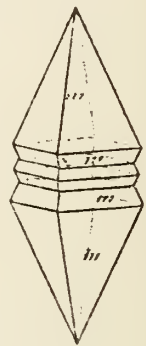


Fig. 34.

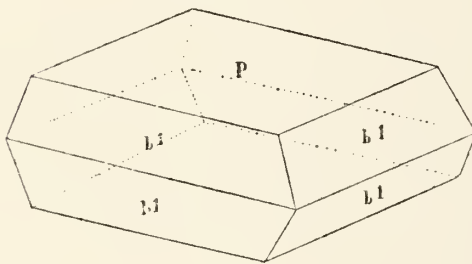


Fig. 35.

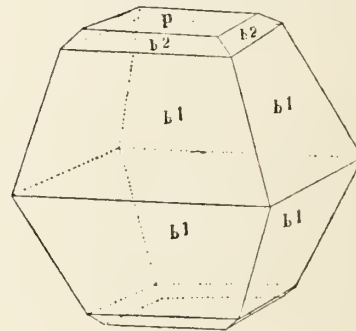


Fig. 36.

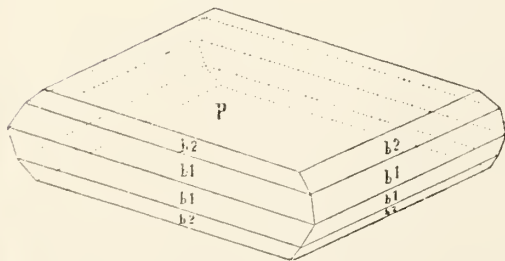


Fig. 37.

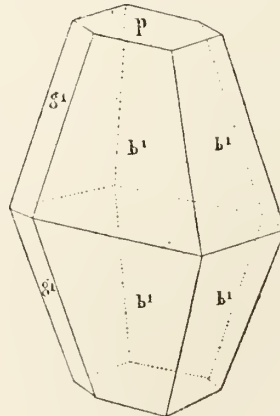
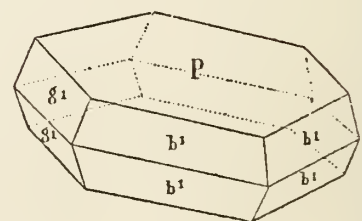


Fig. 38.



Schwefel

Fig. 39.

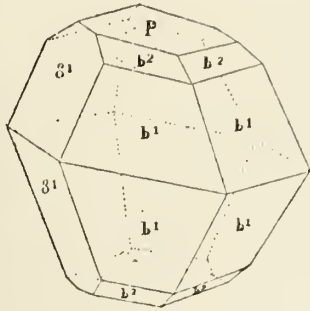


Fig. 40.

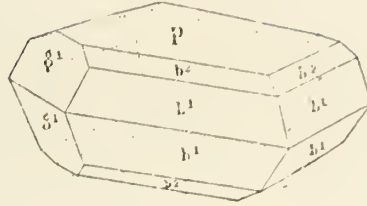


Fig. 41.



Fig. 42.

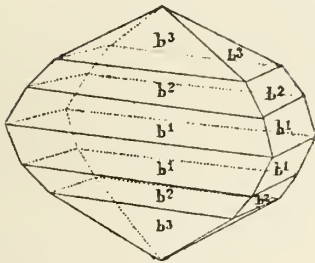


Fig. 43.

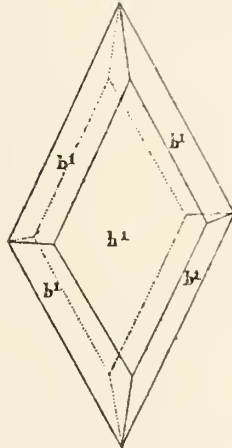


Fig. 44.

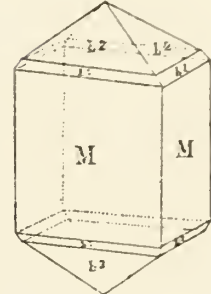


Fig. 45.

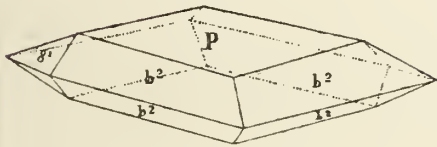


Fig. 47.

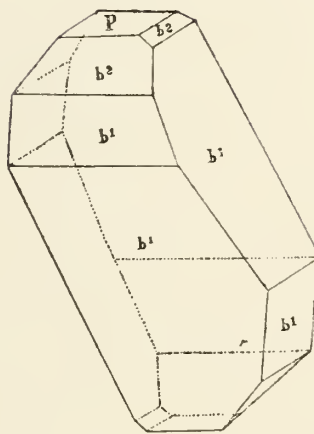


Fig. 48.

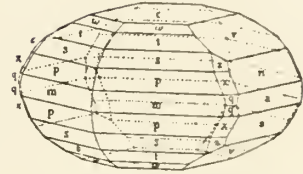


Fig. 46.

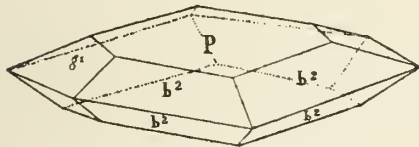


Fig. 49.

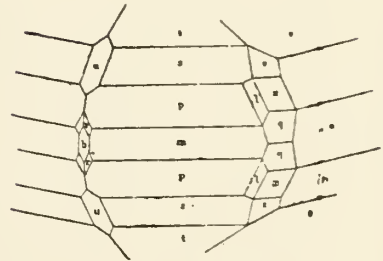


Fig. 50.

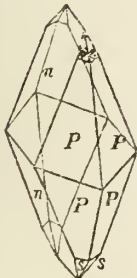


Fig. 51.



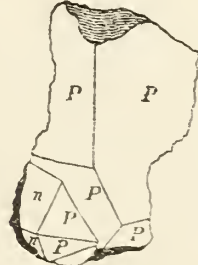
Fig. 52.



Fig. 53.



Fig. 54.



Schwefel

Fig. 55.

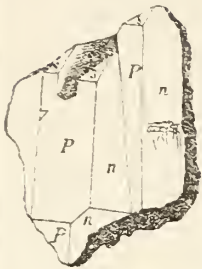


Fig. 56.



Fig. 57.

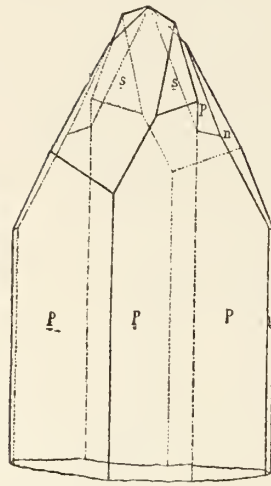


Fig. 58.

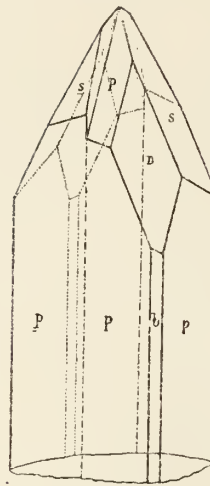


Fig. 59.

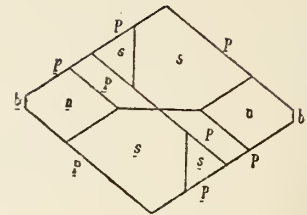


Fig. 60.

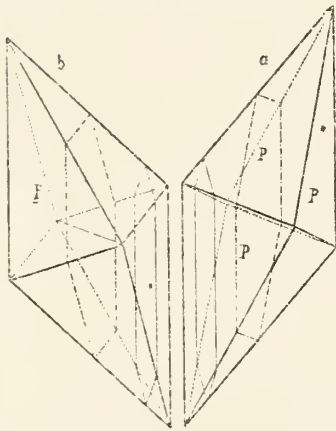


Fig. 61.

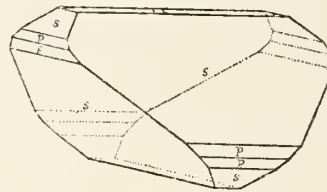


Fig. 63.

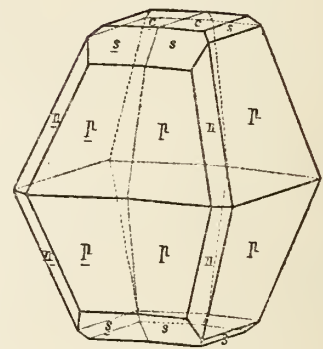


Fig. 62.

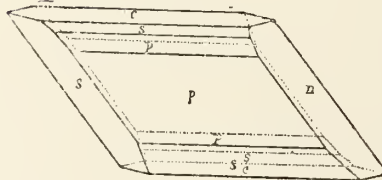


Fig. 64.

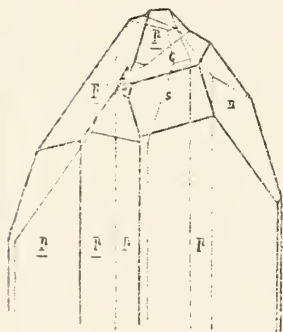


Fig. 65.

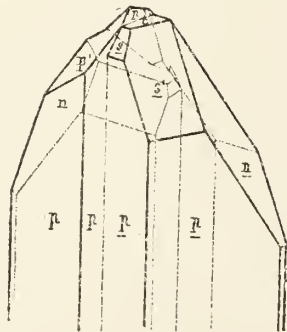


Fig. 66.

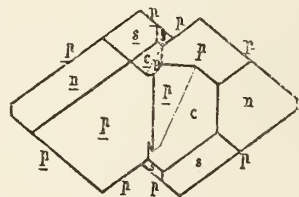


Fig. 67.

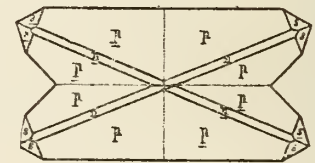


Fig. 68.

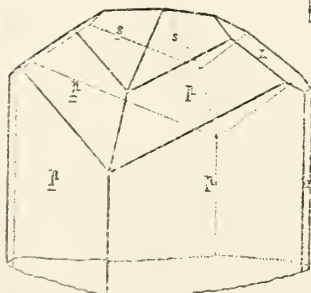


Fig. 69.

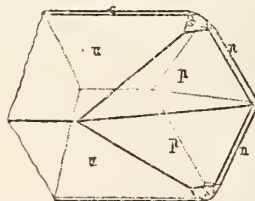


Fig. 70.

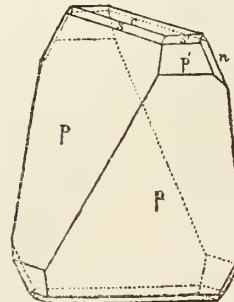
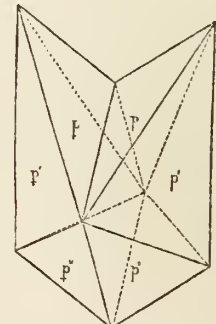


Fig. 71.



Schwefel

Fig. 72.

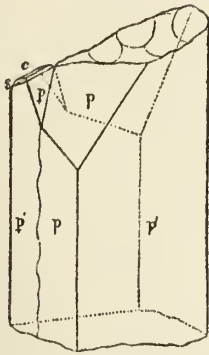


Fig. 73.

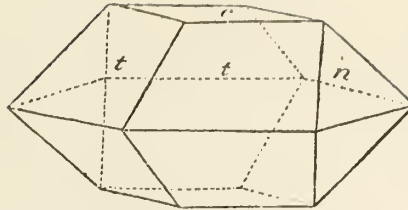


Fig. 74.

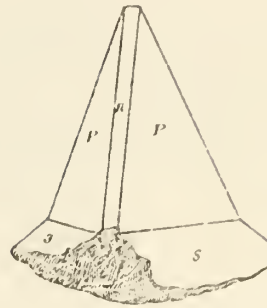


Fig. 75.

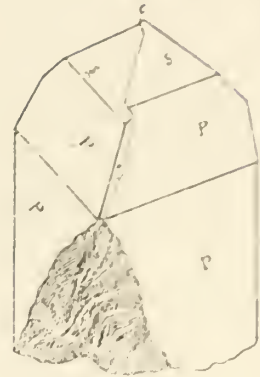


Fig. 76.

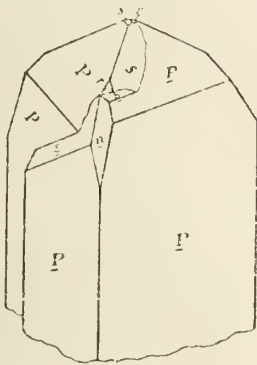


Fig. 77.

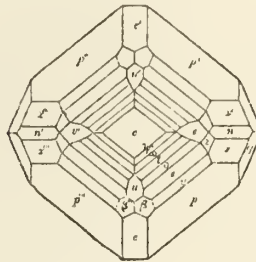


Fig. 78.

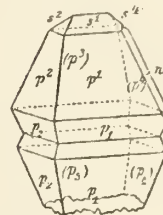


Fig. 79.

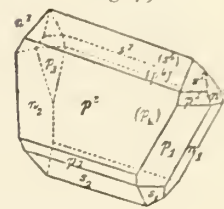


Fig. 80.

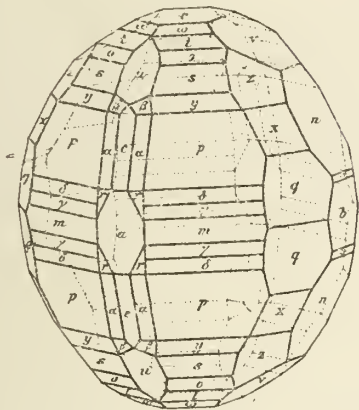


Fig. 81.

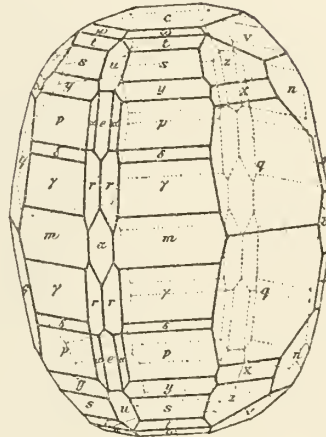


Fig. 82.

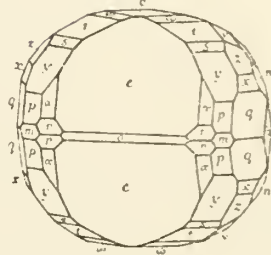


Fig. 83.

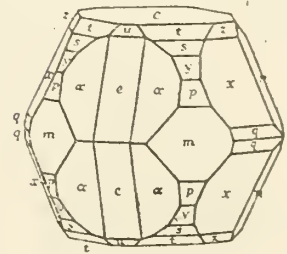


Fig. 84.

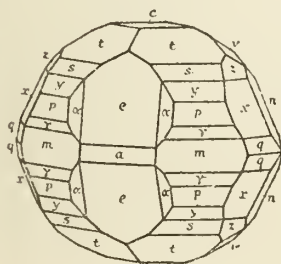


Fig. 85.

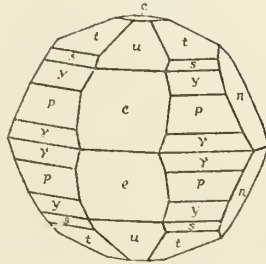


Fig. 86.

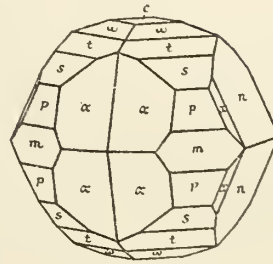
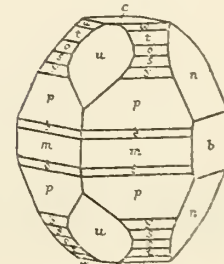


Fig. 87.



Schwefel

Fig. 88.

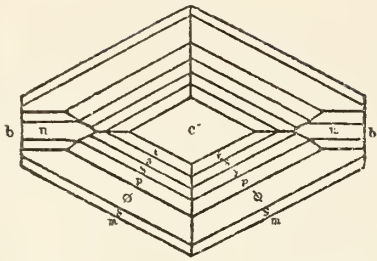


Fig. 89.

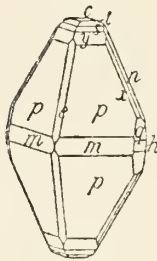


Fig. 90.

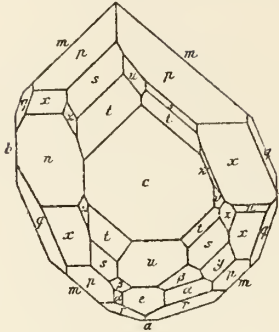


Fig. 91.

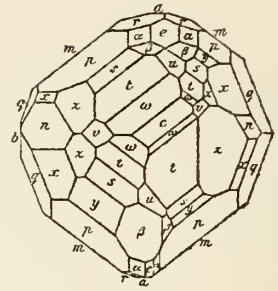


Fig. 92.

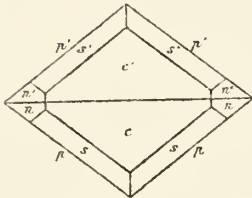


Fig. 93.

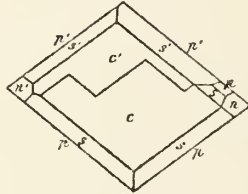


Fig. 94.

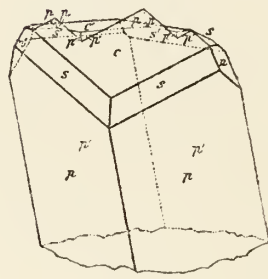


Fig. 95.

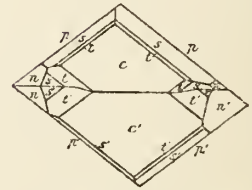


Fig. 96.

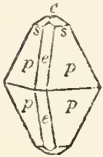


Fig. 98.

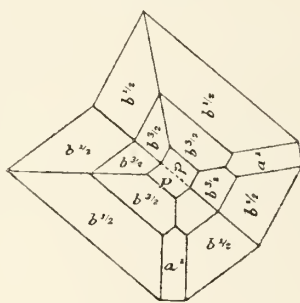


Fig. 99.

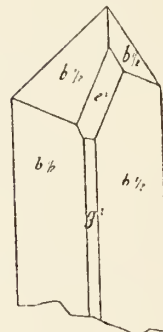


Fig. 100.

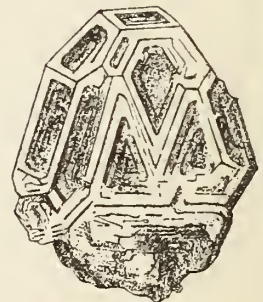


Fig. 97.

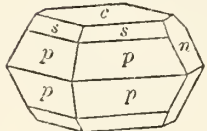


Fig. 104.

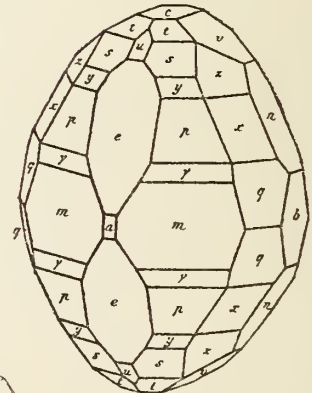


Fig. 101.

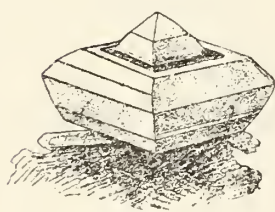


Fig. 102.

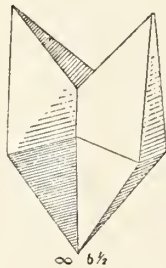


Fig. 103.

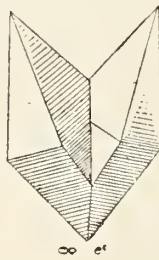


Fig. 105.

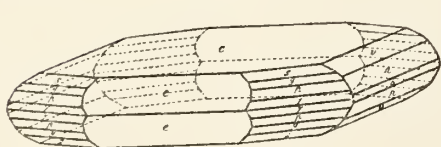


Fig. 106.

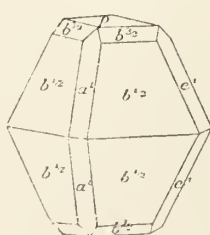


Fig. 107.

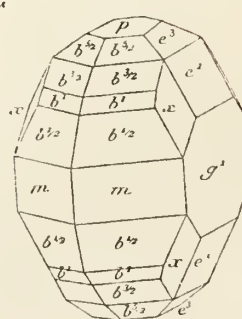
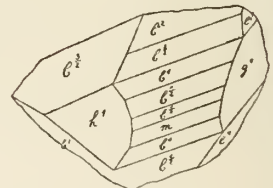


Fig. 108.



Schwefel

Fig. 109.

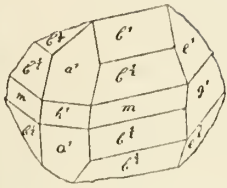


Fig. 110.



Fig. 111.



Fig. 112.

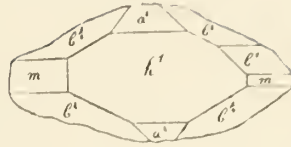


Fig. 113.

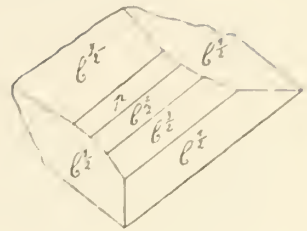


Fig. 114.

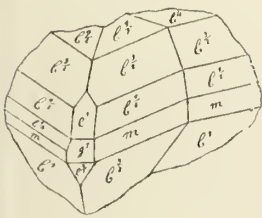


Fig. 115.

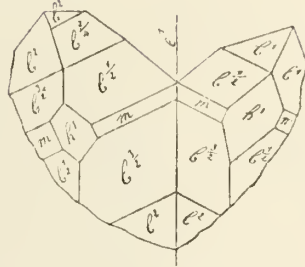


Fig. 116.

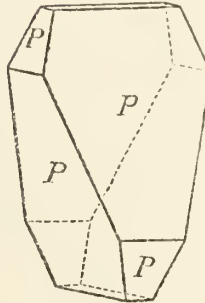


Fig. 117.

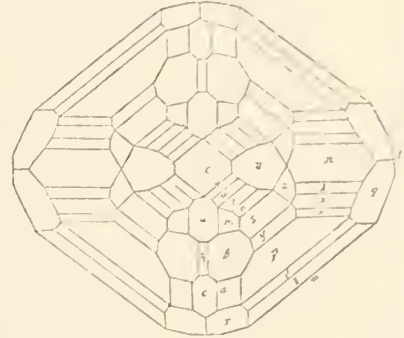


Fig. 118.

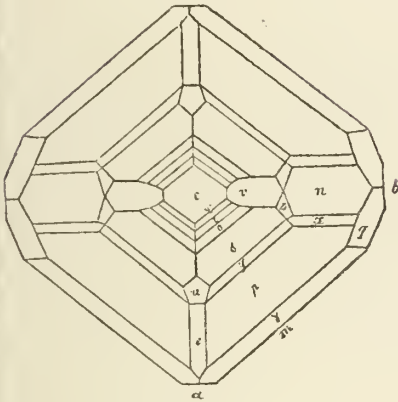


Fig. 119.

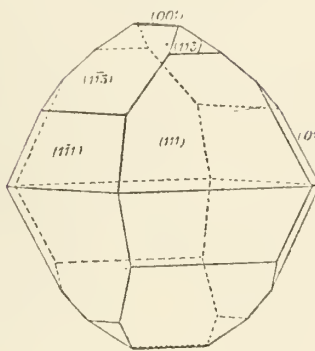


Fig. 120.

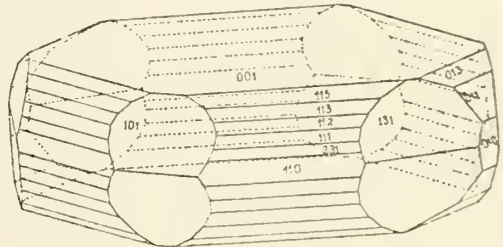


Fig. 121.

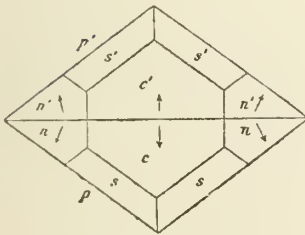


Fig. 122.

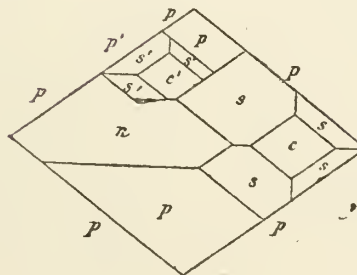
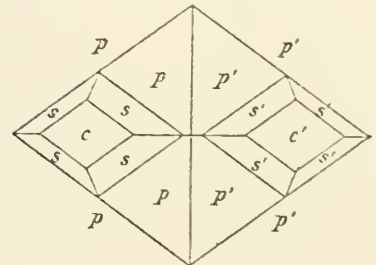


Fig. 123.



Schwefel

Fig. 124.

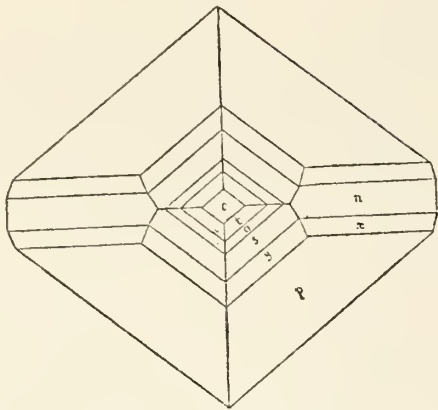


Fig. 125.

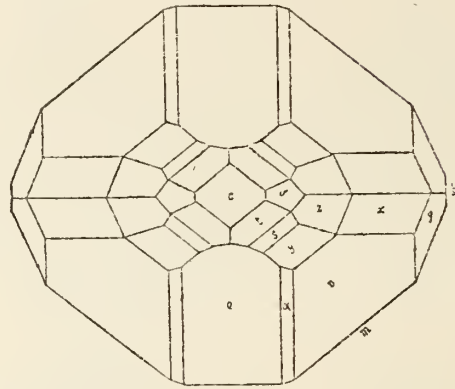


Fig. 126.

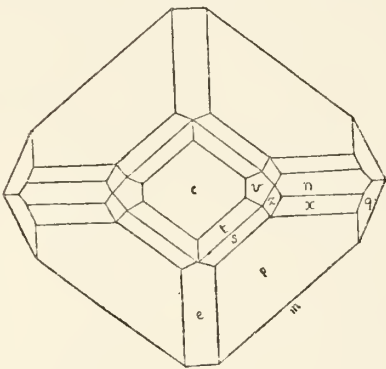


Fig. 127.

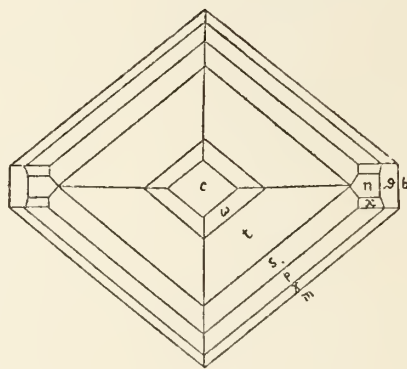


Fig. 128.

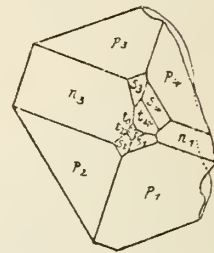


Fig. 129.

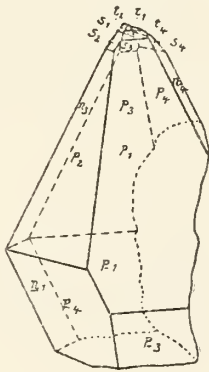


Fig. 130.

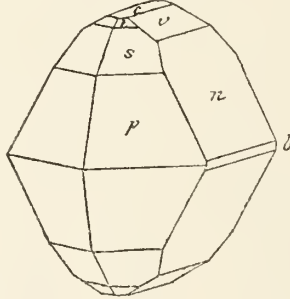


Fig. 131.

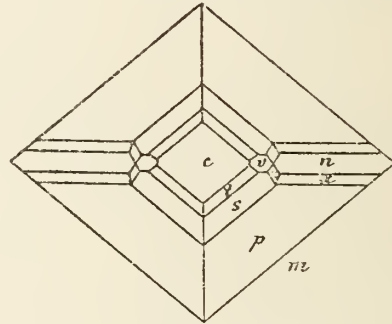


Fig. 132.

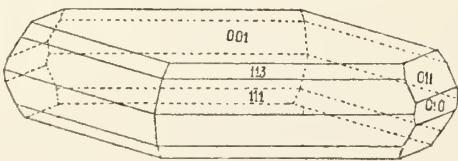


Fig. 133.

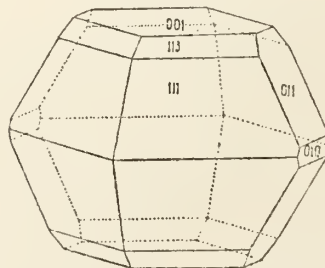
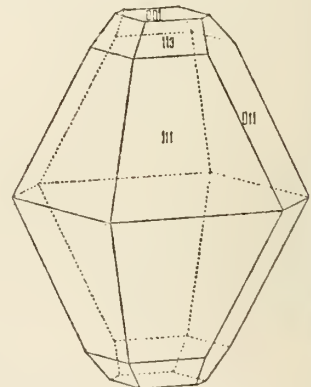


Fig. 134.



Schwefel

Fig. 135.

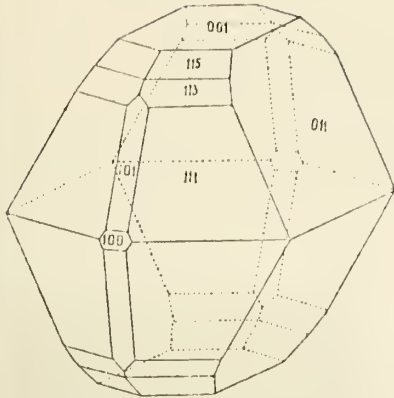


Fig. 136.

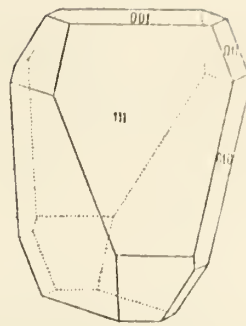


Fig. 137.

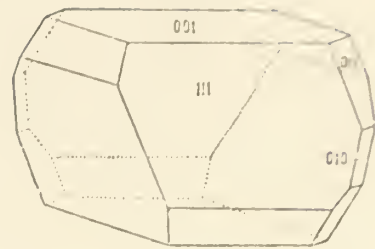


Fig. 138.

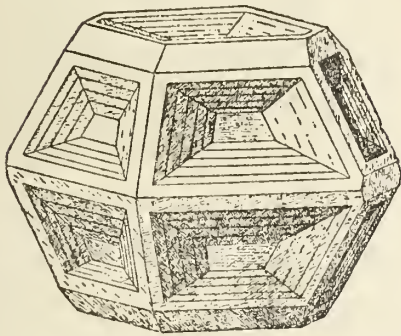


Fig. 139.

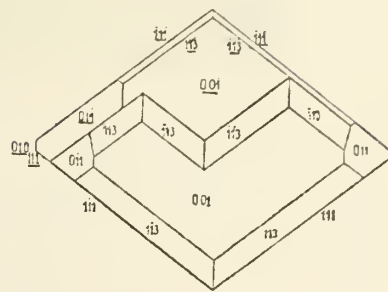


Fig. 140.

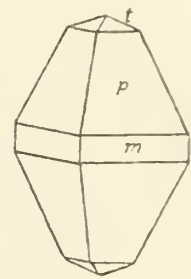


Fig. 143.

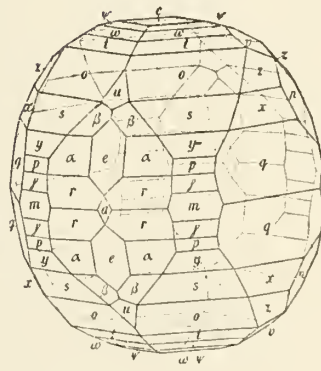


Fig. 141.

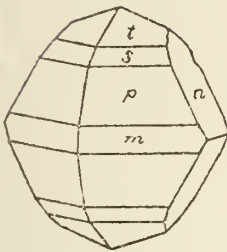


Fig. 142.

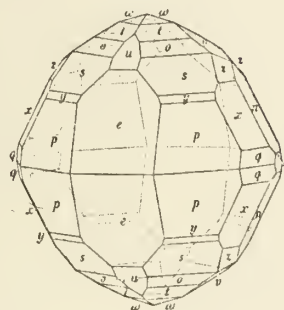


Fig. 144.

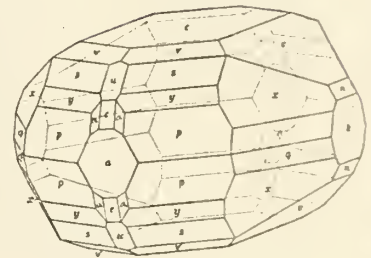


Fig. 145.

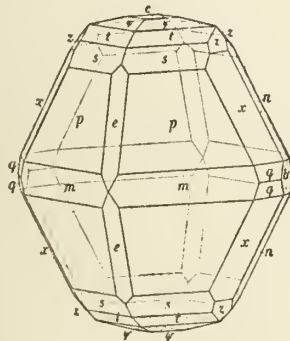


Fig. 146.

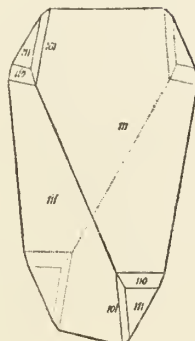


Fig. 147.

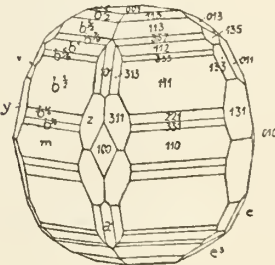
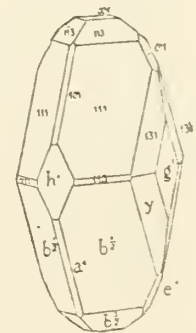


Fig. 148.



Schwefel

β -Schwefel

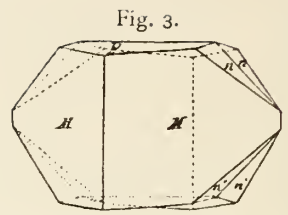
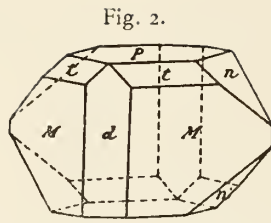
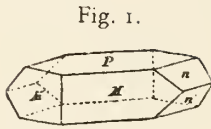
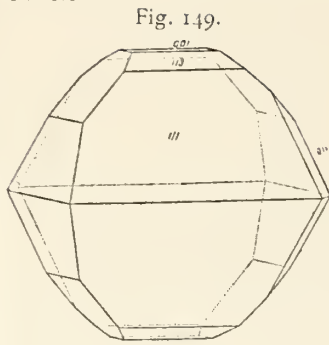


Fig. 5.



Fig. 6.

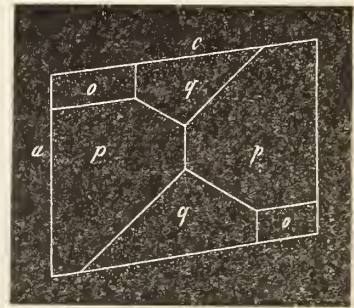


Fig. 4.

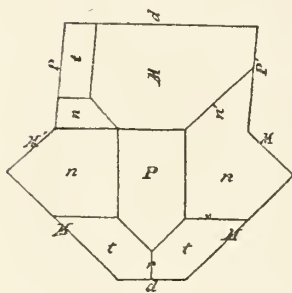


Fig. 9.

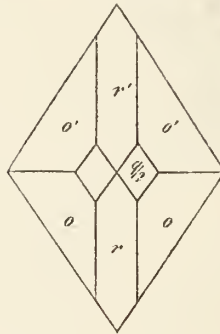


Fig. 10.

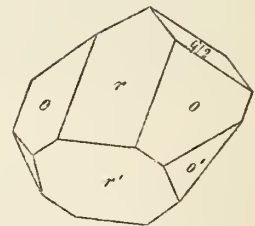


Fig. 7.

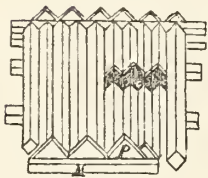


Fig. 8.

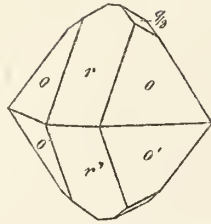


Fig. 11.

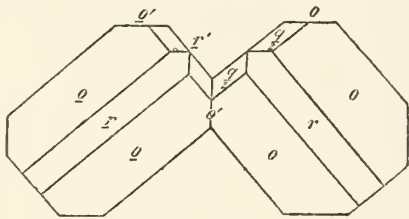


Fig. 12.

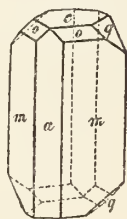


Fig. 13.

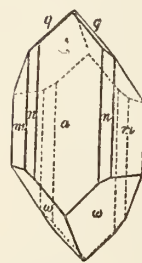


Fig. 14.

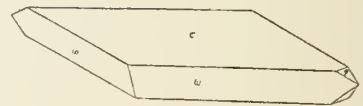


Fig. 15.



Fig. 16.

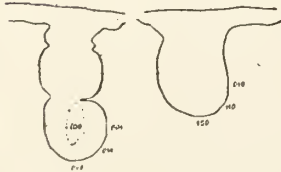


Fig. 17.

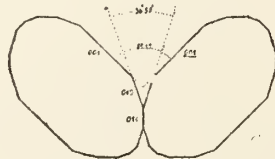
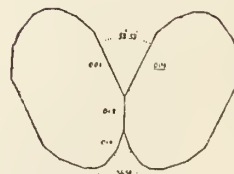


Fig. 18.



β -Schwefel

Fig. 19.

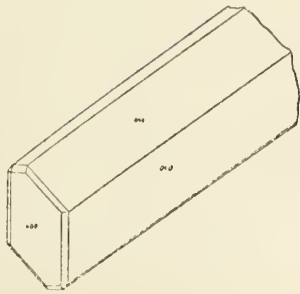


Fig. 20.



Fig. 21.



Fig. 22.

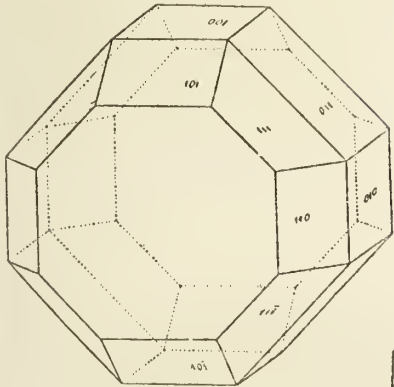


Fig. 24.

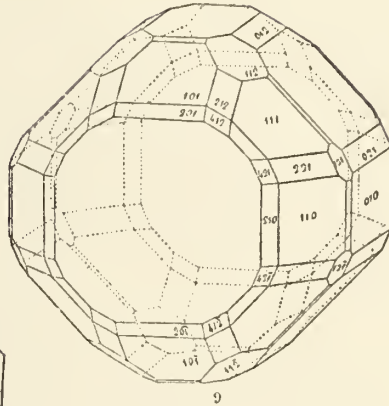
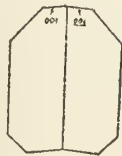


Fig. 23.



γ -Schwefel

Fig. 1.

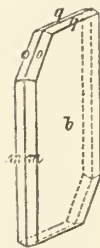


Fig. 2.



Fig. 3.

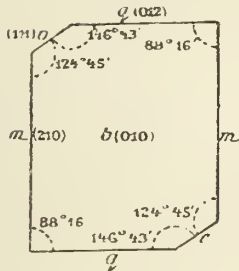
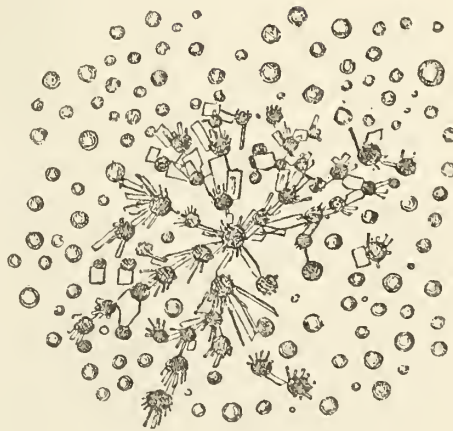
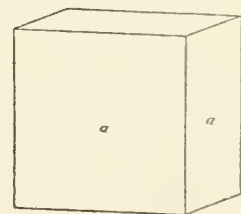


Fig. 4.

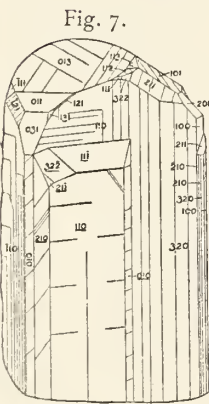
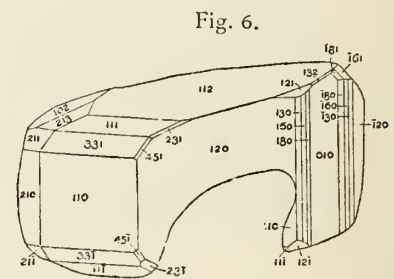
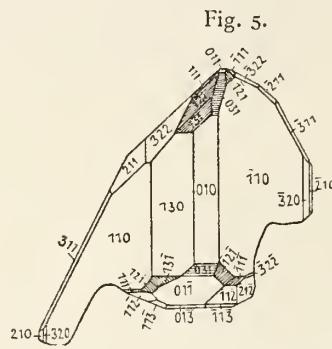
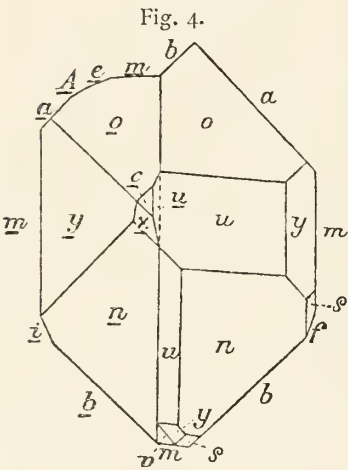
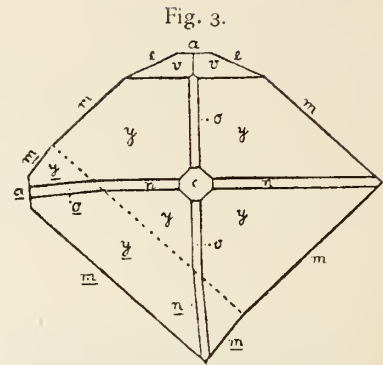
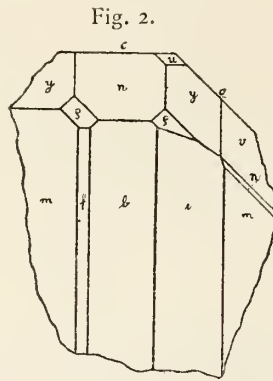
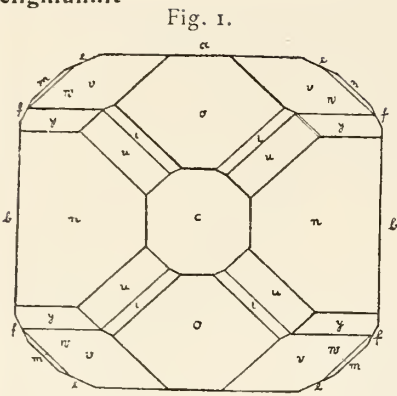


Selenblei
Selen Silber

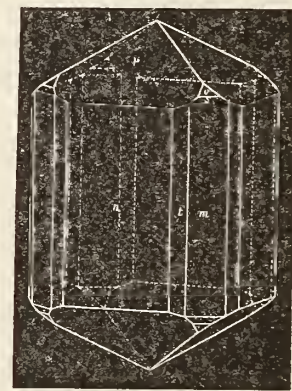
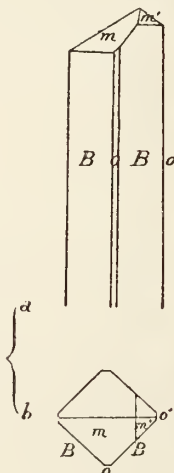
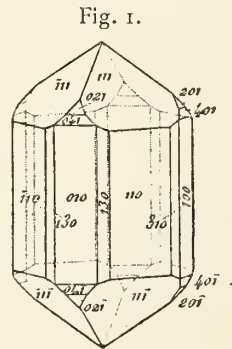
Fig. 1.



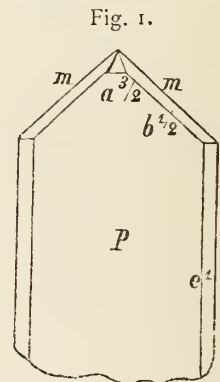
Seligmannit



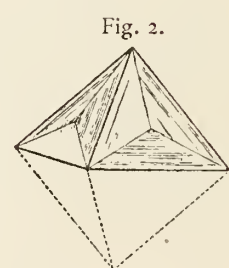
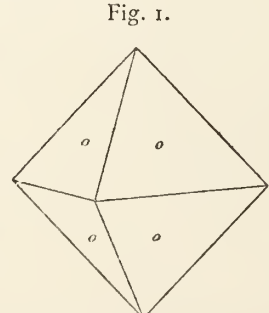
Sellaït



Serpierit



Senarmontit



Senait



Silber

Fig. 1.

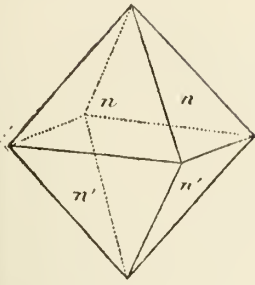


Fig. 2.

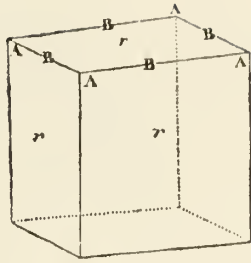


Fig. 3.

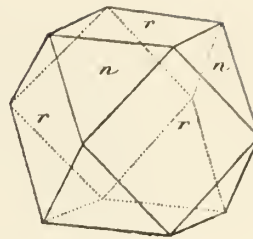


Fig. 4.

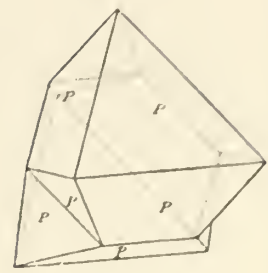


Fig. 5.

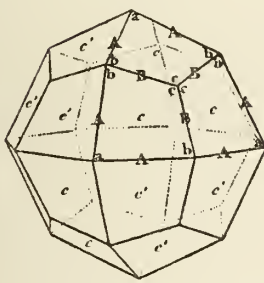


Fig. 6.

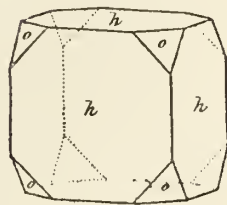


Fig. 7.

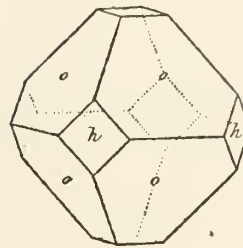


Fig. 8.

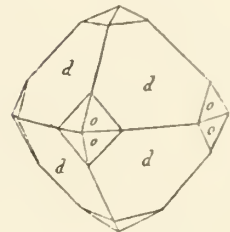


Fig. 9.

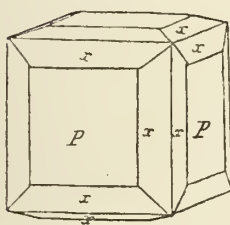


Fig. 10.

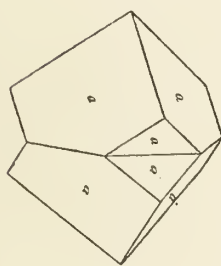


Fig. 11.

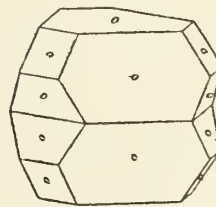


Fig. 12.

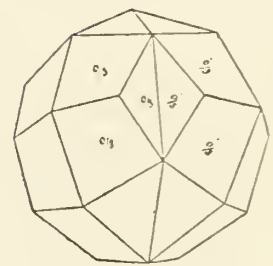


Fig. 13.

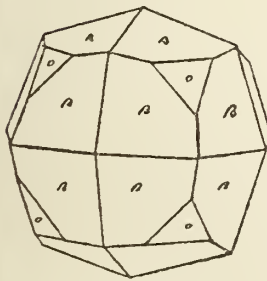


Fig. 14.

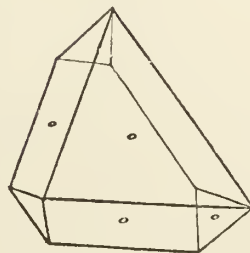


Fig. 15.

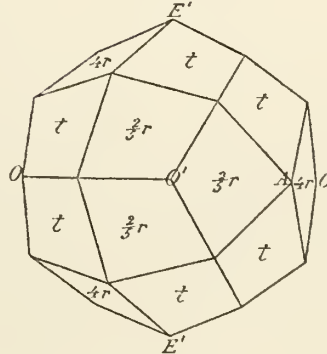
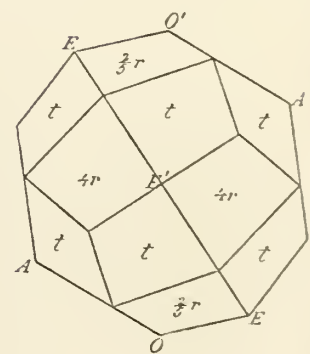


Fig. 16.



Silber

Fig. 17.

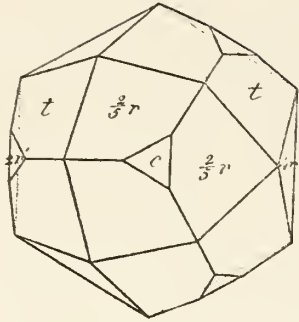


Fig. 18.

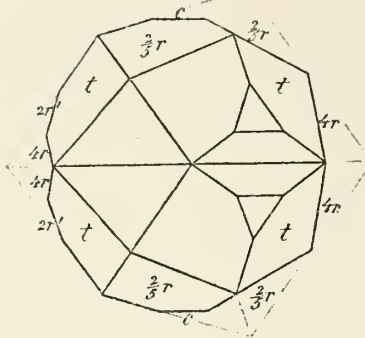


Fig. 19.

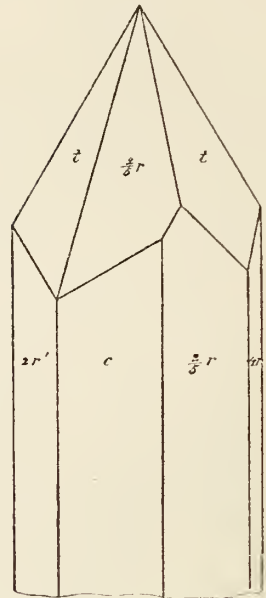


Fig. 20.

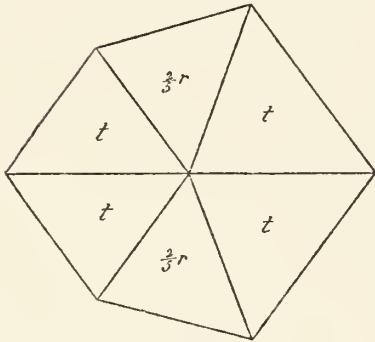


Fig. 21.

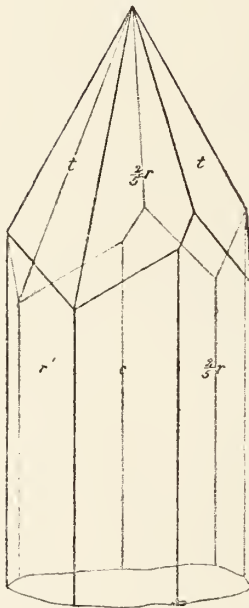


Fig. 22.

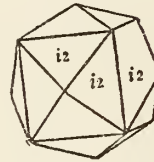


Fig. 23.

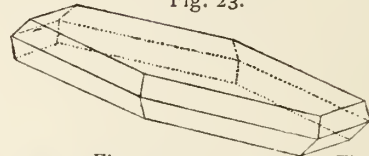


Fig. 24.

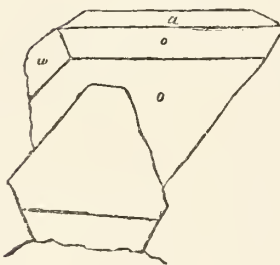


Fig. 26.

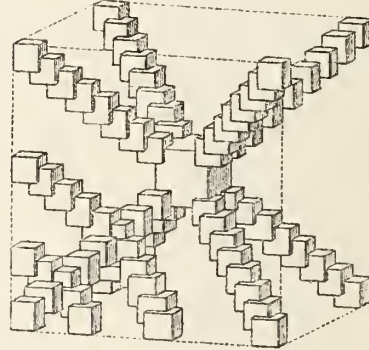


Fig. 27.

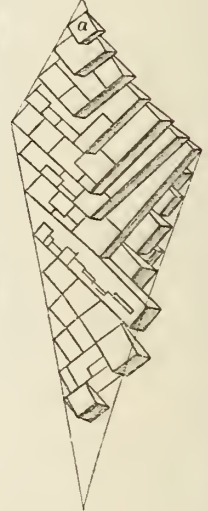


Fig. 25.

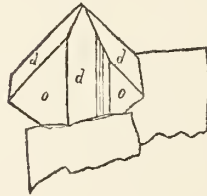


Fig. 31.

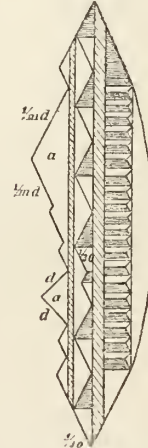


Fig. 29.



Fig. 30.

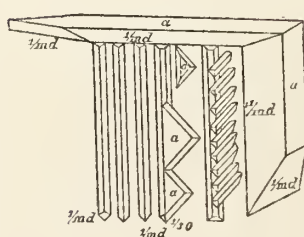


Fig. 28.

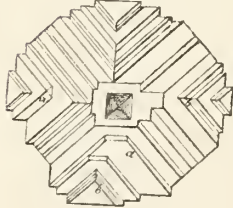
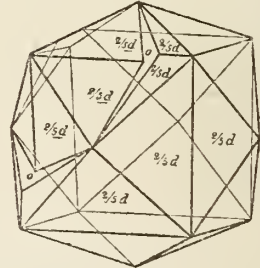


Fig. 32.



Silber

Fig. 33.

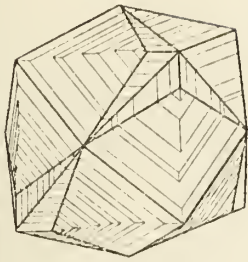


Fig. 34.

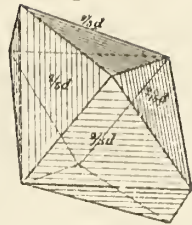


Fig. 35.

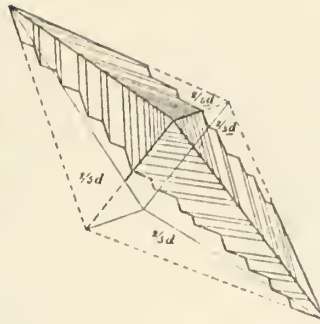


Fig. 36.

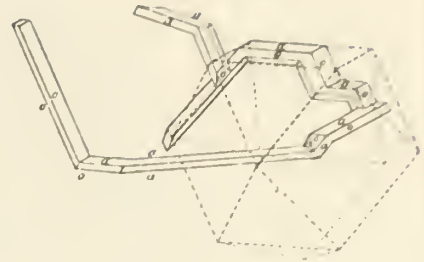


Fig. 37.

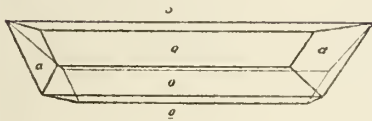


Fig. 38.

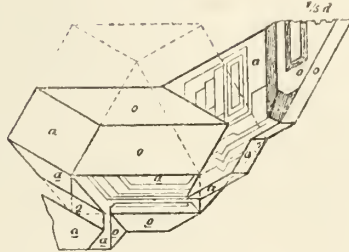


Fig. 39.

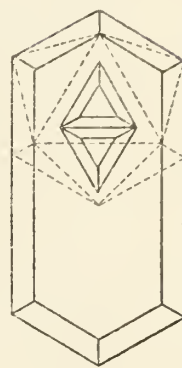


Fig. 40.

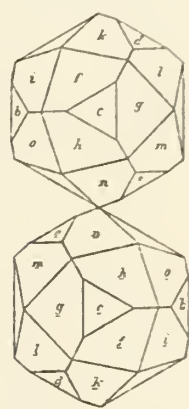


Fig. 41.

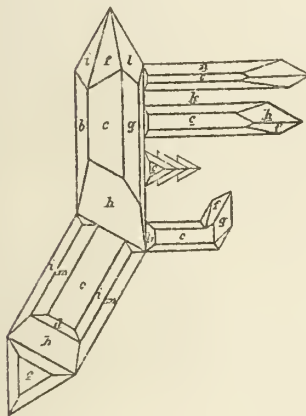


Fig. 42.

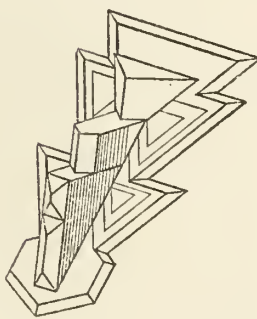


Fig. 43.

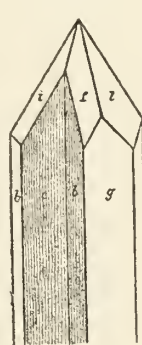


Fig. 44.

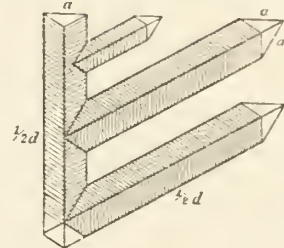


Fig. 45.

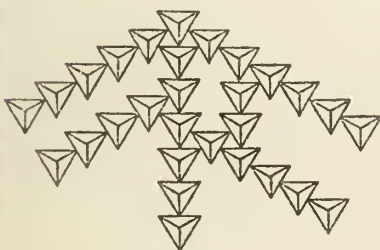


Fig. 46.

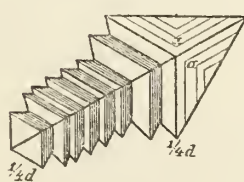


Fig. 47.

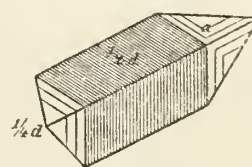
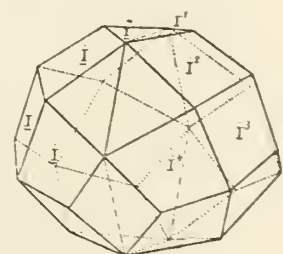


Fig. 48.



Silber

Fig. 49.

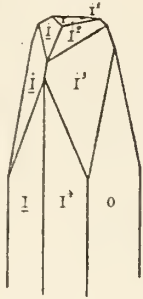


Fig. 50.

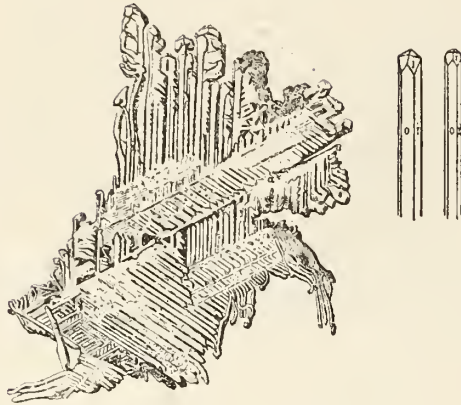


Fig. 51.

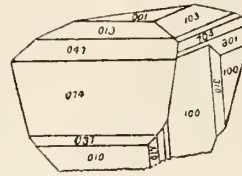


Fig. 52.

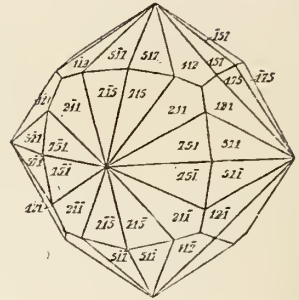


Fig. 53.

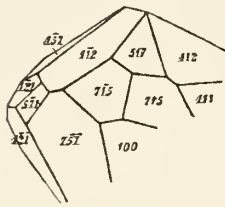


Fig. 54.

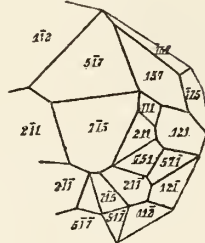


Fig. 55.

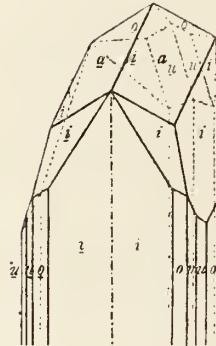


Fig. 56.

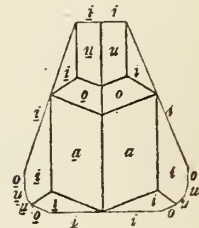


Fig. 57.

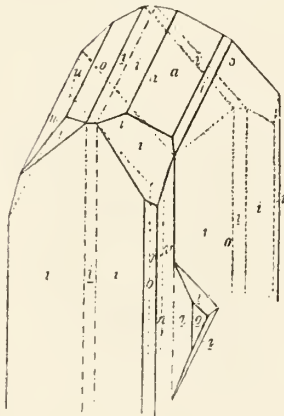


Fig. 58.

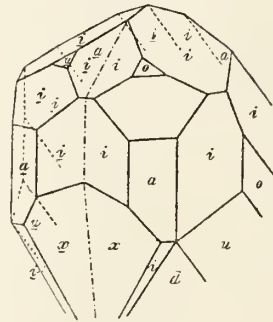


Fig. 59.

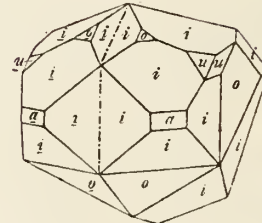


Fig. 60.



Fig. 61.

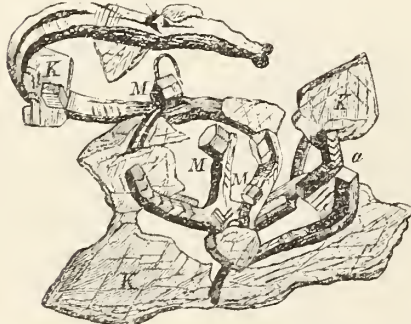


Fig. 62.

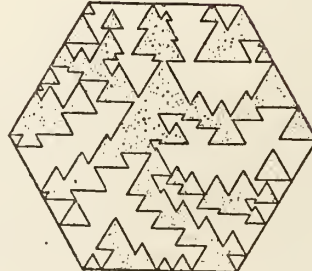
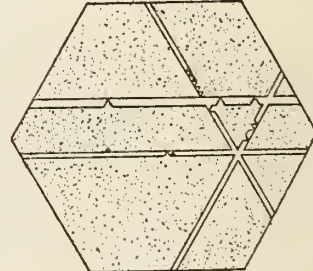


Fig. 63.



Silber

Silberglanz

Fig. 64.



Fig. 65.

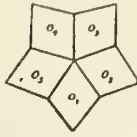


Fig. 1.

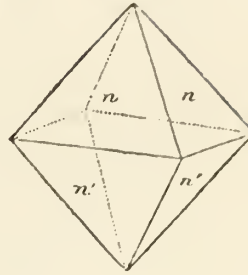


Fig. 2.

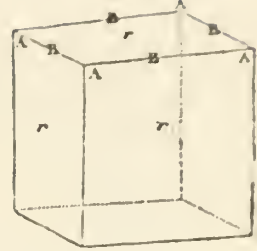


Fig. 3.

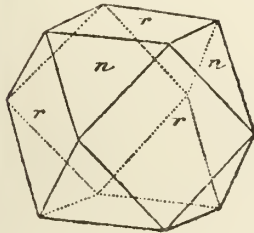


Fig. 4.

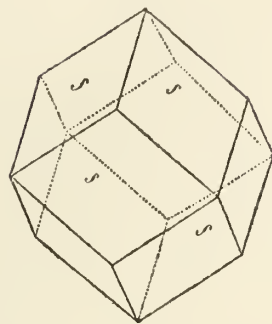


Fig. 5.

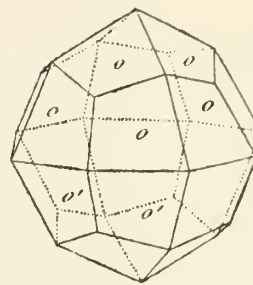


Fig. 6.

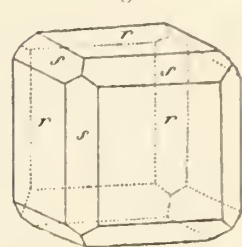


Fig. 7.

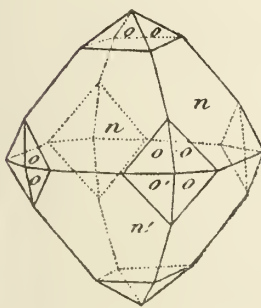


Fig. 8.

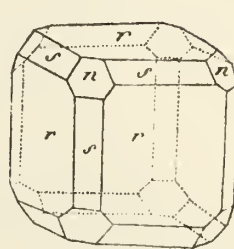


Fig. 9.

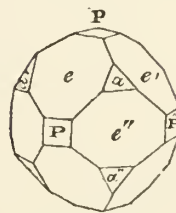


Fig. 10.

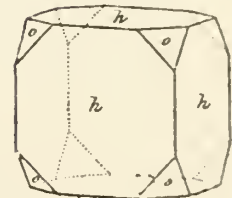


Fig. 12.

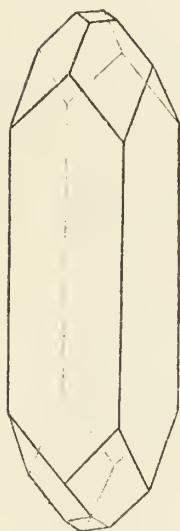


Fig. 11.

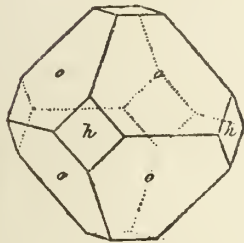


Fig. 13.

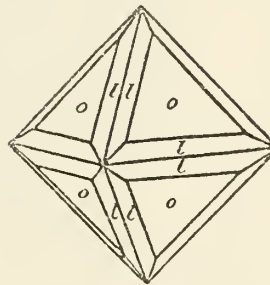


Fig. 14.

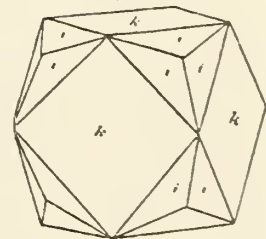


Fig. 15.

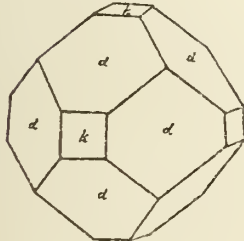


Fig. 16.

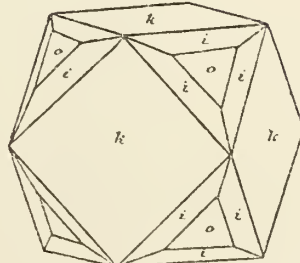


Fig. 17.

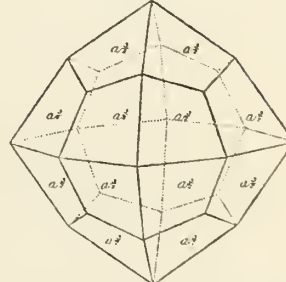
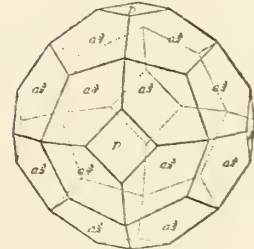
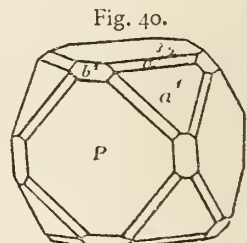
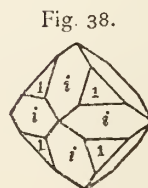
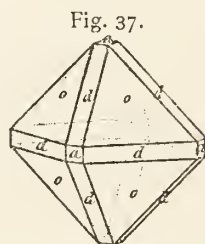
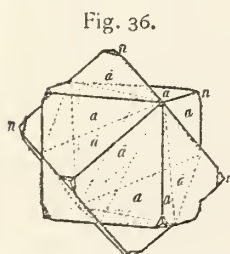
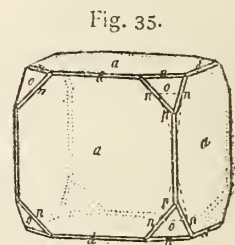
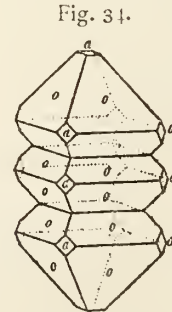
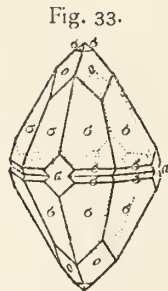
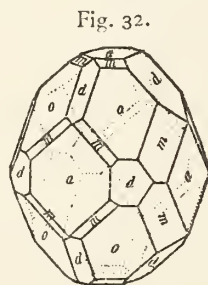
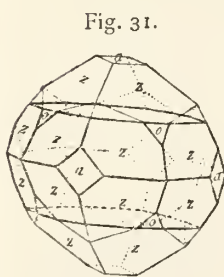
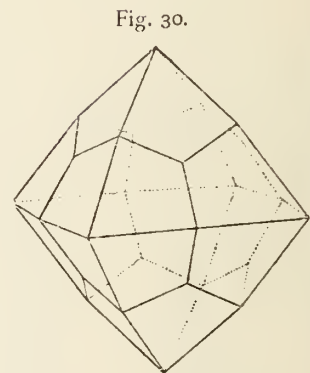
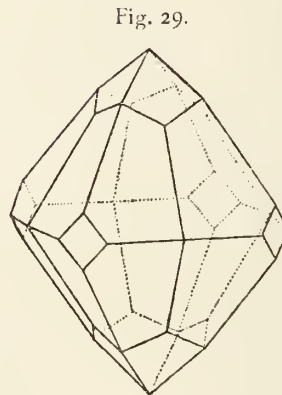
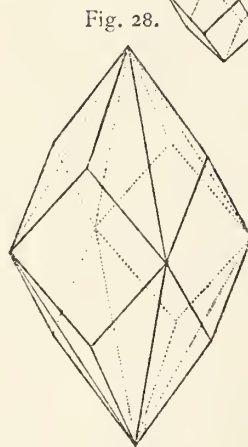
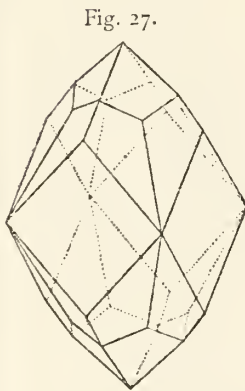
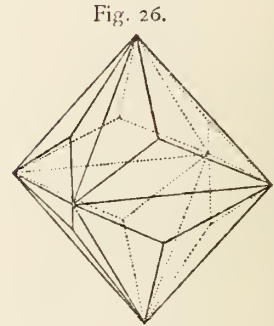
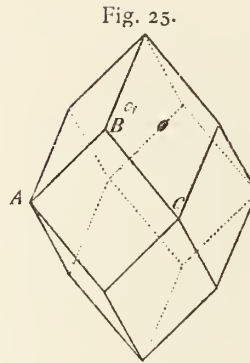
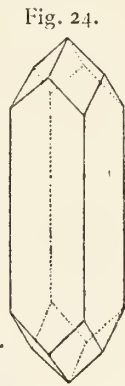
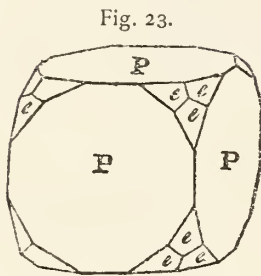
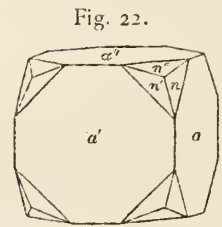
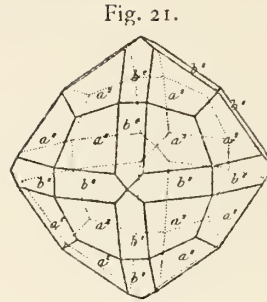
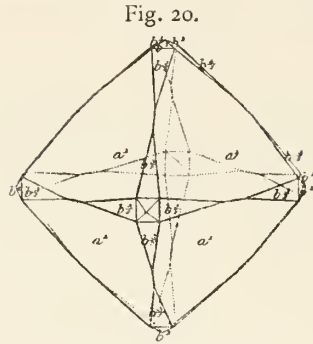
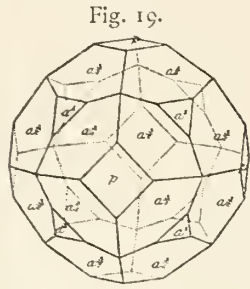


Fig. 18.



Silberglanz



Silberglanz

Fig. 41.

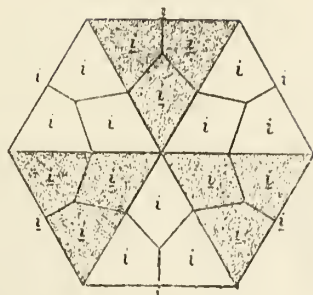


Fig. 42.

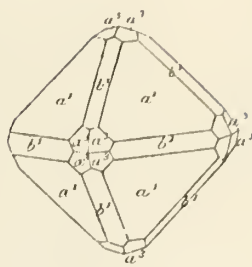


Fig. 43.

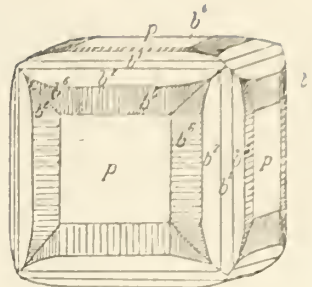
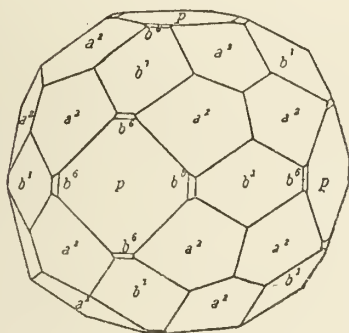


Fig. 44.



Silberkies

Fig. 1.

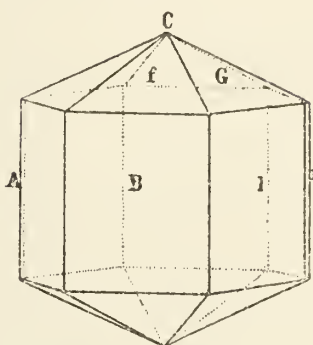


Fig. 2.

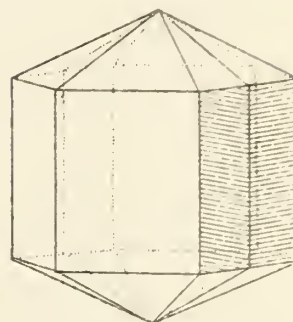


Fig. 3.

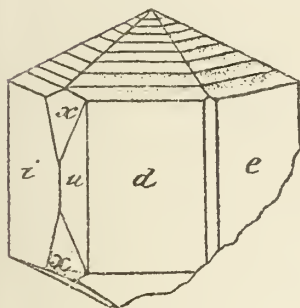


Fig. 4.

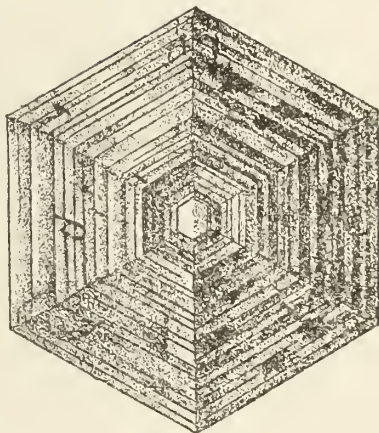


Fig. 5.

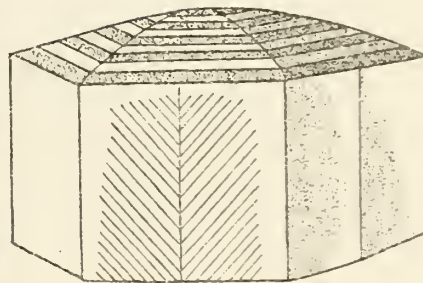


Fig. 6.

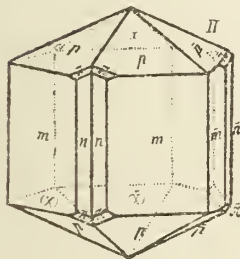


Fig. 7.

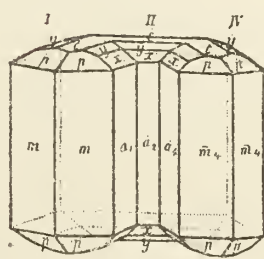


Fig. 8.

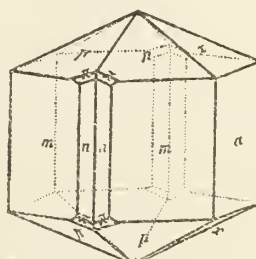
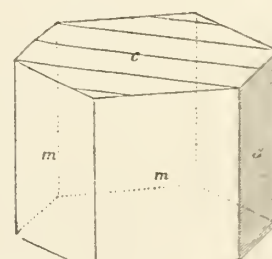


Fig. 9.



Silberkies

Fig. 10.

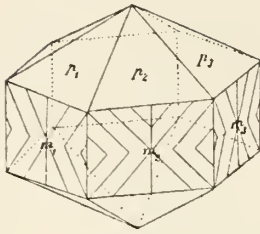
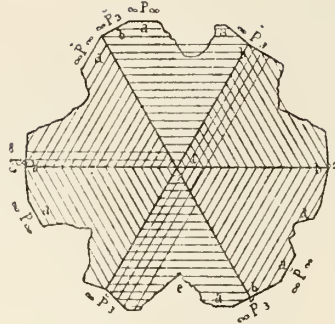


Fig. 11.



Fig. 12.



Sillimanit

Fig. 1.

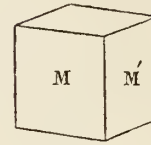


Fig. 2.

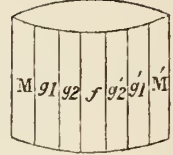


Fig. 3.

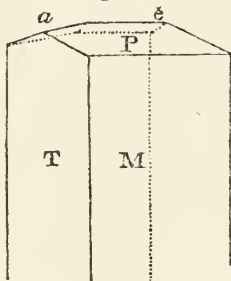


Fig. 4.

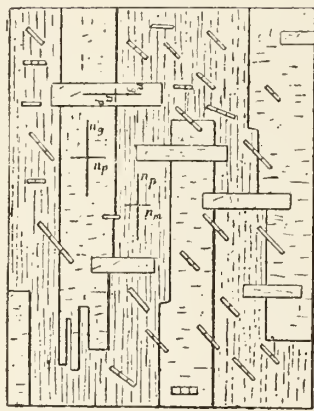


Fig. 5.

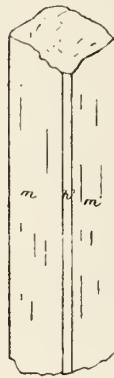


Fig. 6.

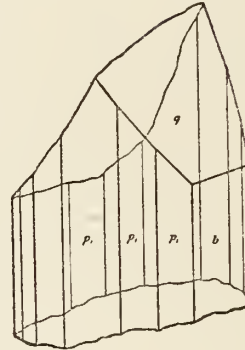


Fig. 1.

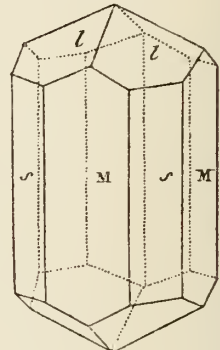


Fig. 2.

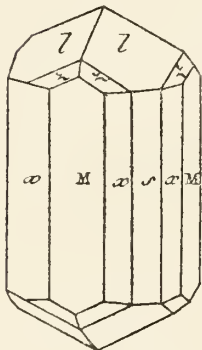


Fig. 3.

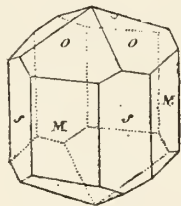


Fig. 4.

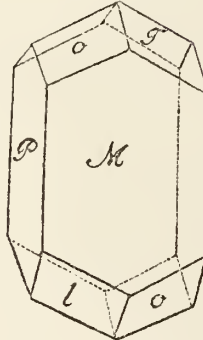


Fig. 5.

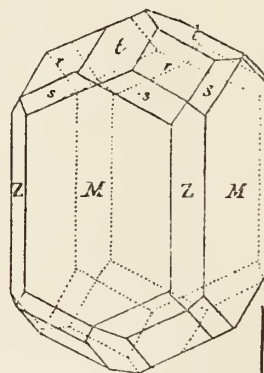


Fig. 6.

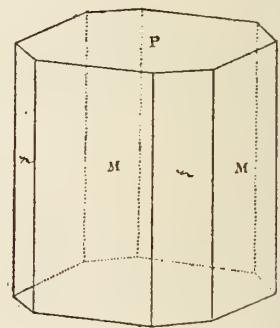


Fig. 7.

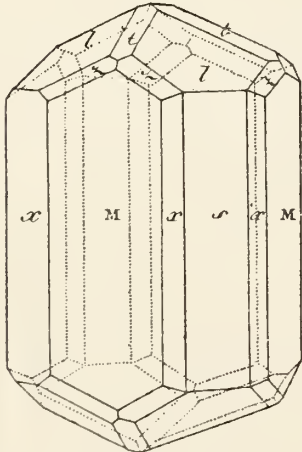


Fig. 8.

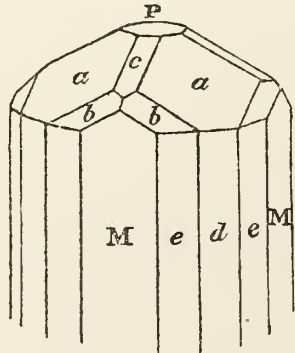
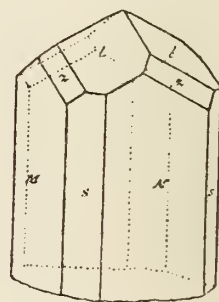


Fig. 9.



Skapolith-Gruppe

Fig. 10.

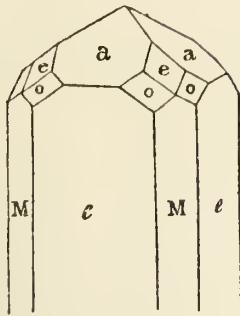


Fig. 11.

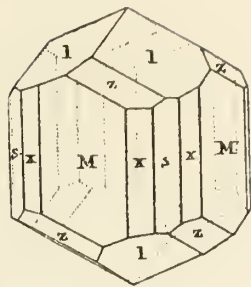


Fig. 12.

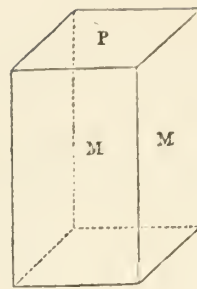


Fig. 13.

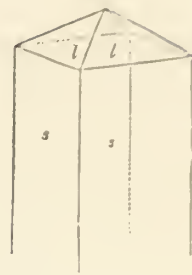


Fig. 14.

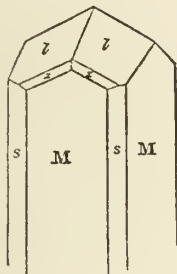


Fig. 15.

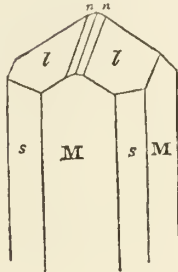


Fig. 16.

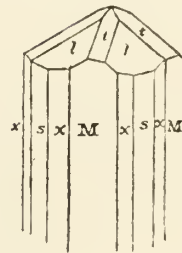


Fig. 17.

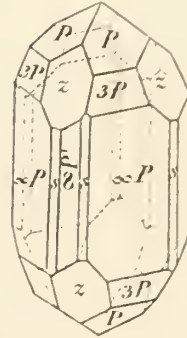


Fig. 18.

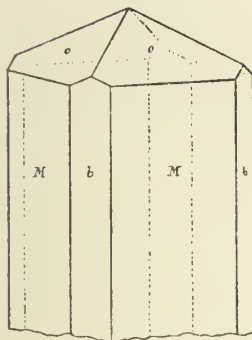


Fig. 19.

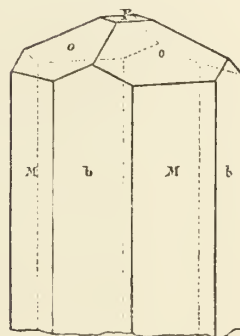


Fig. 20.

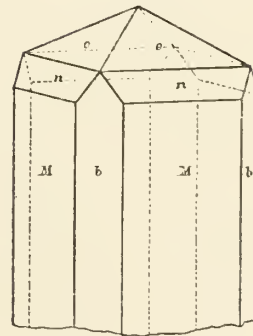
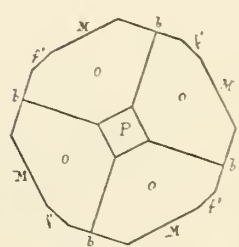
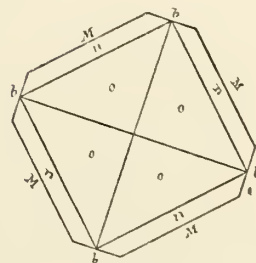
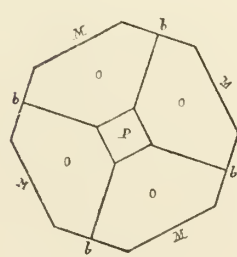
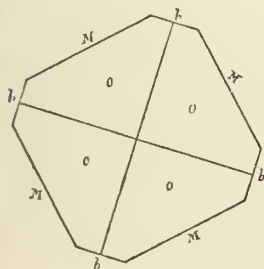
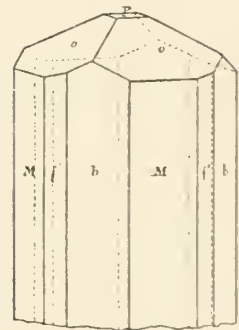


Fig. 21.



Skapolith-Gruppe

Fig. 22.

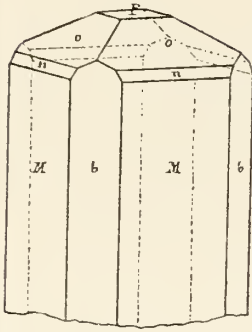


Fig. 23.

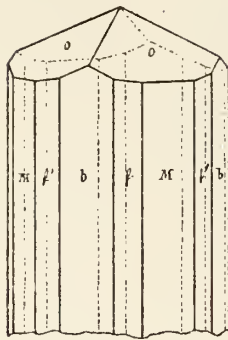


Fig. 24.

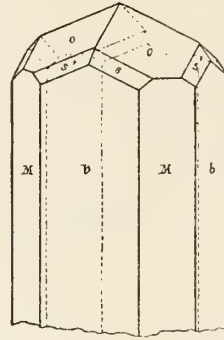


Fig. 25.

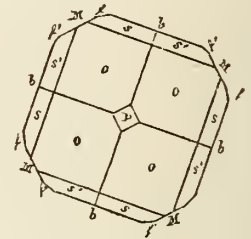
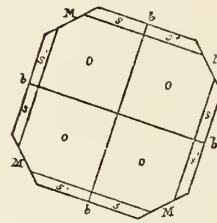
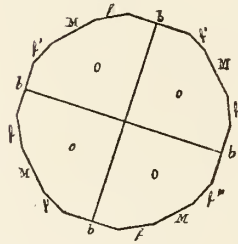
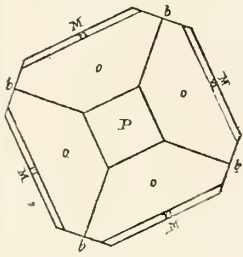
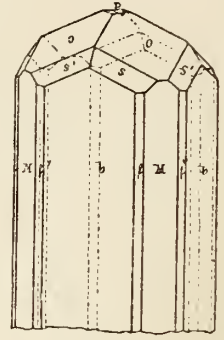


Fig. 26.

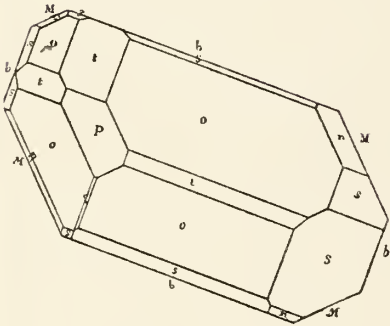


Fig. 27.

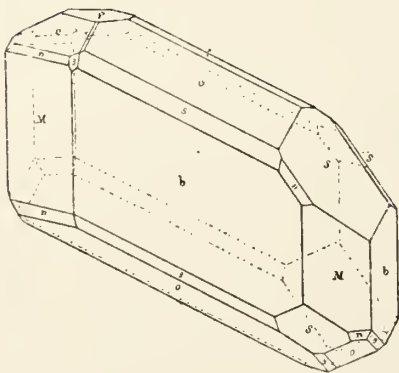
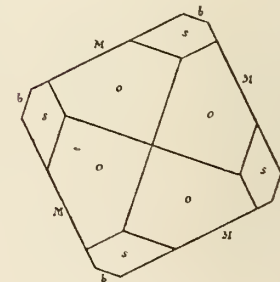
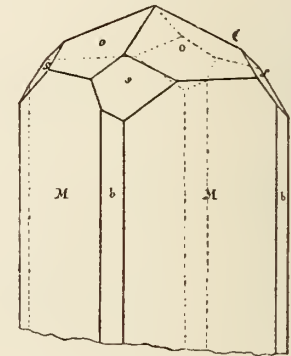


Fig. 28.



Fig. 29.



Skapolith-Gruppe

Fig. 30.

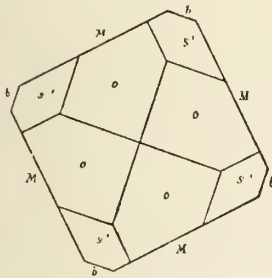
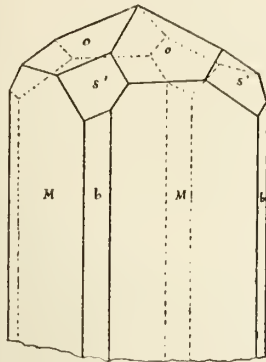


Fig. 31.

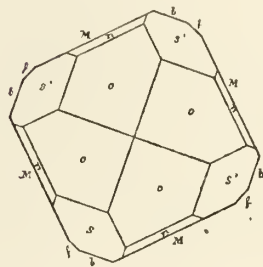
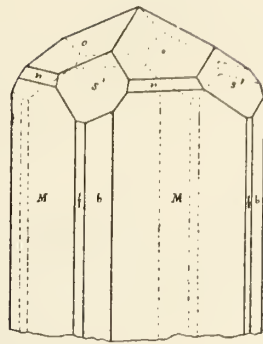


Fig. 32.

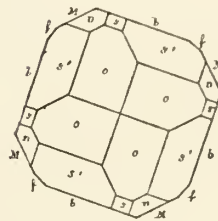
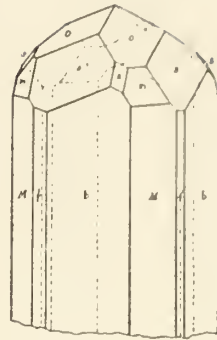


Fig. 33.

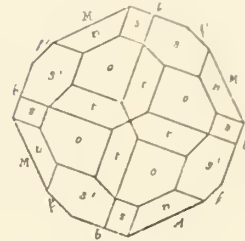
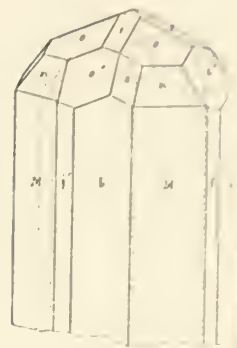


Fig. 34.

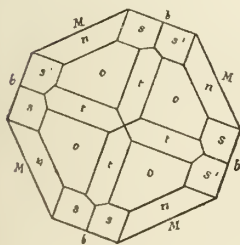
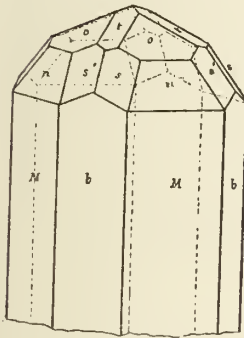


Fig. 35.

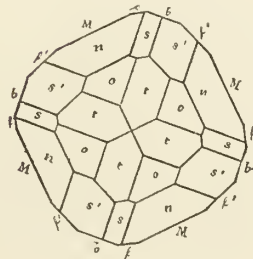
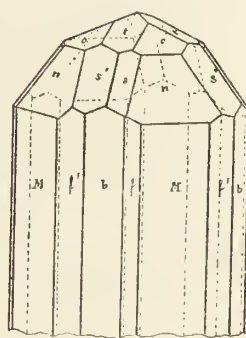


Fig. 36.

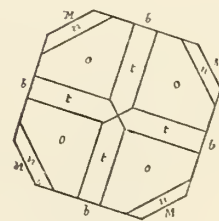
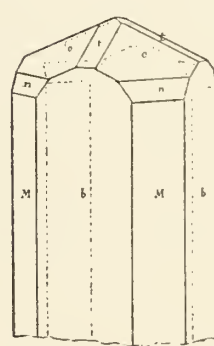
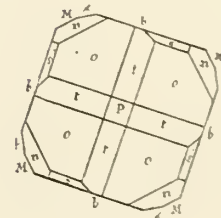
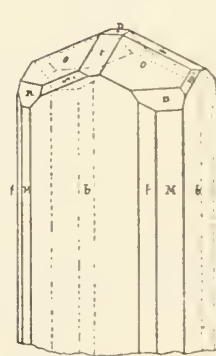


Fig. 37.



Skapolith-Gruppe

Fig. 38.

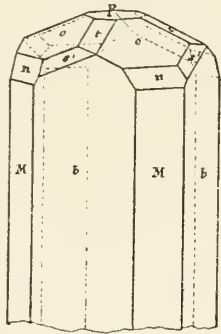


Fig. 39.

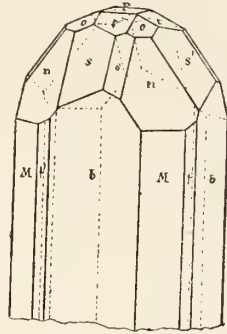


Fig. 40.

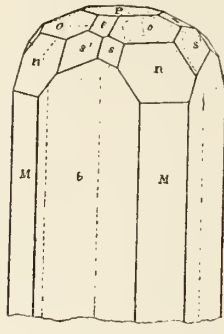


Fig. 41.

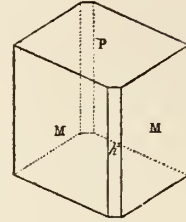


Fig. 42.

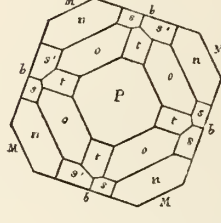
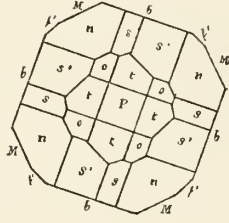
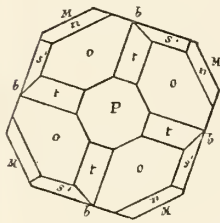
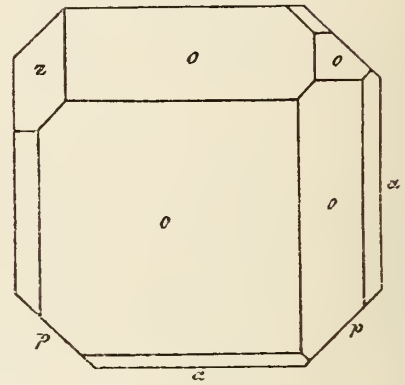


Fig. 43.

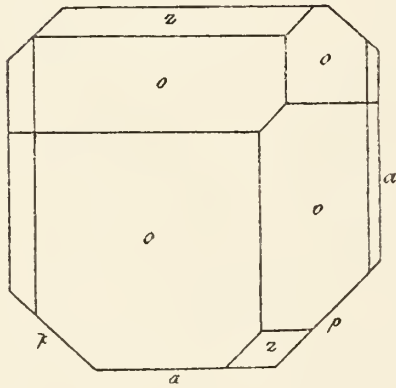


Fig. 44.

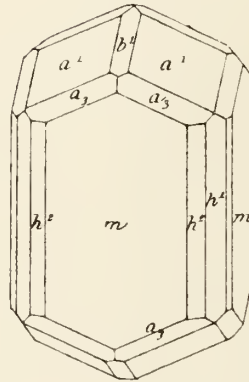


Fig. 45.

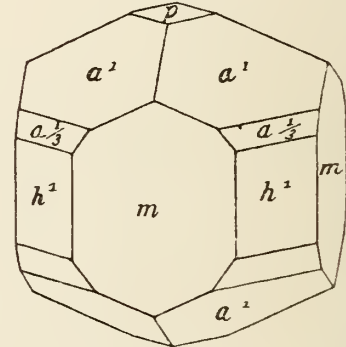


Fig. 46.

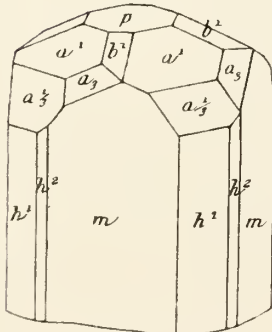


Fig. 47.

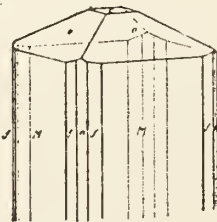


Fig. 48.

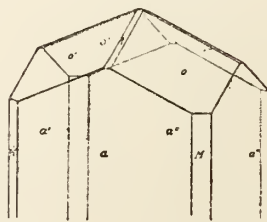
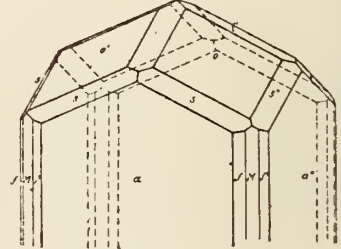


Fig. 49.



Skapolith-Gruppe

Fig. 50.

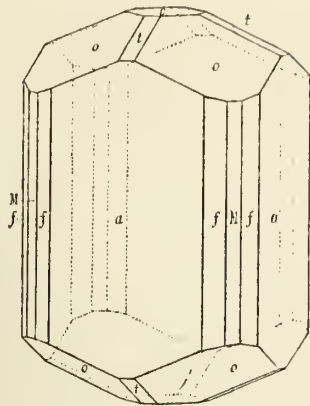


Fig. 51.

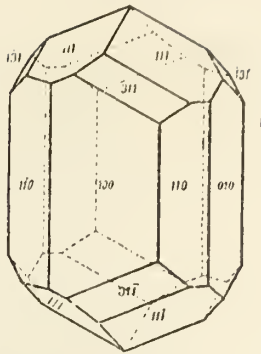


Fig. 52.

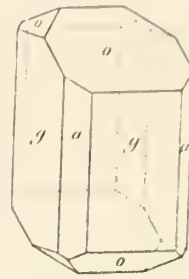


Fig. 53.



Fig. 54.

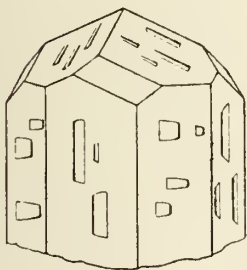


Fig. 55.

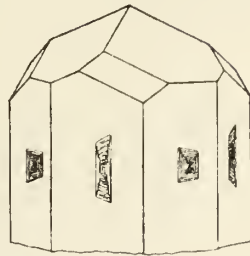


Fig. 56.

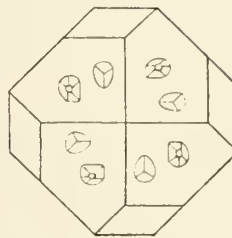


Fig. 57.

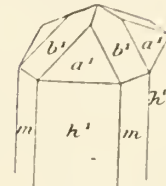


Fig. 58.

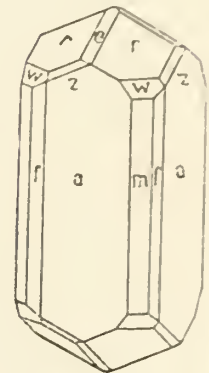


Fig. 60.

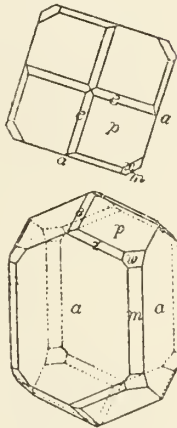


Fig. 61.

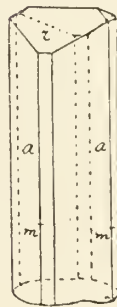
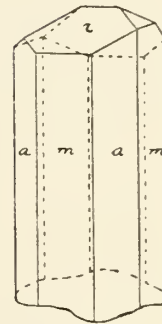


Fig. 62.



Skleroklas

Fig. 1.

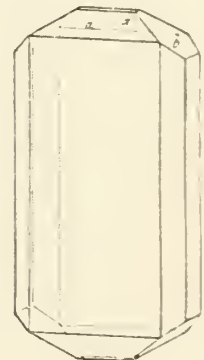


Fig. 59.

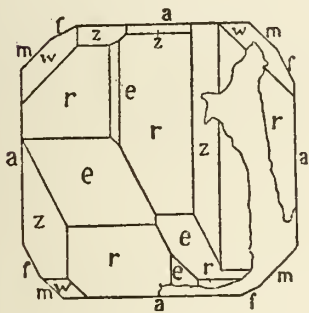


Fig. 2.

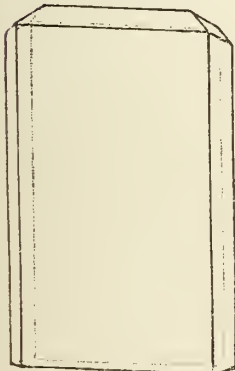


Fig. 3.

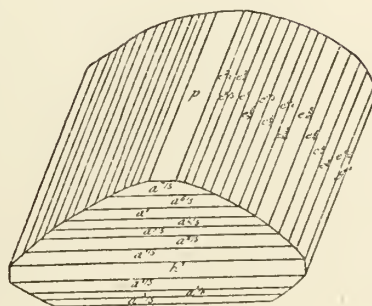


Fig. 4.

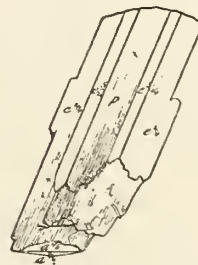
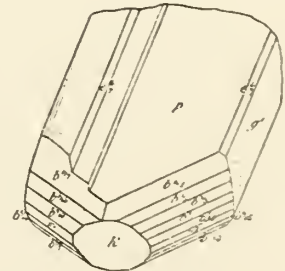


Fig. 5.



Skleroklas

Fig. 6.

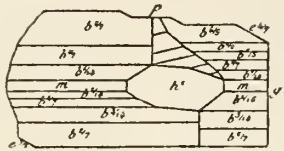


Fig. 7.

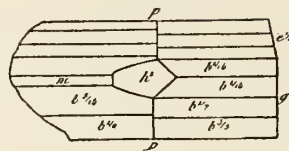


Fig. 8.

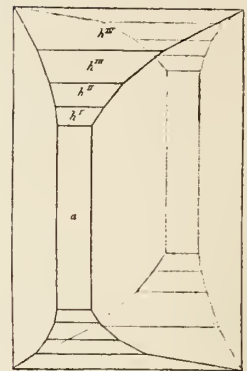


Fig. 9.

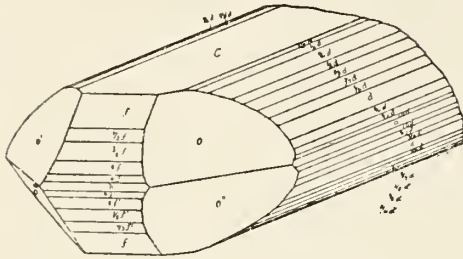


Fig. 10.

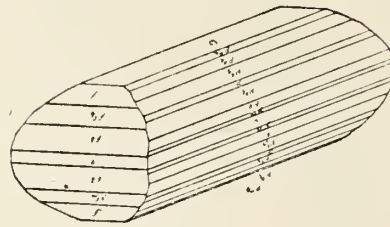


Fig. 11.

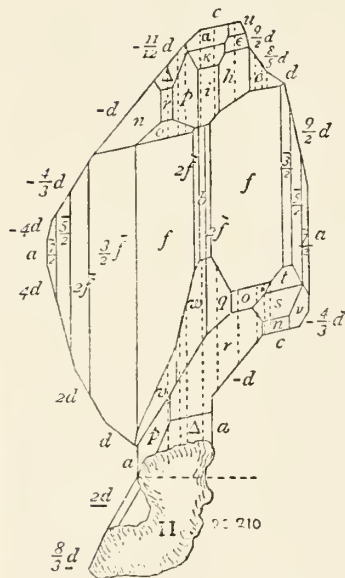


Fig. 12.

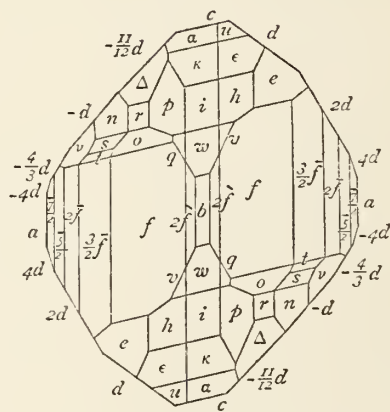


Fig. 13.

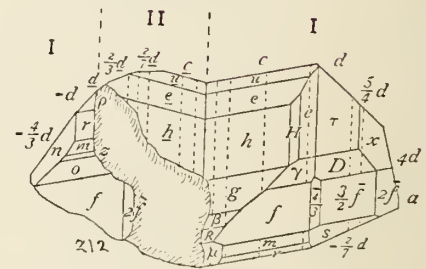
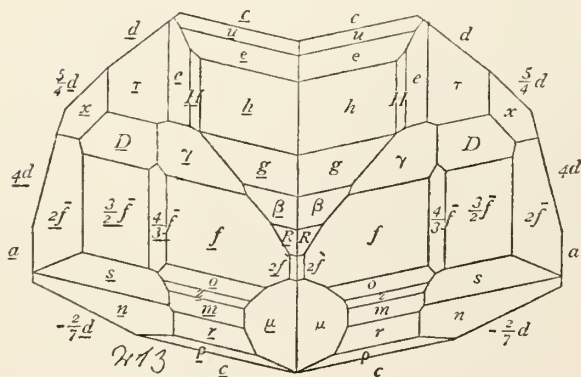


Fig. 14.



Skolezit

Fig. 1.

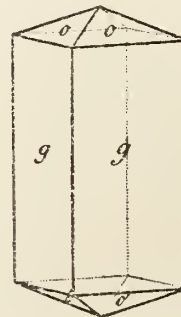


Fig. 2.

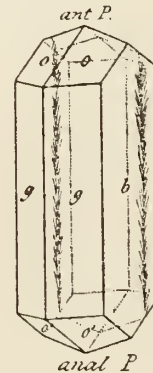
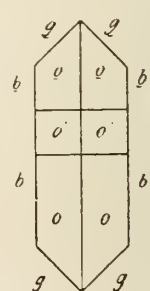


Fig. 3.



Skolezite

Fig. 4.

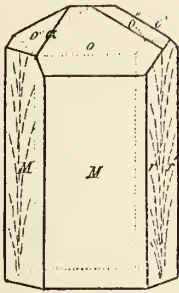


Fig. 5.

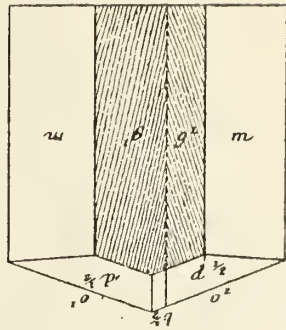


Fig. 6.

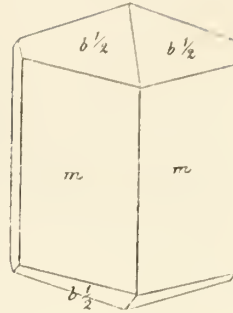


Fig. 7.

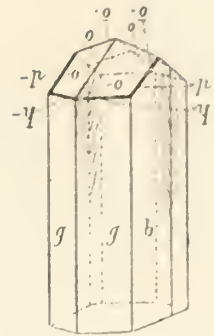


Fig. 8.

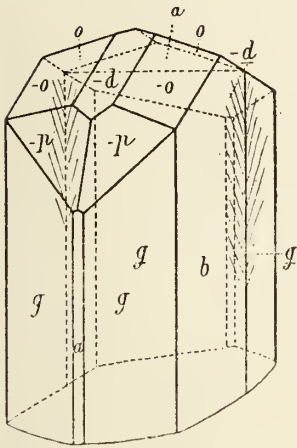


Fig. 9.

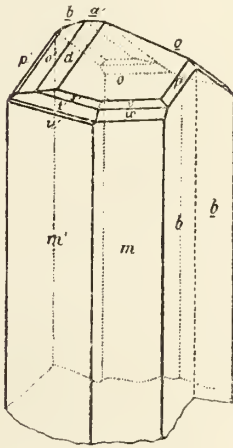


Fig. 10.

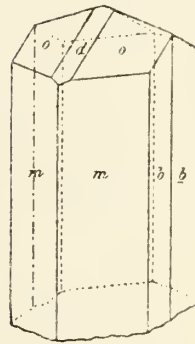


Fig. 11.

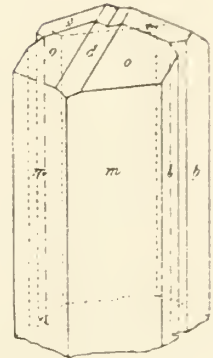


Fig. 12.

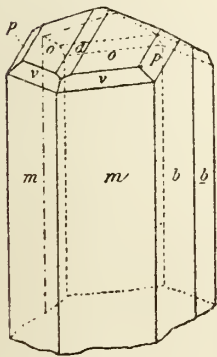


Fig. 13.

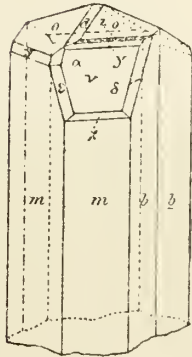


Fig. 14.

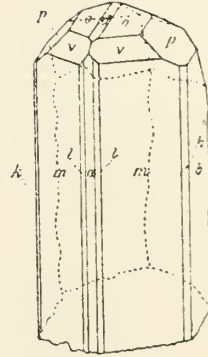
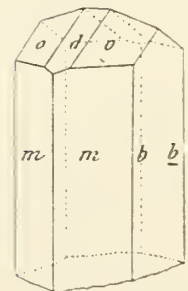
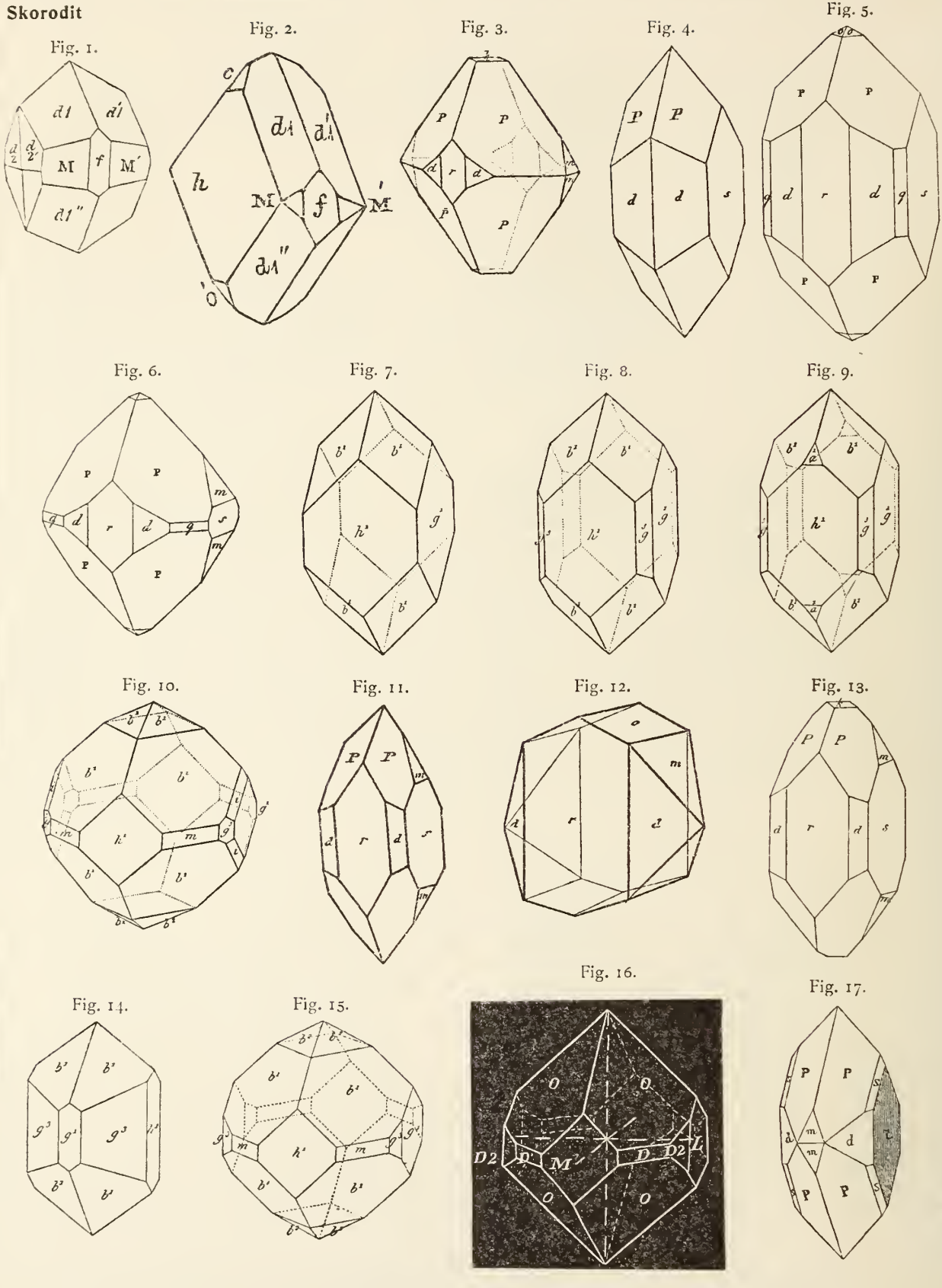


Fig. 15.



Skorodit



Skorodit

Fig. 18.

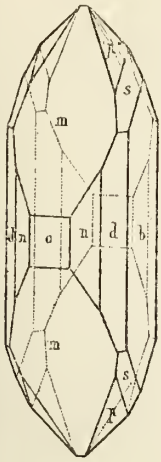


Fig. 19.

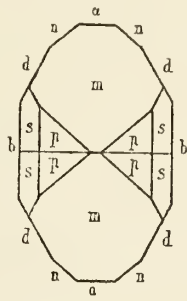


Fig. 20.

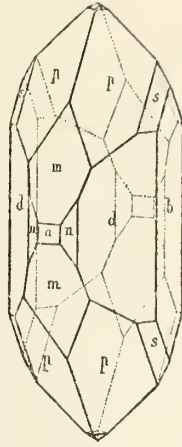


Fig. 21.

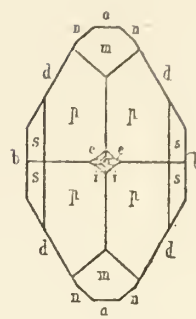


Fig. 22.

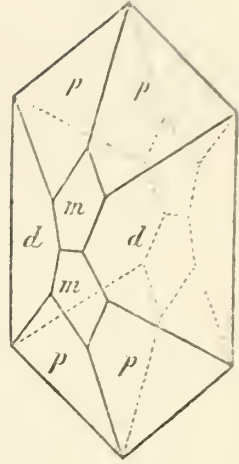


Fig. 23.

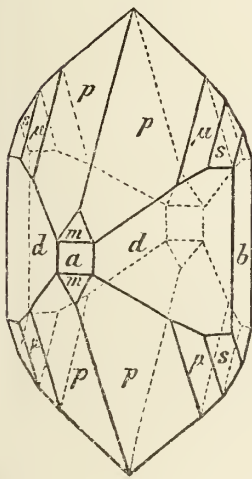


Fig. 24.

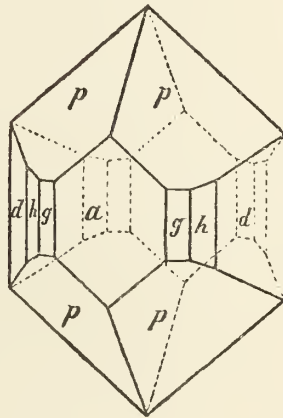


Fig. 25.

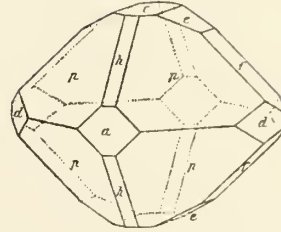


Fig. 27.

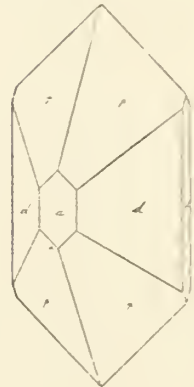


Fig. 26.

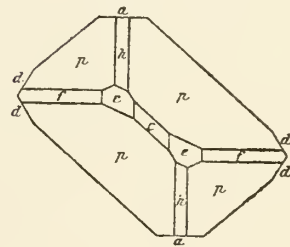


Fig. 28.



Fig. 29.

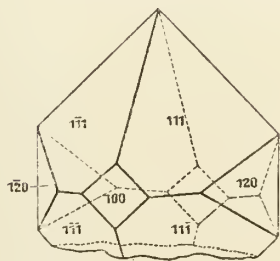
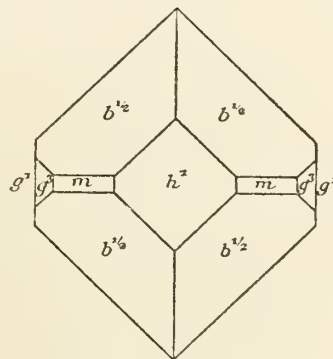
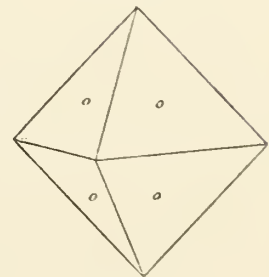


Fig. 30.



Skutterudit

Fig. 1.



Sodalith-Gruppe

Fig. 6.

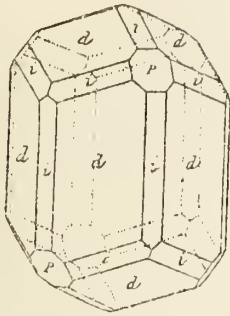


Fig. 7.

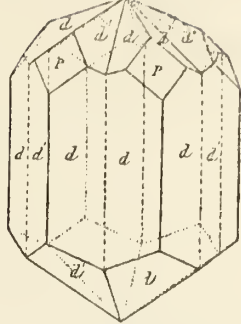


Fig. 8.

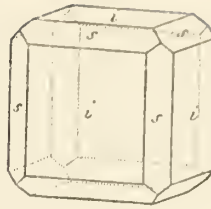


Fig. 9.



Fig. 10.

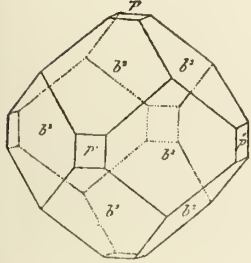


Fig. 11.

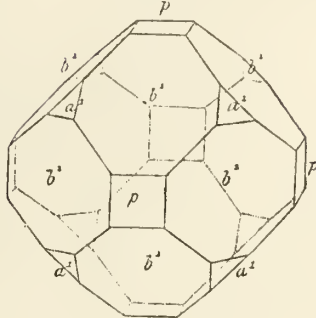


Fig. 12.

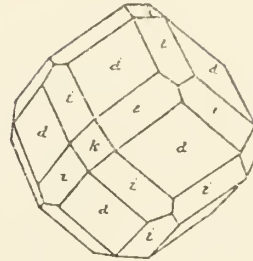


Fig. 13.

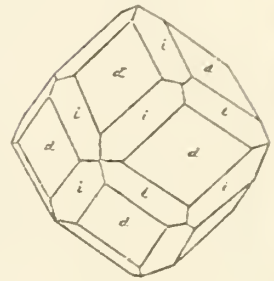


Fig. 14.

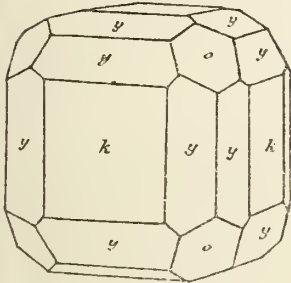


Fig. 15.

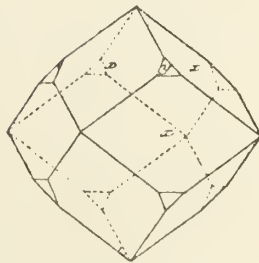


Fig. 16.



Fig. 17.

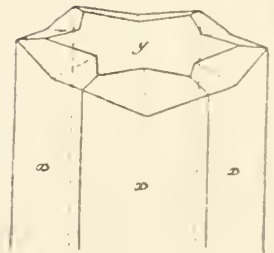


Fig. 18.

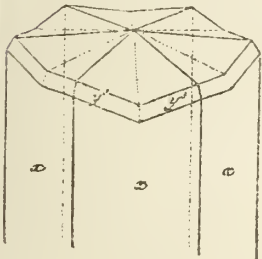


Fig. 19.



Fig. 20.



Fig. 21.



Fig. 22.

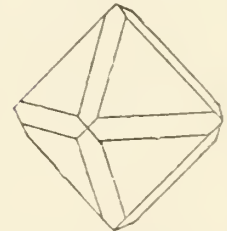


Fig. 23.

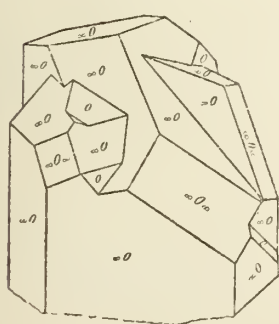


Fig. 24.

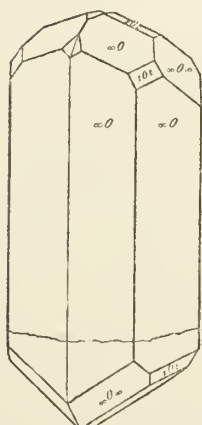


Fig. 25.

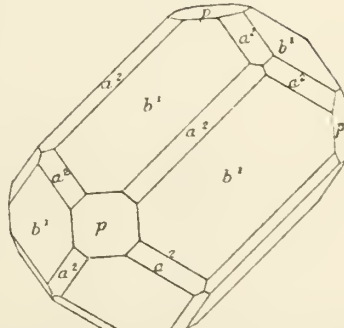
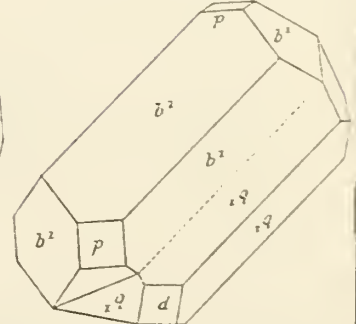


Fig. 26.



Sodalith-Gruppe

Fig. 27.

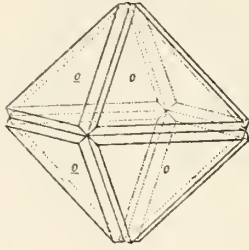


Fig. 28.

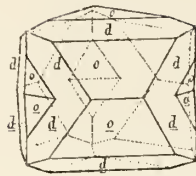


Fig. 29.

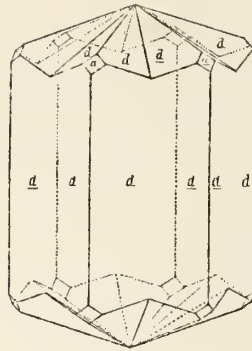


Fig. 30.

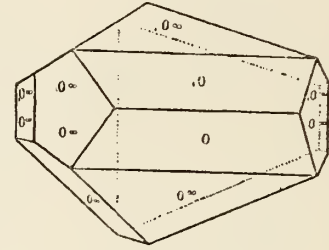


Fig. 31.

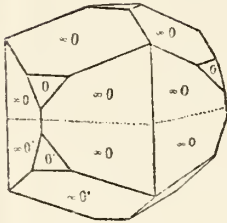


Fig. 32.

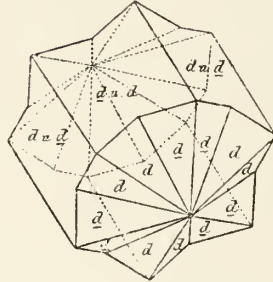


Fig. 33.

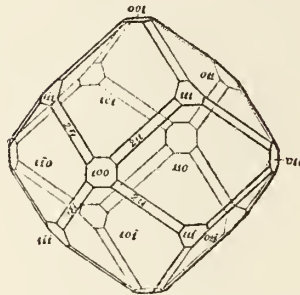


Fig. 34.

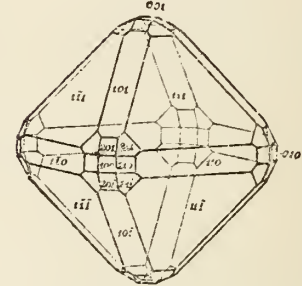


Fig. 35.

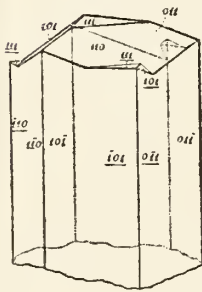


Fig. 36.

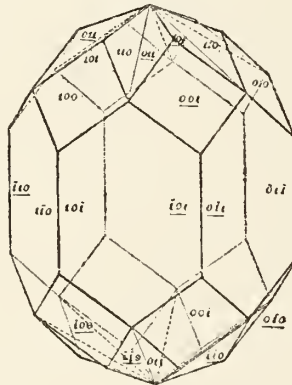


Fig. 37.

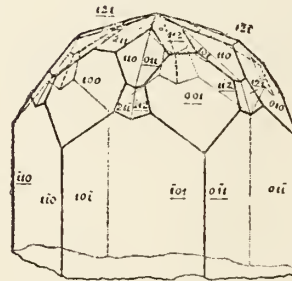


Fig. 38.

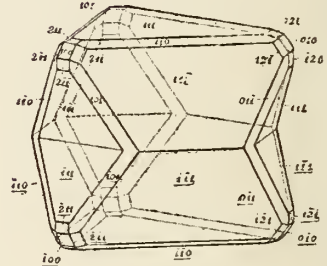


Fig. 39.

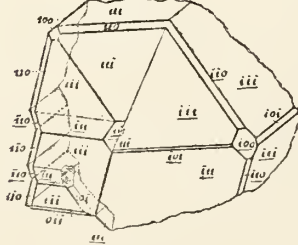


Fig. 40.

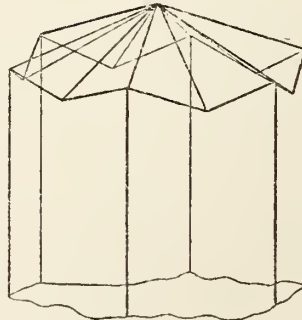
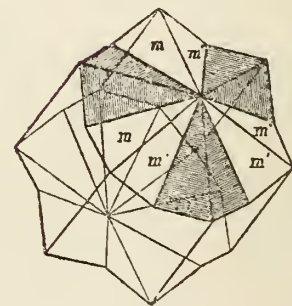
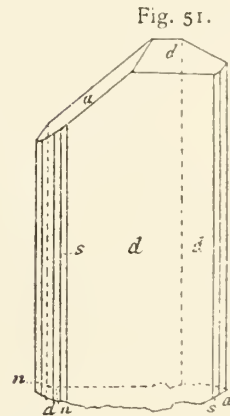
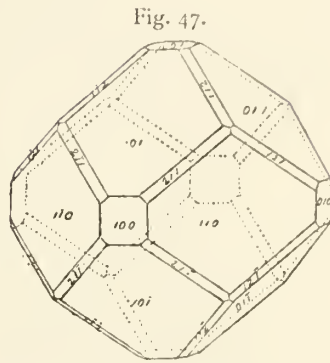
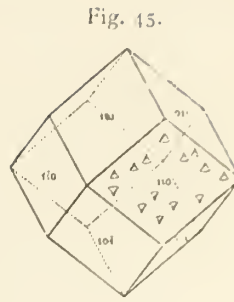
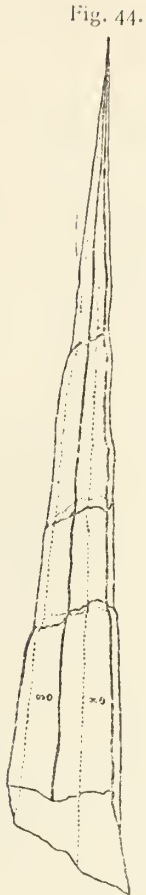
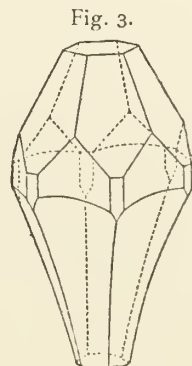
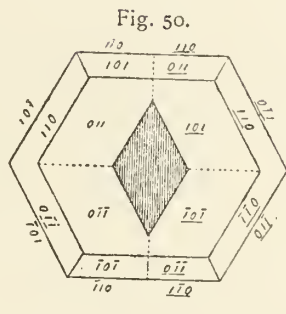
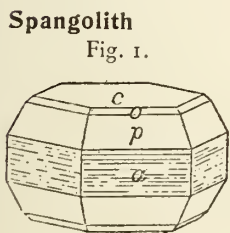
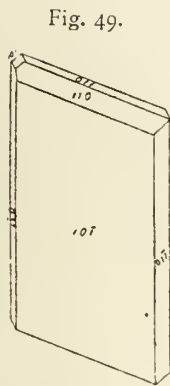
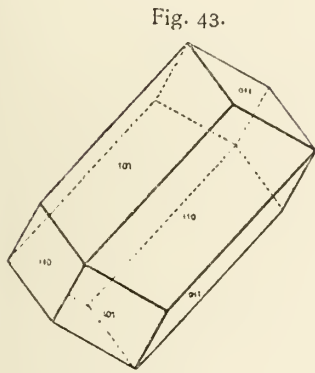
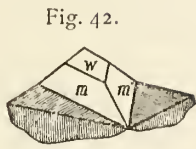


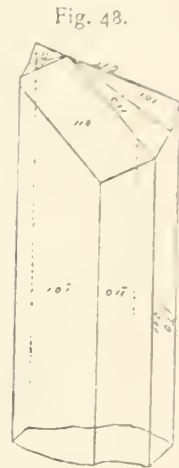
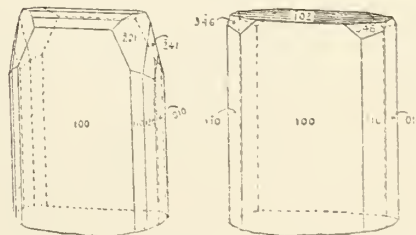
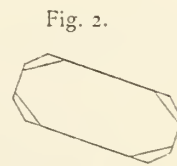
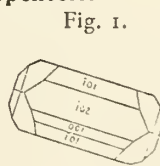
Fig. 41.



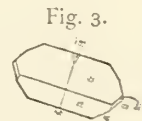
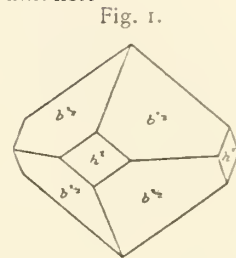
Sodalith-Gruppe



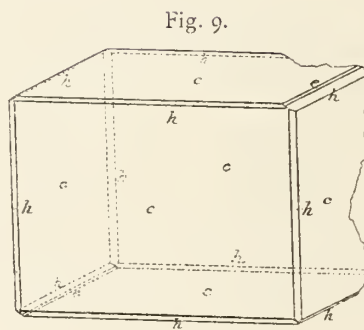
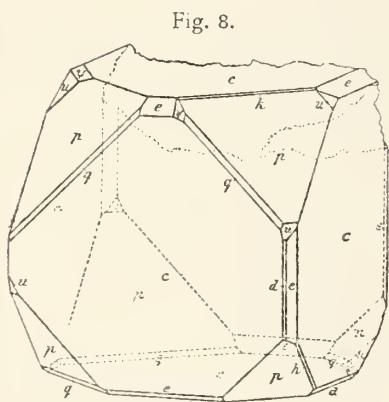
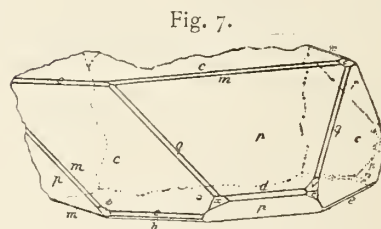
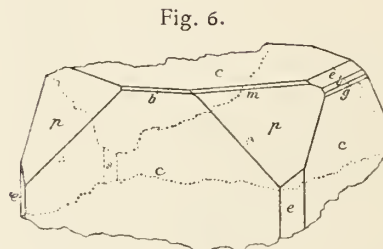
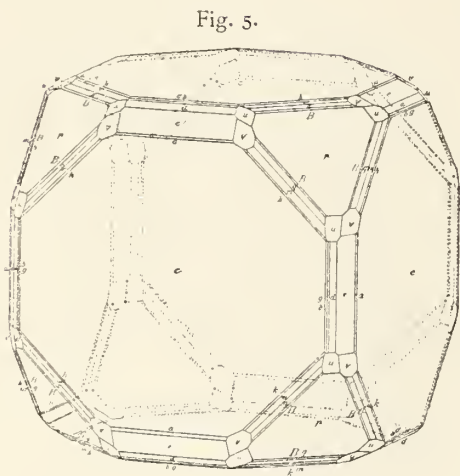
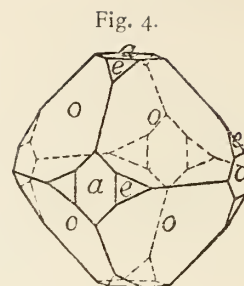
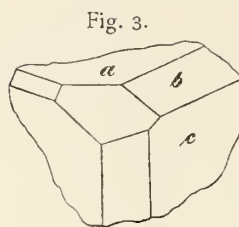
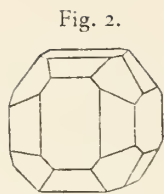
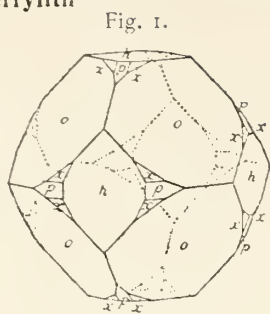
Spencerit



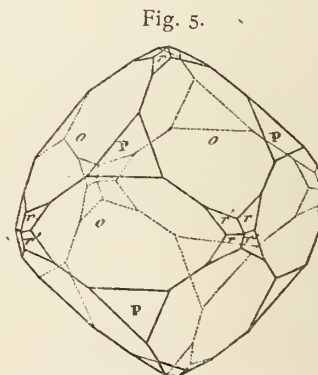
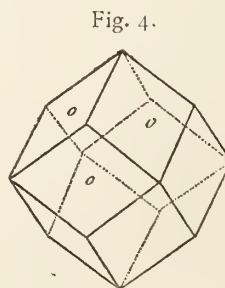
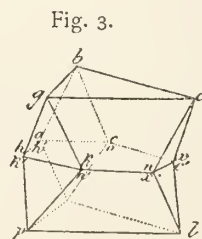
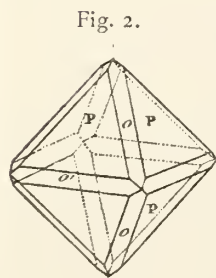
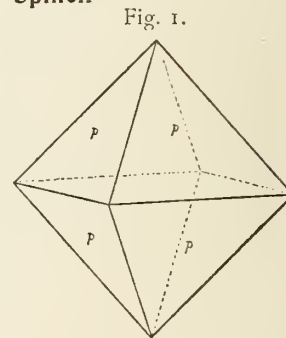
Soumansit



Sperrylith



Spinell



Spinell

Fig. 6.

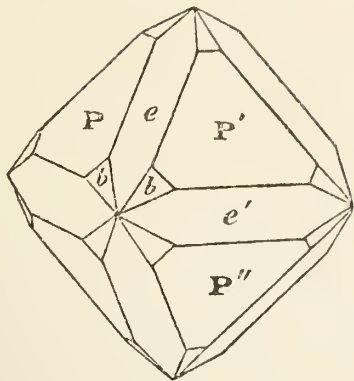


Fig. 7.

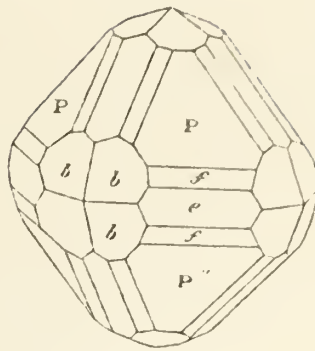


Fig. 8.

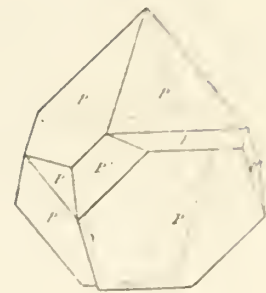


Fig. 9.

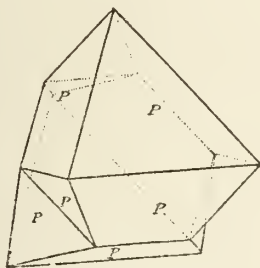


Fig. 10.

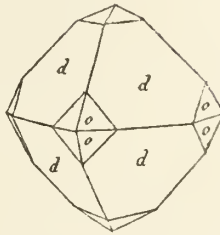


Fig. 11.

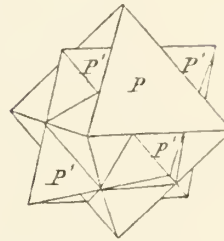


Fig. 12.



Fig. 13.

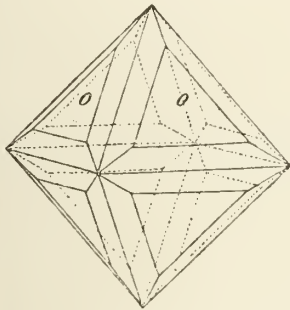


Fig. 14.

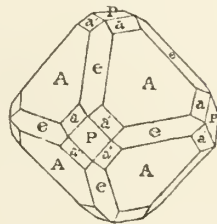


Fig. 15.

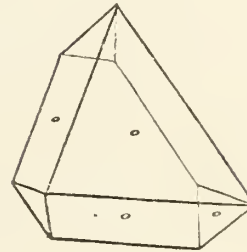


Fig. 16.

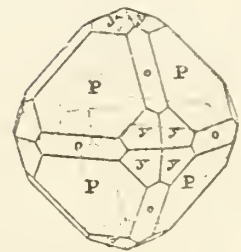


Fig. 17.

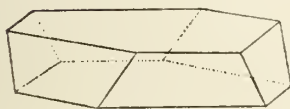


Fig. 18.

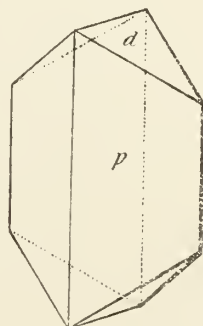


Fig. 19.

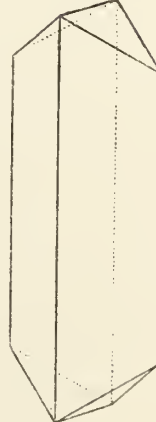


Fig. 20.

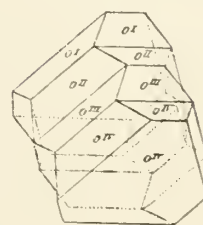
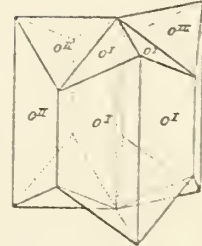


Fig. 21.



Spinell

Fig. 22.

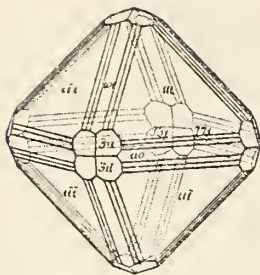


Fig. 23.

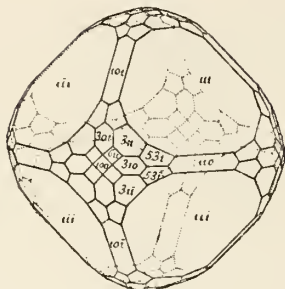


Fig. 24.

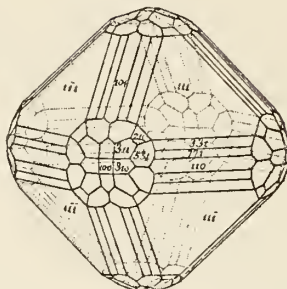


Fig. 25.

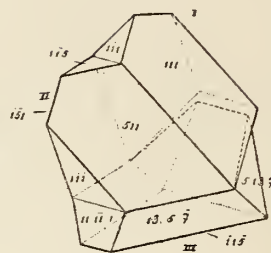


Fig. 26.

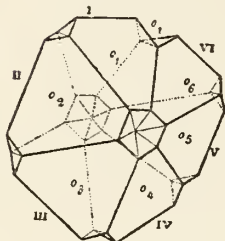


Fig. 27.

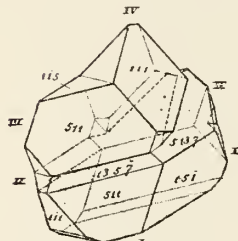


Fig. 28.

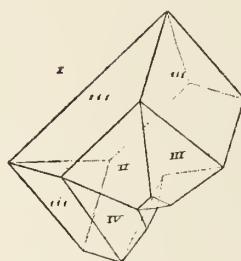


Fig. 29.

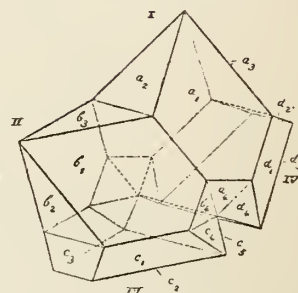


Fig. 30.

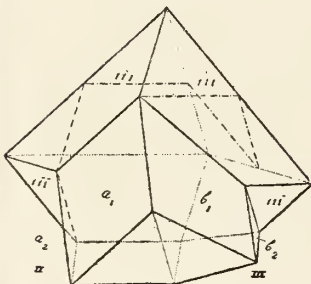


Fig. 31.

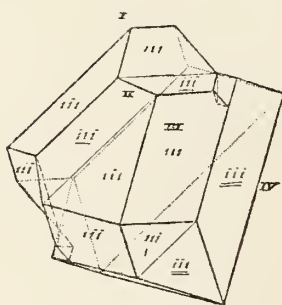


Fig. 32.

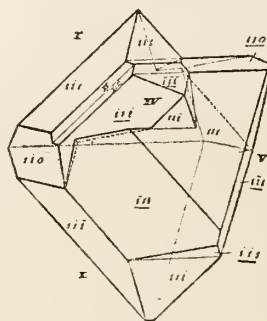


Fig. 33.

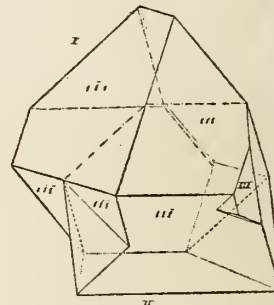


Fig. 34.

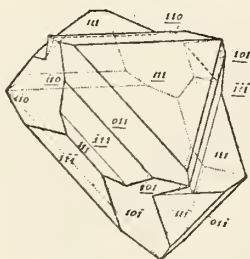


Fig. 35.

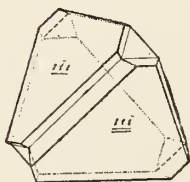


Fig. 36.

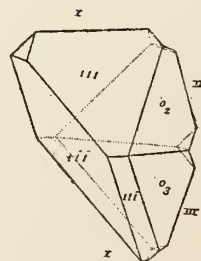
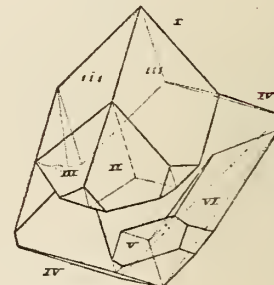


Fig. 37.



Spinnell

Fig. 38.

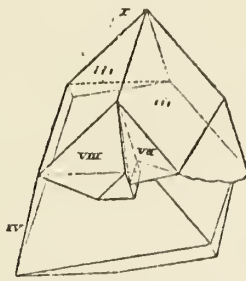


Fig. 39.

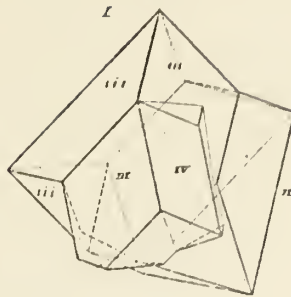


Fig. 40.

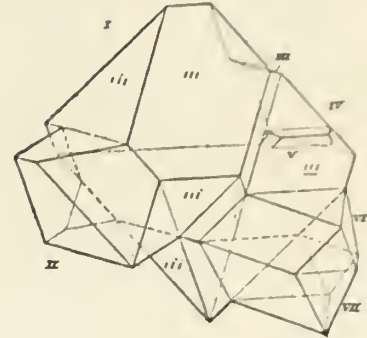


Fig. 41.

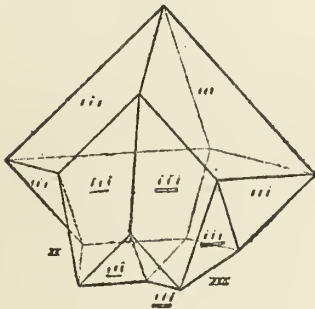


Fig. 42.

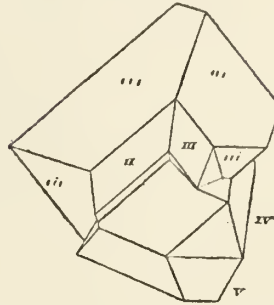


Fig. 43.

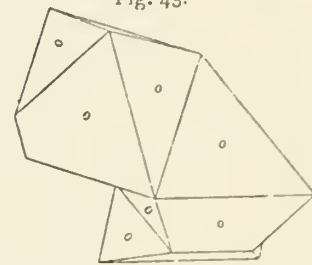


Fig. 44.

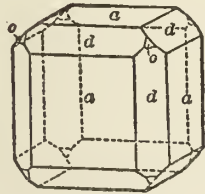


Fig. 45.

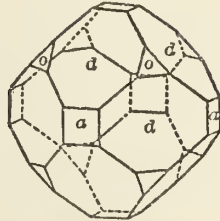


Fig. 46.

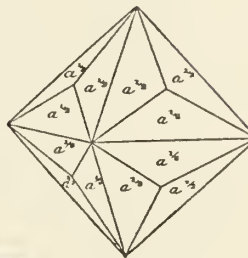
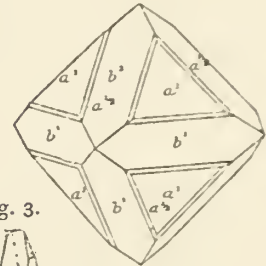


Fig. 47.



Spodosit

Fig. 1.

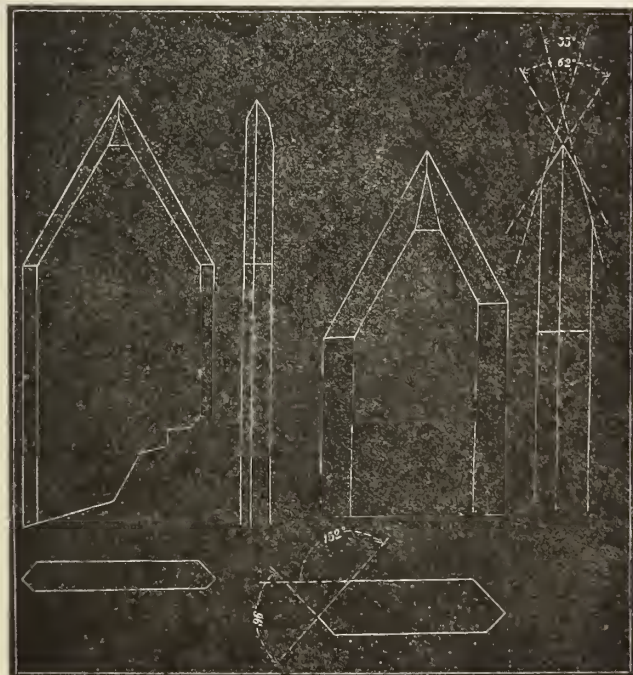


Fig. 3.



Fig. 2.



Fig. 4.



Stauroolith

Fig. 4.

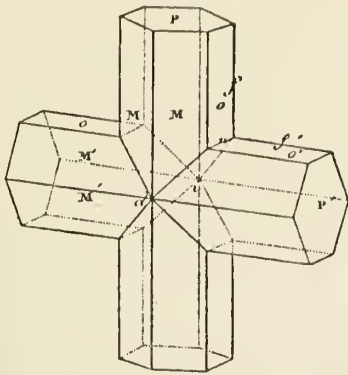


Fig. 5.

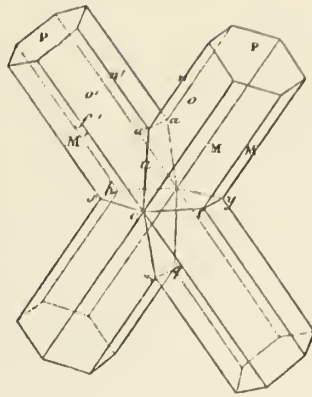


Fig. 6.

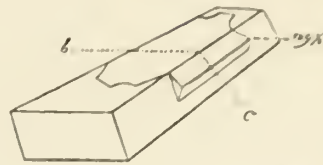


Fig. 7.

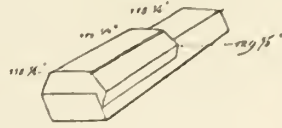


Fig. 8.



Fig. 9.

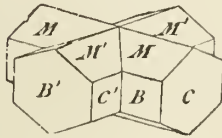


Fig. 11.

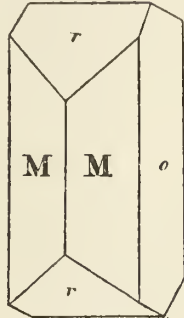


Fig. 12.

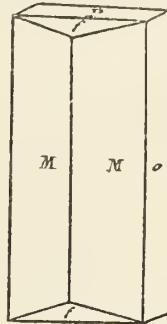


Fig. 13.

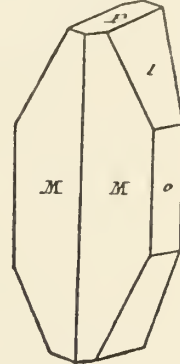


Fig. 14.

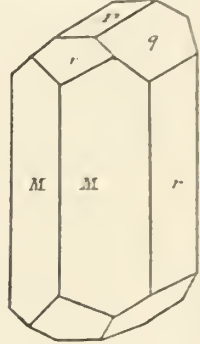


Fig. 10.

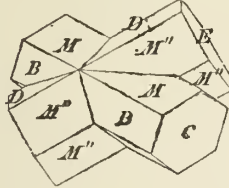


Fig. 15.

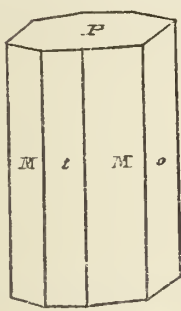


Fig. 16.

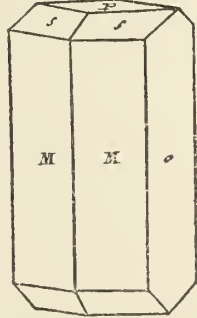


Fig. 17.

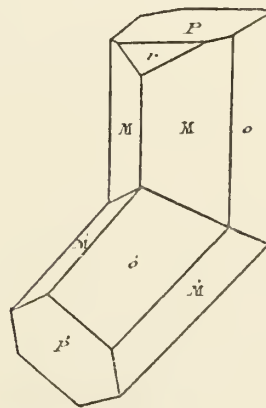


Fig. 18.

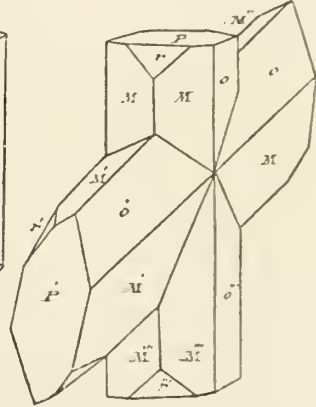


Fig. 19.

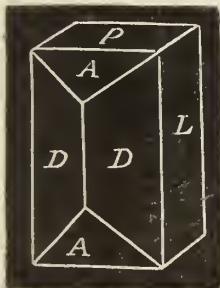


Fig. 20.

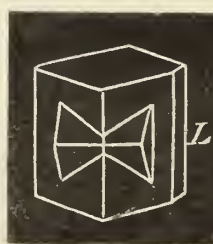


Fig. 21.

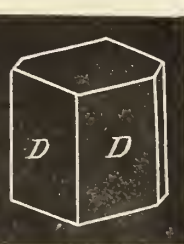


Fig. 22.

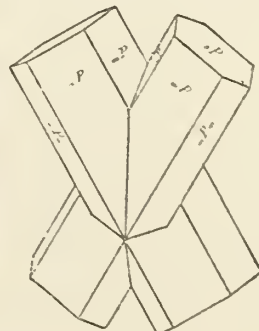


Fig. 23.



Staurolith

Fig. 24.

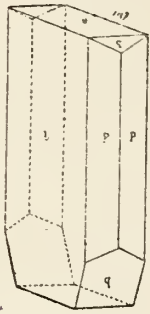


Fig. 25.

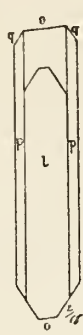


Fig. 26.

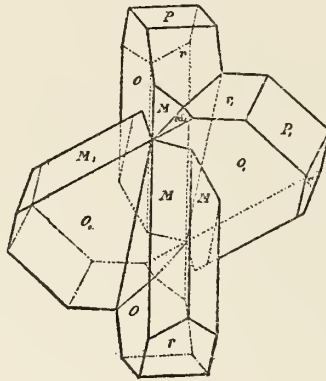


Fig. 27.

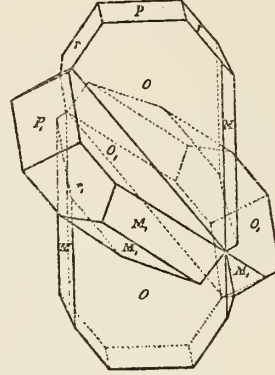


Fig. 28.

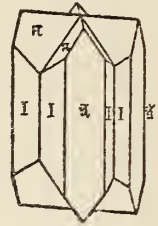


Fig. 29.

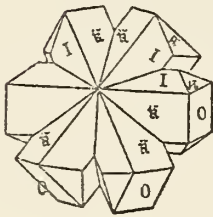


Fig. 30.

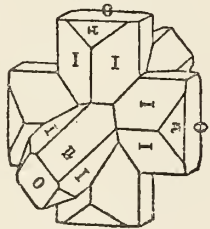


Fig. 31.

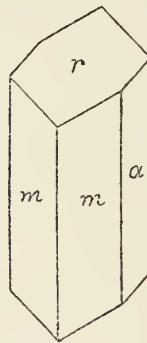


Fig. 32.

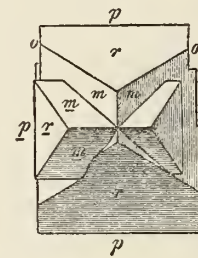


Fig. 33.

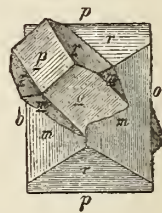


Fig. 34.

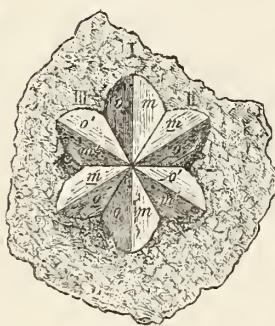


Fig. 35.

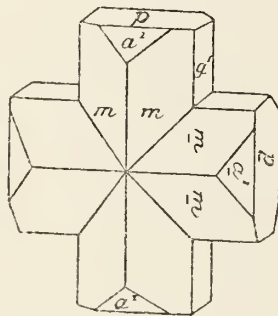


Fig. 36.



Fig. 37.

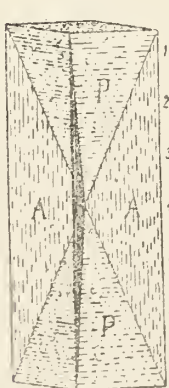


Fig. 38.

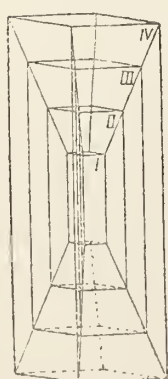


Fig. 39.



Fig. 40.

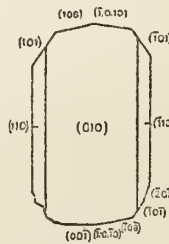
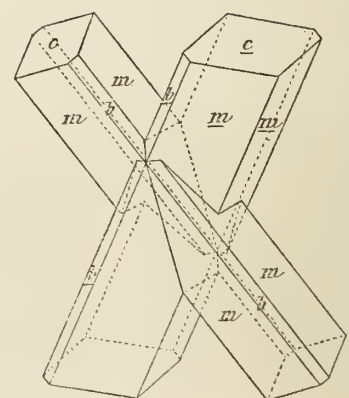


Fig. 41.



Steenstrupit

Fig. 1.

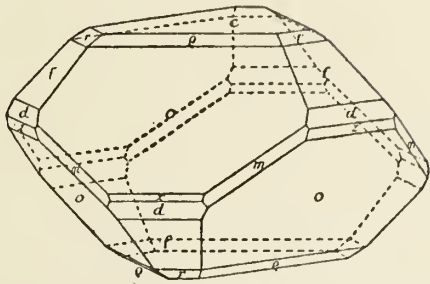


Fig. 2.

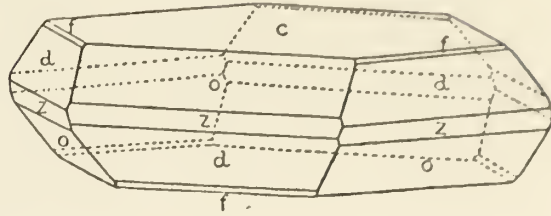
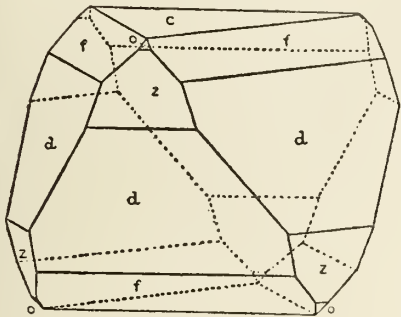


Fig. 3.



Steinsalz

Fig. 1.

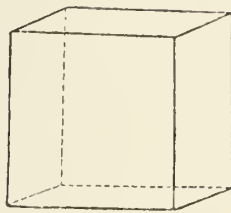


Fig. 2.

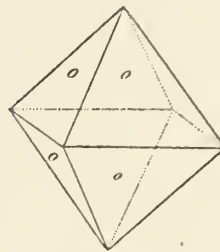


Fig. 3.

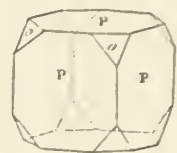


Fig. 4.

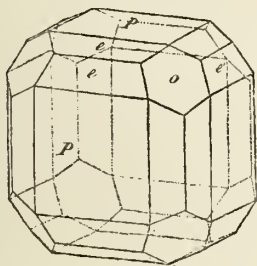


Fig. 5.

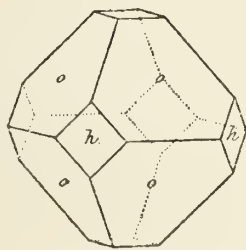


Fig. 6.

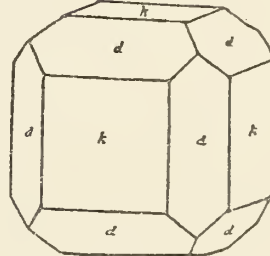


Fig. 7.

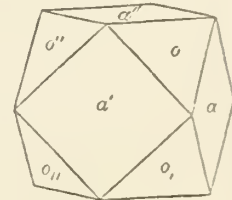


Fig. 8.

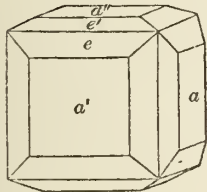


Fig. 9.

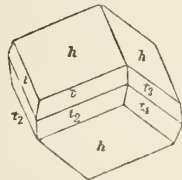


Fig. 10.

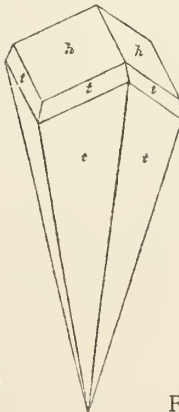


Fig. 11.

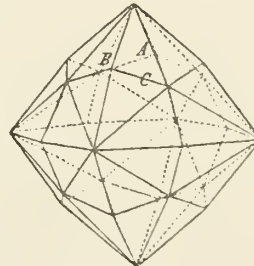


Fig. 12.

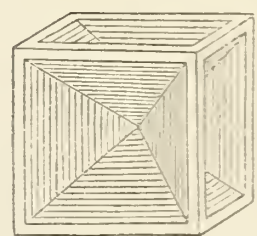


Fig. 14.

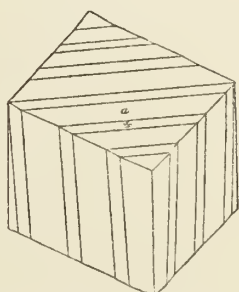


Fig. 13.

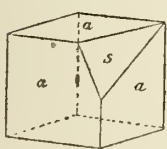


Fig. 15.



Fig. 16.

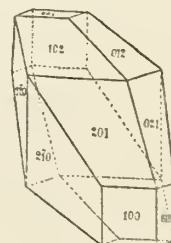
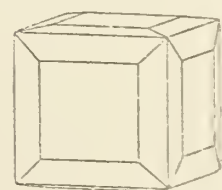


Fig. 17.



Steinsalz

Fig. 18.

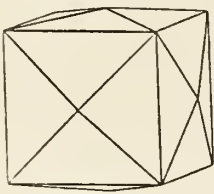


Fig. 19.

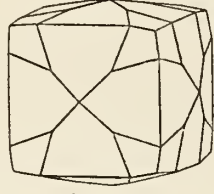


Fig. 20.

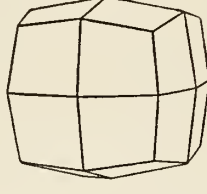


Fig. 21.

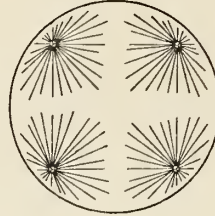
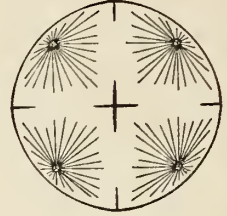


Fig. 22.



Stercorit

Fig. 23.

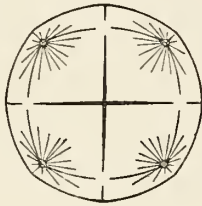


Fig. 24.

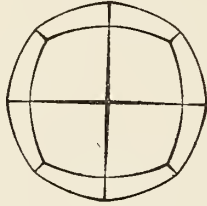


Fig. 1.

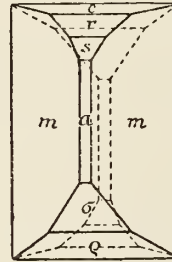
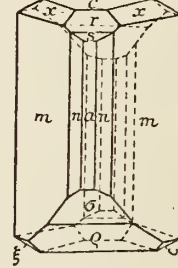


Fig. 2.



Sternbergit

Fig. 1.



Fig. 2.



Fig. 3.

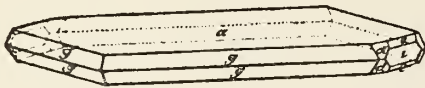


Fig. 4.

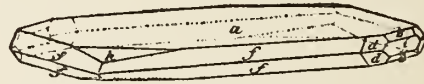


Fig. 5.

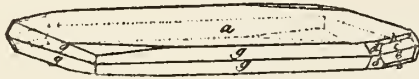


Fig. 6.

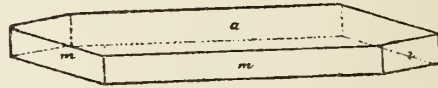


Fig. 7.

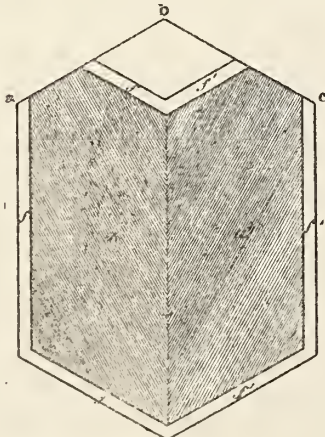


Fig. 8.

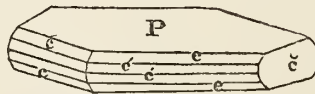


Fig. 9.

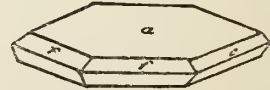


Fig. 10.

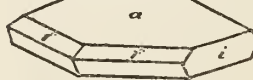


Fig. 11.

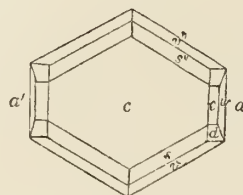
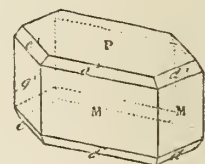


Fig. 12.



Stibiotantalit

Fig. 1.

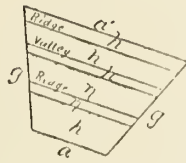


Fig. 2.

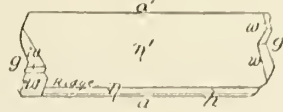


Fig. 4.

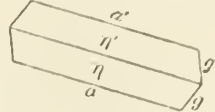


Fig. 5.



Fig. 3.

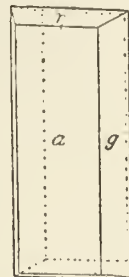
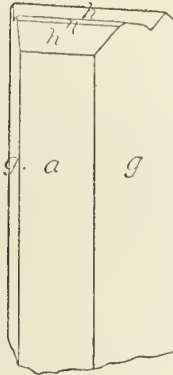
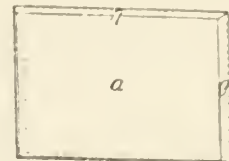
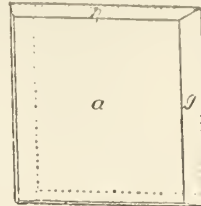
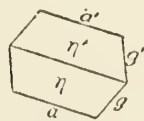


Fig. 8.

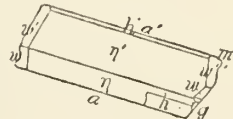


Fig. 9.

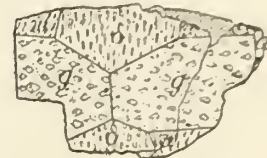


Fig. 6.

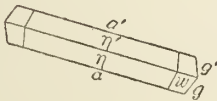


Fig. 7.

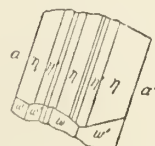


Fig. 10.

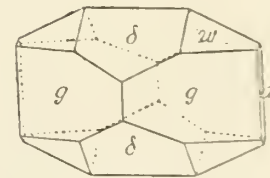
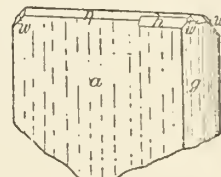
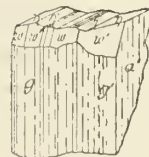
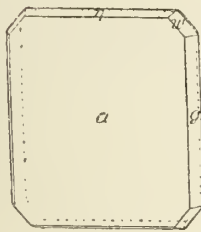
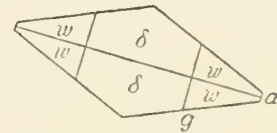


Fig. 11.

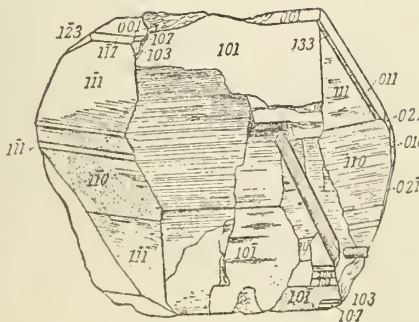


Fig. 12.

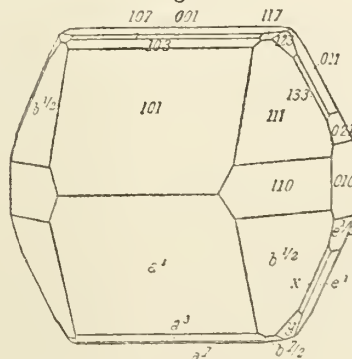
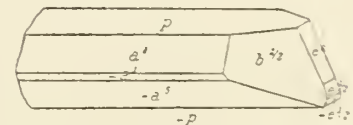


Fig. 13.



Stokesit

Stolzit

Fig. 1.

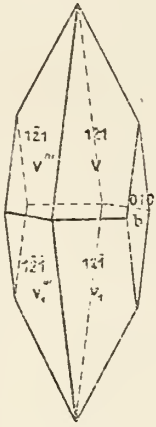


Fig. 1.

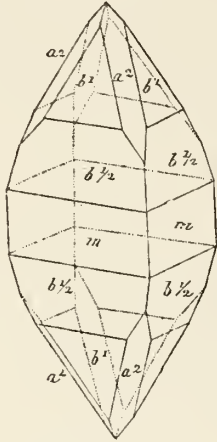


Fig. 2.

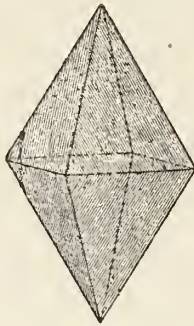


Fig. 3.

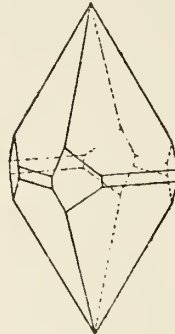


Fig. 4.

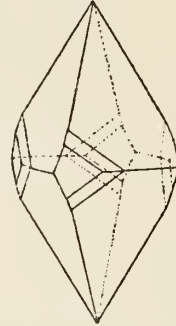


Fig. 5.

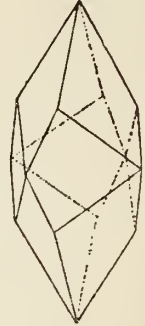


Fig. 6.

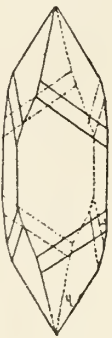


Fig. 7.



Fig. 8.

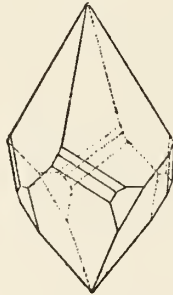


Fig. 9.

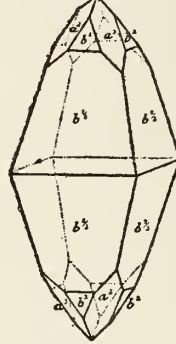


Fig. 10.

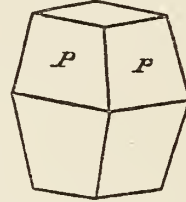


Fig. 11.

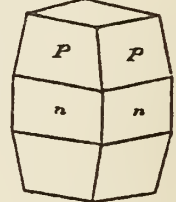


Fig. 12.

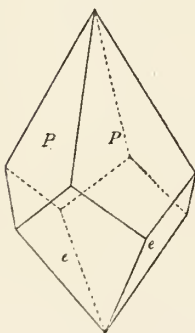


Fig. 13.

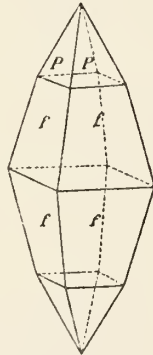


Fig. 14.

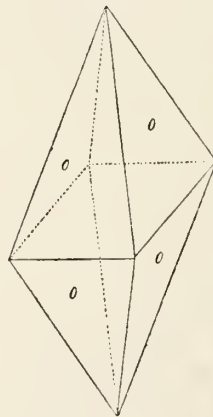


Fig. 15.

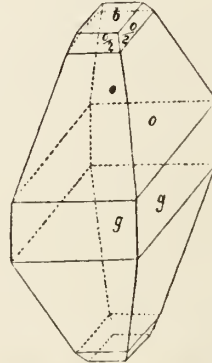


Fig. 16.

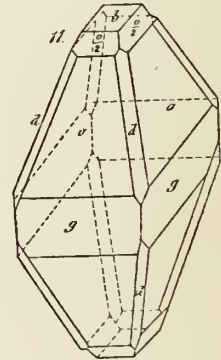


Fig. 17.

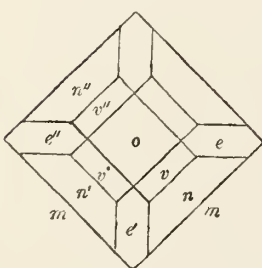


Fig. 18.

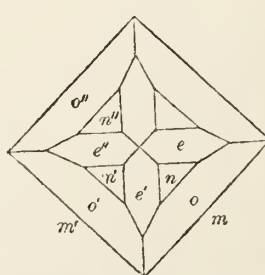
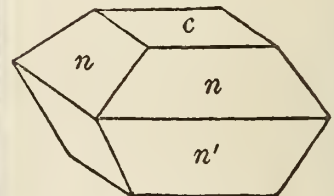


Fig. 19.



Fig. 20.



Stolzit

Fig. 21.

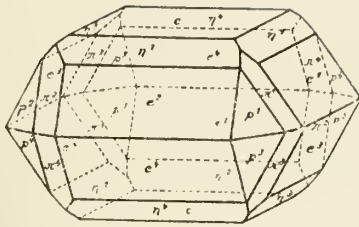


Fig. 22.

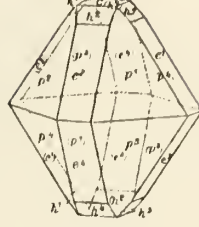


Fig. 23.

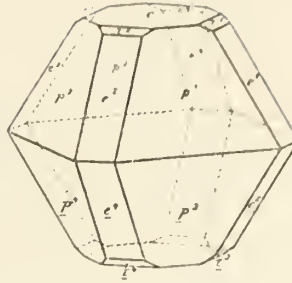


Fig. 24.



Fig. 26.

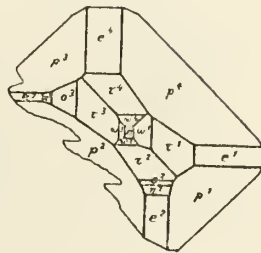


Fig. 27.

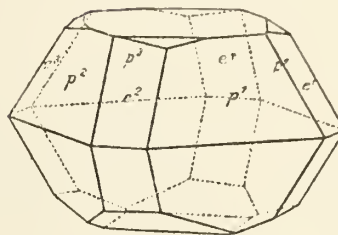


Fig. 28.

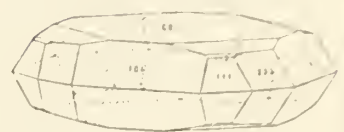


Fig. 25.

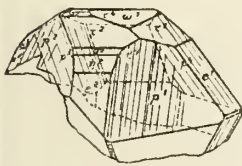


Fig. 29.



Strengit

Fig. 30.

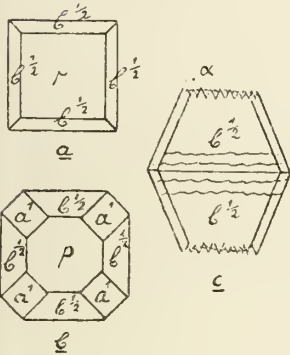


Fig. 1.

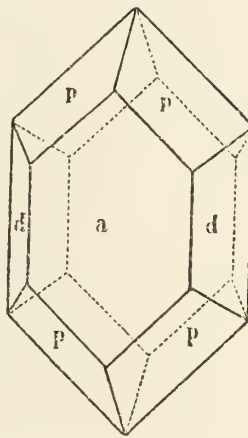


Fig. 2.

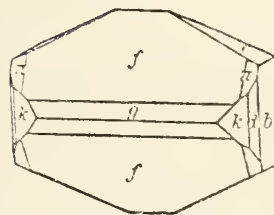


Fig. 3.

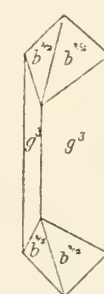


Fig. 4.

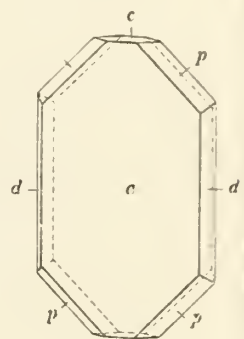


Fig. 5.

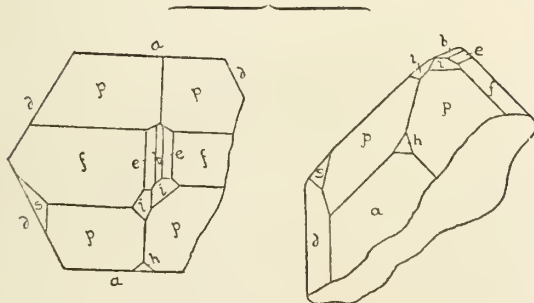
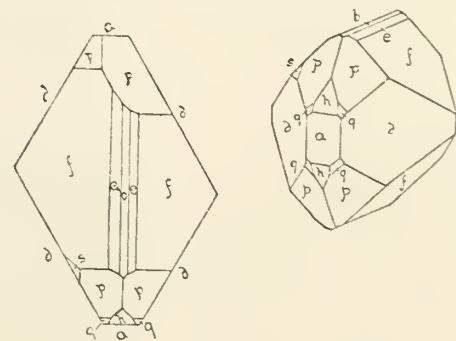


Fig. 6.



Strengit

Fig. 7.

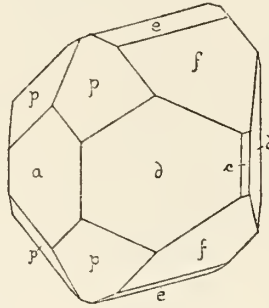
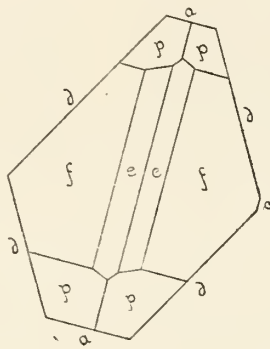
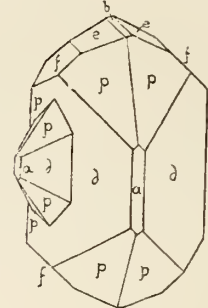
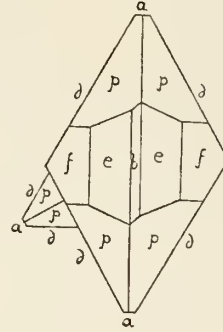
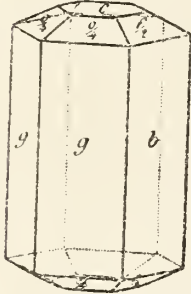


Fig. 8.



Stromeyerit

Fig. 1.



Strontianit

Fig. 1.



Fig. 2.

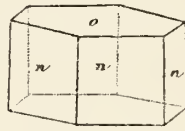


Fig. 3.

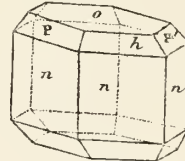


Fig. 4.

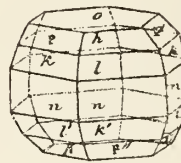


Fig. 5.

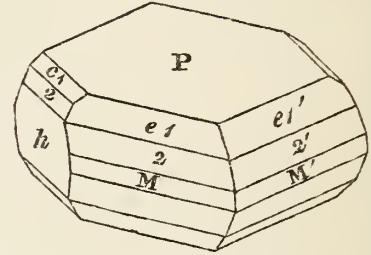


Fig. 6.

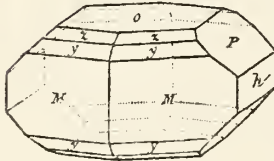


Fig. 7.

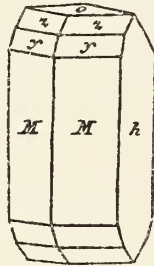


Fig. 8.

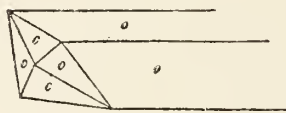


Fig. 9.

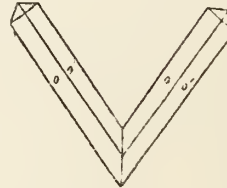


Fig. 10.

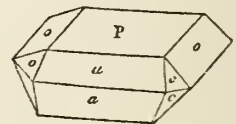


Fig. 11.

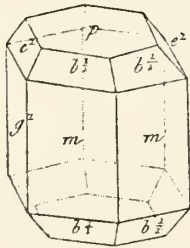


Fig. 12.

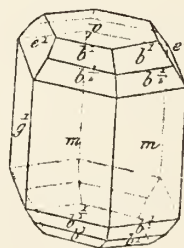


Fig. 13.

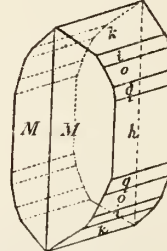


Fig. 14.

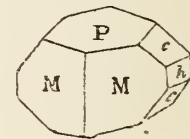


Fig. 15.

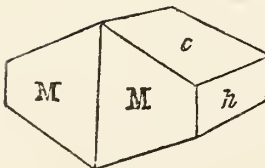


Fig. 16.

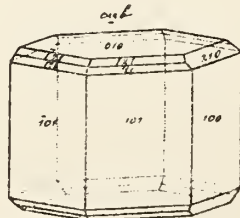


Fig. 17.

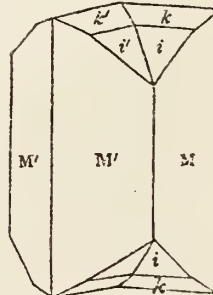
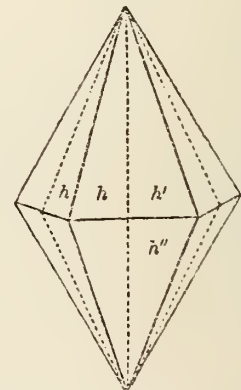


Fig. 18.



Strontianit

Fig. 19.

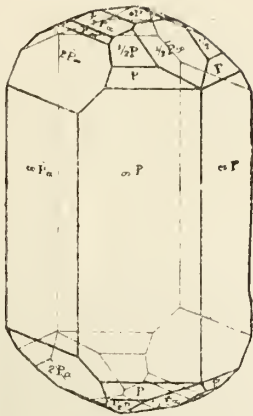


Fig. 20.

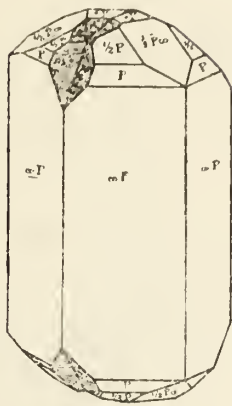


Fig. 21.

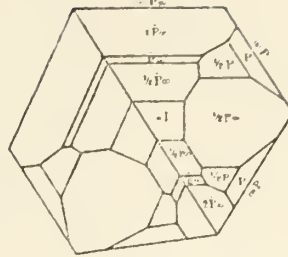


Fig. 22.

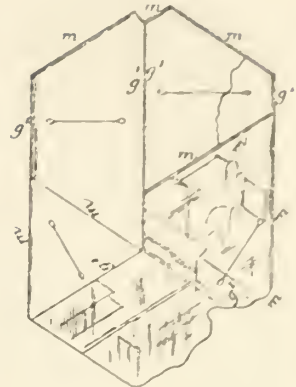


Fig. 23.

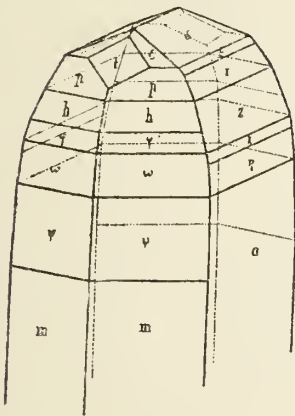


Fig. 24.

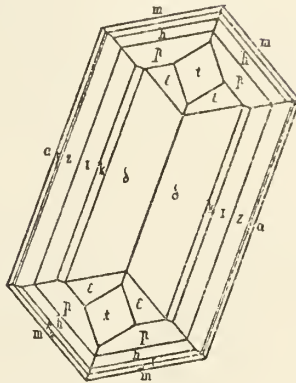


Fig. 25.

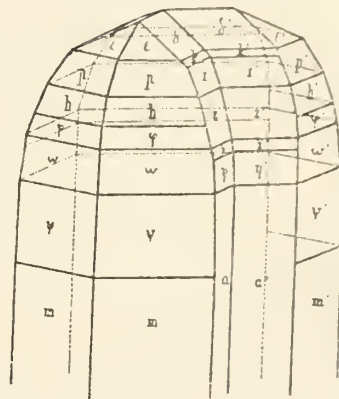


Fig. 26.

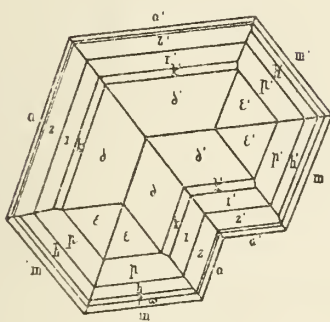


Fig. 27.

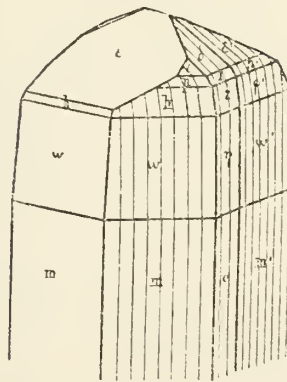


Fig. 28.

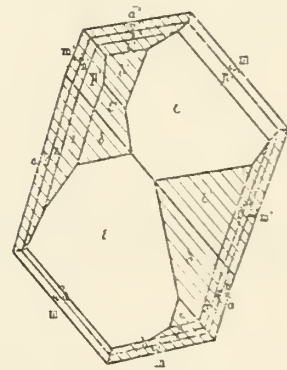


Fig. 29.

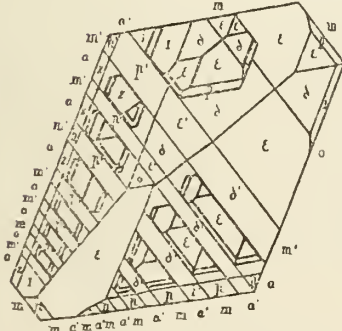


Fig. 30.

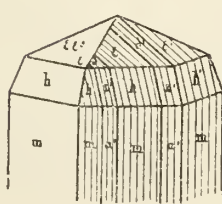


Fig. 31.

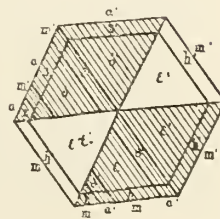
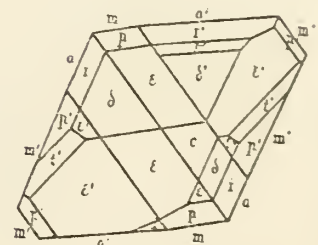


Fig. 32.



Strontianit

Fig. 33.

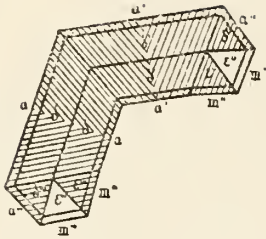


Fig. 34.

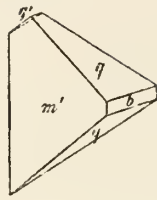


Fig. 35.

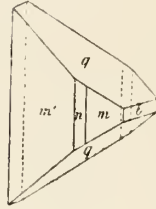


Fig. 36.

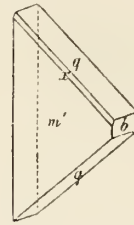


Fig. 37.

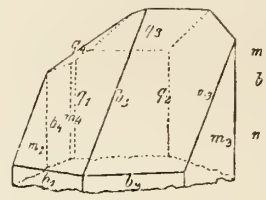


Fig. 38.

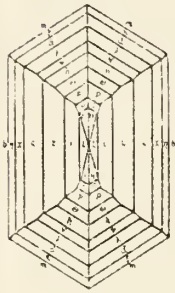


Fig. 39.

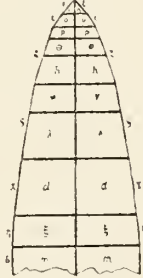


Fig. 40.

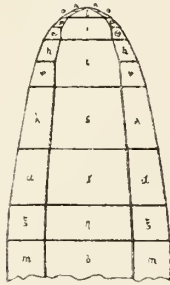


Fig. 41.

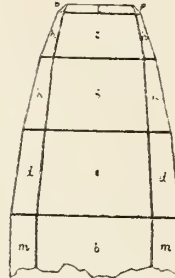


Fig. 42.

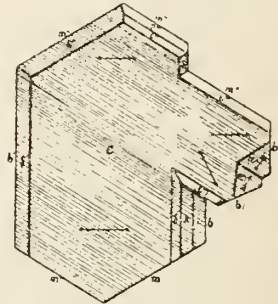


Fig. 43.

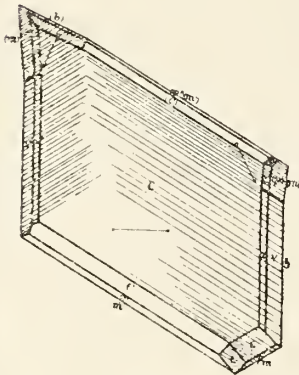


Fig. 44.

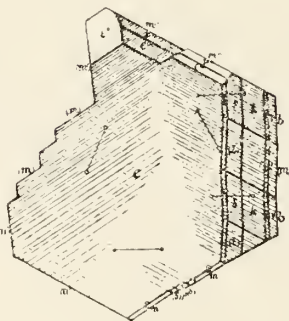


Fig. 45.

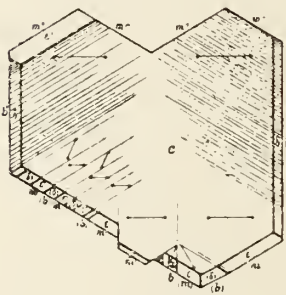


Fig. 46.



Fig. 52.

Fig. 47.

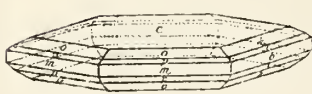


Fig. 49.

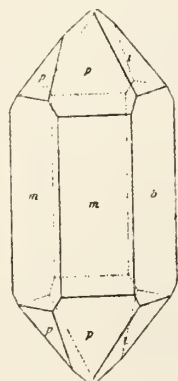


Fig. 48.

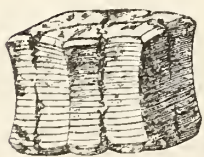


Fig. 50.

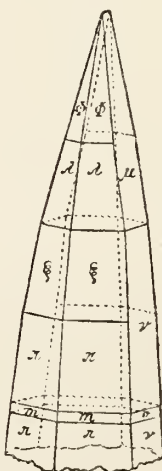
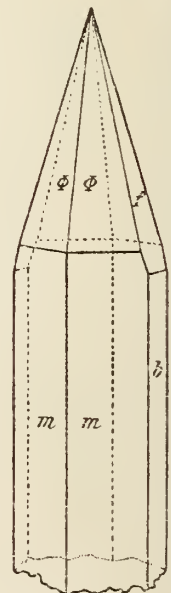
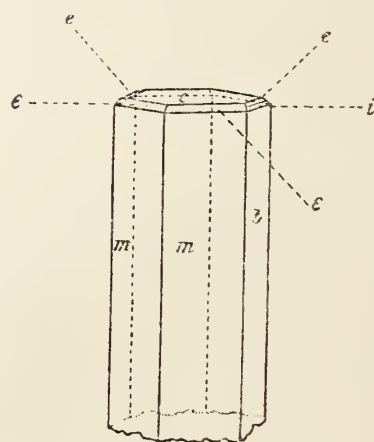


Fig. 51.



Strontianit

Strüverit

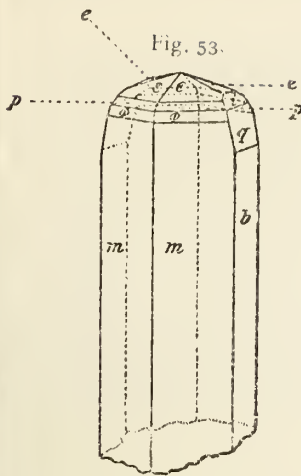


Fig. 54.

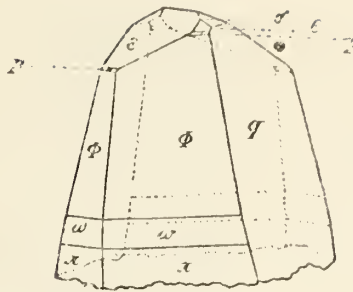


Fig. 1.

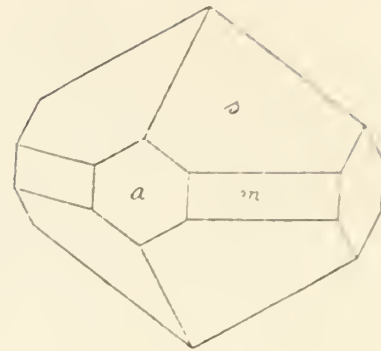


Fig. 2.

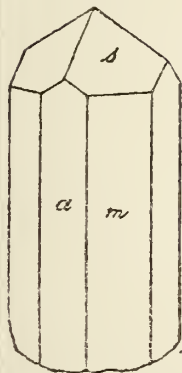


Fig. 3.

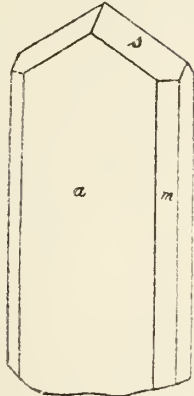


Fig. 4.

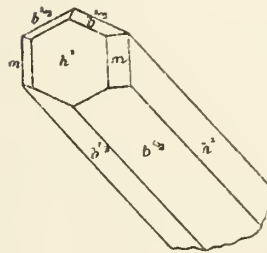


Fig. 5.

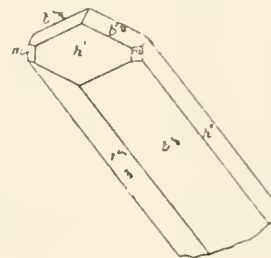


Fig. 6.

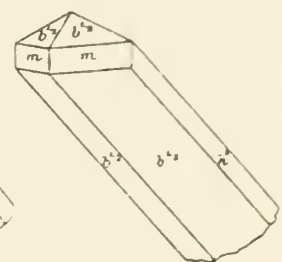


Fig. 9.

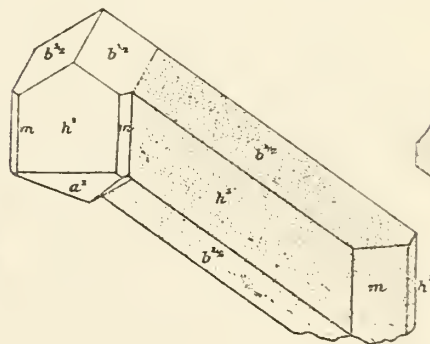


Fig. 10.

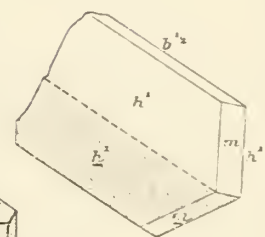


Fig. 7.

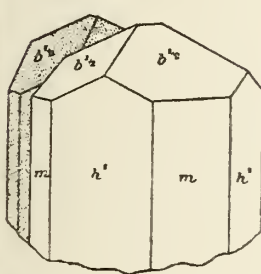


Fig. 8.

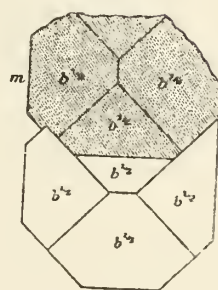


Fig. 11.

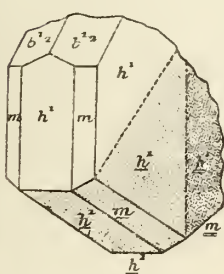


Fig. 12.

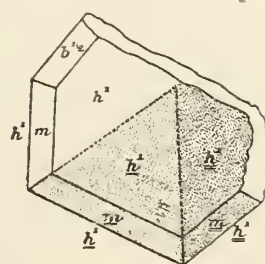


Fig. 13.

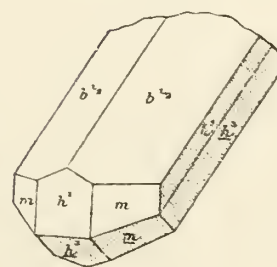
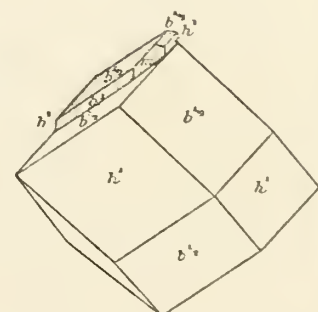
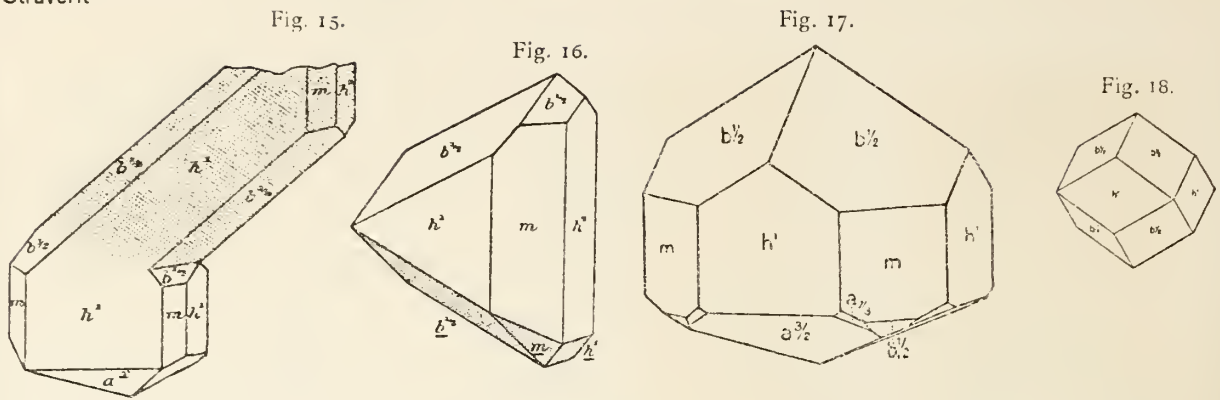


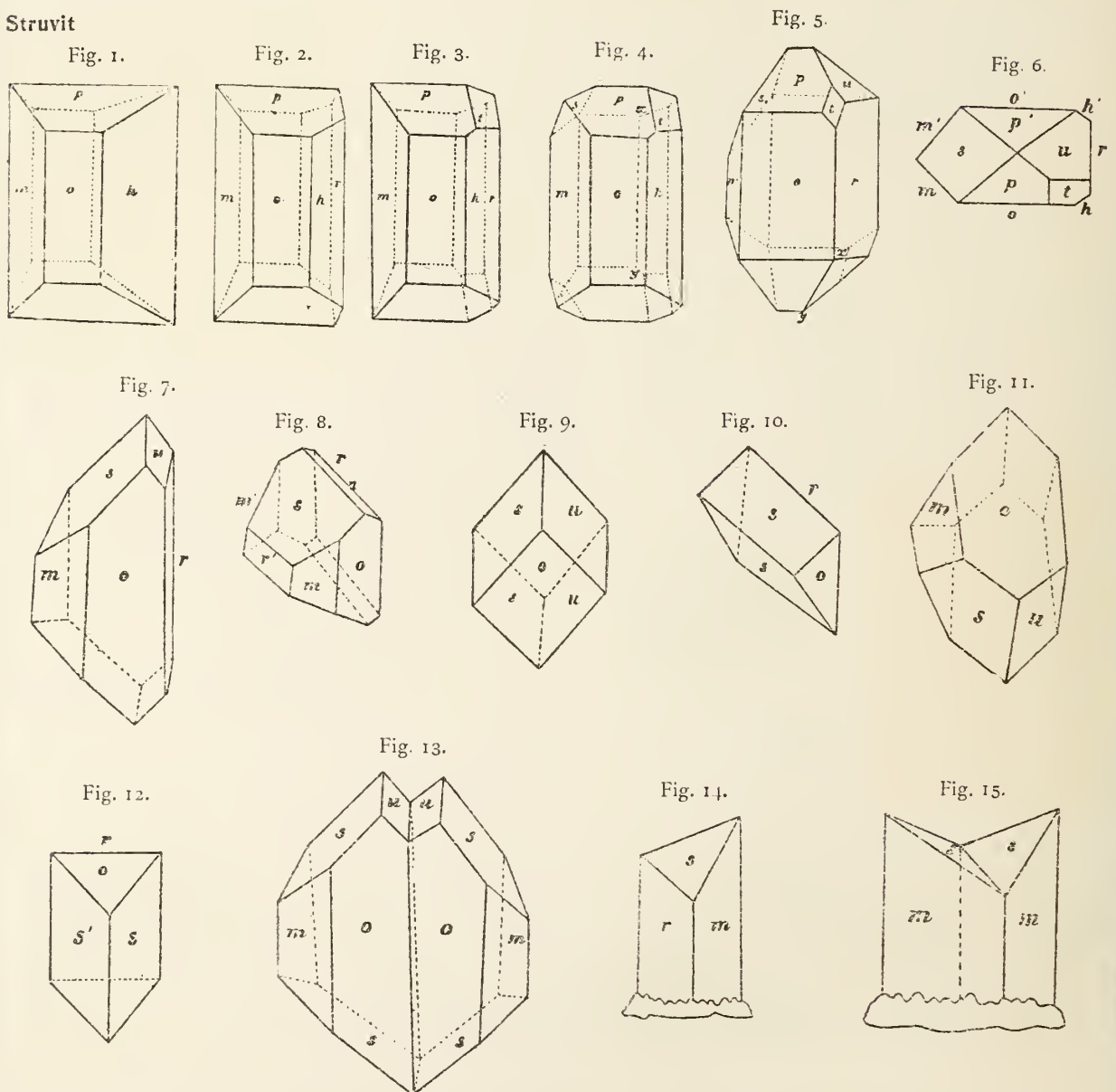
Fig. 14.



Strüverit



Struvit



Struvit

Fig. 34.

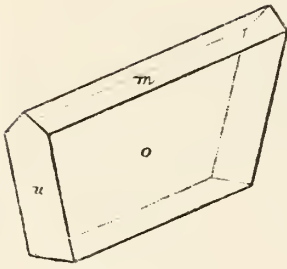


Fig. 35.

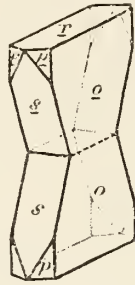


Fig. 36.

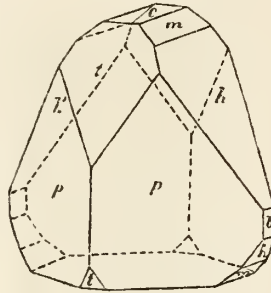


Fig. 37.

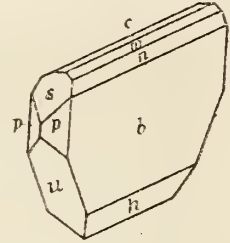


Fig. 38.

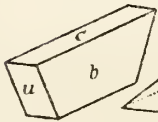


Fig. 39.

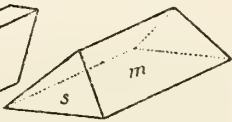


Fig. 40.

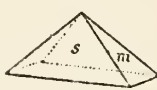


Fig. 41.

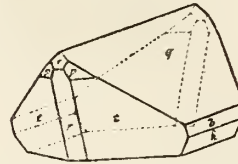


Fig. 42.

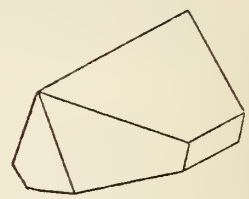


Fig. 43.

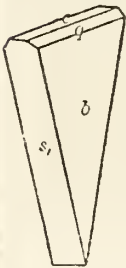


Fig. 44.

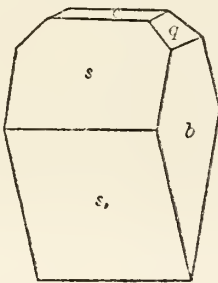


Fig. 45.

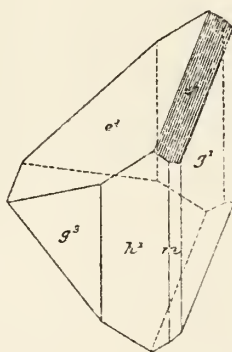


Fig. 46.

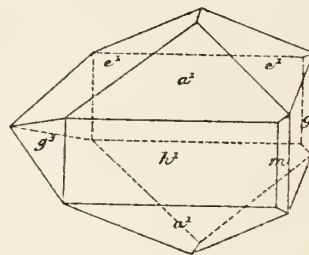


Fig. 47.

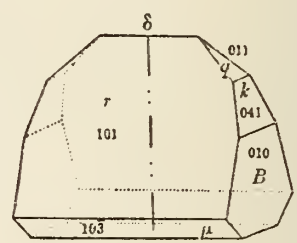


Fig. 48.

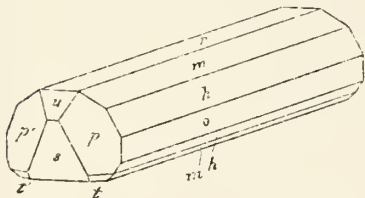


Fig. 49.

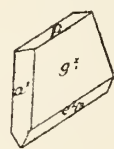


Fig. 50.

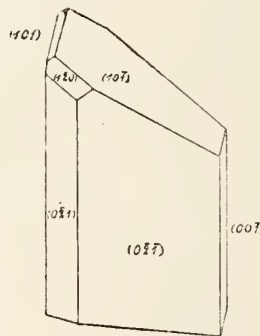


Fig. 54.

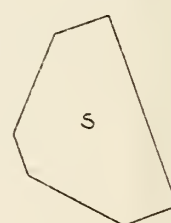


Fig. 55.

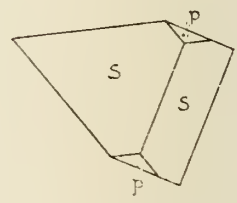


Fig. 51.



Fig. 52.

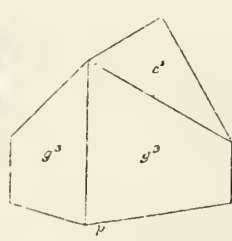
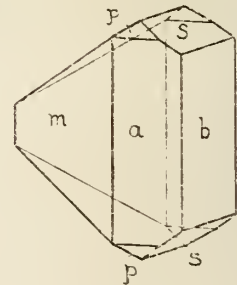
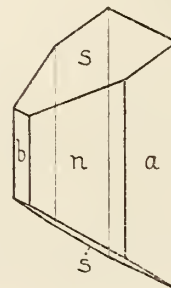
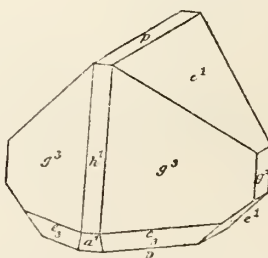
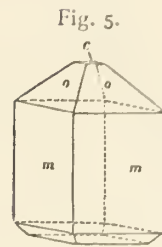
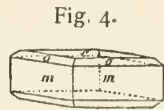
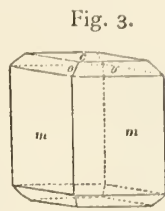
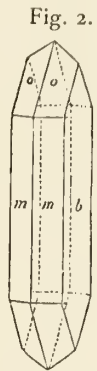
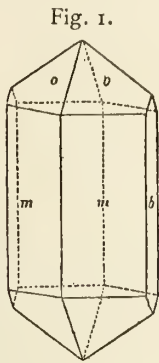


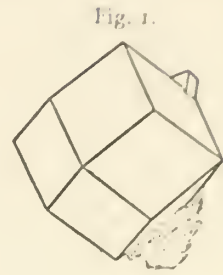
Fig. 53.



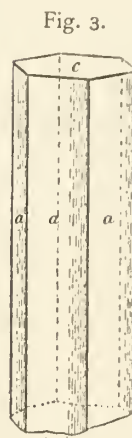
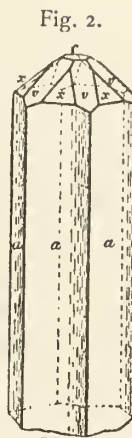
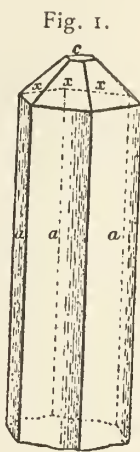
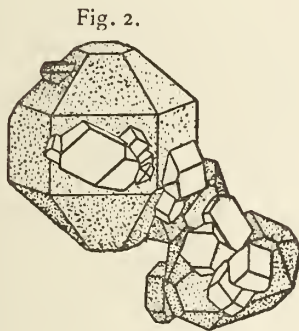
Sulfoborit



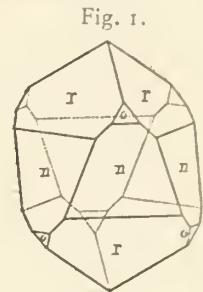
Sulfohalit



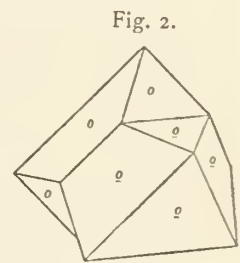
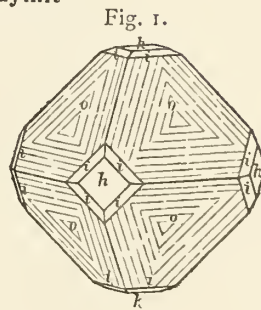
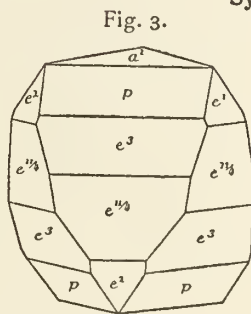
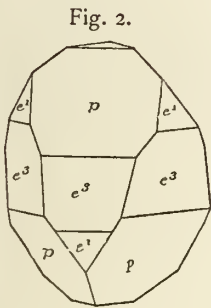
Svabit



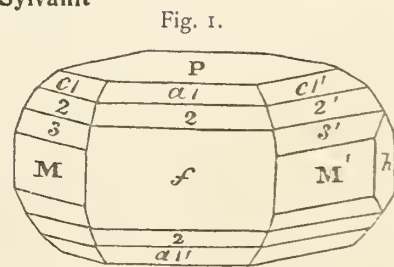
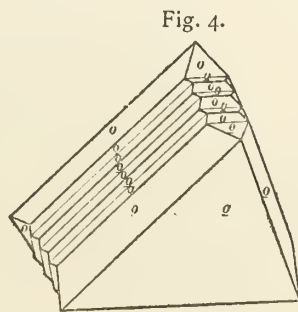
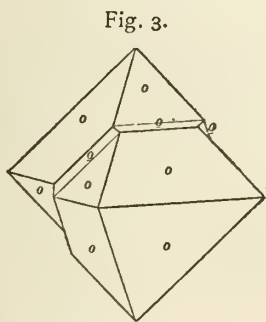
Svanbergit



Sychnodymit



Sylvanit



Sylvanit

Fig. 2.

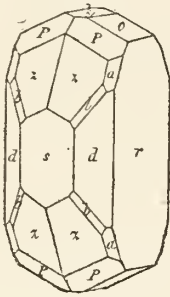


Fig. 5.

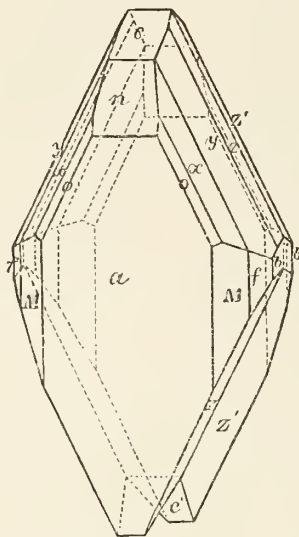


Fig. 6.

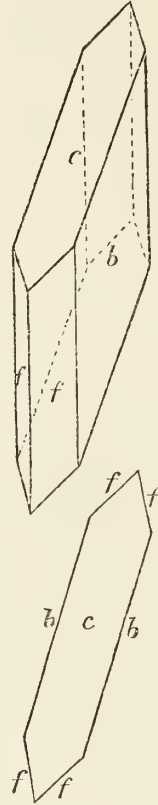


Fig. 7.

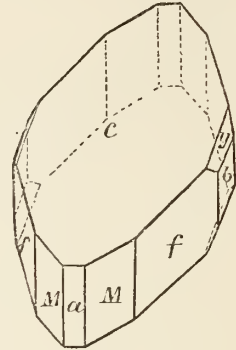


Fig. 3.

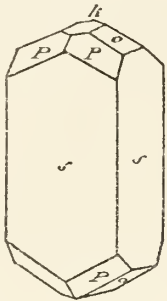


Fig. 4.

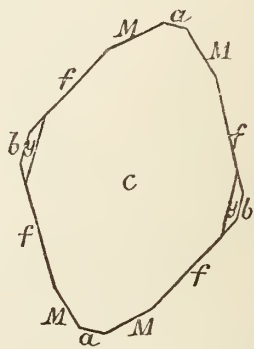
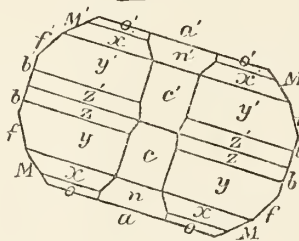
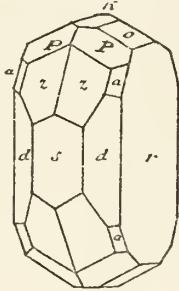


Fig. 8.

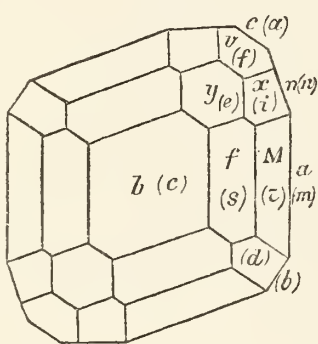


Fig. 9.

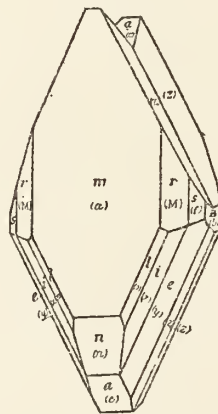


Fig. 10.

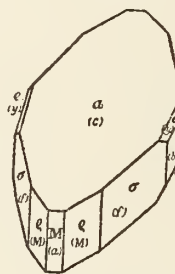


Fig. 11.

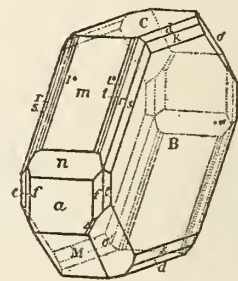


Fig. 12.

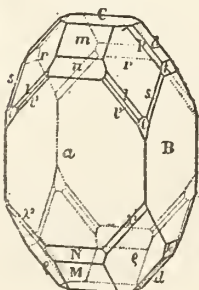


Fig. 13.

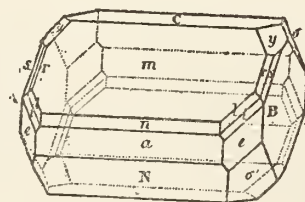


Fig. 14.

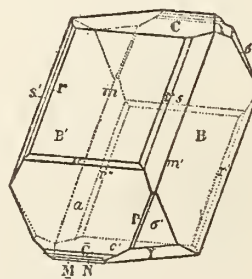


Fig. 15.

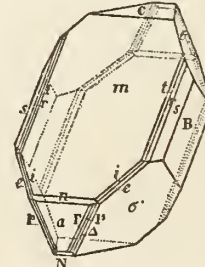
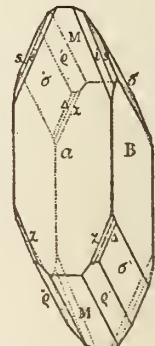


Fig. 16.



Sylvanit

Fig. 17.

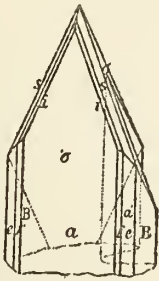


Fig. 18.

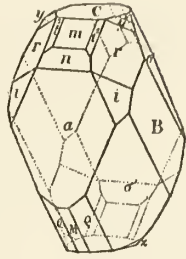


Fig. 19.

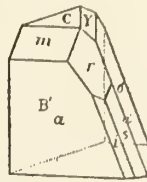


Fig. 20.

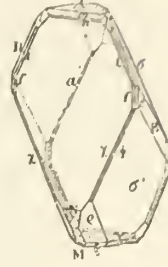


Fig. 21.

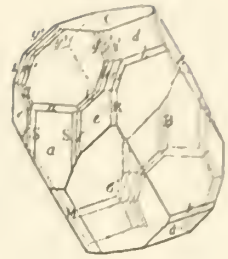


Fig. 22.

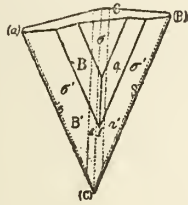


Fig. 23.

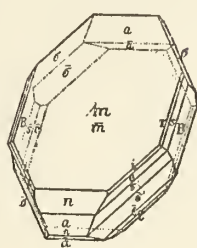


Fig. 24.

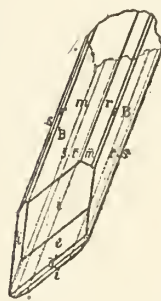


Fig. 25.

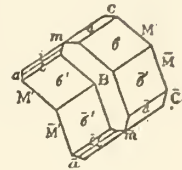


Fig. 26.



Fig. 27.

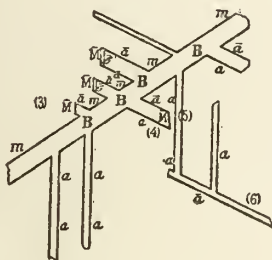


Fig. 28.

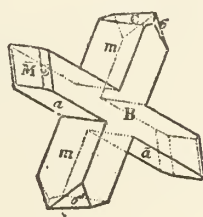


Fig. 29.

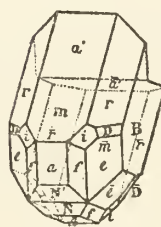


Fig. 30.

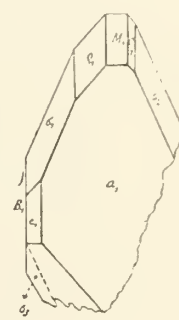


Fig. 31.



Fig. 32.

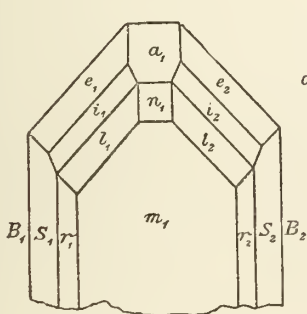


Fig. 33.

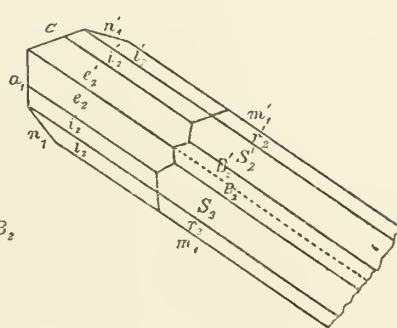
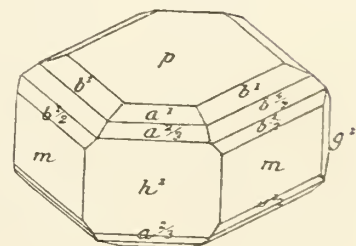
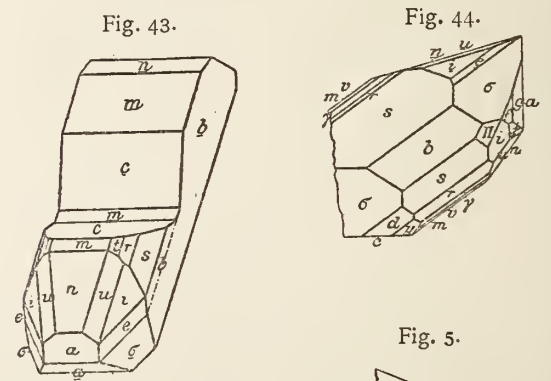
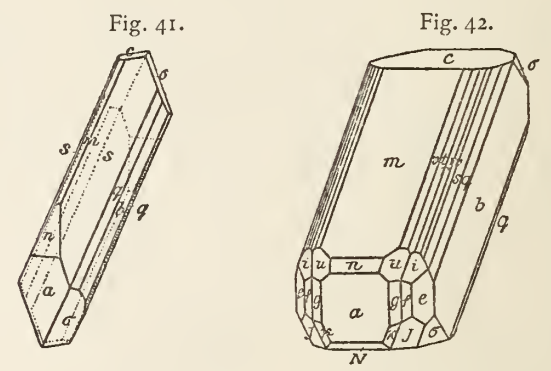
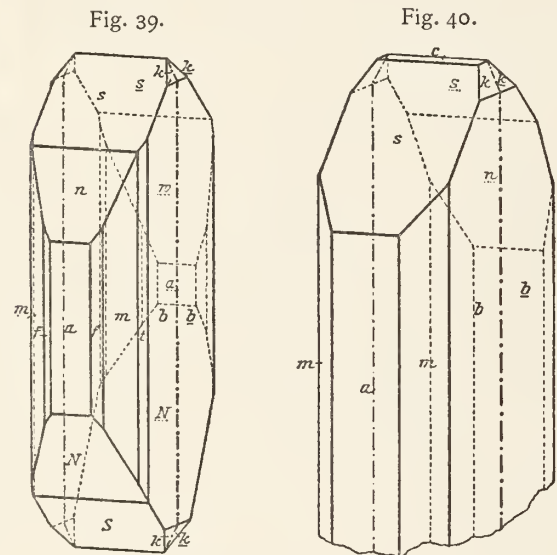
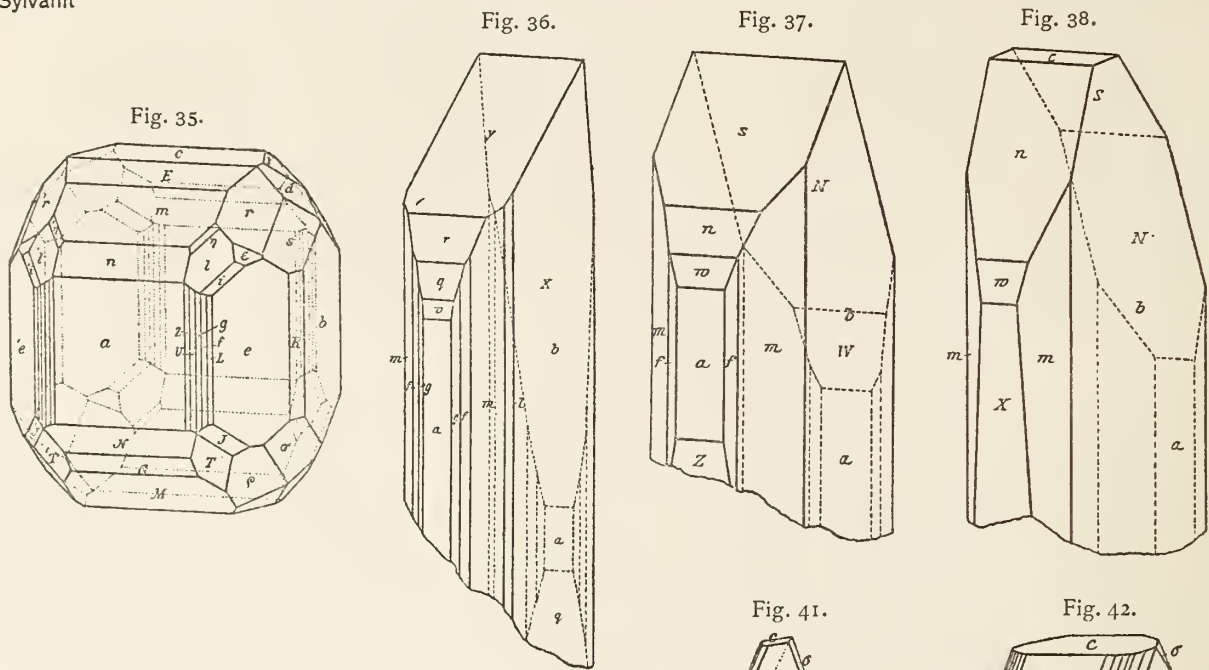


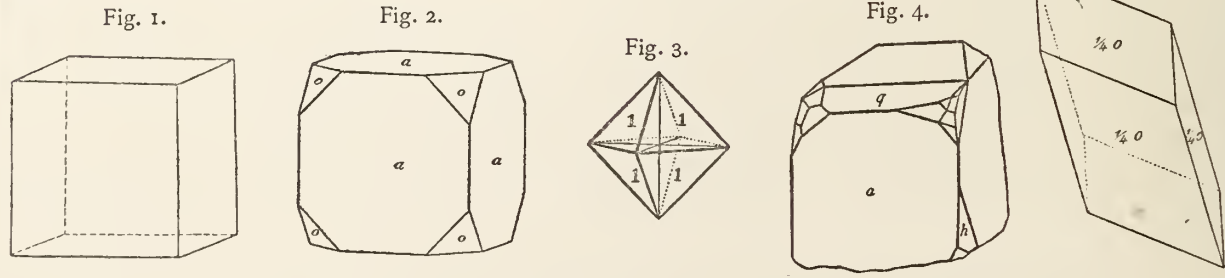
Fig. 34.



Sylvanit



Sylvin



Sylvin

Fig. 6.

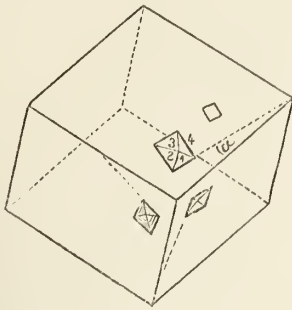


Fig. 7.

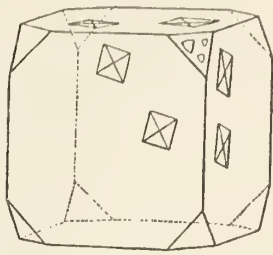


Fig. 8.

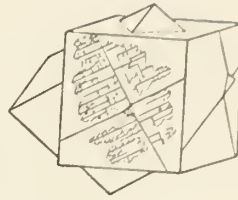


Fig. 9.

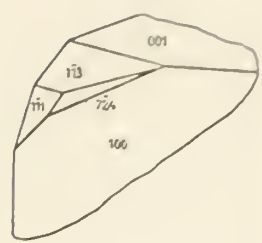


Fig. 10.

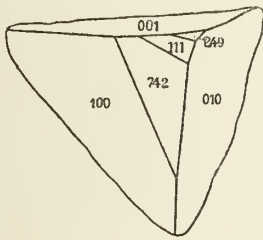


Fig. 11.

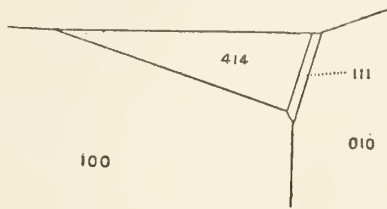
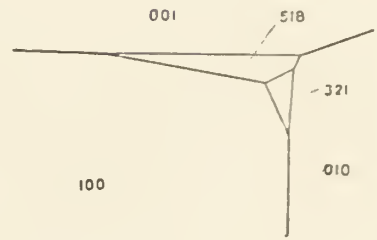
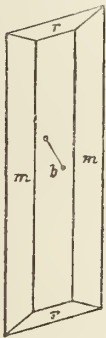


Fig. 12.



Symplectit

Fig. 1.



Synadelphit

Fig. 1.

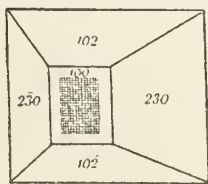


Fig. 2.

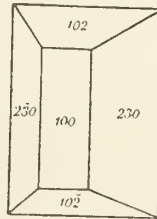


Fig. 3.

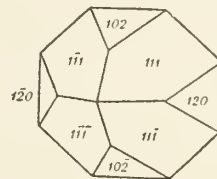
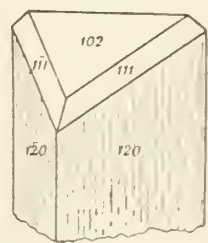


Fig. 4.



Syngenit

Fig. 1.

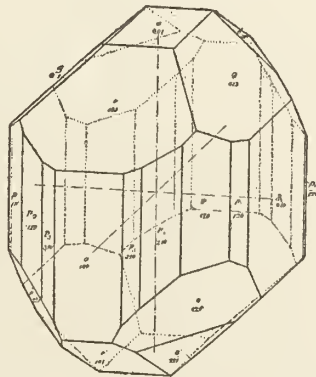


Fig. 2.

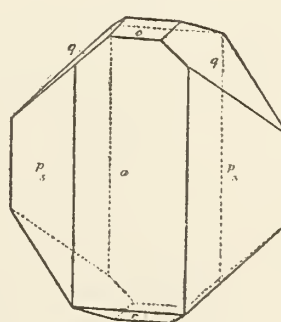


Fig. 3.

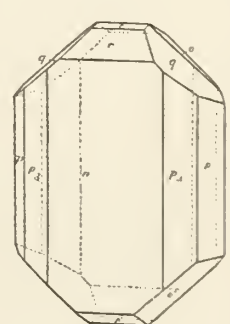
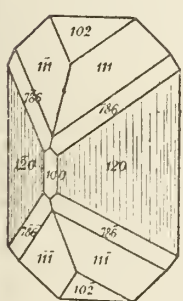
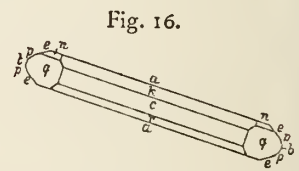
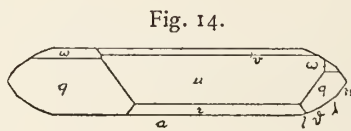
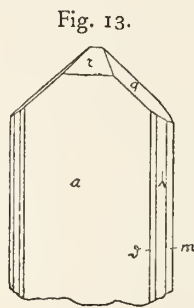
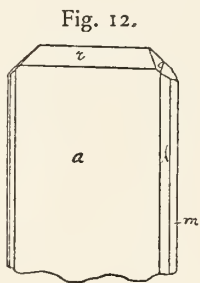
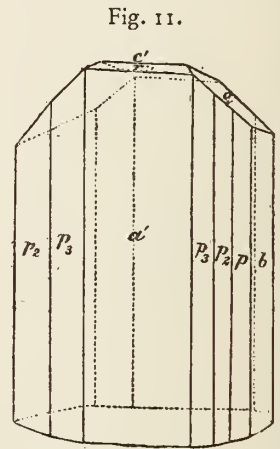
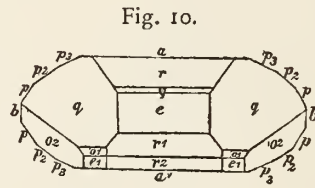
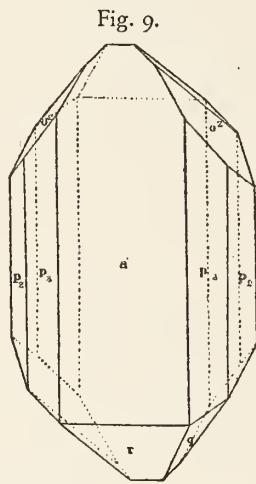
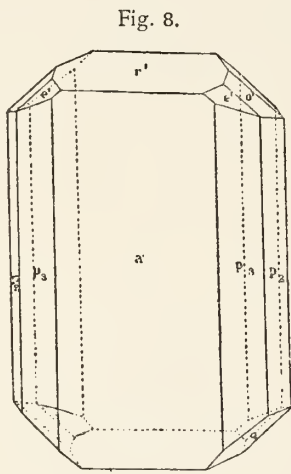
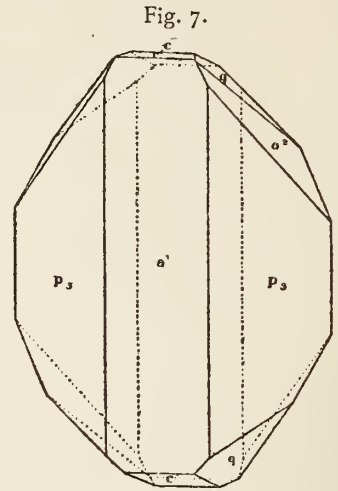
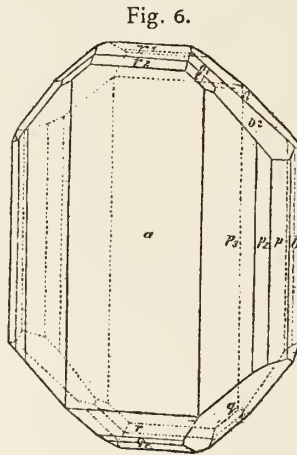
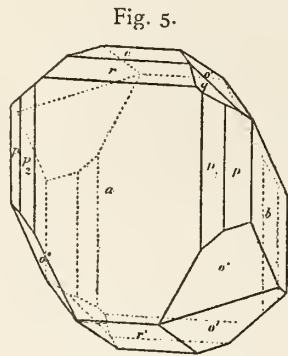
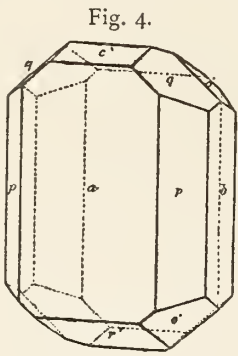


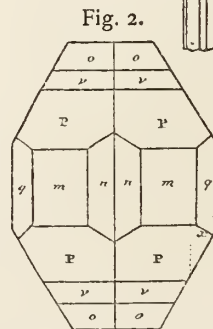
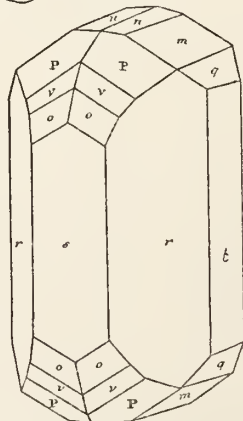
Fig. 5.



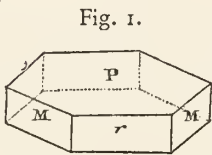
Syngentit



Tapiolit



Talk



Tapiolit

Fig. 3.

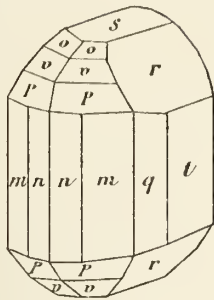


Fig. 4.

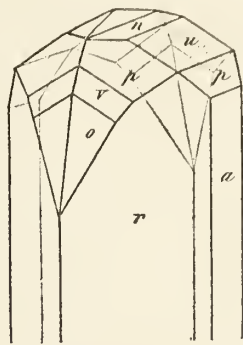


Fig. 5.

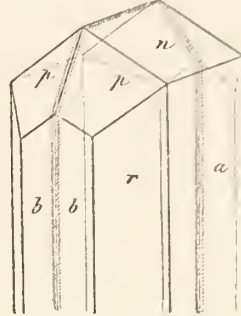


Fig. 6.

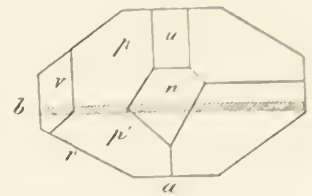


Fig. 7.

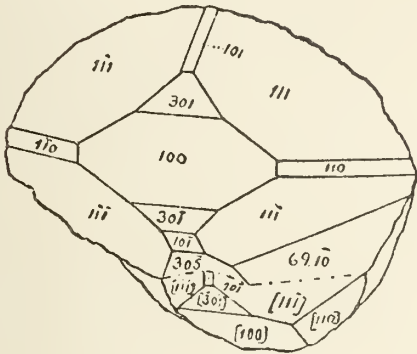


Fig. 8.

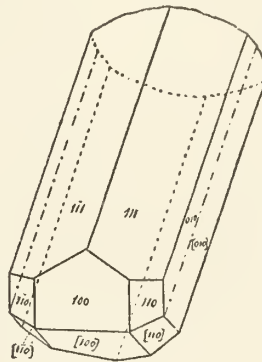


Fig. 9.

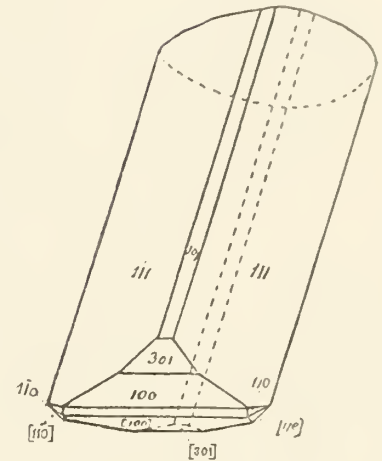


Fig. 10.

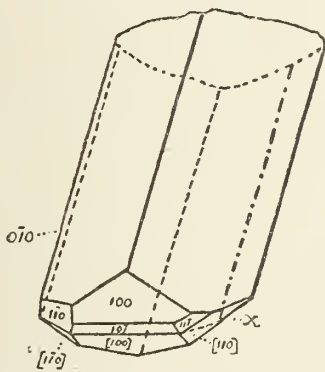


Fig. 11.

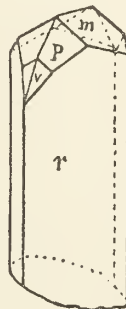


Fig. 12.

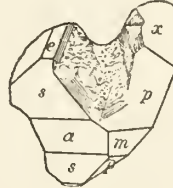


Fig. 13.

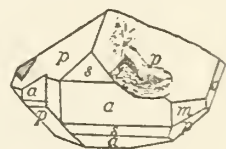


Fig. 14.

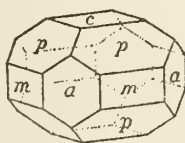


Fig. 15.

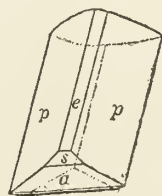


Fig. 16.

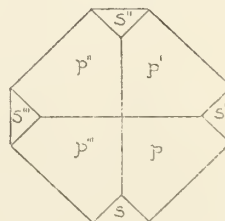


Fig. 17.



Tapiolit

Fig. 18.

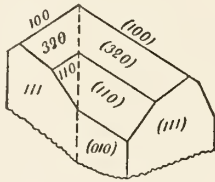
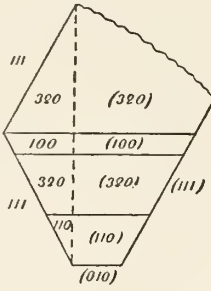


Fig. 19.

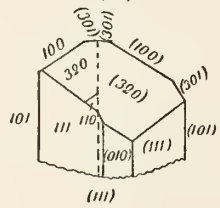
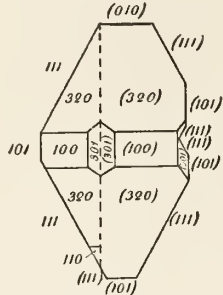
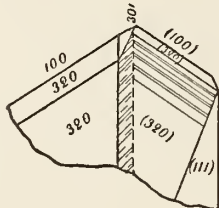
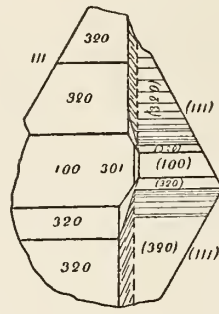


Fig. 20.



Tarbuttit

Fig. 1.

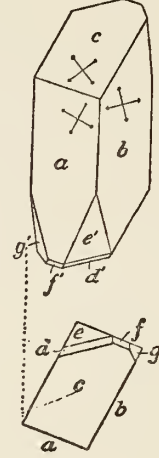


Fig. 2.

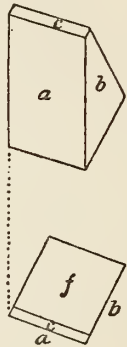


Fig. 3.

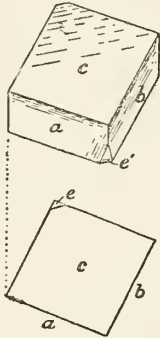


Fig. 4.

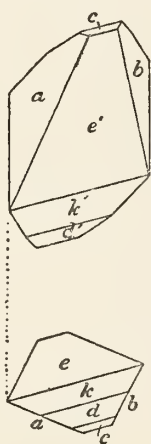


Fig. 5.

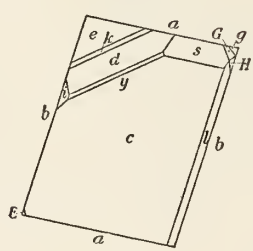


Fig. 6.

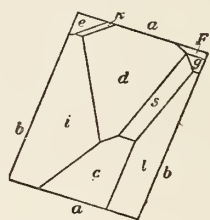
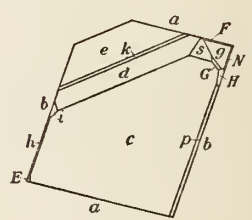
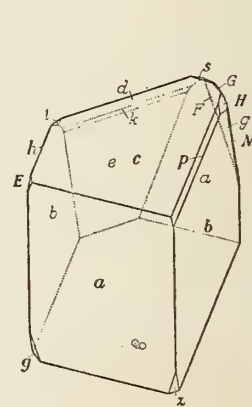
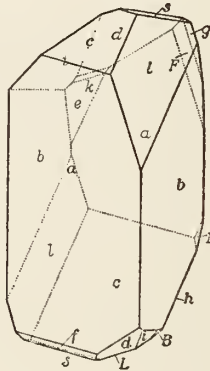
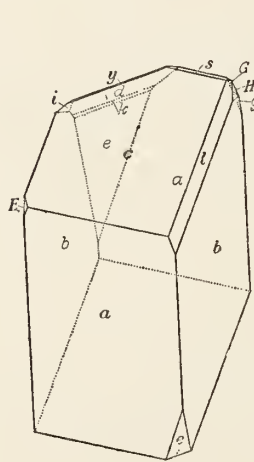
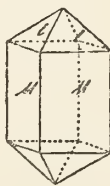


Fig. 7.



Tauriscit

Fig. 1.



Tellur

Fig. 1.

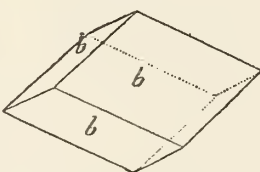


Fig. 2.

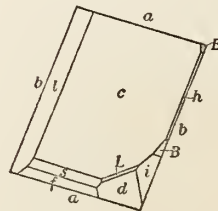
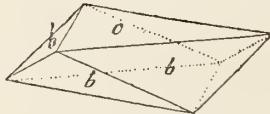
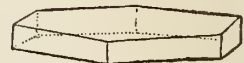


Fig. 3.



Tellur

Fig. 4.

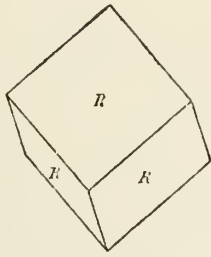


Fig. 5.

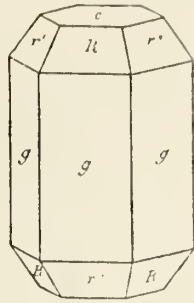


Fig. 6.



Fig. 7.

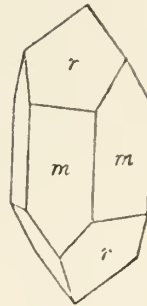


Fig. 8.

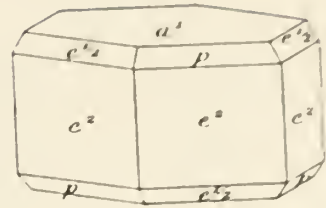


Fig. 9.

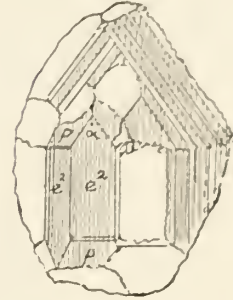


Fig. 10.

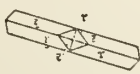
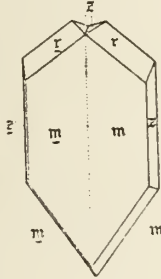
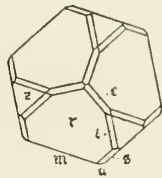


Fig. 11.



Tellurit

Fig. 1.

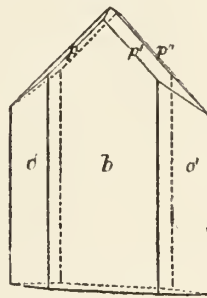


Fig. 2.



Fig. 3.

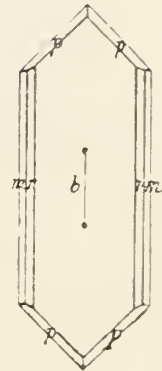
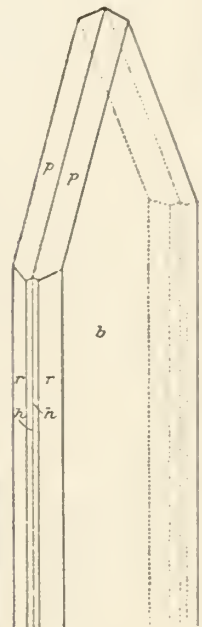


Fig. 4.



Tellursilberblende

Fig. 1.

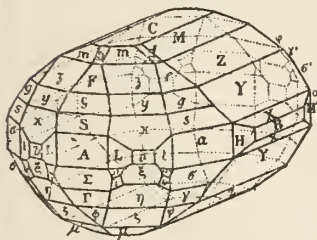


Fig. 3.

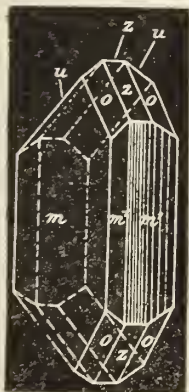
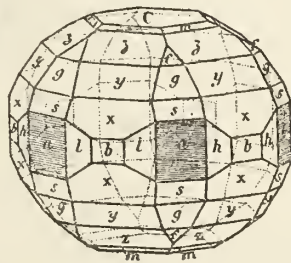


Fig. 2.



Tenorit

Fig. 1.

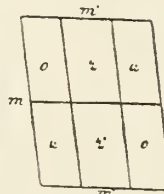


Fig. 2.



Fig. 4.



Fig. 5.

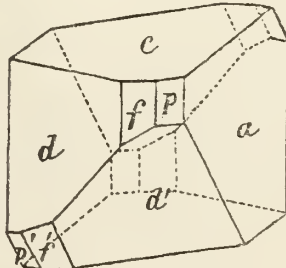


Fig. 6.

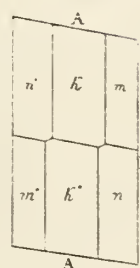
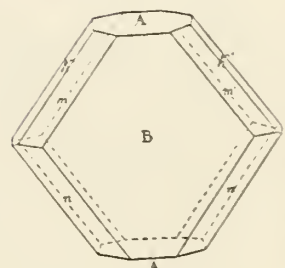


Fig. 7.



Tenorit

Fig. 8.

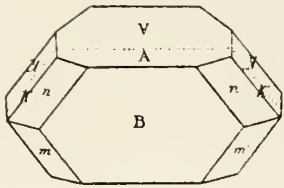


Fig. 9.

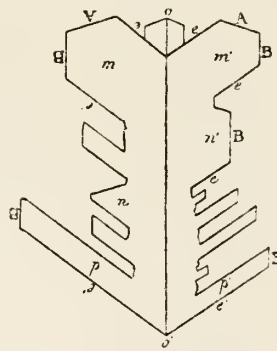


Fig. 10.

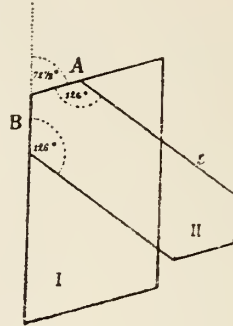
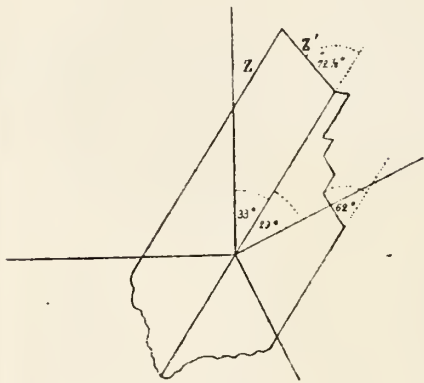


Fig. 11.



Terlinguait

Fig. 1.

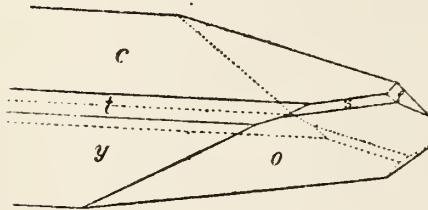


Fig. 2.

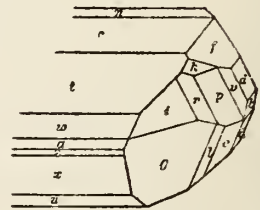


Fig. 3.

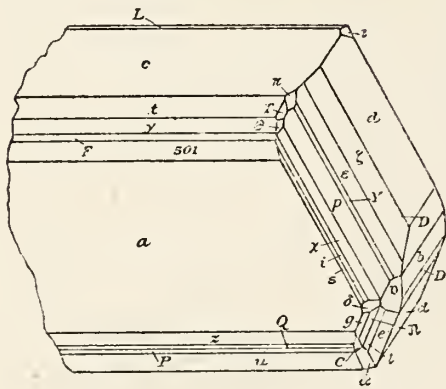


Fig. 6.

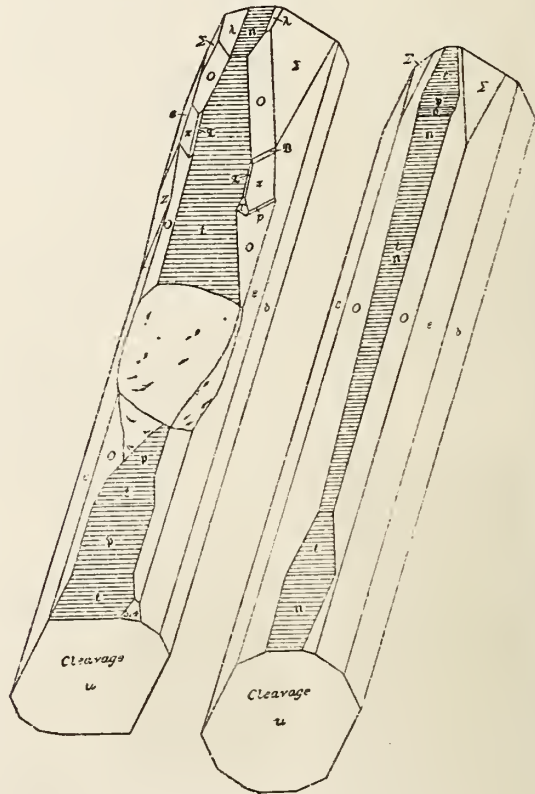


Fig. 4.

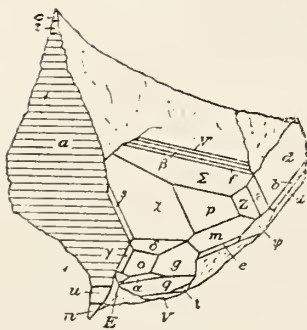
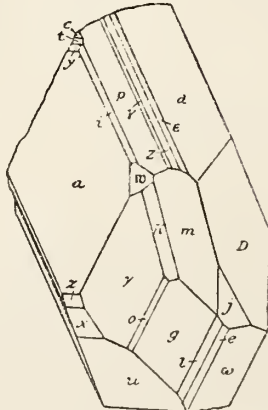


Fig. 5.



Terlinguait

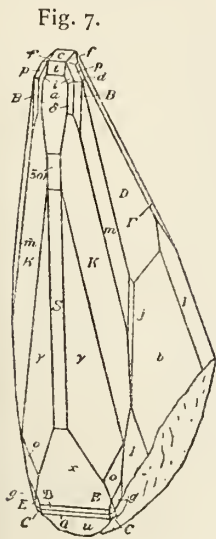


Fig. 8.

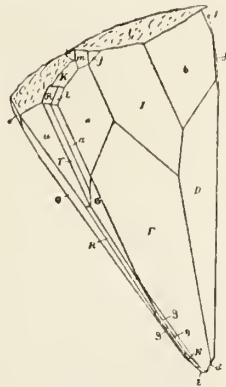


Fig. 9.

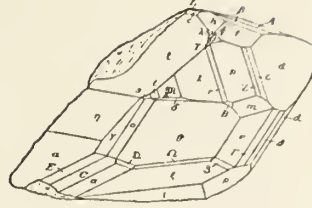
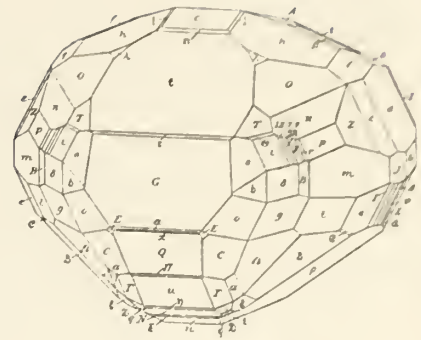


Fig. 10.



Teschemacherit

Fig. 1.

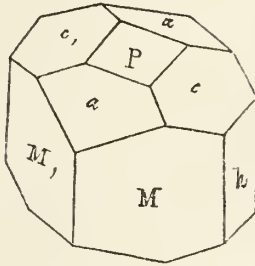
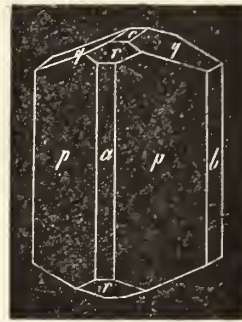


Fig. 2.



Tetradymit

Fig. 1.

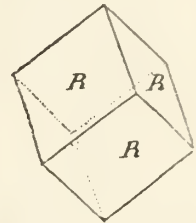


Fig. 11.

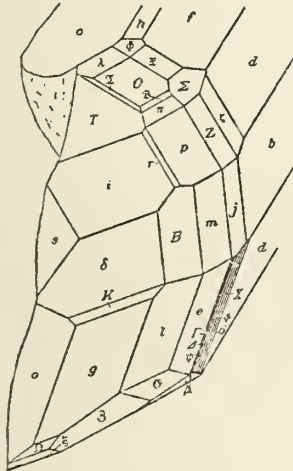


Fig. 2.

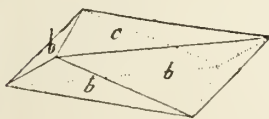


Fig. 3.

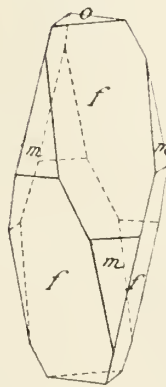


Fig. 4.



Fig. 5.

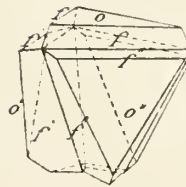
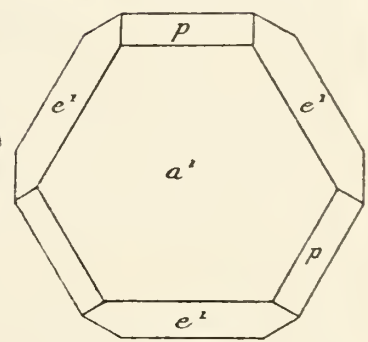


Fig. 6.



Thalénit

Fig. 1.

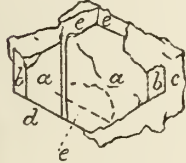


Fig. 2.



Fig. 3.



Fig. 4.



Fig. 5.

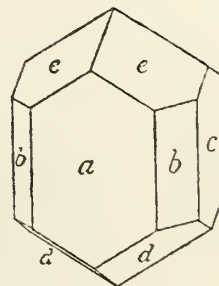
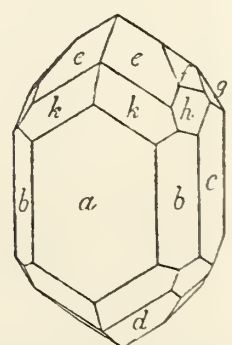
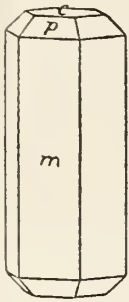


Fig. 6.



Thaumasit
Fig. 1.



Thenardit
Fig. 1.

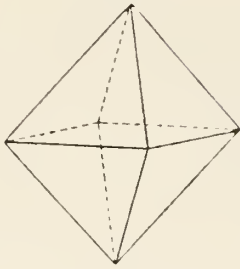


Fig. 2.

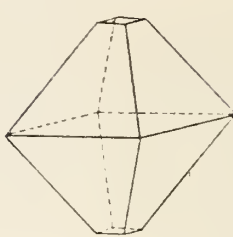


Fig. 3.

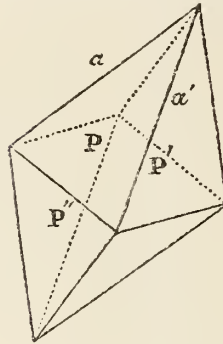


Fig. 4.

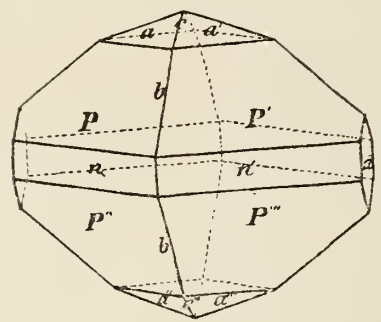


Fig. 5.

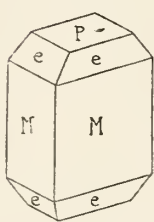


Fig. 6.

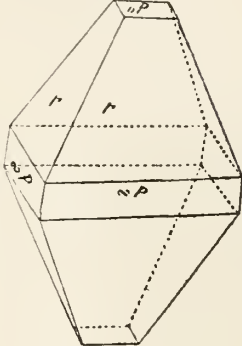


Fig. 7.

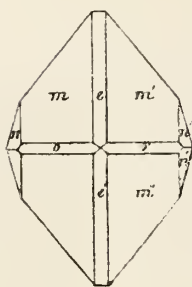


Fig. 8.

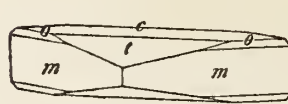


Fig. 9.

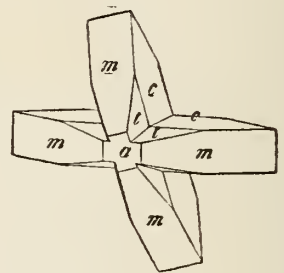


Fig. 10.

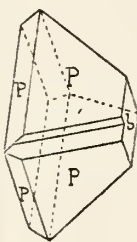


Fig. 11.

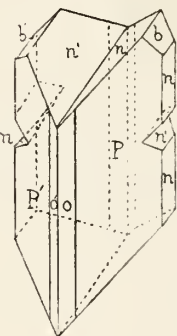


Fig. 12.

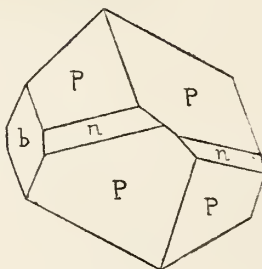


Fig. 13.

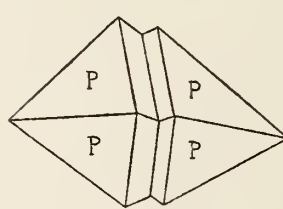


Fig. 14.

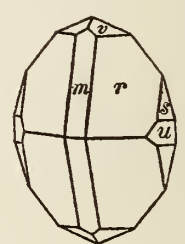


Fig. 15.

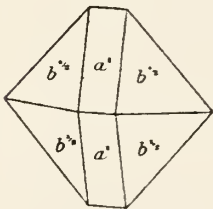


Fig. 16.

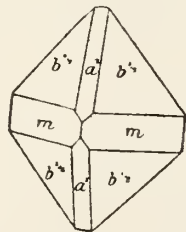


Fig. 17.

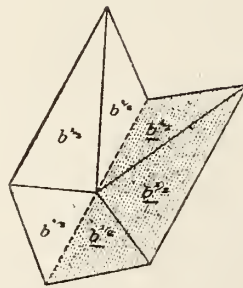


Fig. 18.

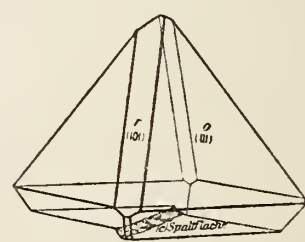
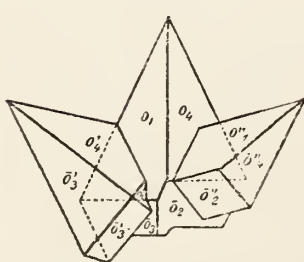


Fig. 19.



Thermonatrit

Fig. 1.

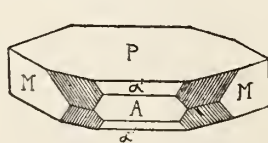


Fig. 2.

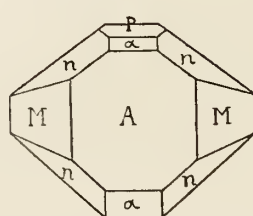
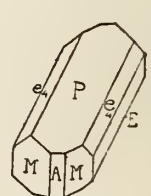
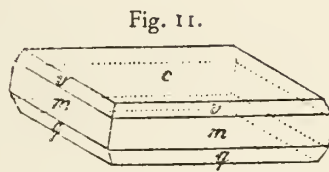
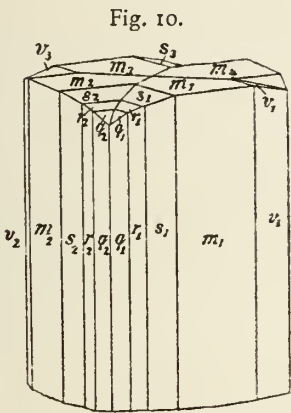
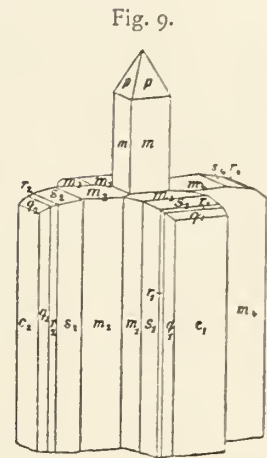
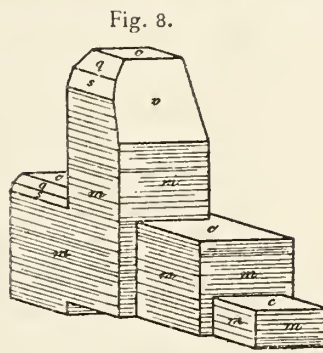
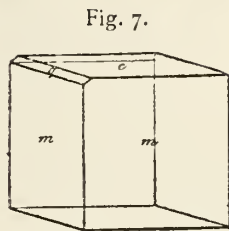
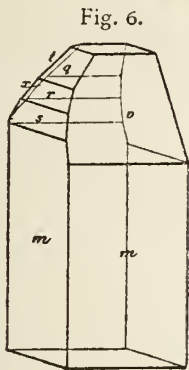
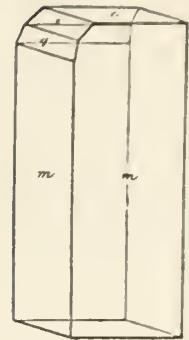
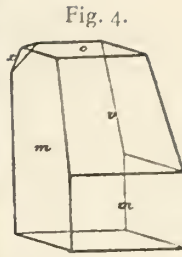
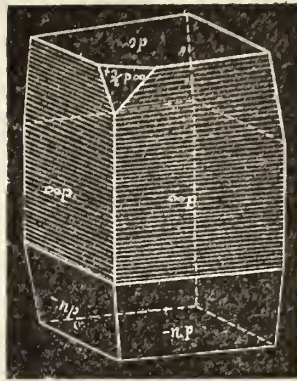
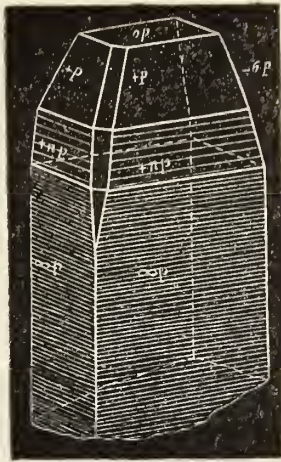
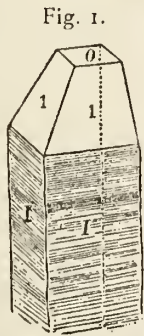


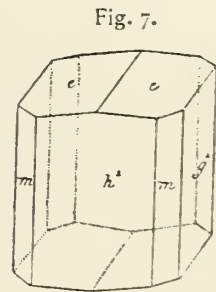
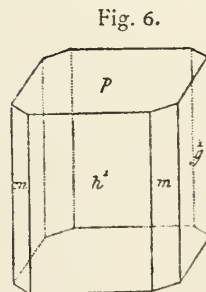
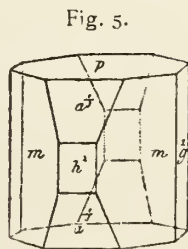
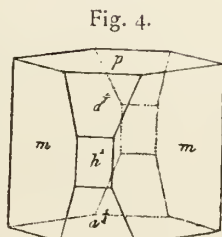
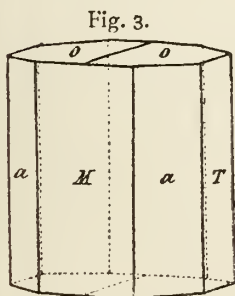
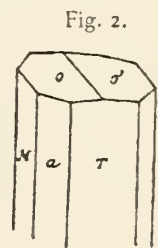
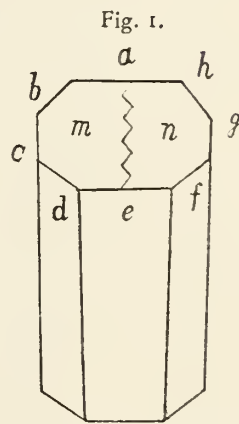
Fig. 3.



Thomsenolith



Thomsonit



Thomsonit

Fig. 8.

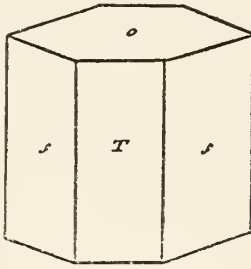


Fig. 9.

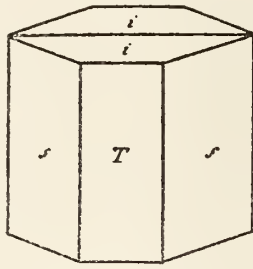


Fig. 10.

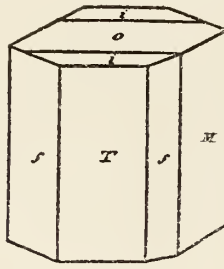


Fig. 11.

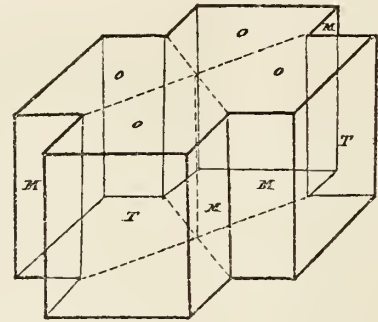


Fig. 12.

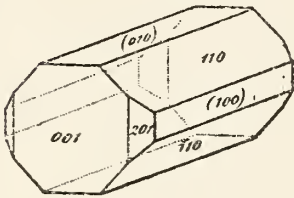


Fig. 13.

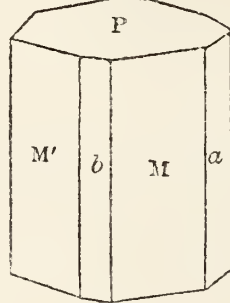


Fig. 14.

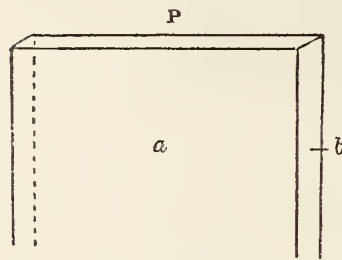


Fig. 15.

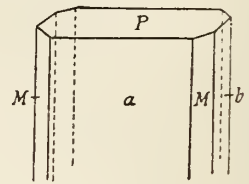


Fig. 16.

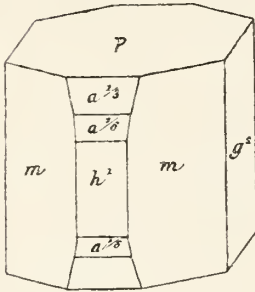


Fig. 17.

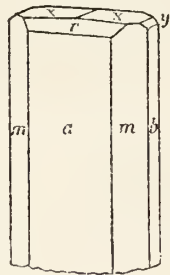


Fig. 18.

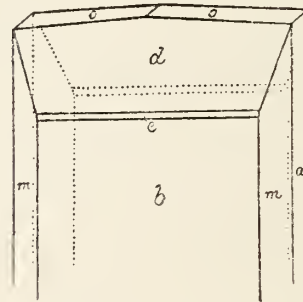


Fig. 19.



Fig. 20.

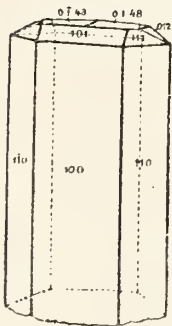


Fig. 21.

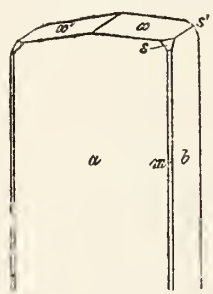


Fig. 22.

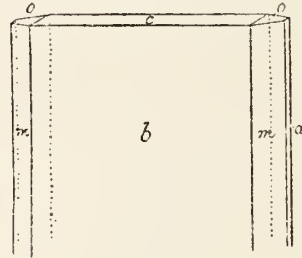


Fig. 23.

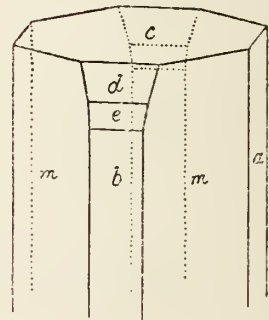


Fig. 24.

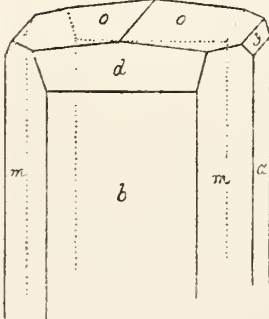


Fig. 25.

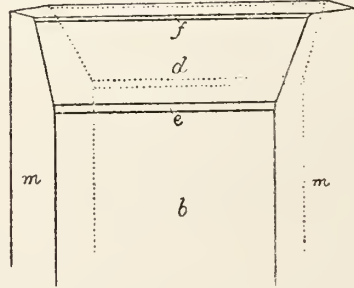
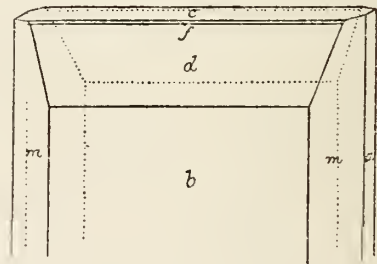


Fig. 26.



Thomsonit

Fig. 27.

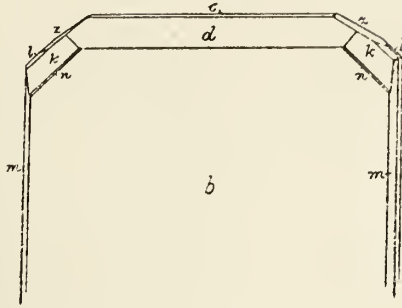


Fig. 28.

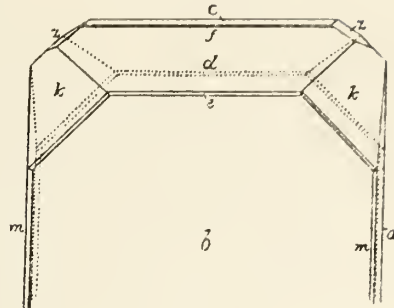


Fig. 29.

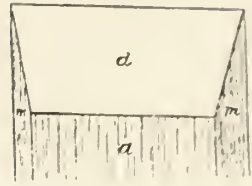


Fig. 31.

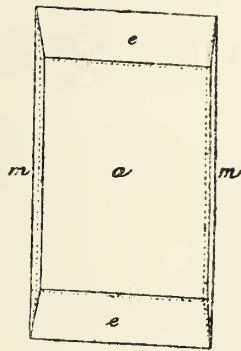


Fig. 32.

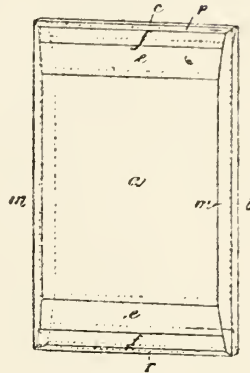


Fig. 30.

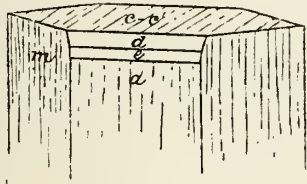


Fig. 33.

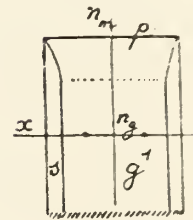


Fig. 34.

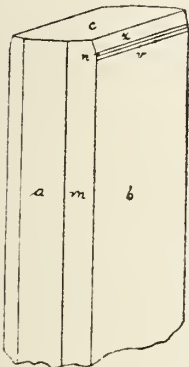


Fig. 35.

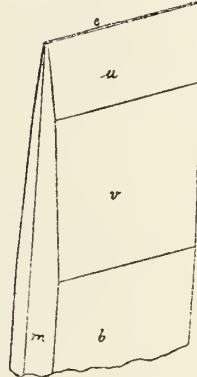


Fig. 36.



Fig. 37.



Thorianit

Fig. 1.

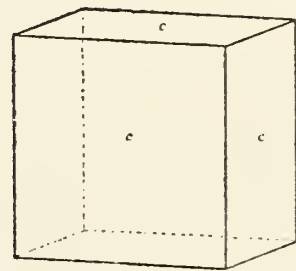


Fig. 2.

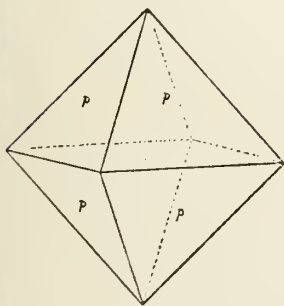


Fig. 3.

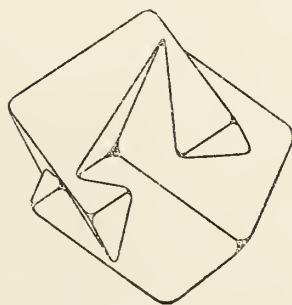


Fig. 4.

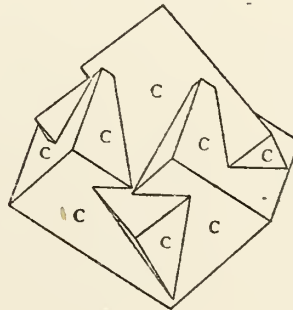
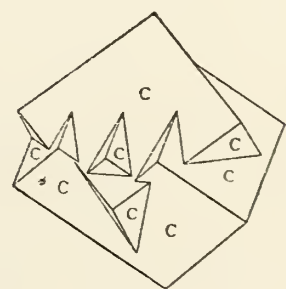


Fig. 5.



Thorit

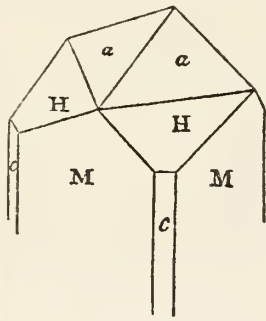


Fig. 2.

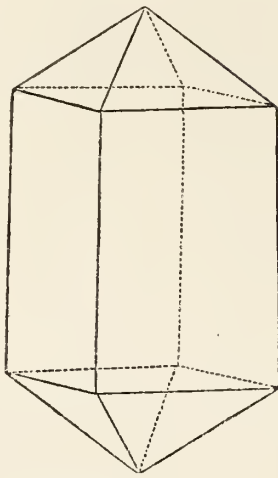


Fig. 3.

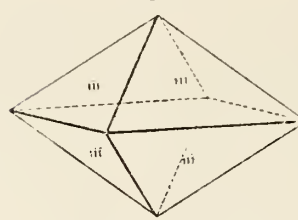


Fig. 5.

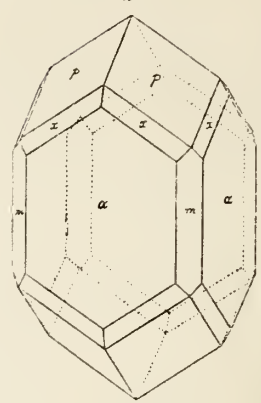


Fig. 6.

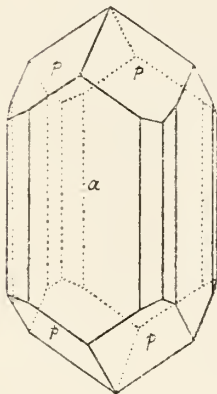
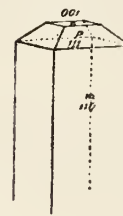


Fig. 4.



Tiemannit

Fig. 1.

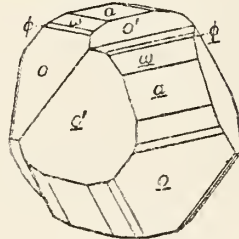
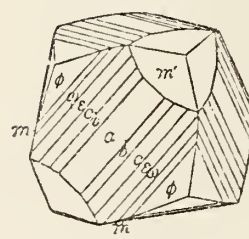


Fig. 2.



Tilasit

Fig. 1.

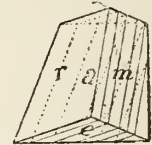


Fig. 2.

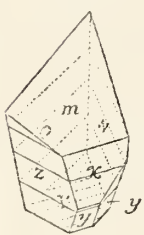


Fig. 3.

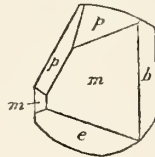


Fig. 4.

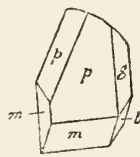


Fig. 5.

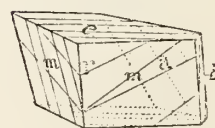
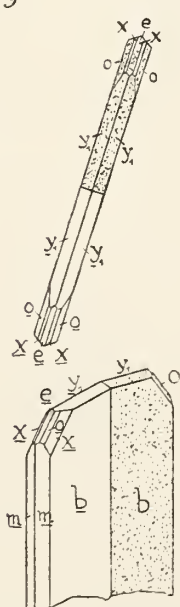


Fig. 6.



Fig. 7.



Titaneisen

Fig. 1.

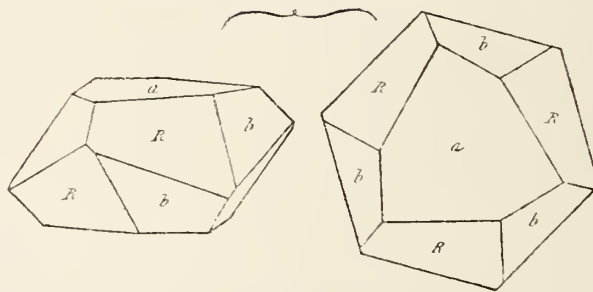
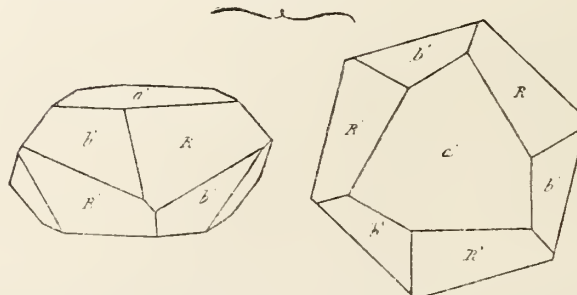


Fig. 2.



Titanelisen

Fig. 3.

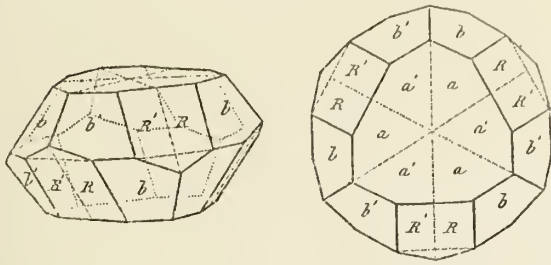


Fig. 4.

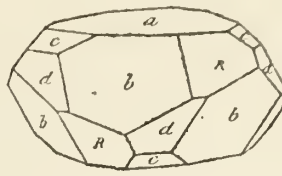


Fig. 5.

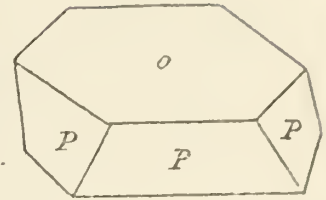


Fig. 6.

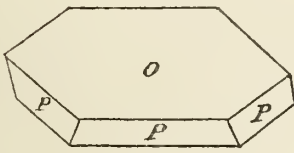


Fig. 7.

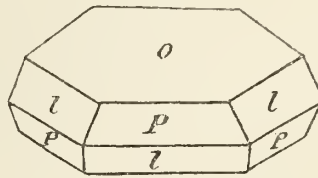


Fig. 8.

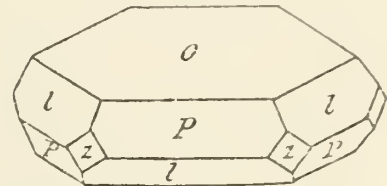


Fig. 9.

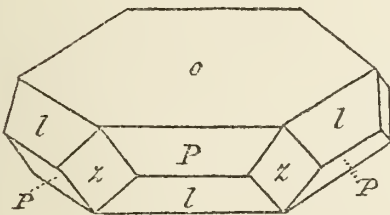


Fig. 10.

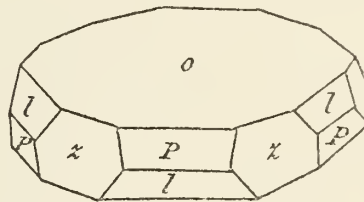


Fig. 11.

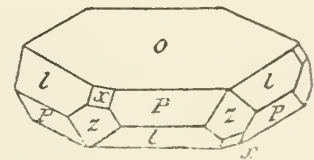


Fig. 12.

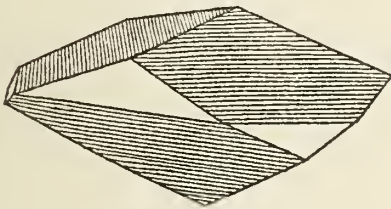


Fig. 13.

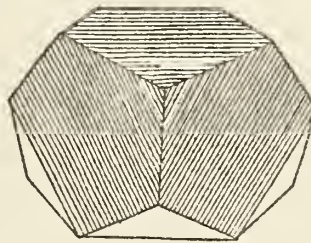


Fig. 14.

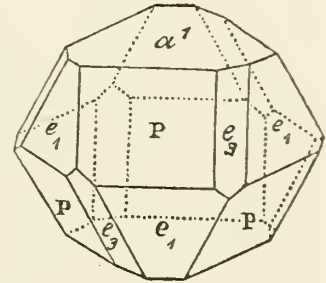


Fig. 15.

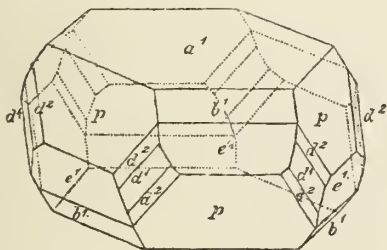


Fig. 16.

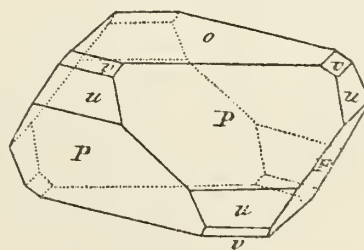
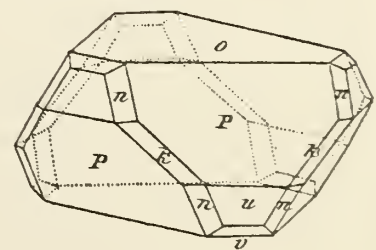


Fig. 17.



Titanelen

Fig. 18.

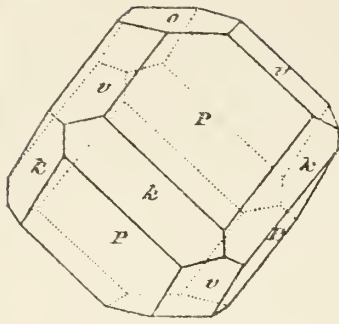


Fig. 19.



Fig. 20.



Fig. 21.

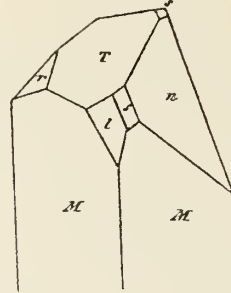


Fig. 22.

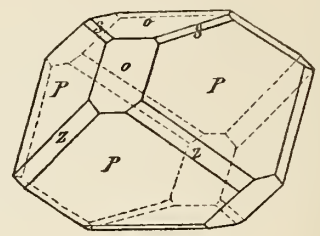


Fig. 23.

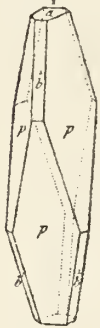


Fig. 24.

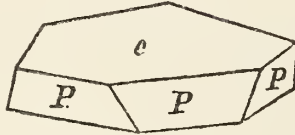


Fig. 25.

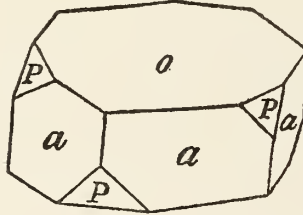


Fig. 26.

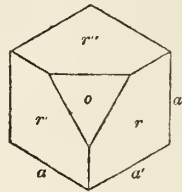


Fig. 27.

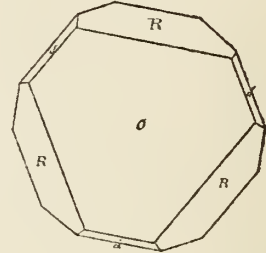


Fig. 28.

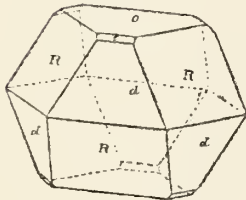


Fig. 29.

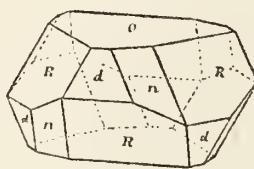


Fig. 30.

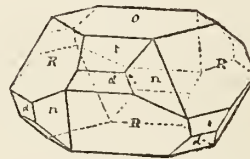
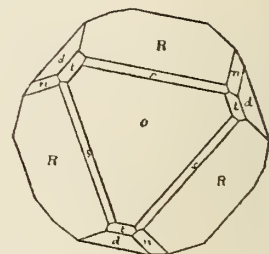
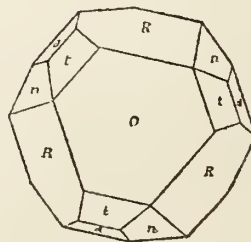
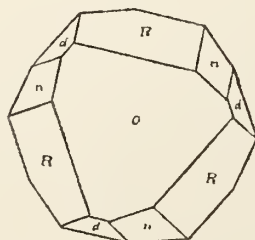
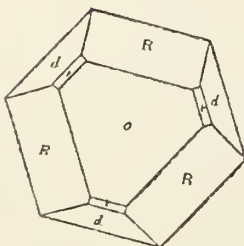
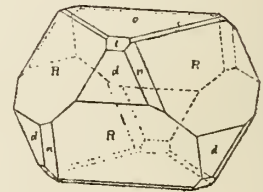
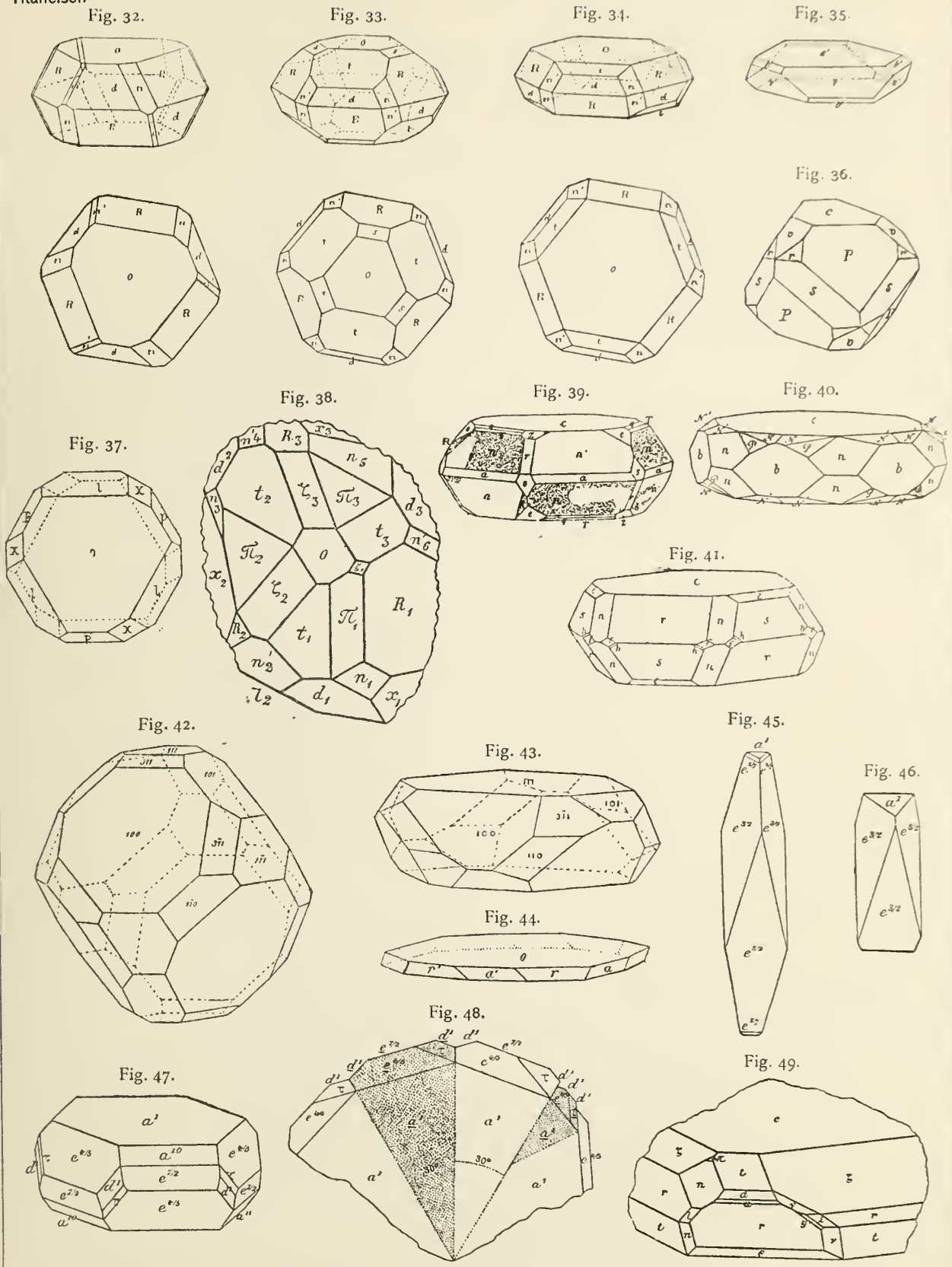


Fig. 31.



Titaneisen



Titaneisen

Fig. 50.

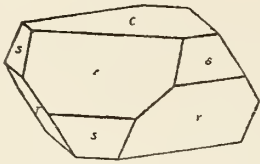


Fig. 51.

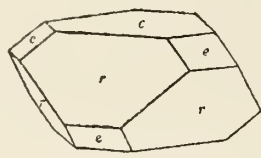


Fig. 52.

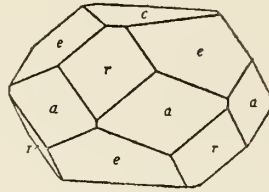


Fig. 53.

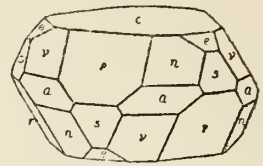


Fig. 54.

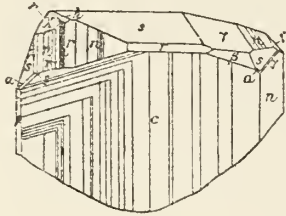


Fig. 55.

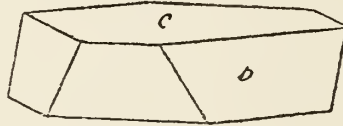


Fig. 56.

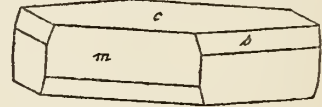


Fig. 58.

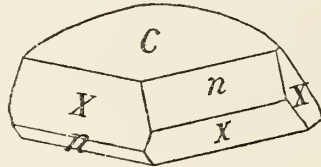


Fig. 59.

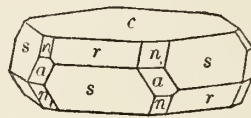


Fig. 60.

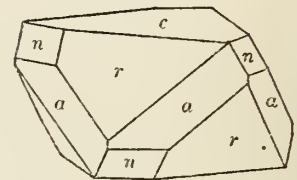


Fig. 57.

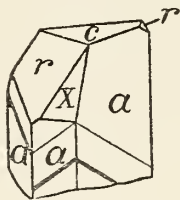


Fig. 62.

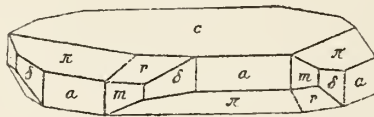


Fig. 63.

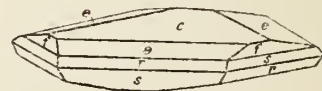


Fig. 61.

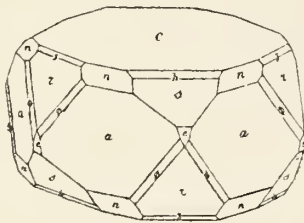


Fig. 65.

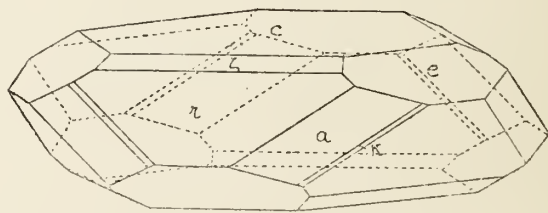


Fig. 64.

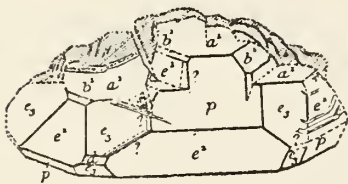


Fig. 66.

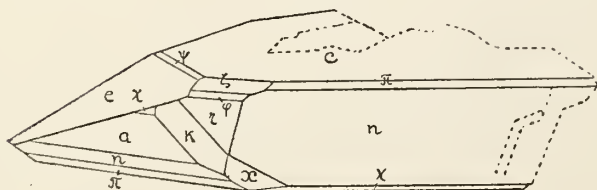
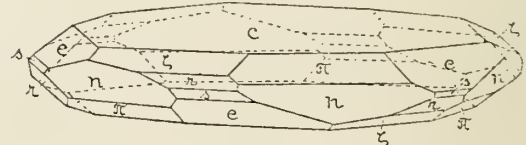


Fig. 67.



Titanelisen

Fig. 68.

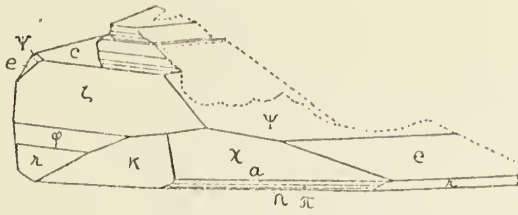


Fig. 69.

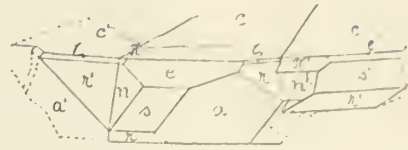


Fig. 70.

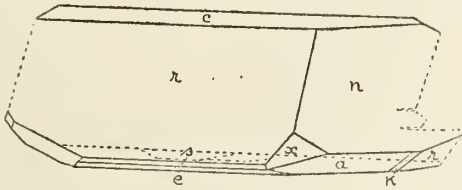
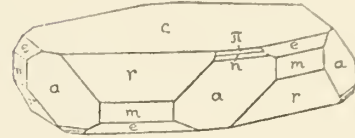


Fig. 71.



Titanit

Fig. 1.

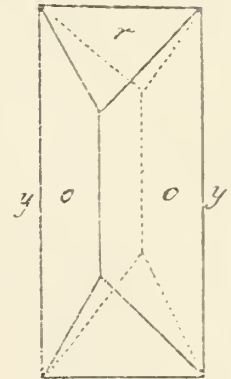


Fig. 72.

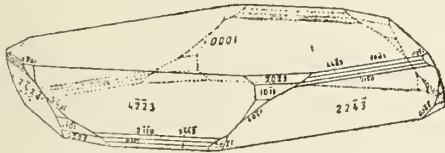


Fig. 73.

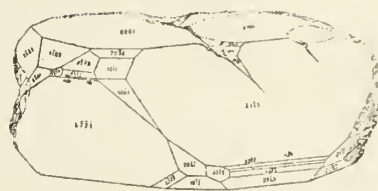


Fig. 2.

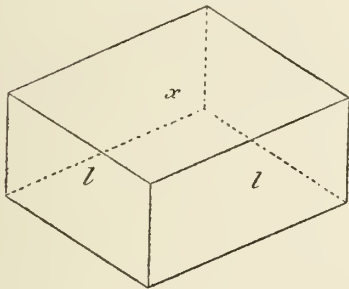


Fig. 3.

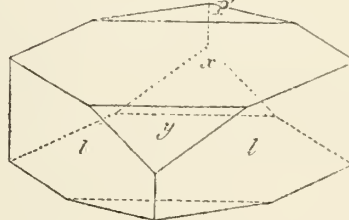


Fig. 4.

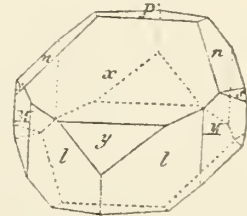


Fig. 5.

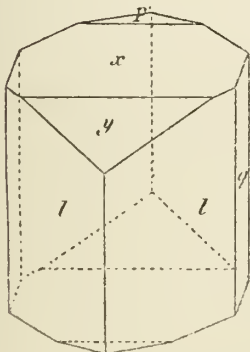


Fig. 6.

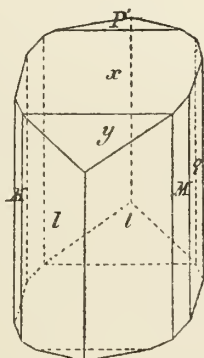


Fig. 7.

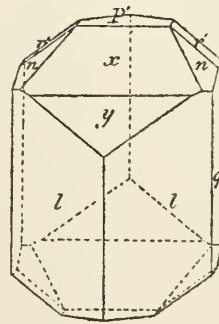


Fig. 8.

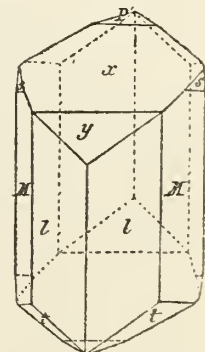
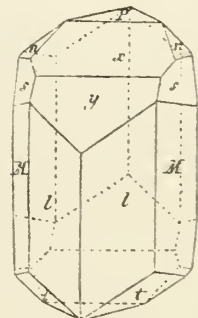


Fig. 9.



Titanit

Fig. 10.

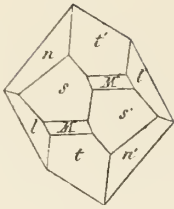


Fig. 11.

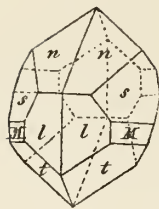


Fig. 12.

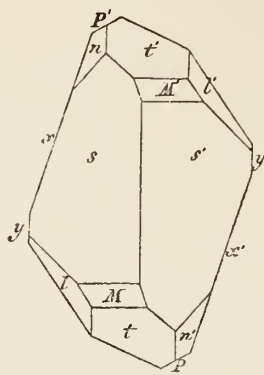


Fig. 13.

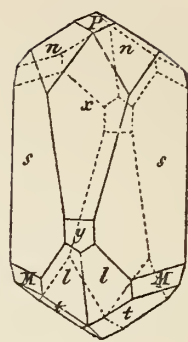


Fig. 14.

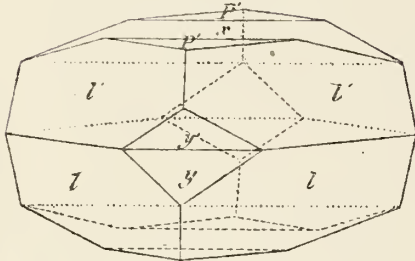


Fig. 15.

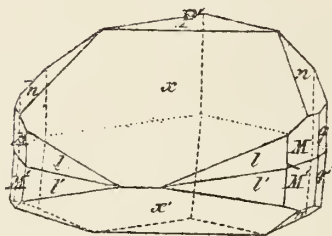


Fig. 16.

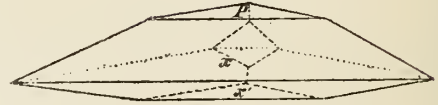


Fig. 17.

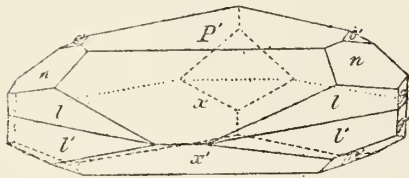


Fig. 18.

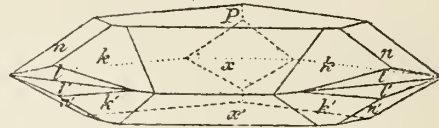


Fig. 19.

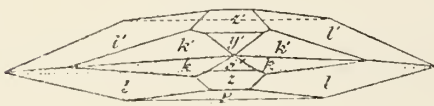


Fig. 20.

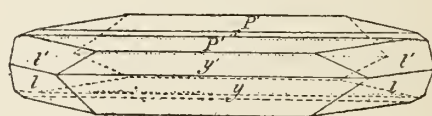


Fig. 21.

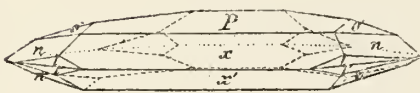


Fig. 22.

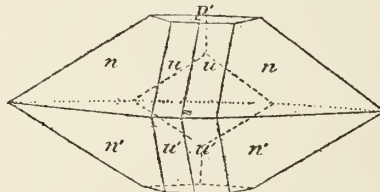


Fig. 23.

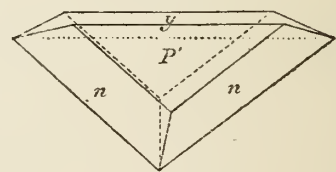


Fig. 24.

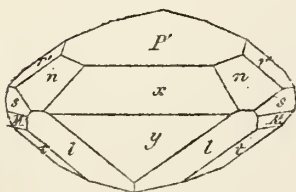


Fig. 25.

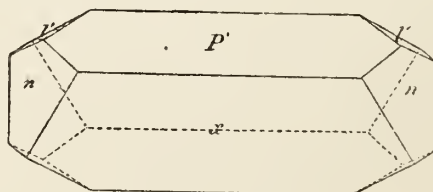
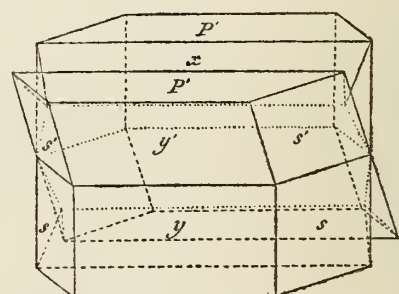


Fig. 26.



Titanit

Fig. 27.

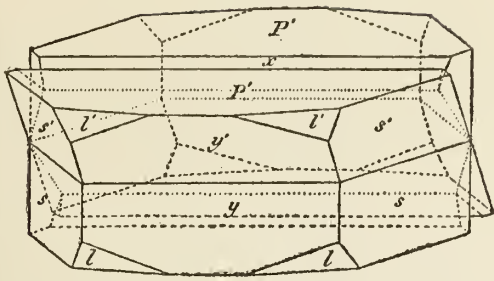


Fig. 28.

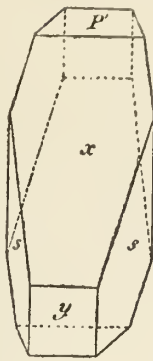


Fig. 29.

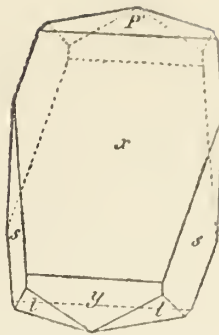


Fig. 30.

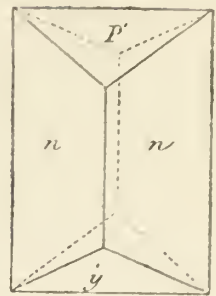


Fig. 31.

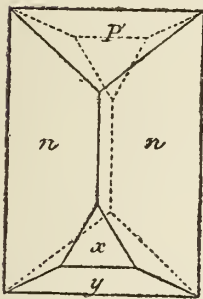


Fig. 32.

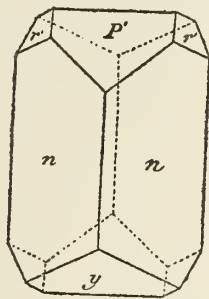


Fig. 33.

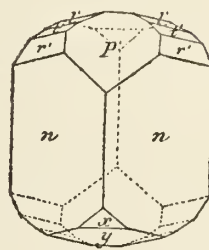


Fig. 34.

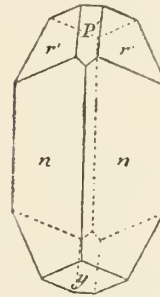


Fig. 35.

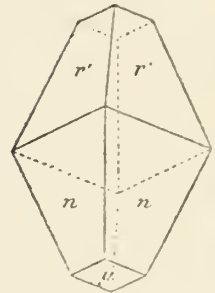


Fig. 36.

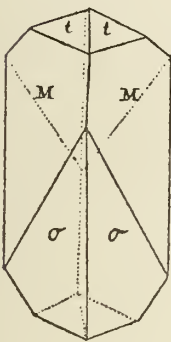


Fig. 37.

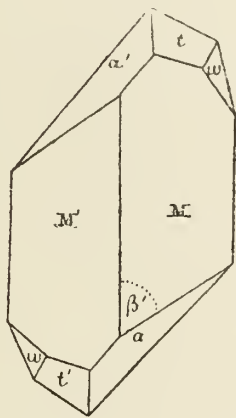


Fig. 38.

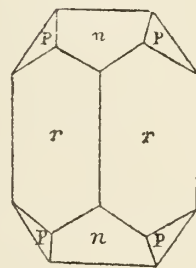


Fig. 39.

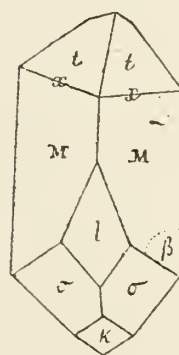


Fig. 40.

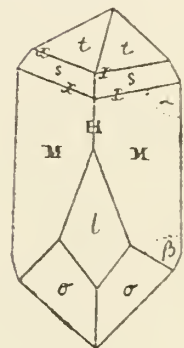


Fig. 41.

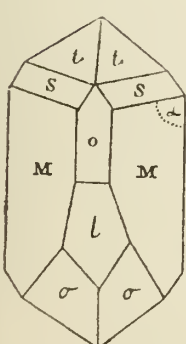


Fig. 42.

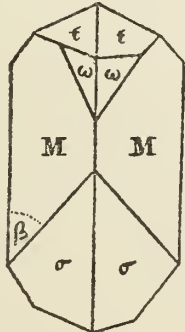


Fig. 43.

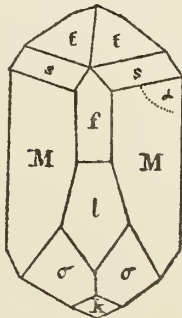


Fig. 44.

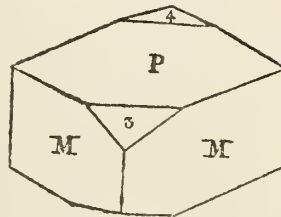
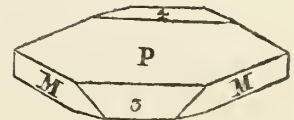
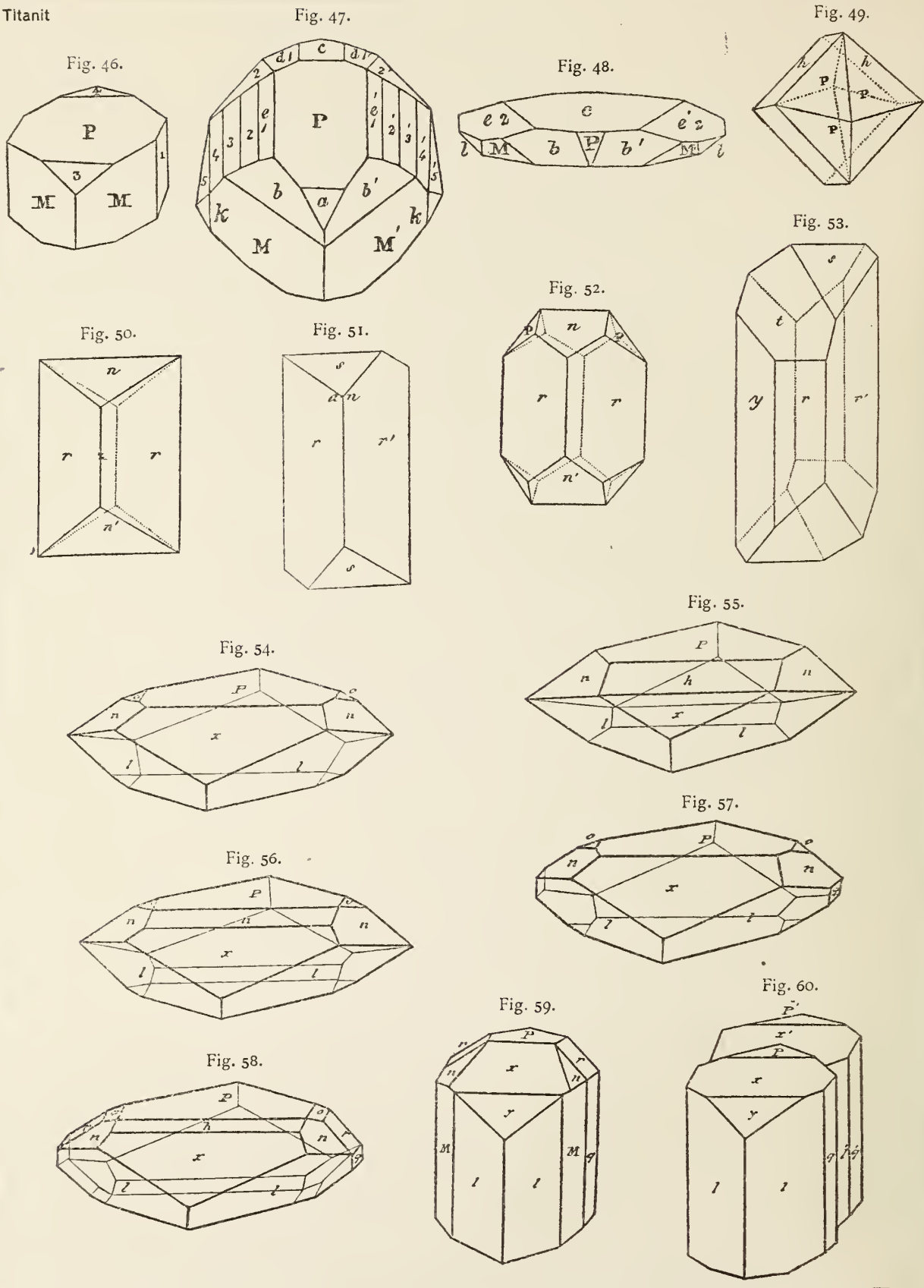


Fig. 45.



Titanit



Titanit

Fig. 61.

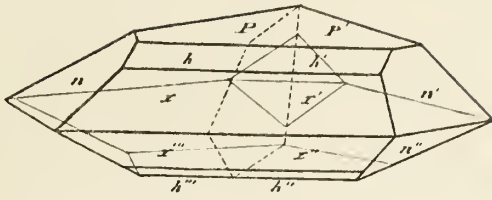


Fig. 62.

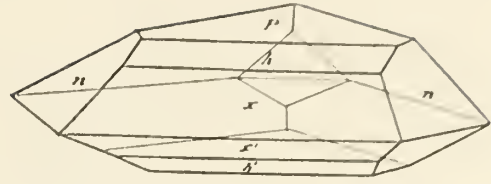


Fig. 63.

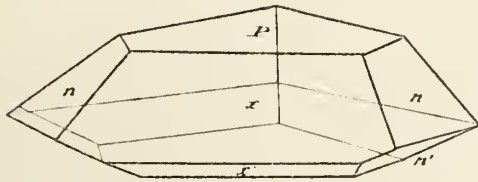


Fig. 64.

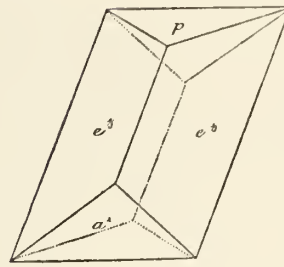


Fig. 65.

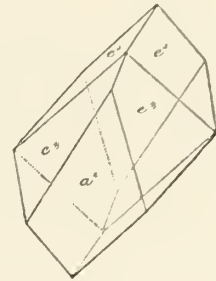


Fig. 67.

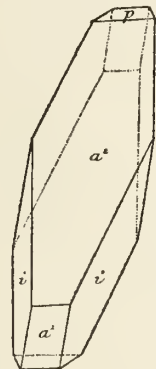


Fig. 66.

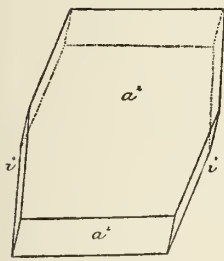


Fig. 68.

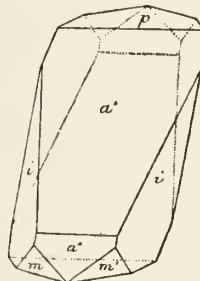


Fig. 69.

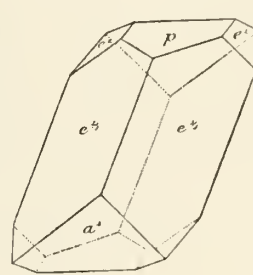
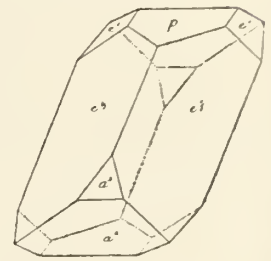


Fig. 70.



$i(g^1b^2d^3)$

$i'(g^1b^2d^3)$

$i(g^1b^2d^3)$

Fig. 71.

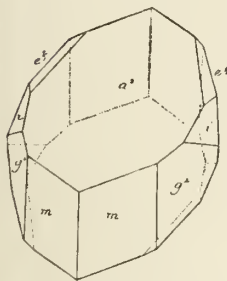


Fig. 72.

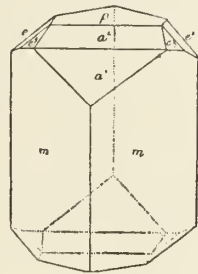


Fig. 73.

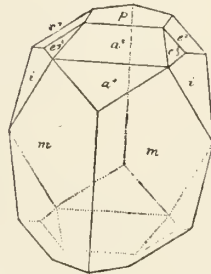


Fig. 74.

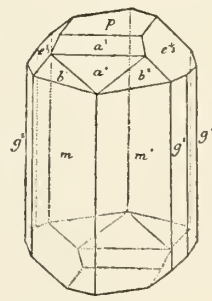
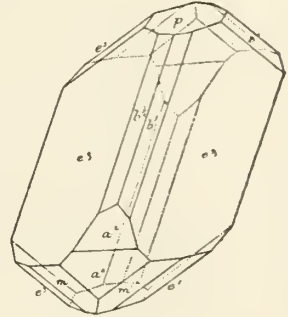


Fig. 75.



$i(g^1b^2d^3)$

$i(g^1b^2d^3)$

Fig. 76.

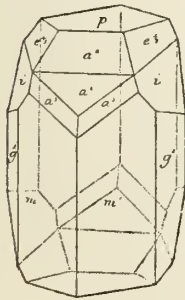


Fig. 77.

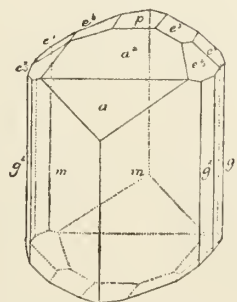


Fig. 78.

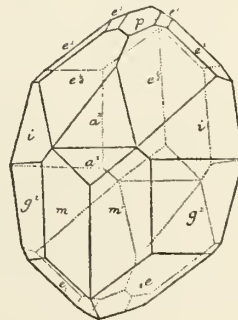
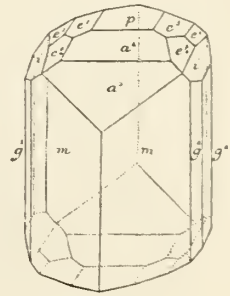


Fig. 79.



$i(g^1b^2d^3)$

$i(g^1b^2d^3)$

$i(g^1b^2d^3)$

Titanit

Fig. 80.

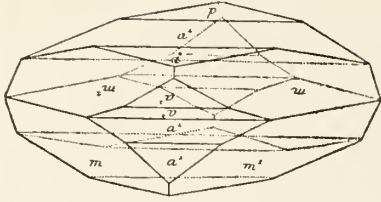


Fig. 81.

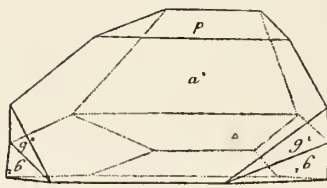


Fig. 82.

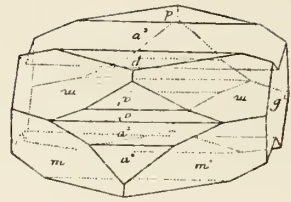


Fig. 83.

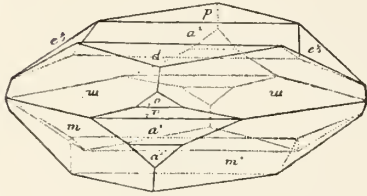


Fig. 84.

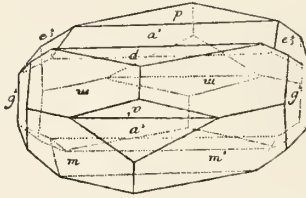


Fig. 85.

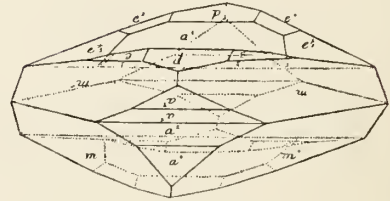


Fig. 86.

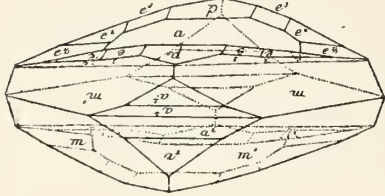


Fig. 87.

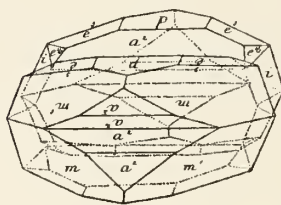
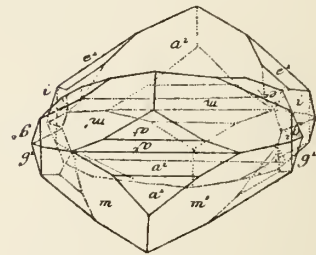


Fig. 88.



$i \cdot (g' b' d')$

$i \cdot (g' b' d')$

Fig. 89.

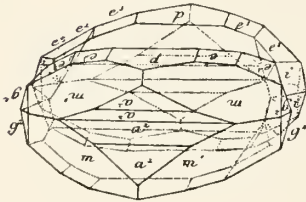


Fig. 90.

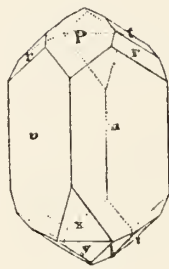


Fig. 91.

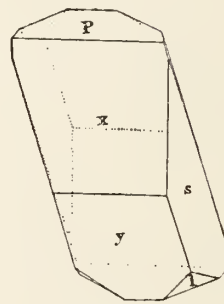
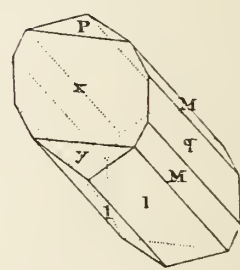


Fig. 92.



$i \cdot (g' b' d')$

Fig. 93.

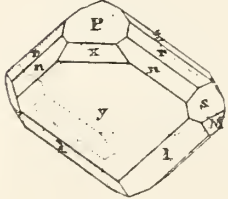


Fig. 94.

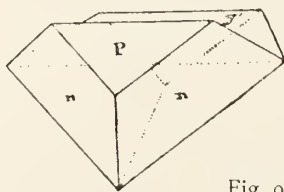


Fig. 95.

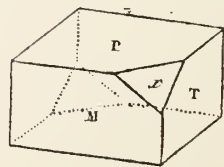


Fig. 96.

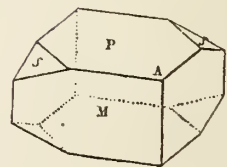


Fig. 97.

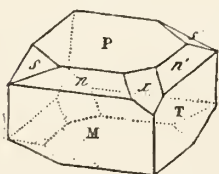


Fig. 98.

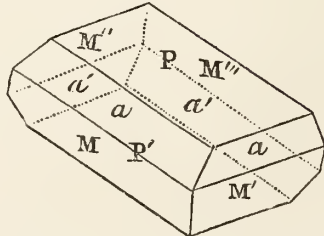
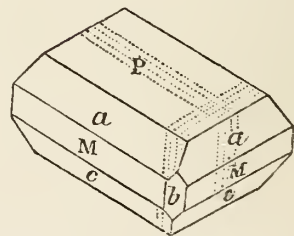


Fig. 99.



Titanit

Fig. 100.

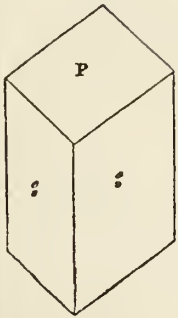


Fig. 101.

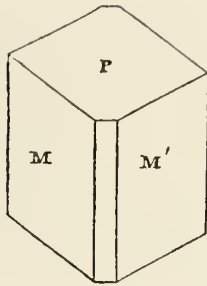
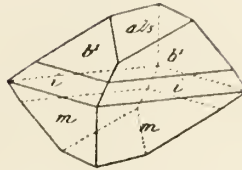


Fig. 102.



$$i = (b' d^{1/2} g^{1/2})$$

Fig. 103.

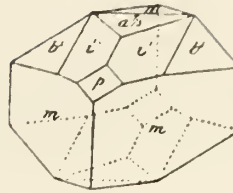


Fig. 104.

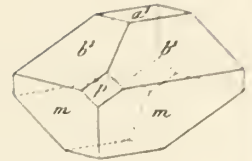


Fig. 105.

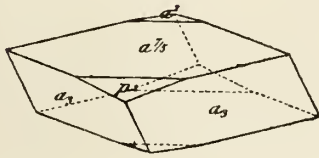
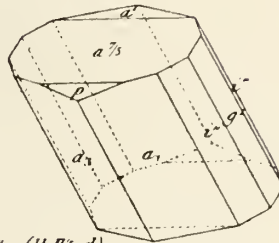


Fig. 106.



$$i' = (b' d^{1/2} g')$$

Fig. 107.

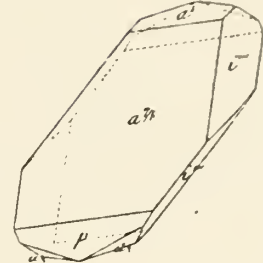


Fig. 108.

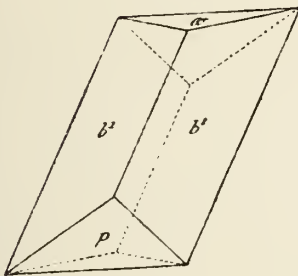
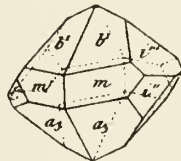


Fig. 109.



$$i'' = (b' d^{1/2} g')$$

$$i''' = (b' d^{1/2} g')$$

Fig. 110.

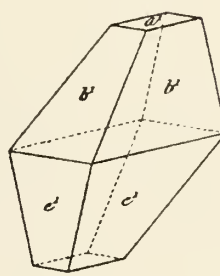
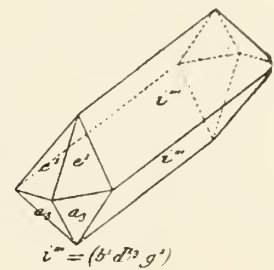


Fig. 111.



$$i'' = (b' d^{1/2} g')$$

Fig. 112.

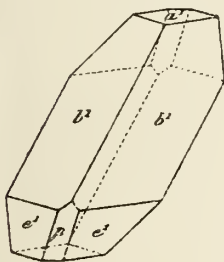


Fig. 113.

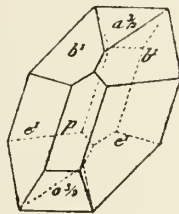


Fig. 114.

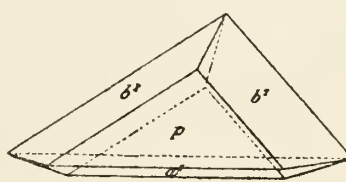


Fig. 115.

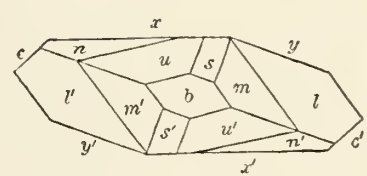


Fig. 116.

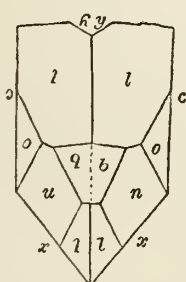


Fig. 117.

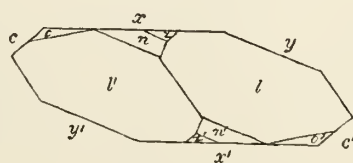
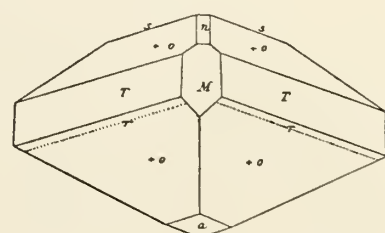


Fig. 118.



Titanit

Fig. 138.

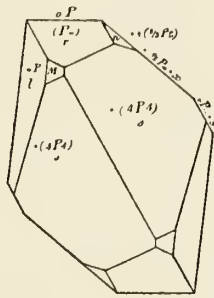


Fig. 139.

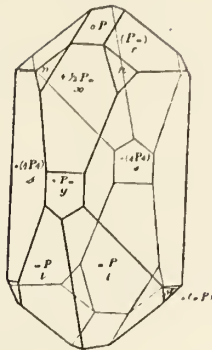


Fig. 140.

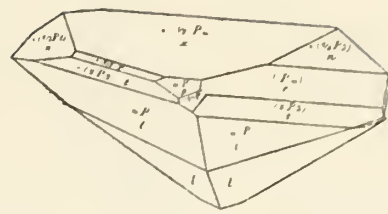


Fig. 141.

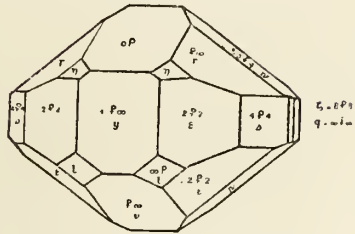


Fig. 142.

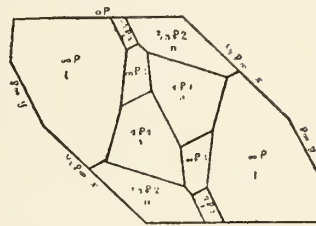


Fig. 143.

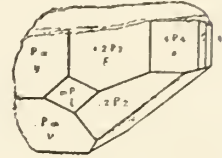


Fig. 144.

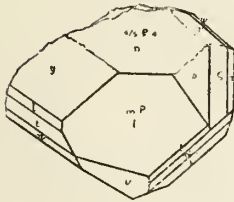


Fig. 145.

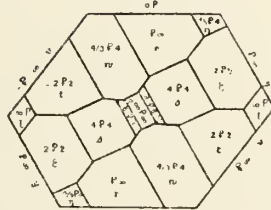


Fig. 146.

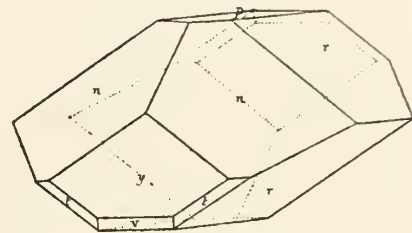


Fig. 147.

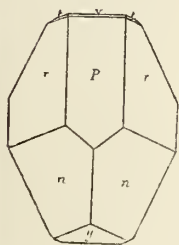


Fig. 148.

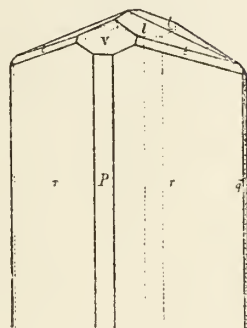


Fig. 149.

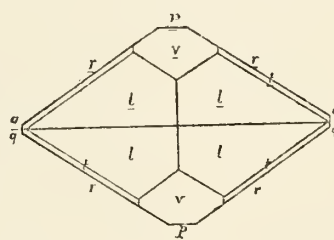


Fig. 150.

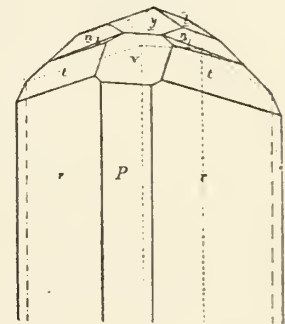


Fig. 151.

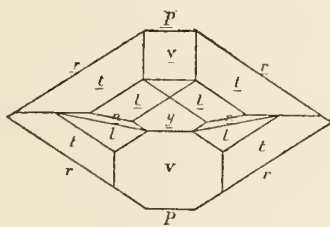


Fig. 152.

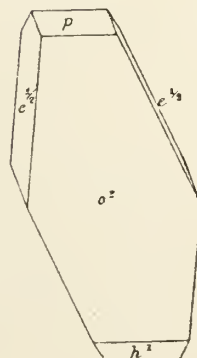
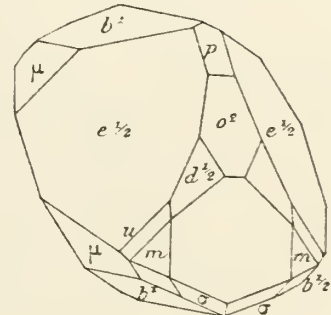


Fig. 153.



Titanit

Fig. 154.

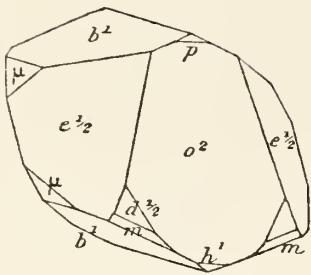


Fig. 155.

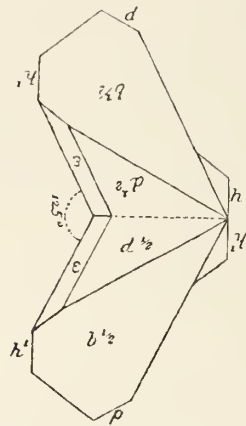


Fig. 156.

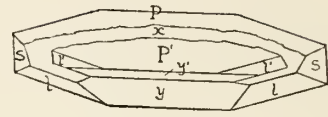


Fig. 157.

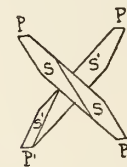


Fig. 158.

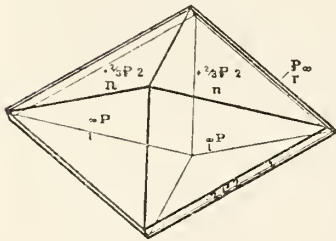


Fig. 159.

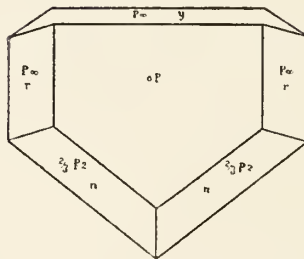


Fig. 160.

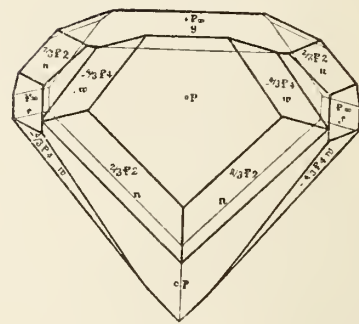


Fig. 161.

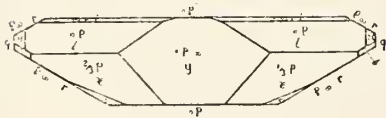


Fig. 163.

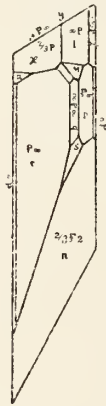


Fig. 164.

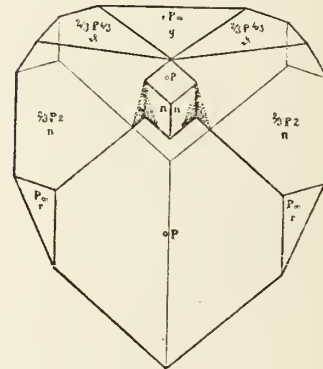


Fig. 162.

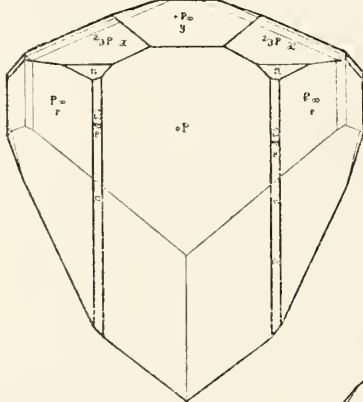


Fig. 166.

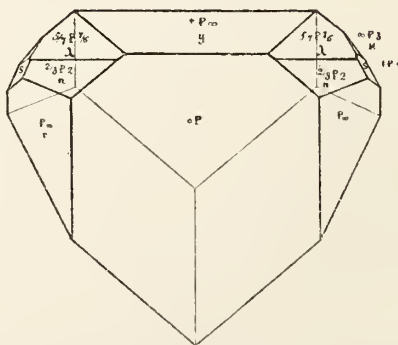


Fig. 167.

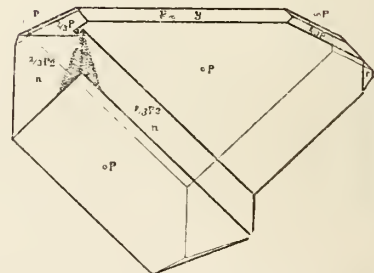
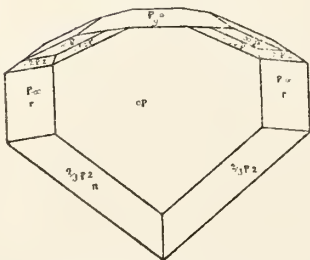


Fig. 165.



Titanit

Fig. 168.

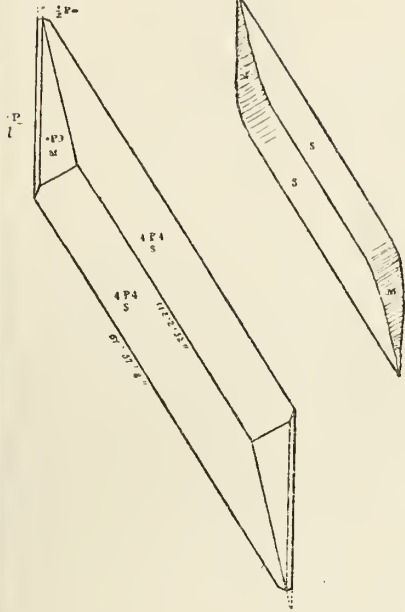


Fig. 169.

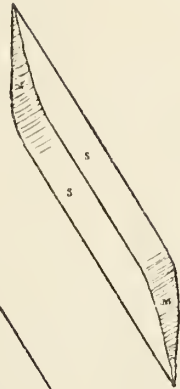


Fig. 170. Fig. 171.

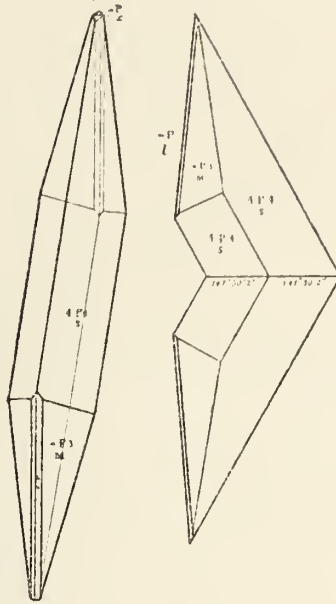


Fig. 172.

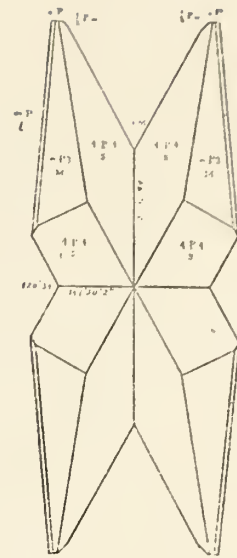


Fig. 173.

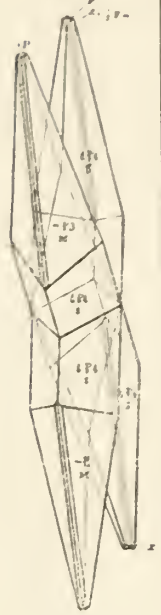


Fig. 174.

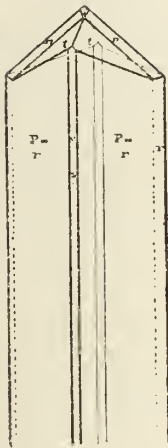


Fig. 175.

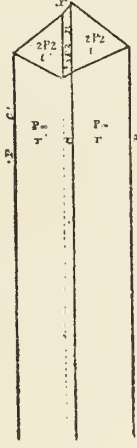


Fig. 176.

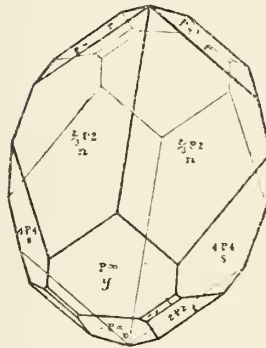


Fig. 177.

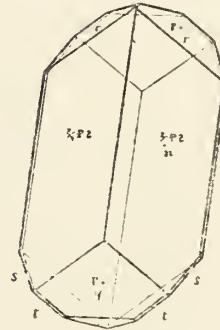


Fig. 178.

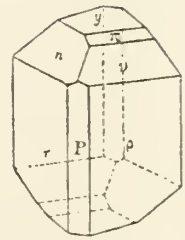


Fig. 179.

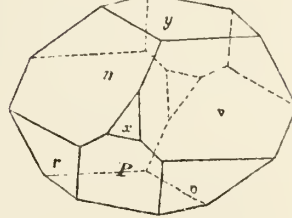


Fig. 180.

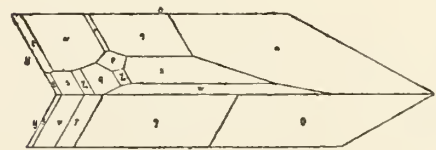


Fig. 181.

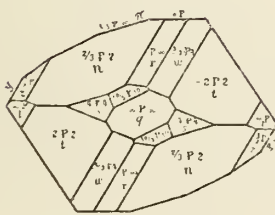


Fig. 182.

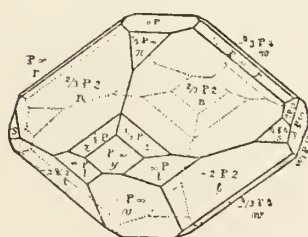
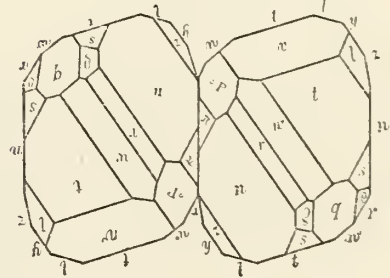


Fig. 183.



Titanit

Fig. 184.

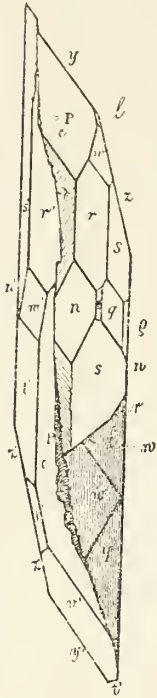


Fig. 185.

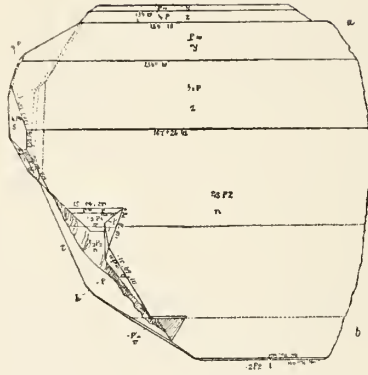


Fig. 186.

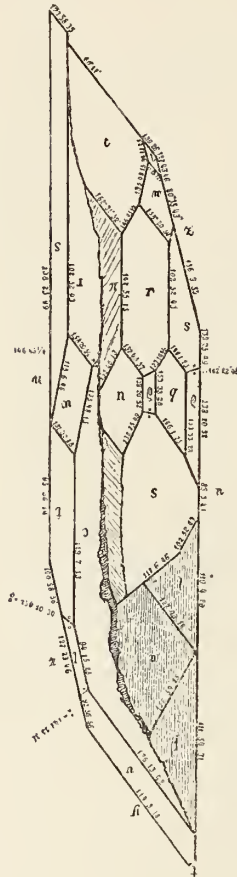


Fig. 187.

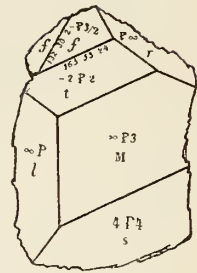


Fig. 188.

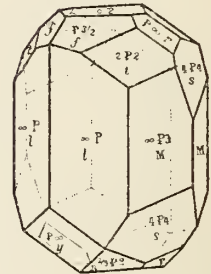


Fig. 189.

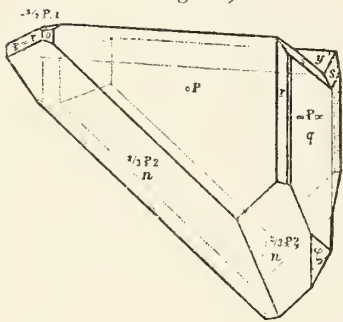


Fig. 190.

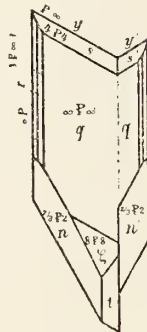


Fig. 191.

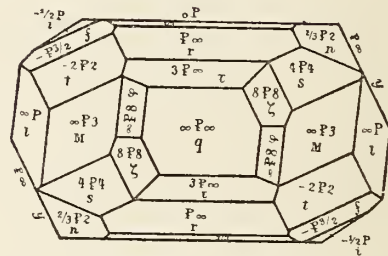


Fig. 192.

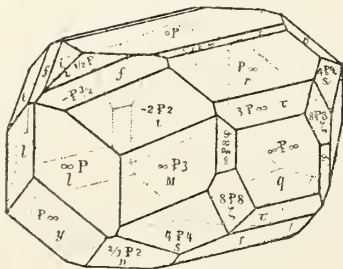


Fig. 193.

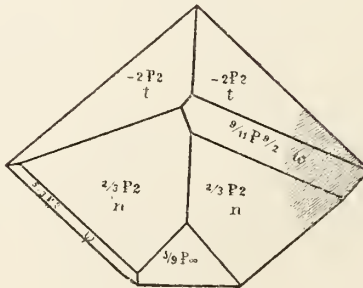
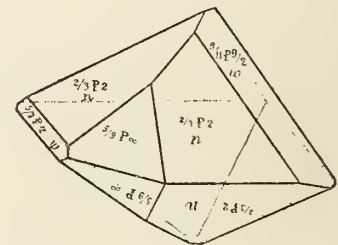


Fig. 194.



Titanit

Fig. 195.

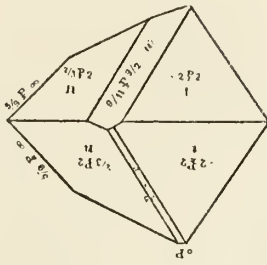


Fig. 196.

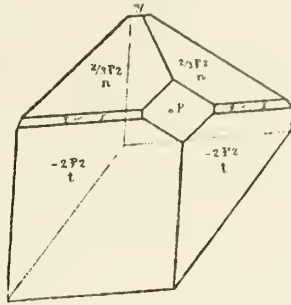


Fig. 197.

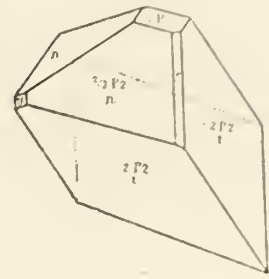


Fig. 198.

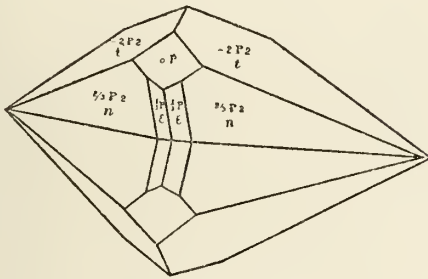


Fig. 199.

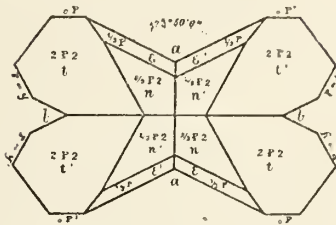


Fig. 200.

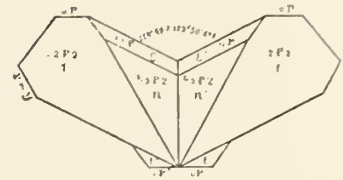


Fig. 201.

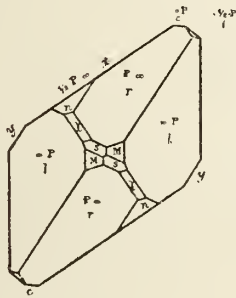


Fig. 202.

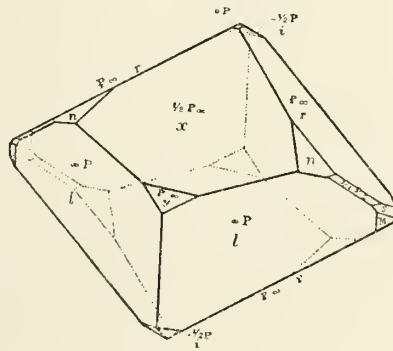


Fig. 203.

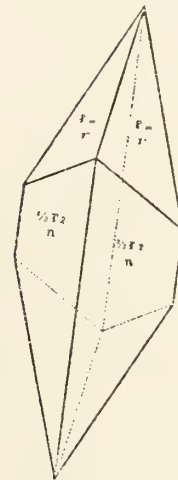


Fig. 204.

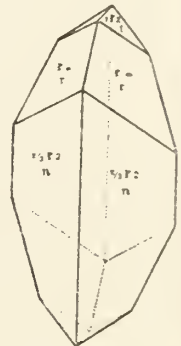


Fig. 205.

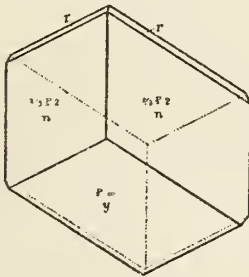


Fig. 206.

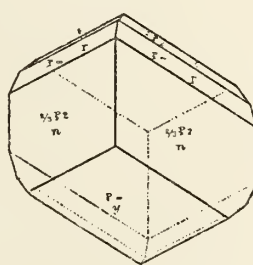


Fig. 207.

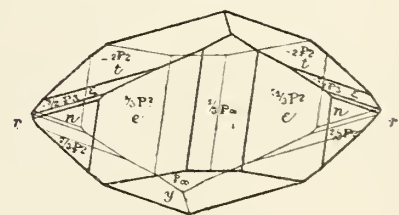


Fig. 208.

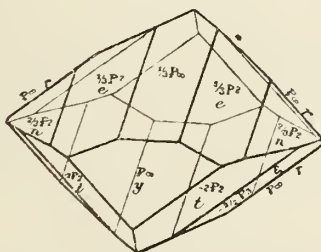


Fig. 209.

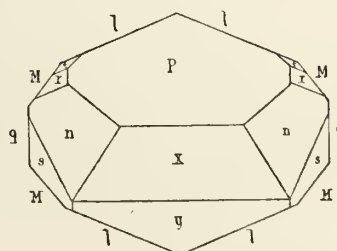
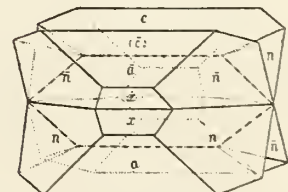


Fig. 210.



Titanit

Fig. 211.

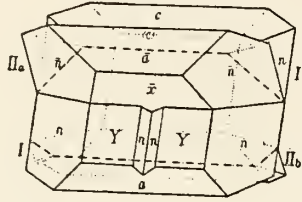


Fig. 212.

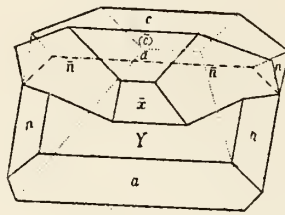


Fig. 213.

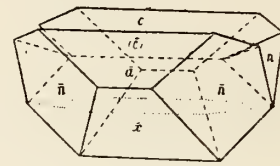


Fig. 214.

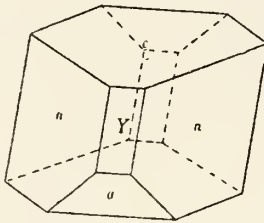


Fig. 215.

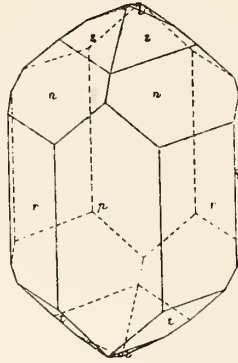


Fig. 216.

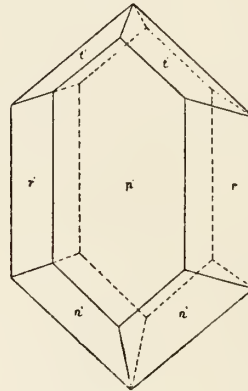


Fig. 217.

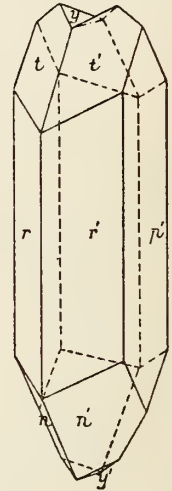


Fig. 218.

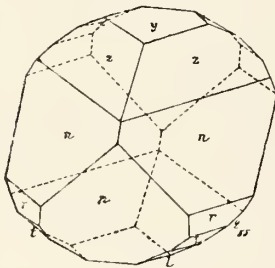


Fig. 219.

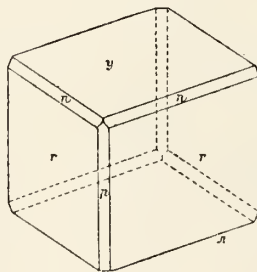


Fig. 220.

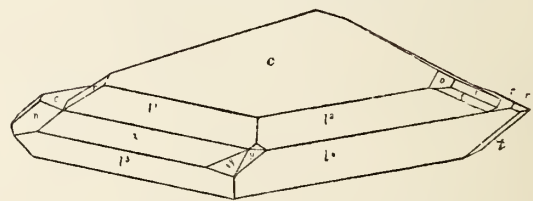


Fig. 222.

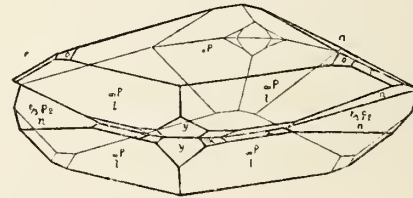


Fig. 221.

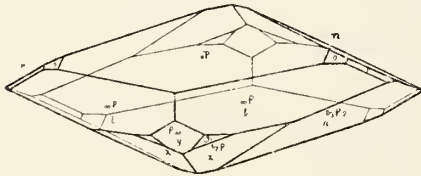


Fig. 225.

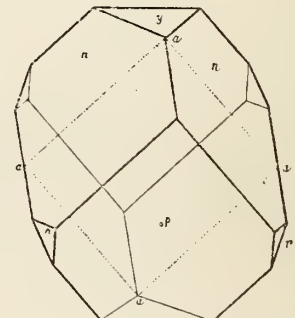


Fig. 223.

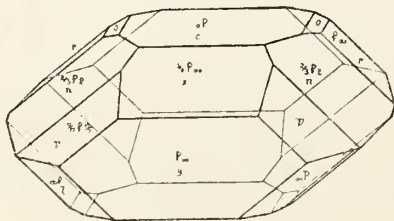
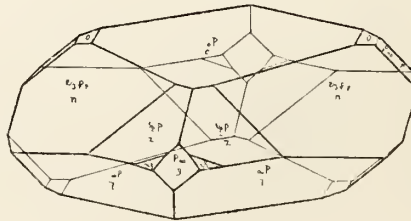


Fig. 224.



Titanit

Fig. 245.

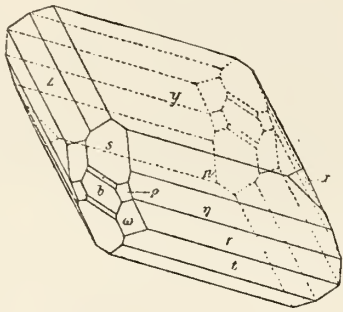


Fig. 246.

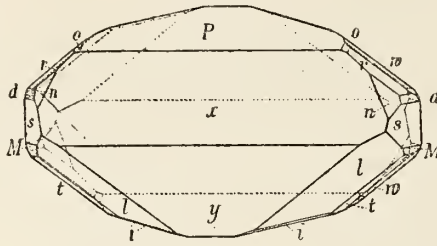


Fig. 247.

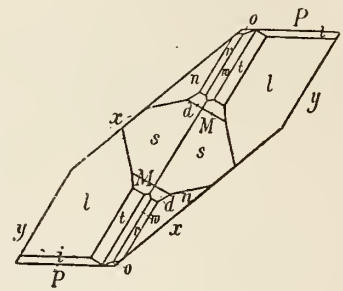


Fig. 248.

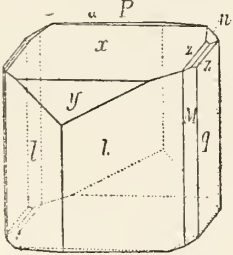


Fig. 249.

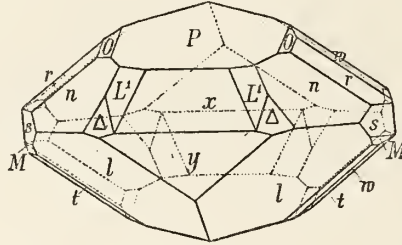


Fig. 250.

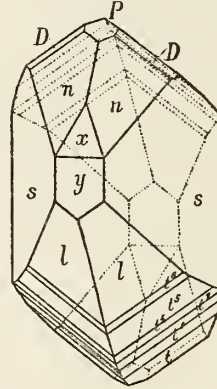


Fig. 251.

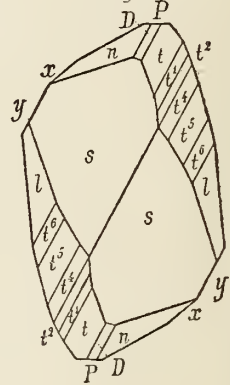


Fig. 252.

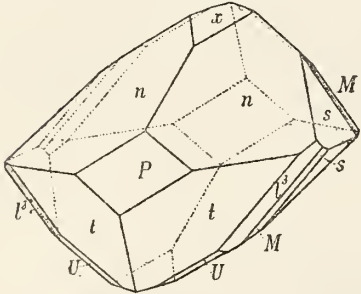


Fig. 253.

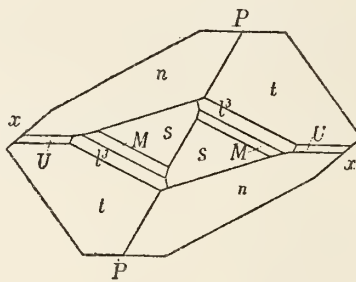


Fig. 254.

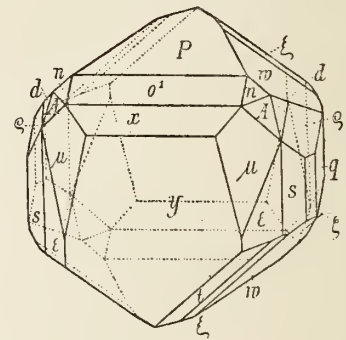


Fig. 255.

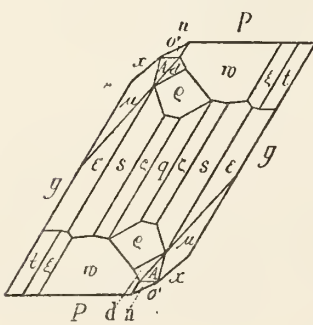


Fig. 256.

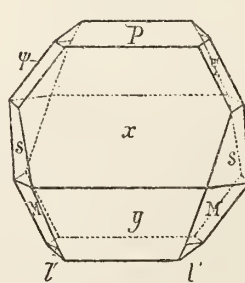
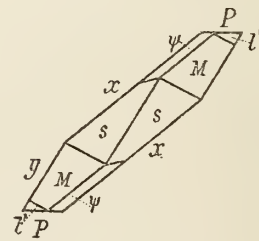


Fig. 257.



Titanit

Fig. 258.

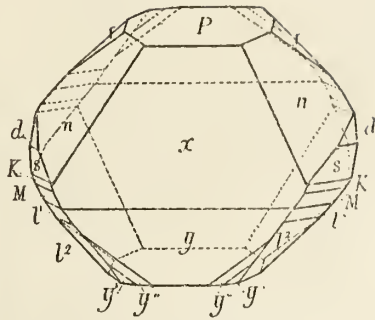


Fig. 259.

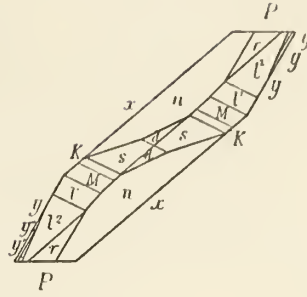


Fig. 260.

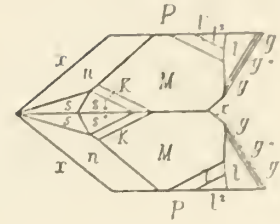


Fig. 261.

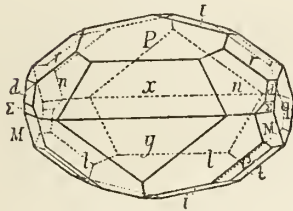


Fig. 262.

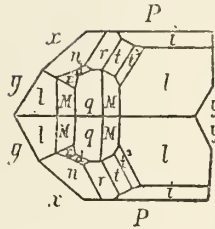


Fig. 263.

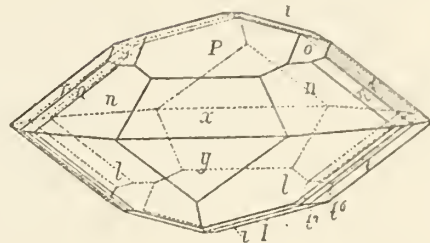


Fig. 264.

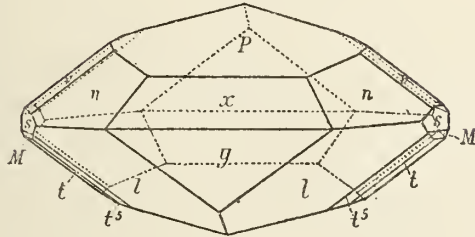


Fig. 265.

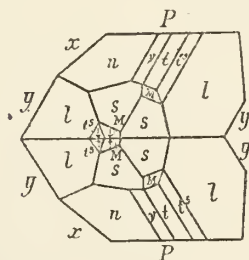


Fig. 266.

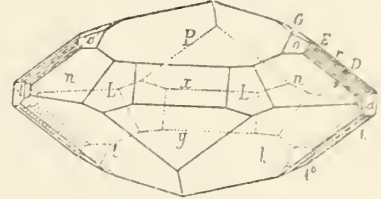


Fig. 267.

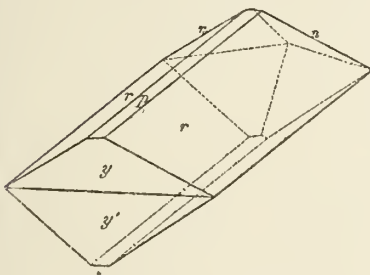


Fig. 268.

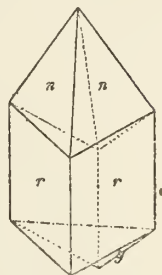


Fig. 270.

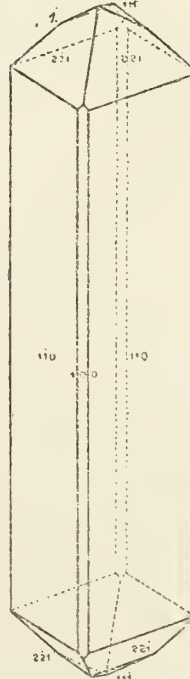


Fig. 271.

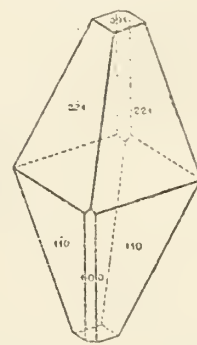


Fig. 273.



Fig. 269.

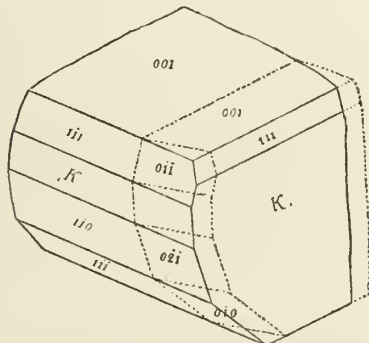
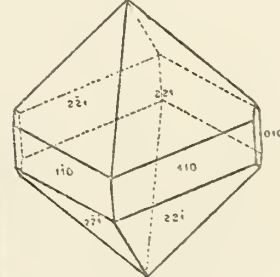


Fig. 272.



Titanit

Fig. 274.

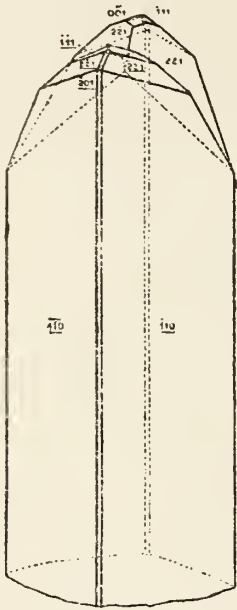


Fig. 275.

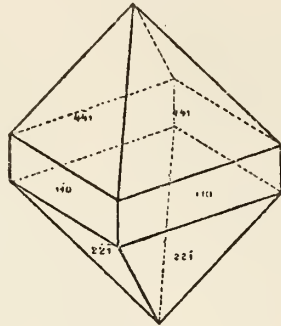


Fig. 277.

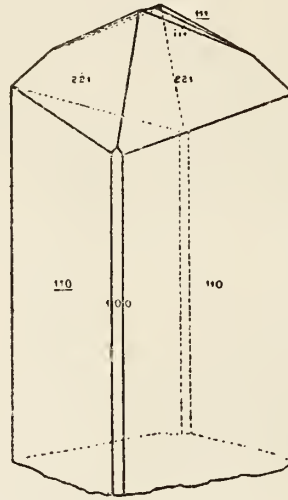


Fig. 278.

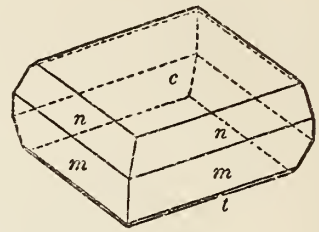


Fig. 276.

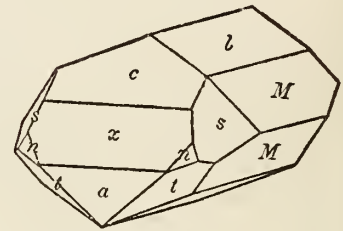
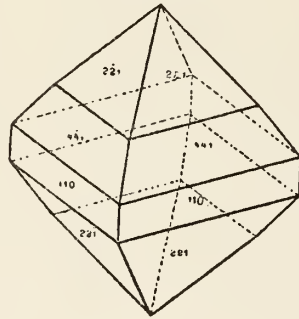


Fig. 279.

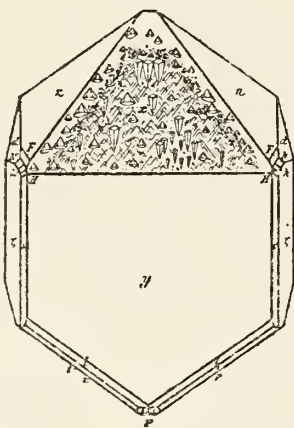


Fig. 280.

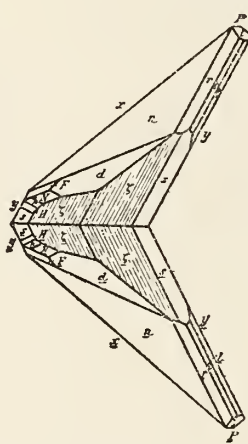


Fig. 281.

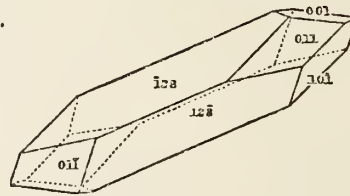


Fig. 282.

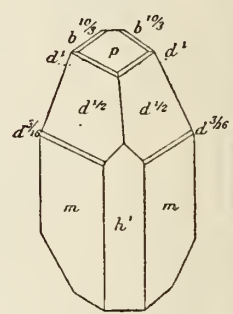


Fig. 285.

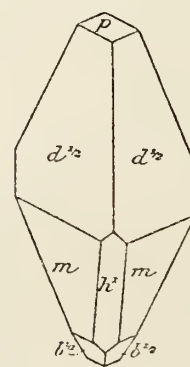


Fig. 286.

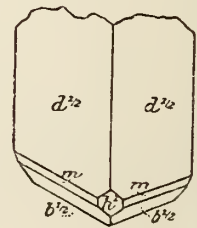


Fig. 283.

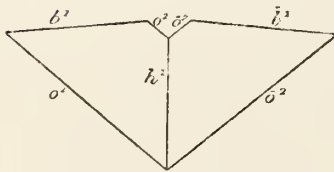
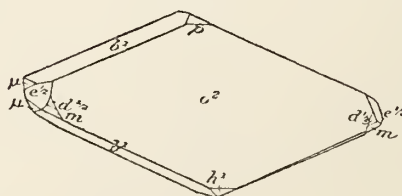


Fig. 284.



Titanit

Fig. 287.

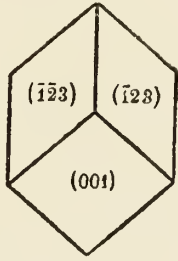


Fig. 288.

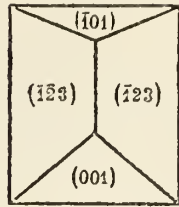


Fig. 289.

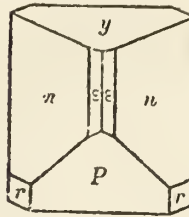


Fig. 290.

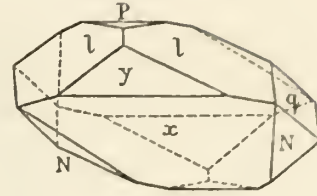


Fig. 291.

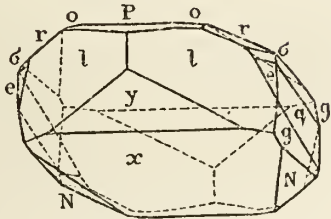


Fig. 292.

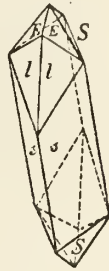


Fig. 293.

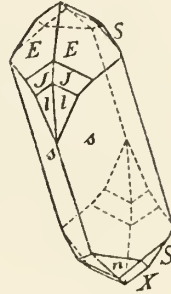


Fig. 294.

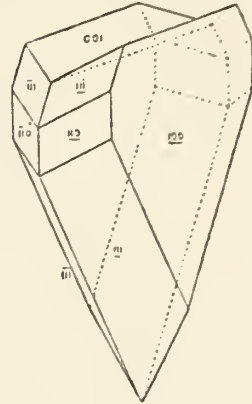


Fig. 295.

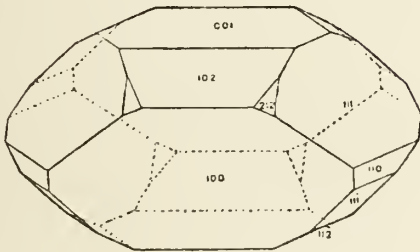


Fig. 296.

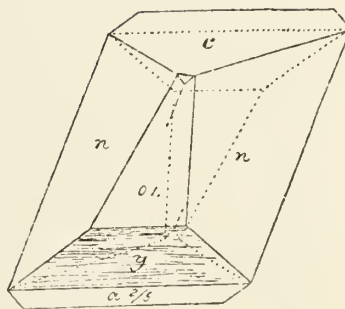


Fig. 297.

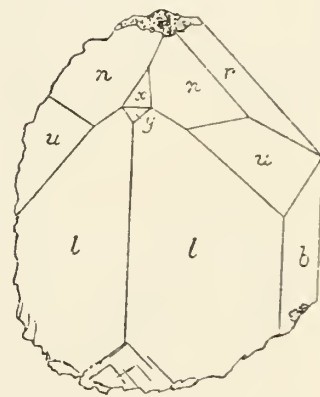


Fig. 298.

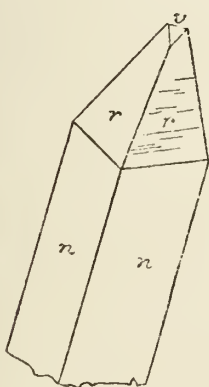


Fig. 299.

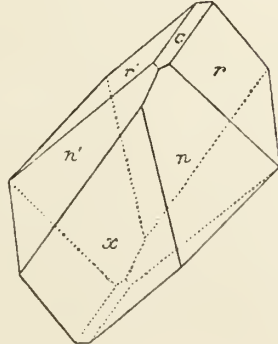


Fig. 300.

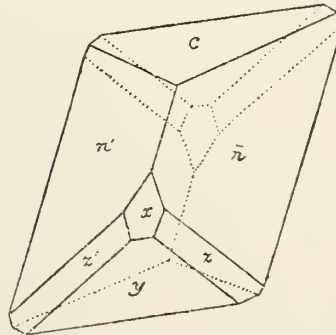
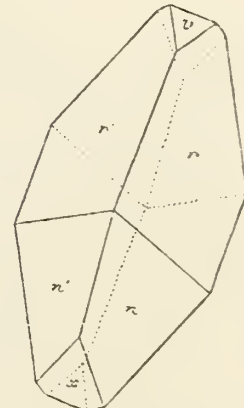


Fig. 301.



Titanit

Fig. 302.

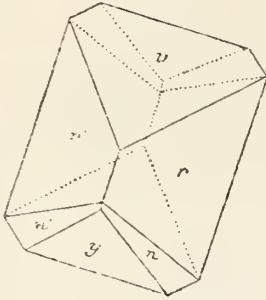


Fig. 303.

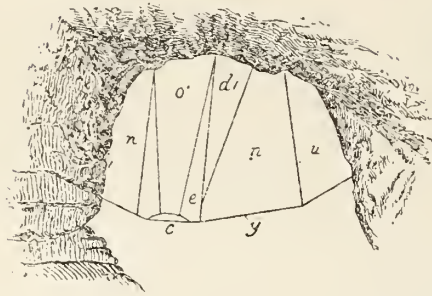


Fig. 304.

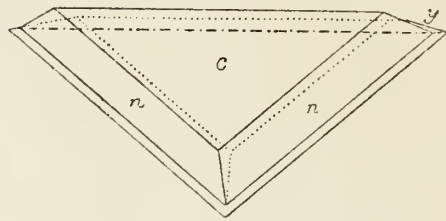


Fig. 305.

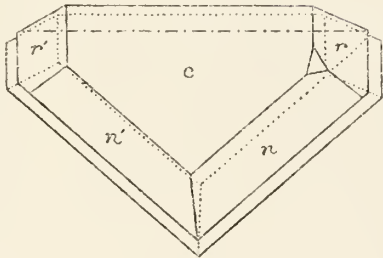


Fig. 306.

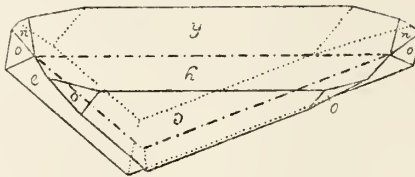


Fig. 307.

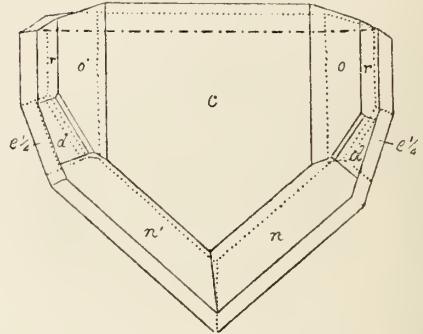


Fig. 308.

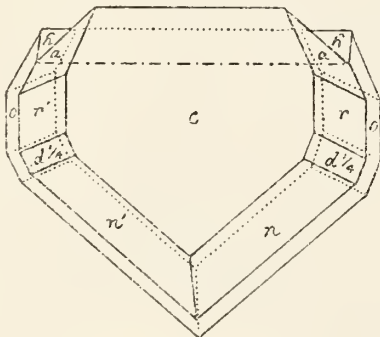


Fig. 309.

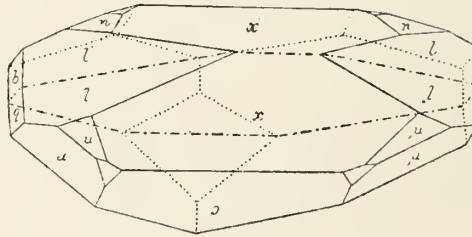


Fig. 310.

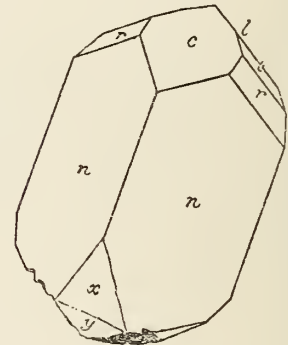


Fig. 311.

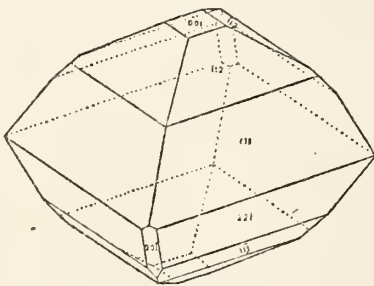


Fig. 312.

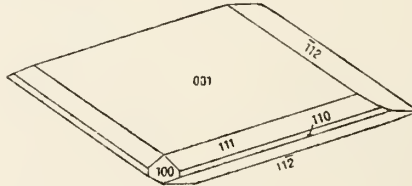


Fig. 313.

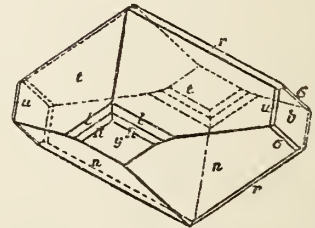


Fig. 314.

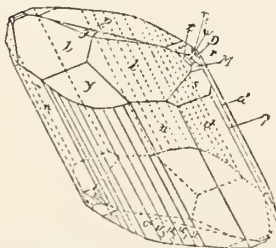


Fig. 315.

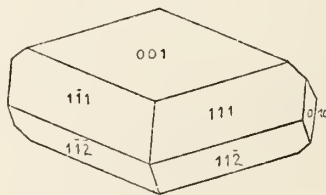
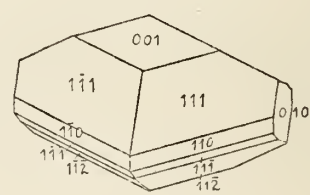


Fig. 316.



Titanit

Fig. 317.

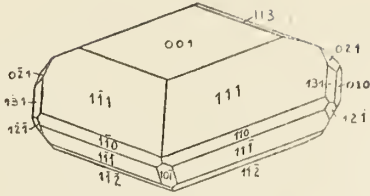


Fig. 318.

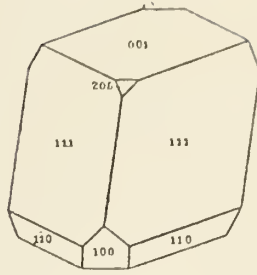


Fig. 319.



Fig. 320.

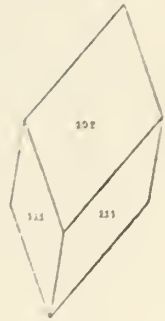


Fig. 321.

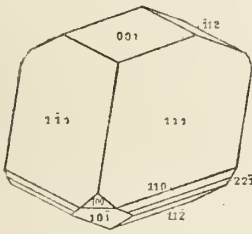


Fig. 322.

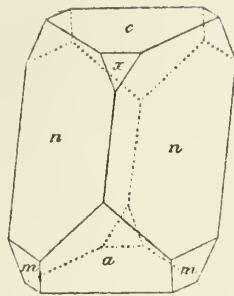


Fig. 323.

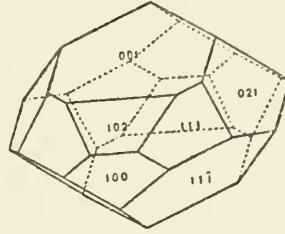


Fig. 324.

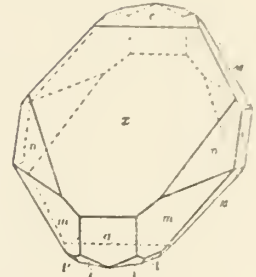


Fig. 325.

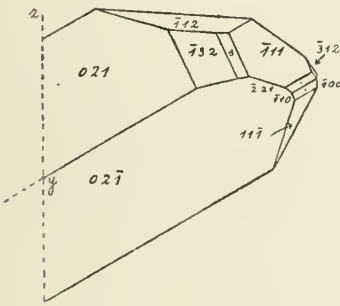


Fig. 326.

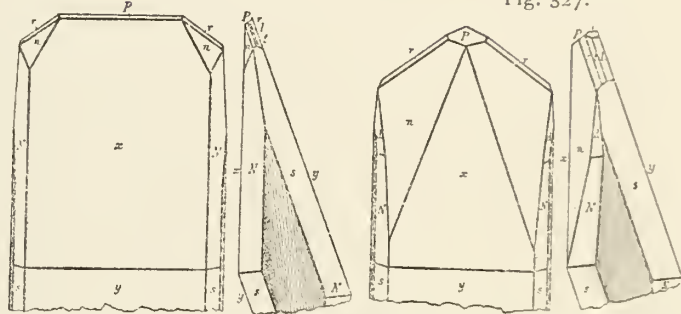


Fig. 327.

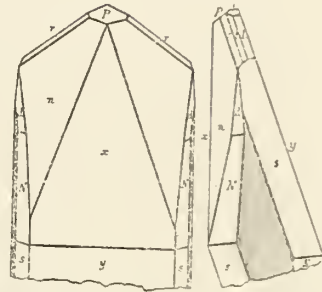


Fig. 328.

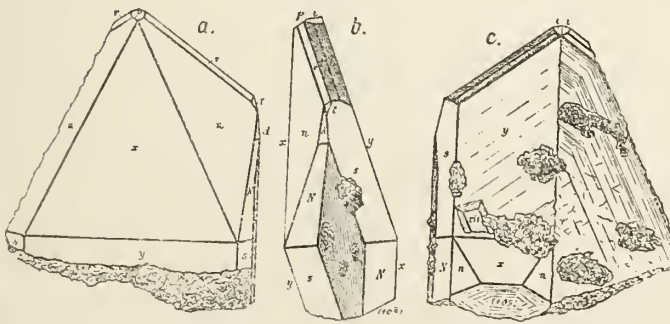
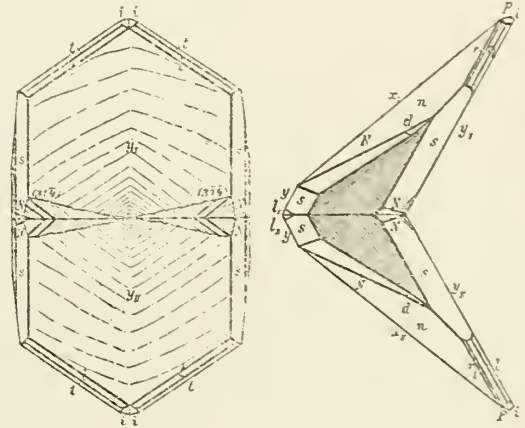


Fig. 329.



Titanit

Fig. 330.

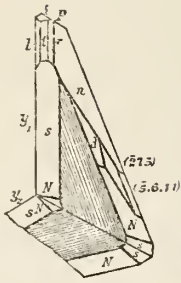


Fig. 331.

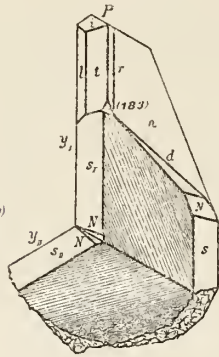


Fig. 332.

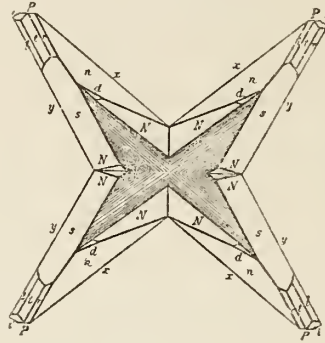


Fig. 333.

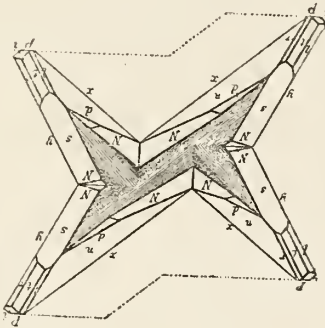


Fig. 334.

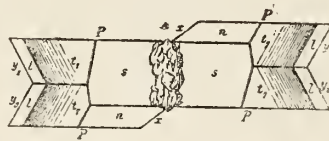


Fig. 335.

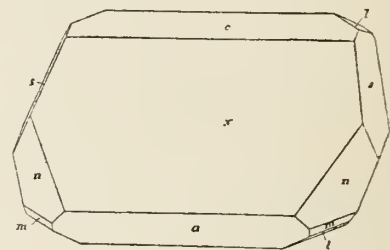


Fig. 336.

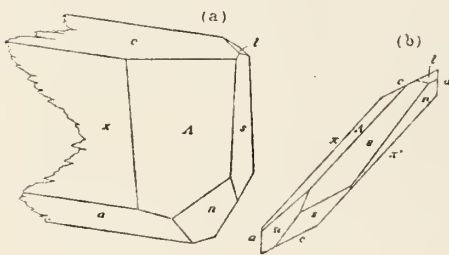


Fig. 337.

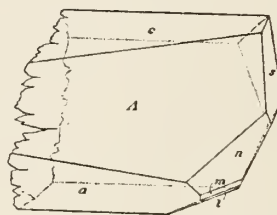


Fig. 338.

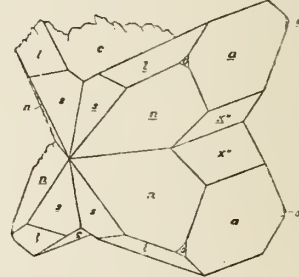


Fig. 339.

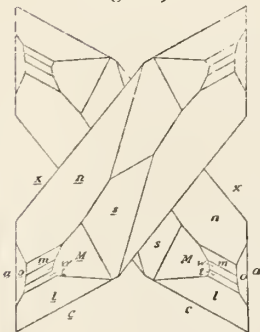


Fig. 340.

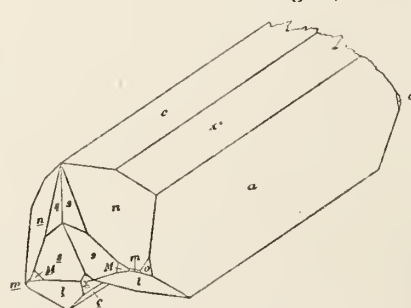


Fig. 341.

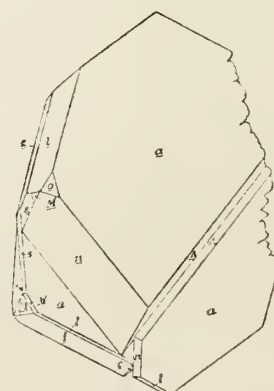
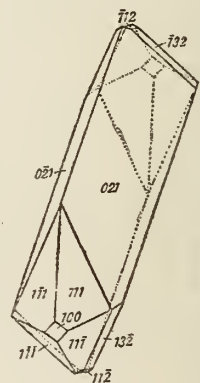


Fig. 342.



Titanit

Fig. 343.

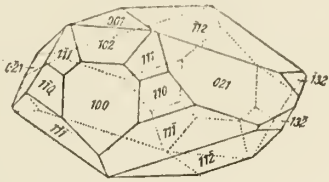


Fig. 344.

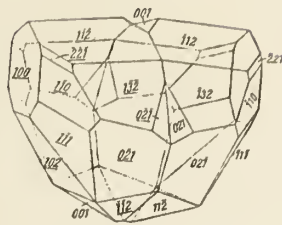


Fig. 345.

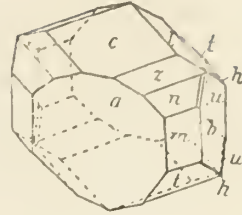


Fig. 346.

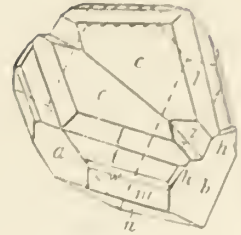


Fig. 347.

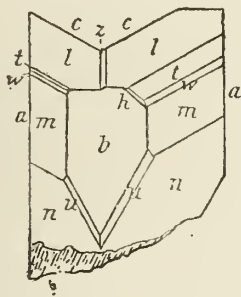


Fig. 348.

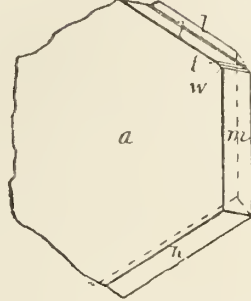


Fig. 349.

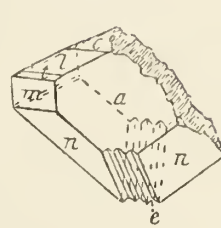
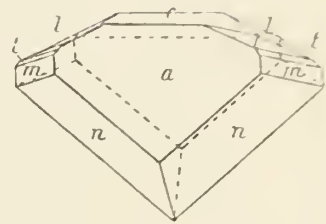


Fig. 350.



Topas

Fig. 351.

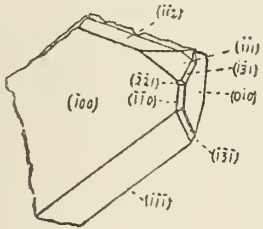


Fig. 1.

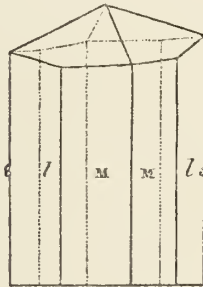


Fig. 2.

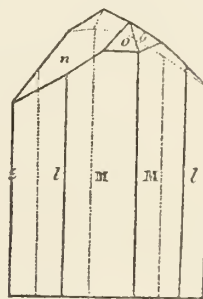


Fig. 3.

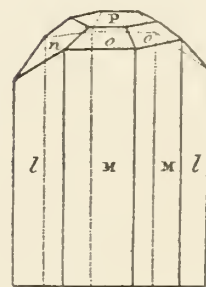


Fig. 4.

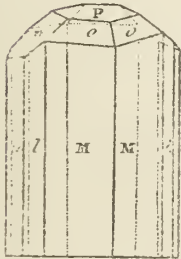


Fig. 5.

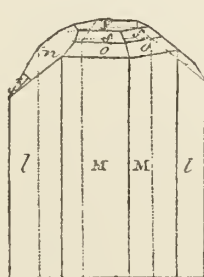


Fig. 6.

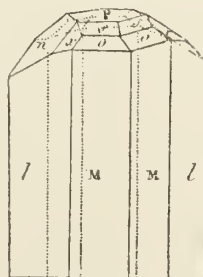


Fig. 7.

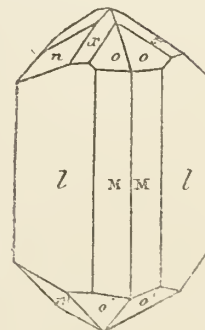
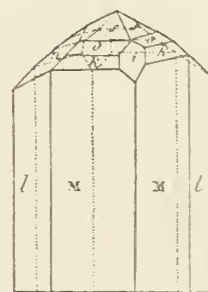


Fig. 8.



Topas

Fig. 9.

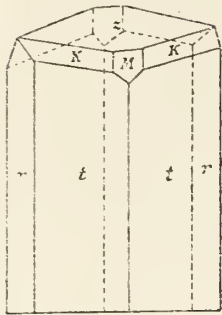


Fig. 10.

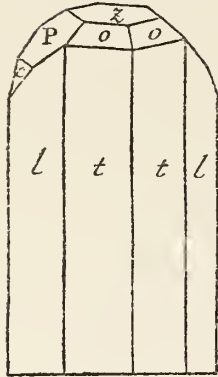


Fig. 11.

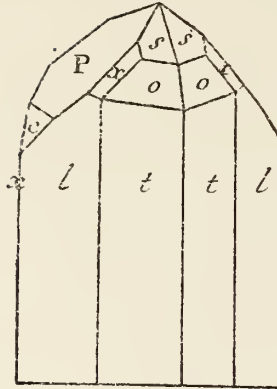


Fig. 12.

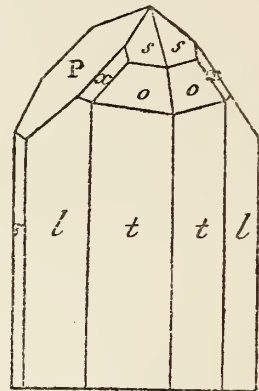


Fig. 13.

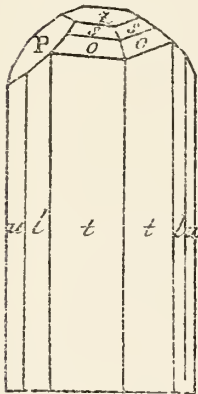


Fig. 14.

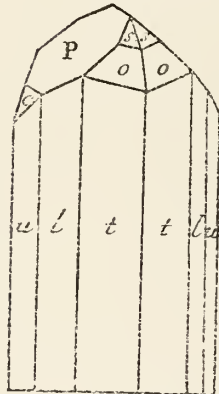


Fig. 15.



Fig. 16.

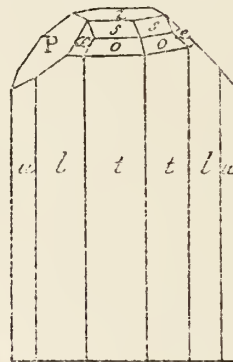


Fig. 17.

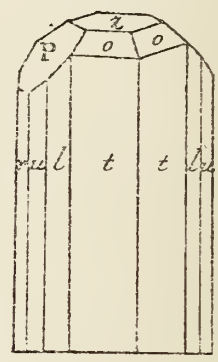


Fig. 18.

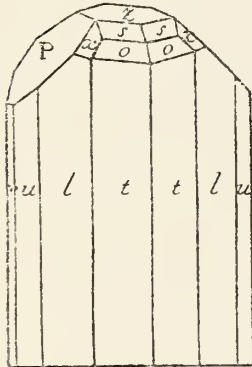


Fig. 19.

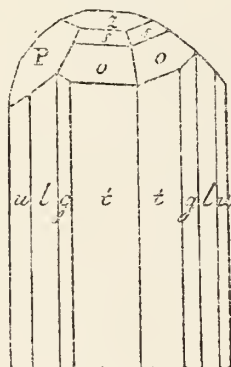


Fig. 20.

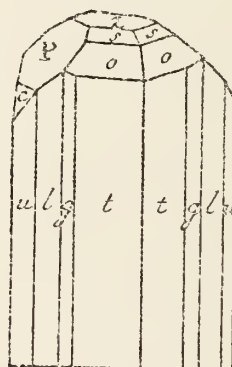


Fig. 21.

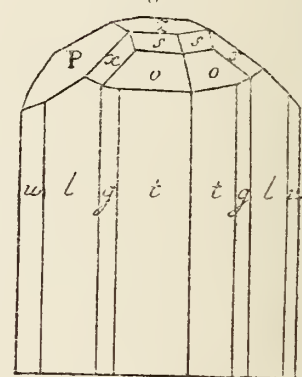


Fig. 22.

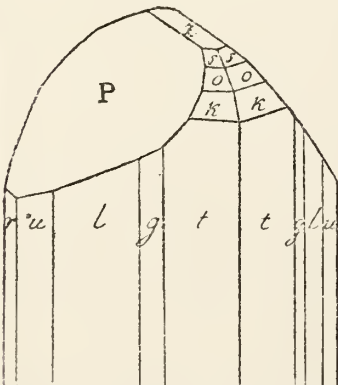


Fig. 23.

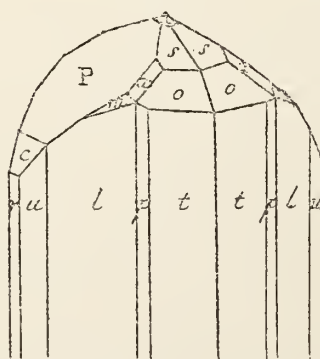


Fig. 24.

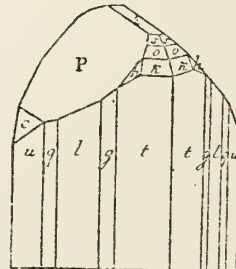
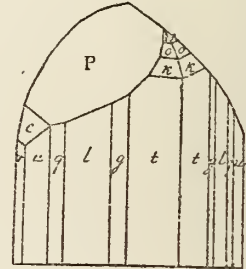


Fig. 25.



Topas

Fig. 26.

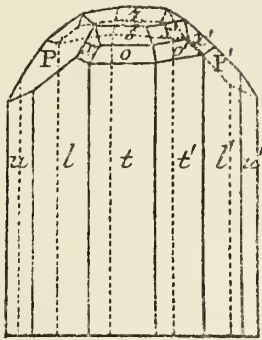


Fig. 27.

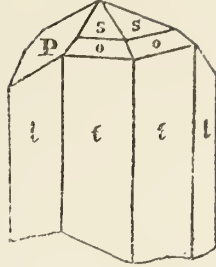


Fig. 28.

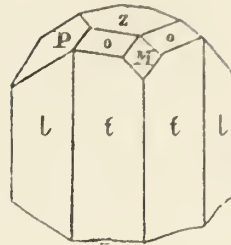


Fig. 29.

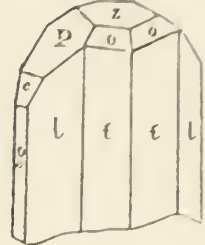


Fig. 32.

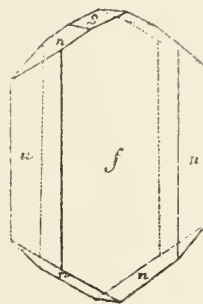


Fig. 33.

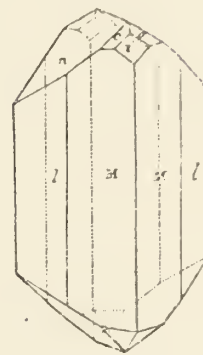


Fig. 34.



Fig. 30.

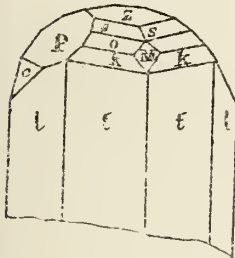


Fig. 31.

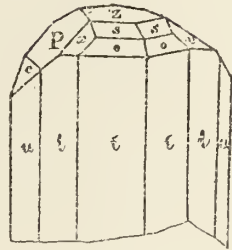


Fig. 35.

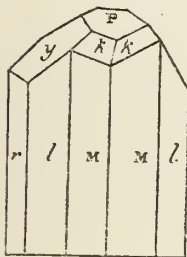


Fig. 36.

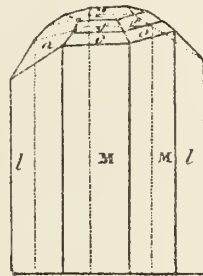


Fig. 37.

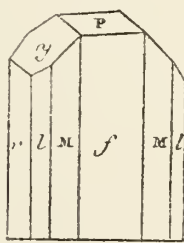


Fig. 38.

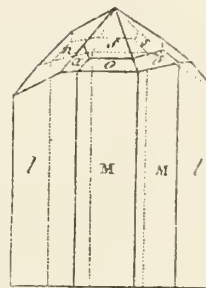


Fig. 39.

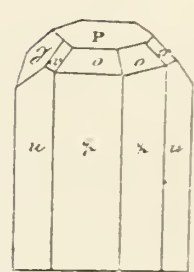


Fig. 42.

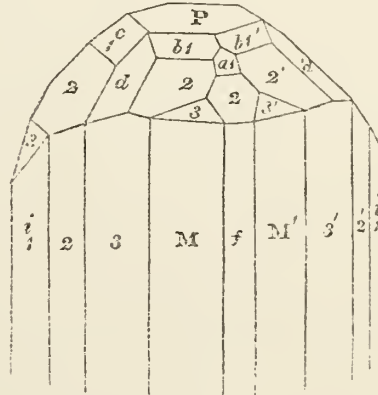


Fig. 40.

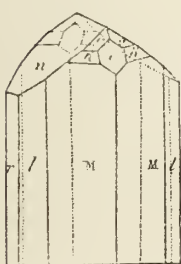


Fig. 41.

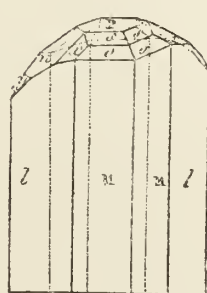
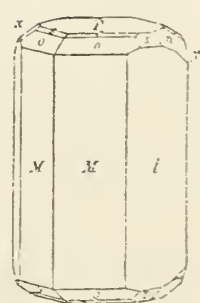


Fig. 43.



Topas

Fig. 44.

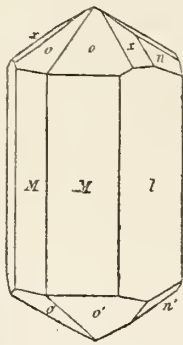


Fig. 45.

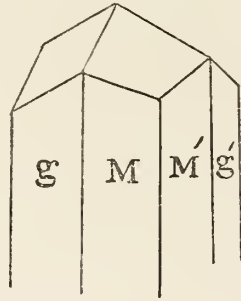


Fig. 46.

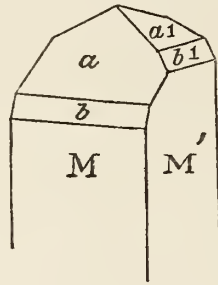


Fig. 47.

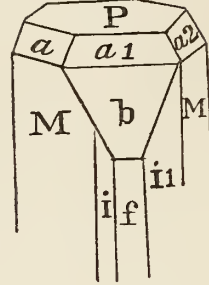


Fig. 48.

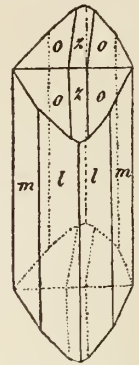


Fig. 49.

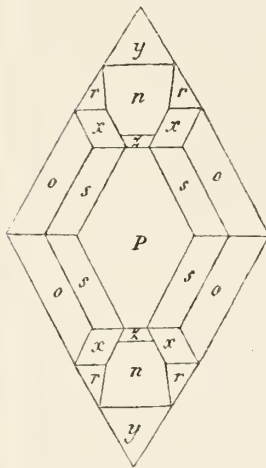


Fig. 51.

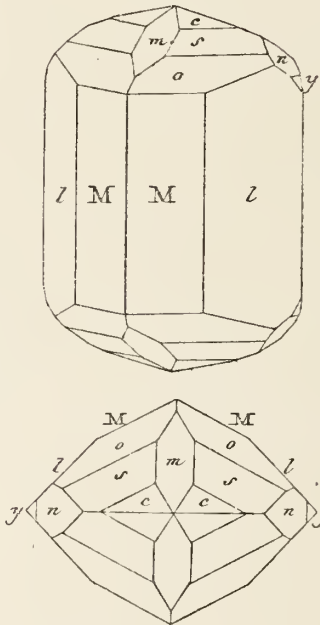


Fig. 50.

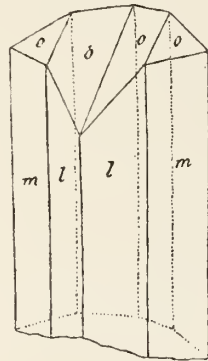


Fig. 52.

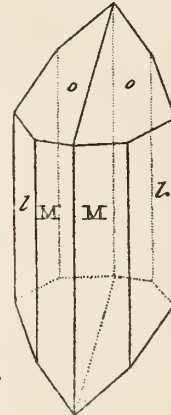


Fig. 53.

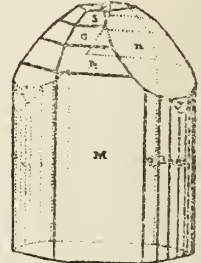


Fig. 54.

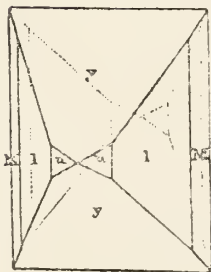


Fig. 55.

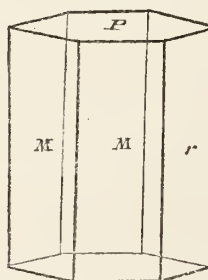


Fig. 56.

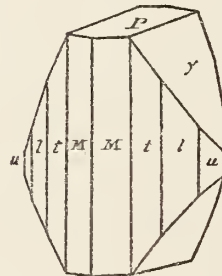


Fig. 57.

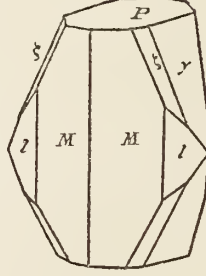


Fig. 58.

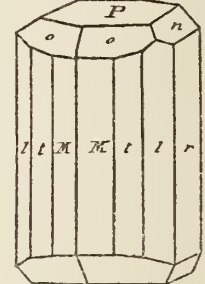


Fig. 59.

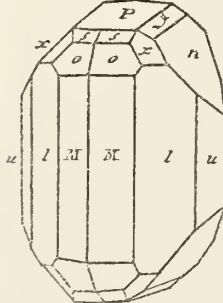


Fig. 60.

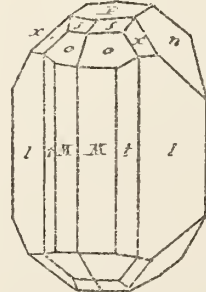


Fig. 61.

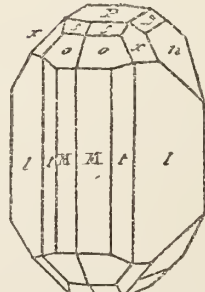


Fig. 62.

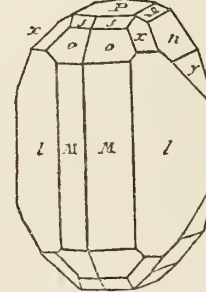
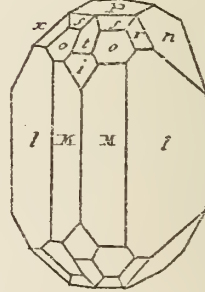


Fig. 63.



Topas

Fig. 64.

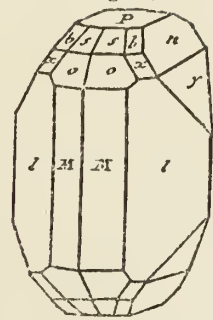


Fig. 65.

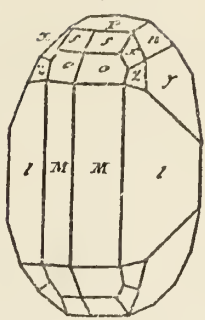


Fig. 66.

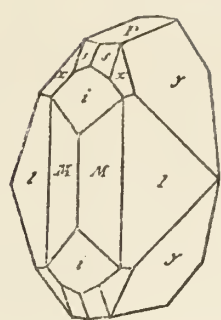


Fig. 67.

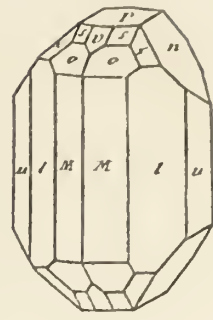


Fig. 68.

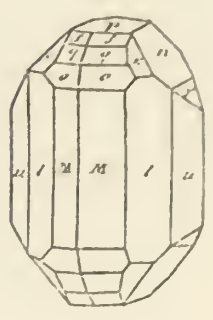


Fig. 69.

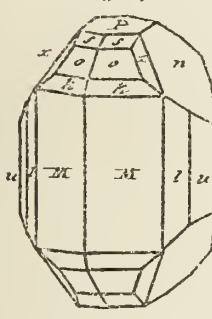


Fig. 70.

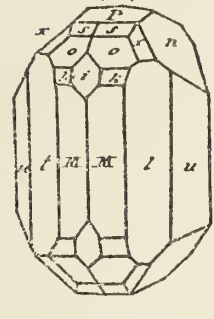


Fig. 71.

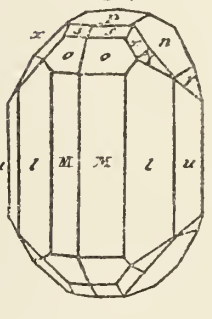


Fig. 72.

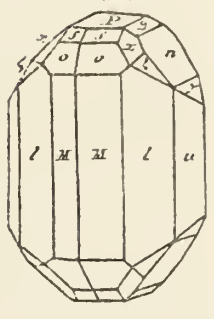


Fig. 73.

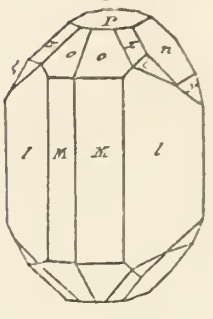


Fig. 74.

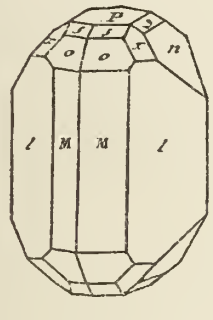


Fig. 75.

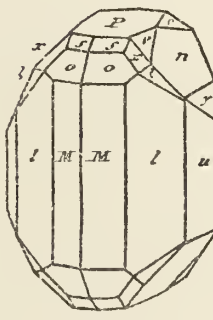


Fig. 76.

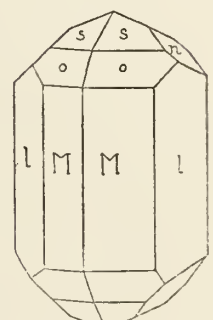


Fig. 77.

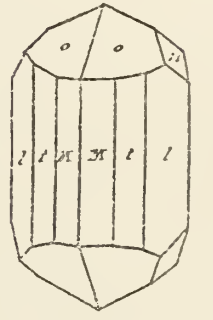


Fig. 78.

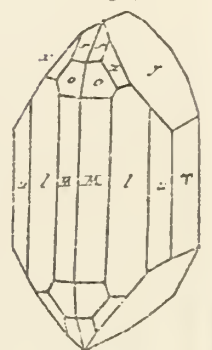


Fig. 79.

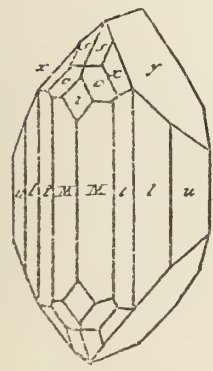


Fig. 80.

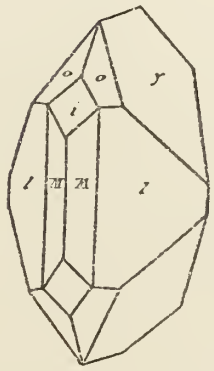


Fig. 81.

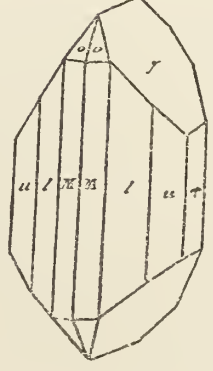


Fig. 82.

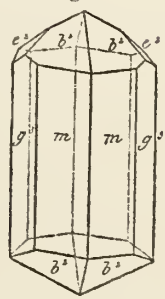


Fig. 83.

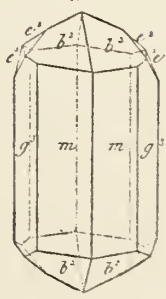
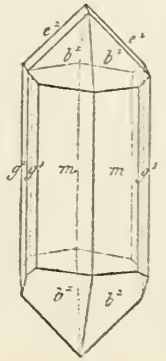


Fig. 84.



Topas

Fig. 85.



$i \cdot (b^2 b^2 g^2)$

Fig. 86.

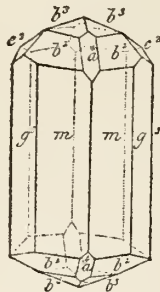
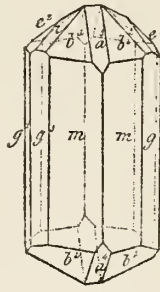


Fig. 87.



$i \cdot (b^2 b^2 g^2)$

Fig. 88.

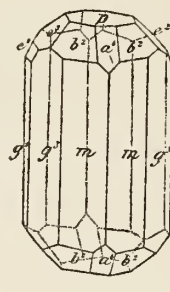


Fig. 89.

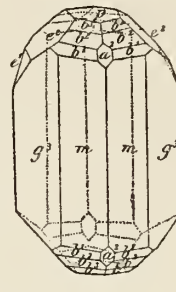
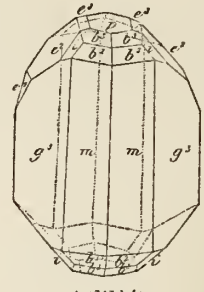


Fig. 90.



$i \cdot (b^2 b^2 g^2)$

Fig. 91.

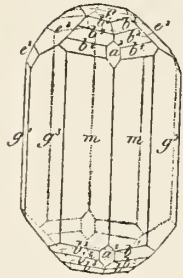
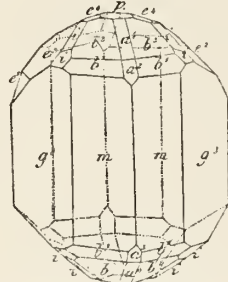


Fig. 92.



$i \cdot (b^2 b^2 g^2) \quad i \cdot (b^2 b^2 a^2)$

Fig. 93.

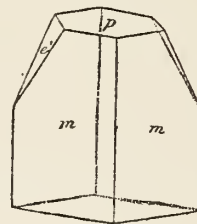


Fig. 94.

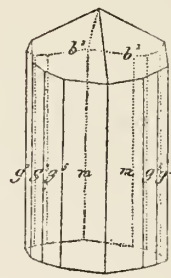


Fig. 95.

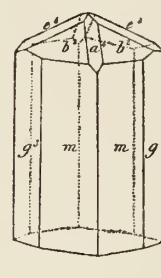


Fig. 96.

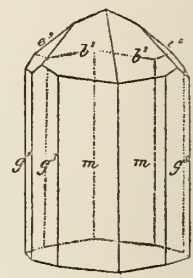


Fig. 97.

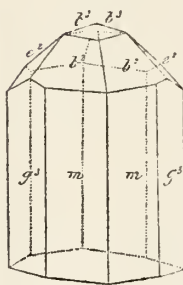


Fig. 98.

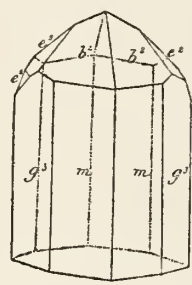


Fig. 99.

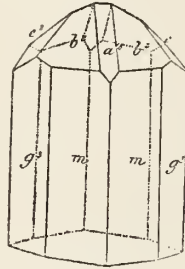


Fig. 100.

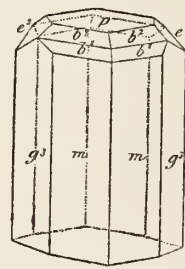


Fig. 101.

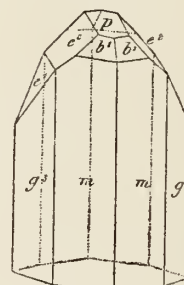


Fig. 102.

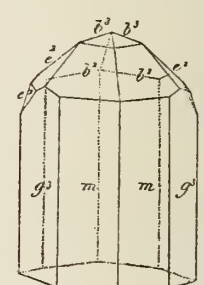


Fig. 103.

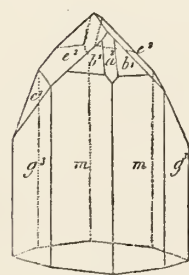


Fig. 104.

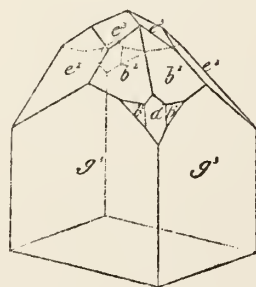


Fig. 105.

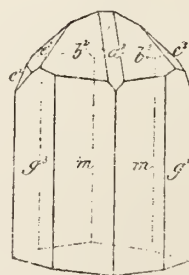


Fig. 106.

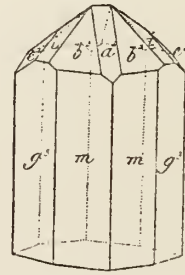
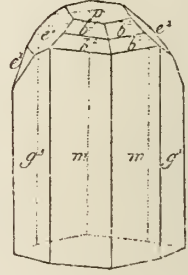


Fig. 107.



Topas

Fig. 108.

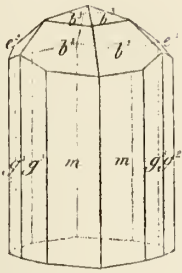


Fig. 109.

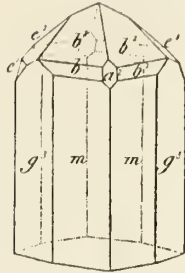


Fig. 110.

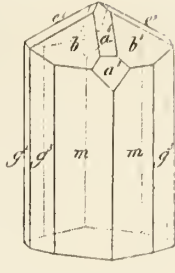


Fig. 111.

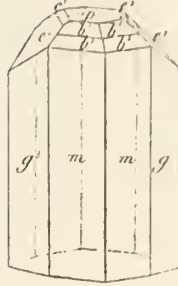


Fig. 112.

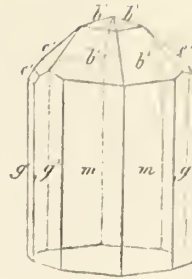


Fig. 113.

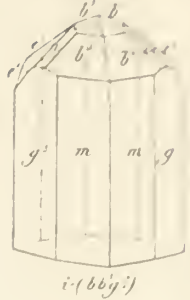
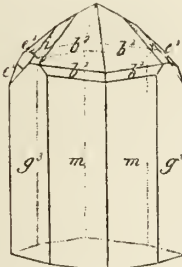
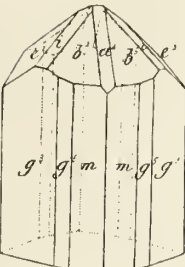


Fig. 114.



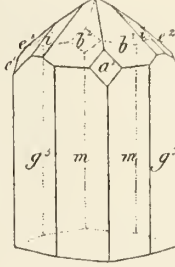
$i-(bb'g')$

Fig. 115.



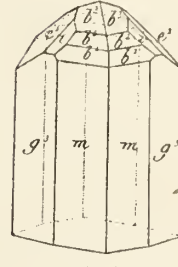
$i-(bb'g')$

Fig. 116.



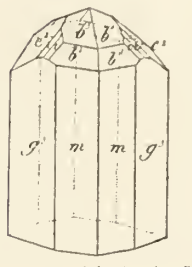
$i-(bb'g')$

Fig. 117.



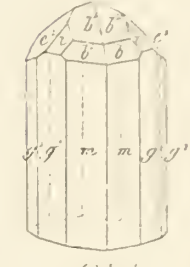
$v-(bb'g')$

Fig. 118.



$i-(bb'g')i-(bb'g')$

Fig. 119.



$i-(bb'g')$

Fig. 120.

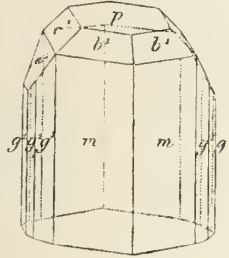


Fig. 121.

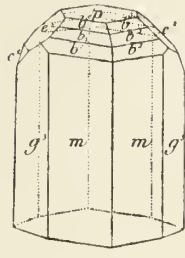


Fig. 122.

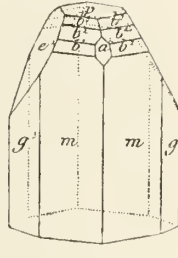


Fig. 123.

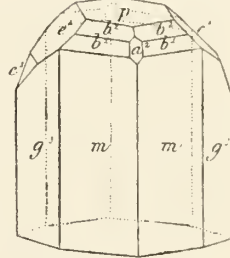


Fig. 124.

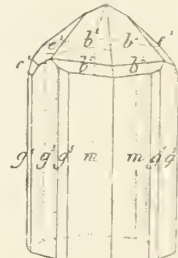


Fig. 125.

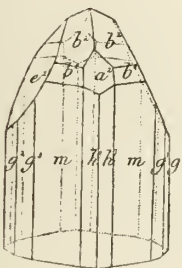


Fig. 126.

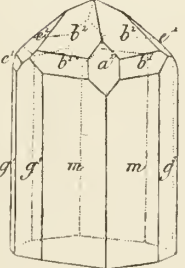
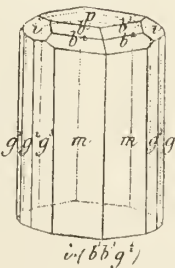
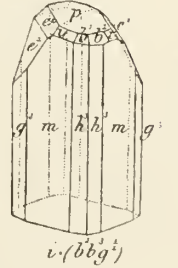


Fig. 127.



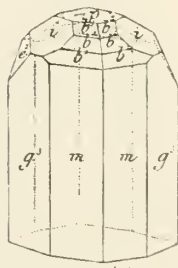
$i-(bb'g')$

Fig. 128.



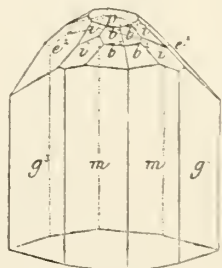
$i-(bb'g')$

Fig. 129.



$i-(bb'g')$

Fig. 130.



$i-(bb'g')v-(bb'g')$

Topas

Fig. 131.

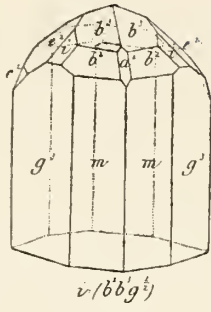


Fig. 132.

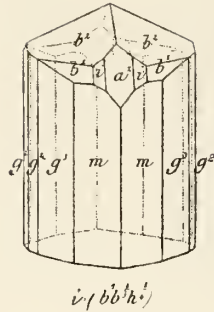


Fig. 133.

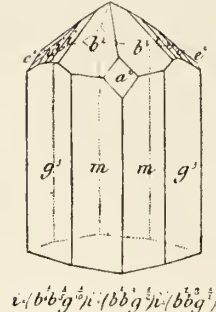


Fig. 134.

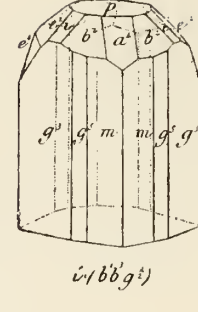


Fig. 135.

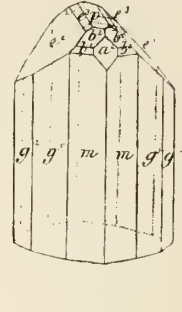


Fig. 136.

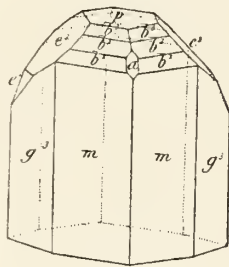


Fig. 137.

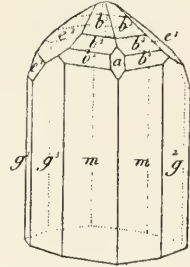


Fig. 138.

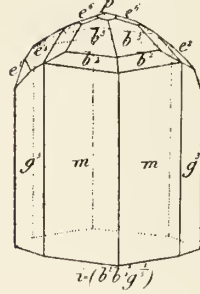


Fig. 139.

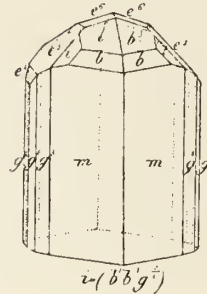


Fig. 140.

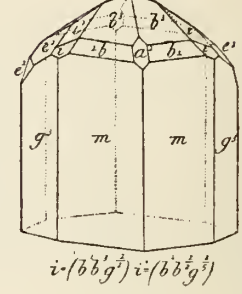


Fig. 141.

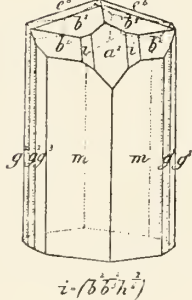


Fig. 142.

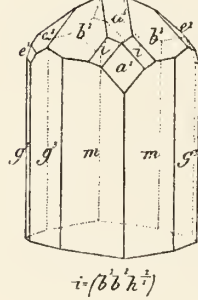


Fig. 143.

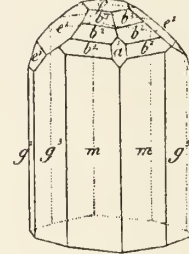


Fig. 144.

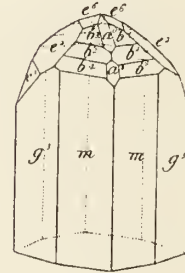


Fig. 145.

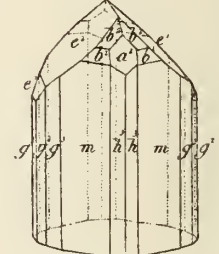


Fig. 146.

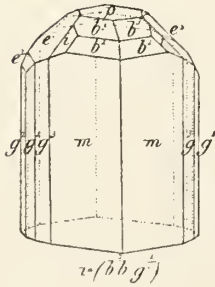


Fig. 147.

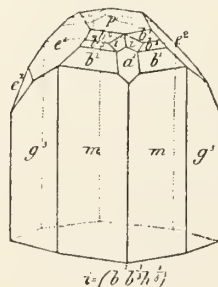


Fig. 148.

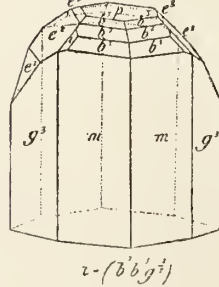


Fig. 149.

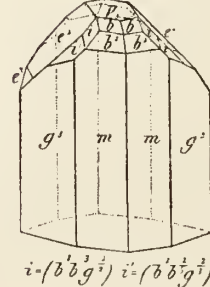
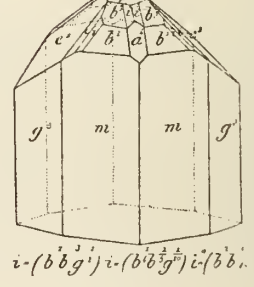


Fig. 150.



Topas

Fig. 151.

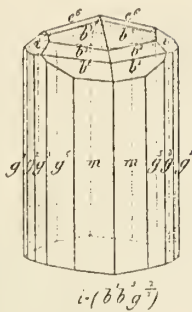


Fig. 152.

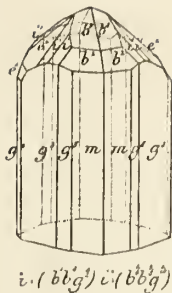


Fig. 153.

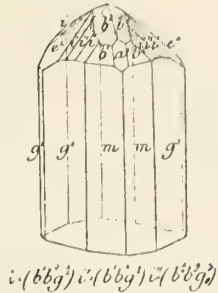


Fig. 154.



Fig. 155.

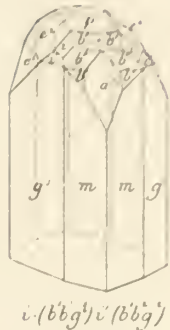


Fig. 156.

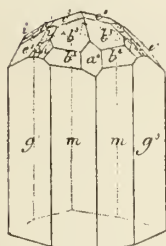


Fig. 157.

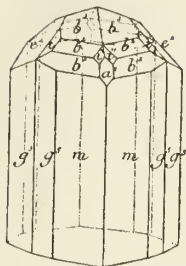


Fig. 158.

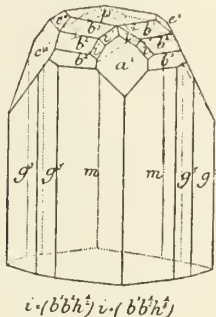


Fig. 159.

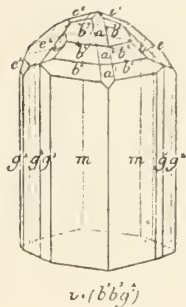


Fig. 160.

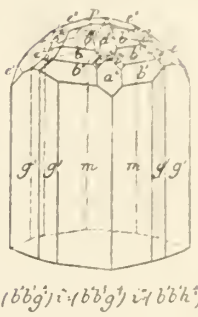


Fig. 161.

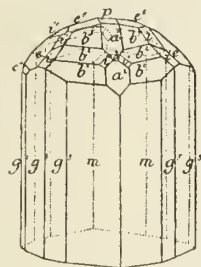


Fig. 162.

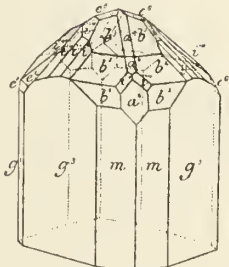


Fig. 163.

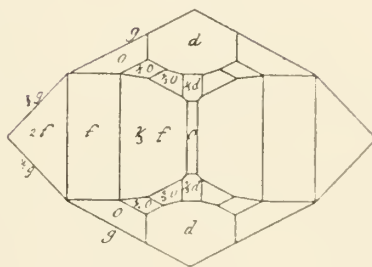


Fig. 164.

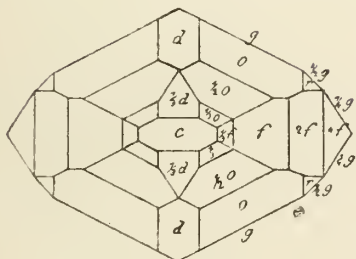


Fig. 165.

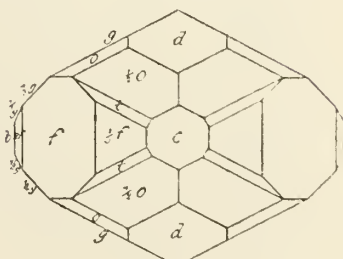
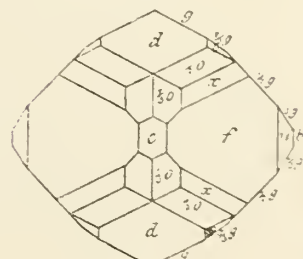


Fig. 166.



Topas

Fig. 167.

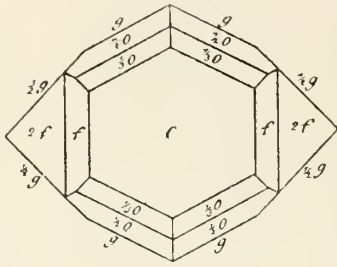


Fig. 171.

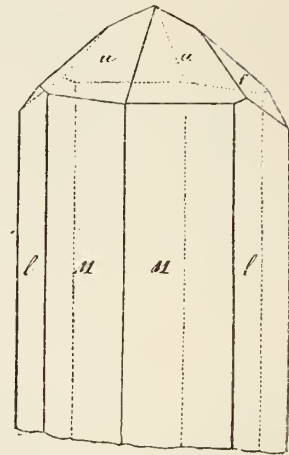


Fig. 168.

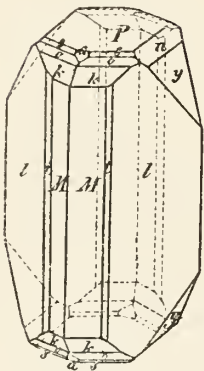


Fig. 169.

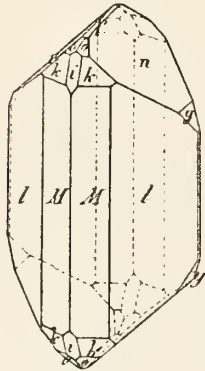


Fig. 170.

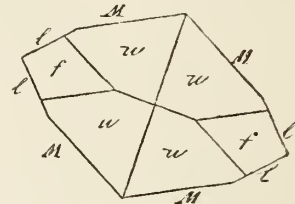
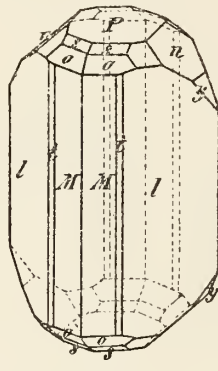


Fig. 173.

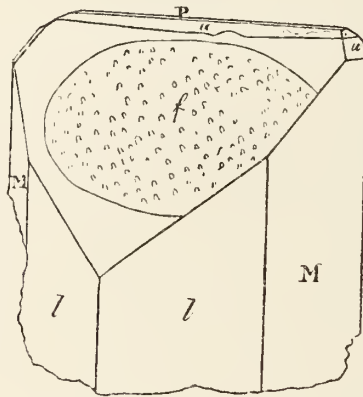


Fig. 172.

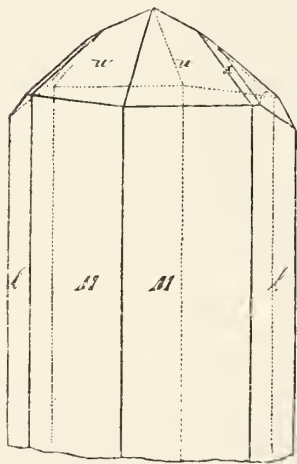
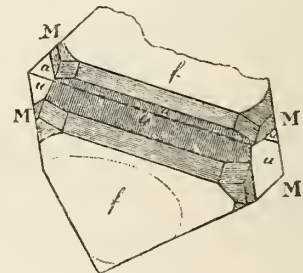
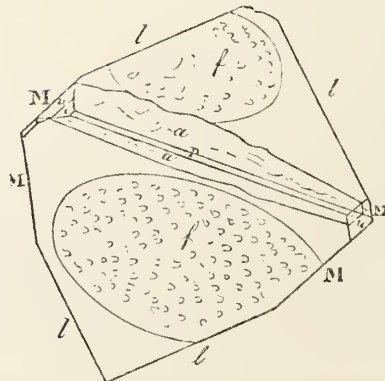
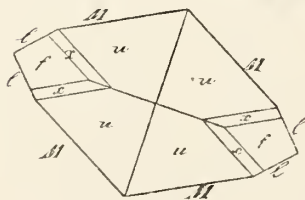
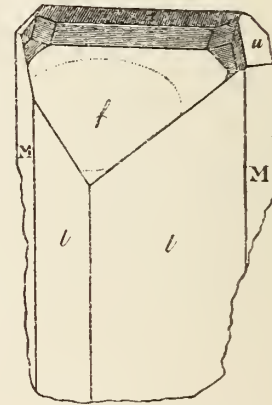


Fig. 174.



Topas

Fig. 175.

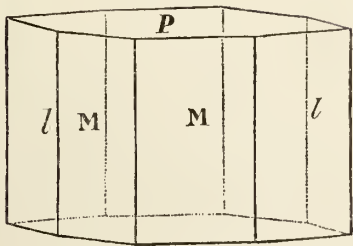


Fig. 176.

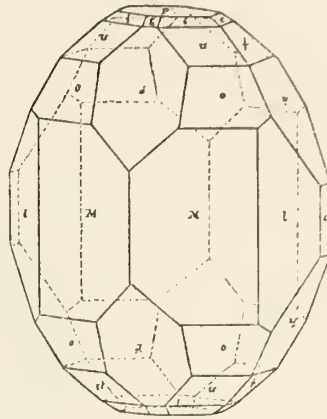


Fig. 177.

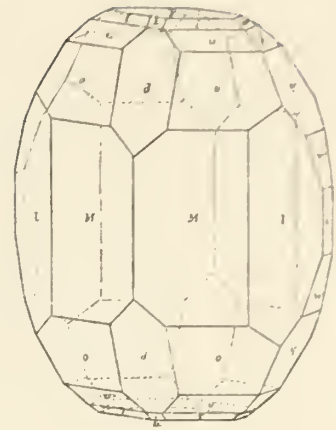


Fig. 178.

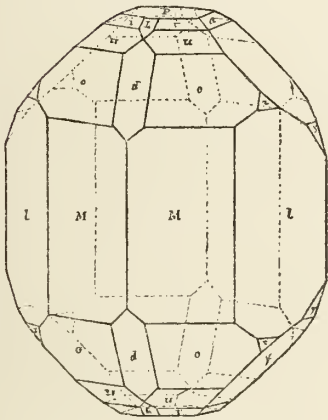


Fig. 179.

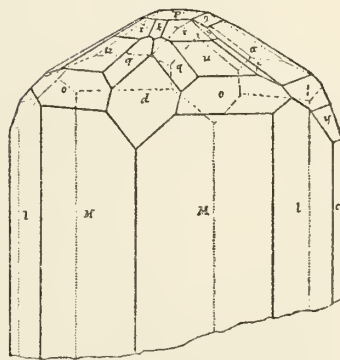
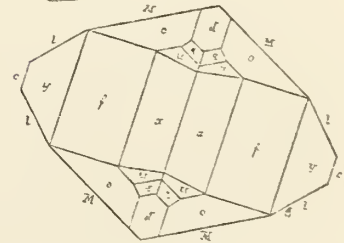
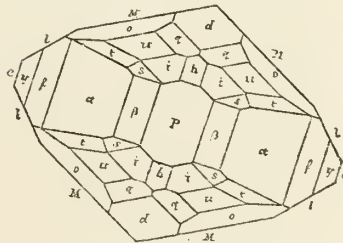
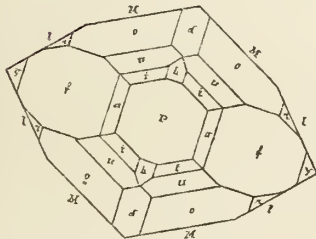
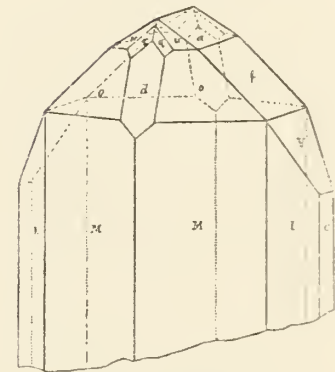


Fig. 180.



Topas

Fig. 181.

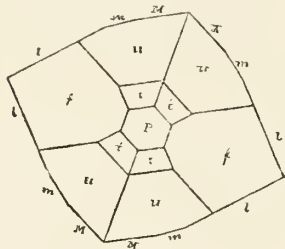
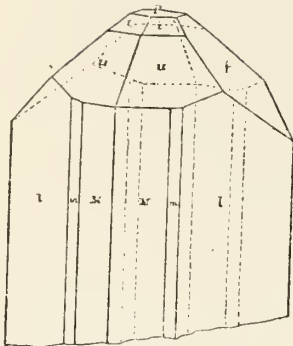


Fig. 182.

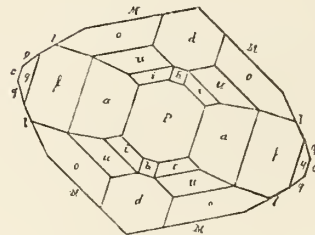
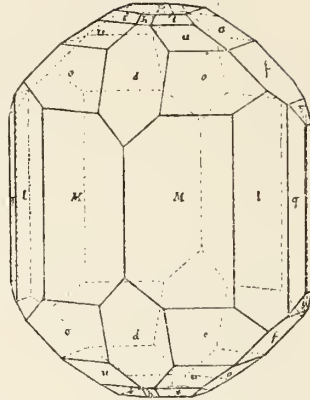


Fig. 183.

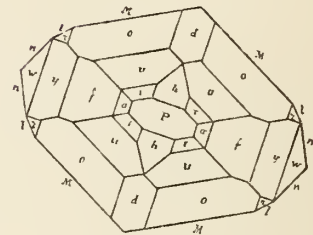
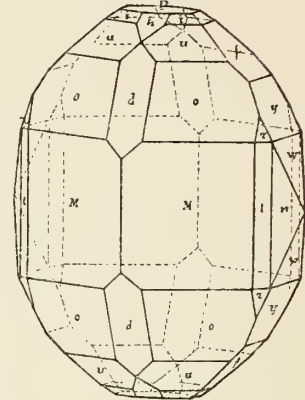


Fig. 184.

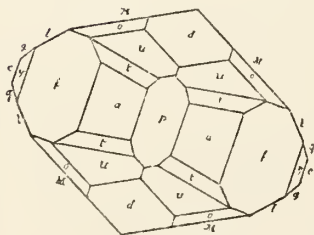
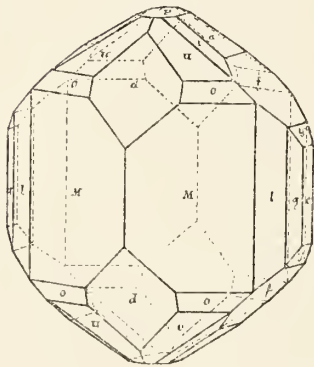


Fig. 185.

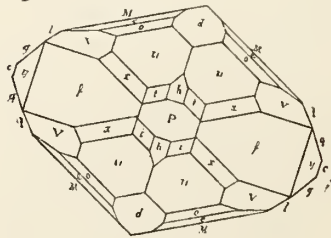
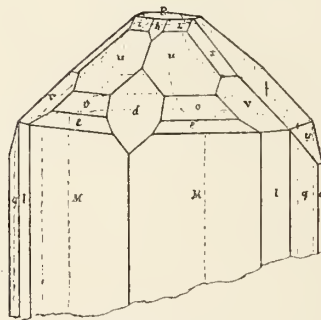
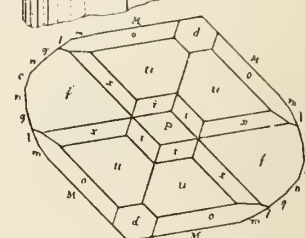
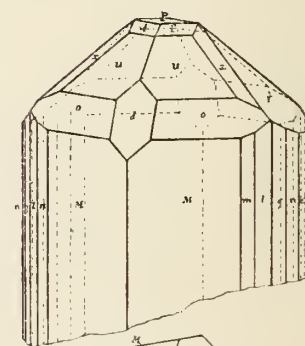


Fig. 186.



Topas

Fig. 187.

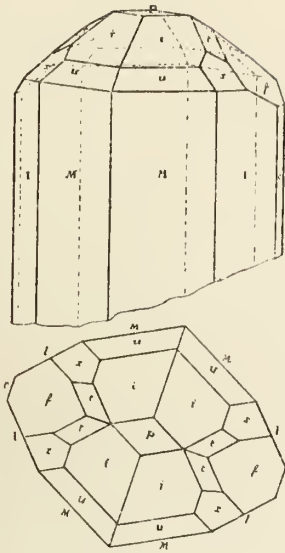


Fig. 188.

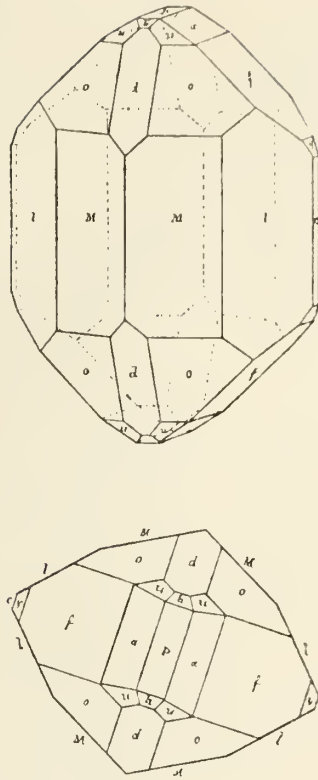


Fig. 189.

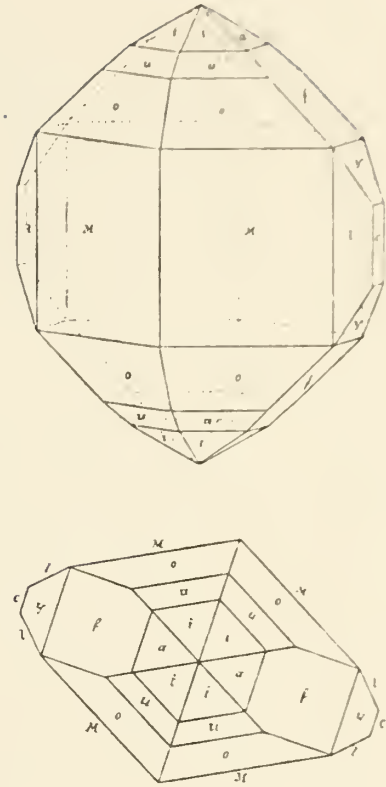


Fig. 190.

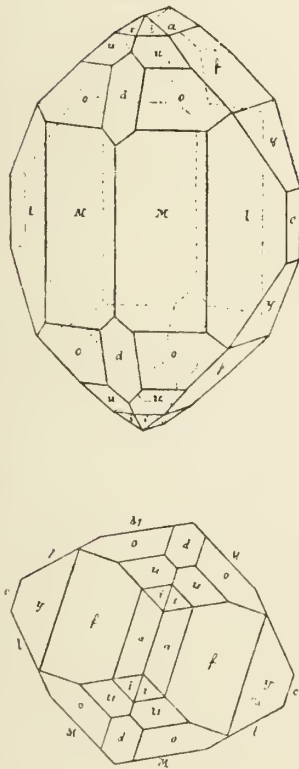


Fig. 191.

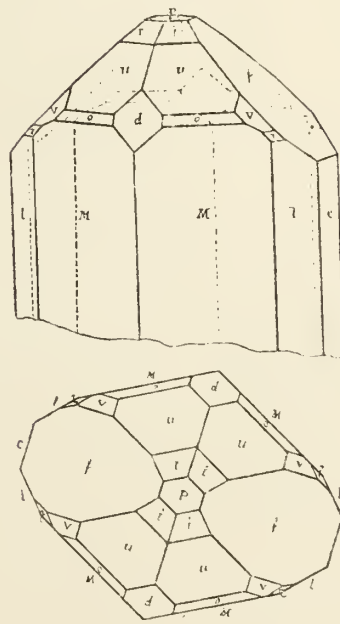
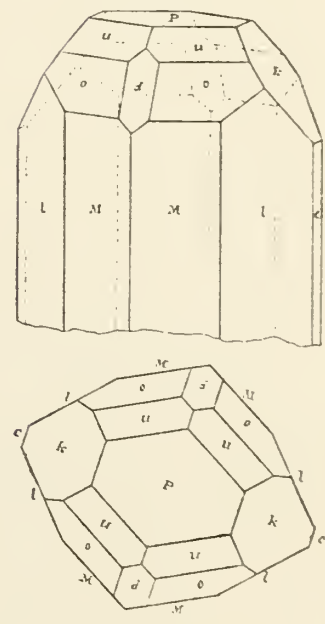


Fig. 192.



Topas

Fig. 193.

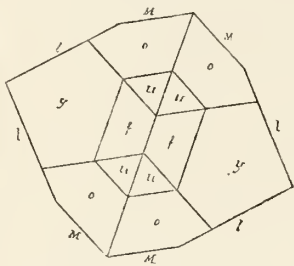
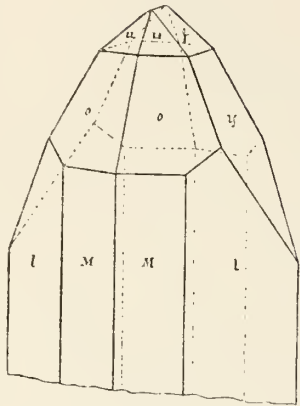


Fig. 194.

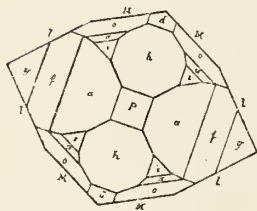
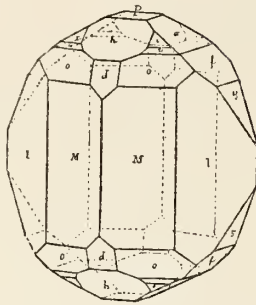


Fig. 195.

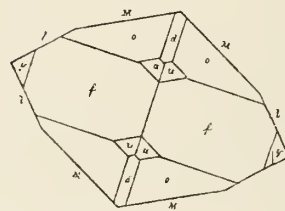
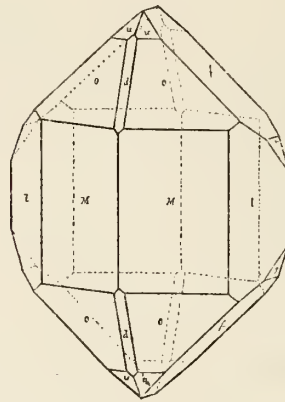


Fig. 196.

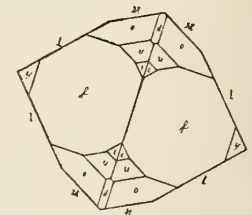
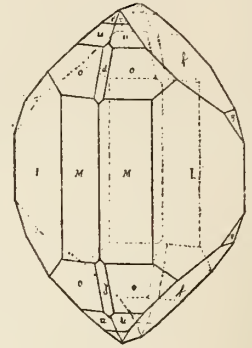


Fig. 197.

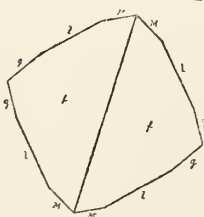
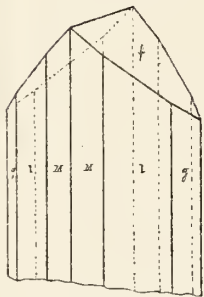


Fig. 198.

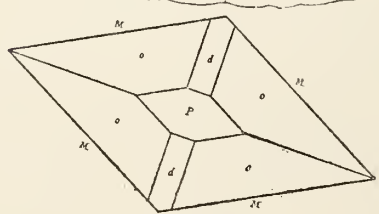
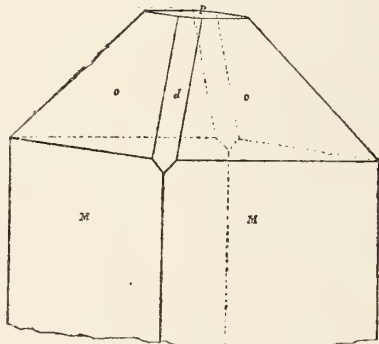


Fig. 199.

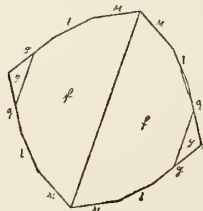
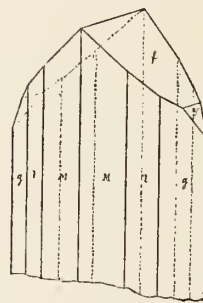
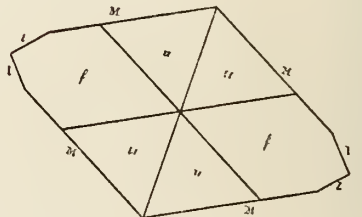
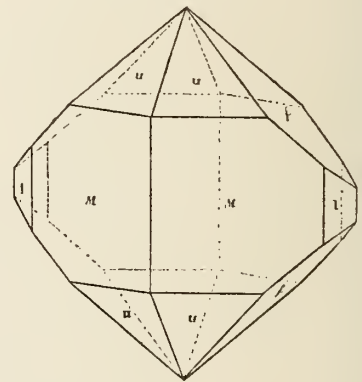


Fig. 200.



Topas

Fig. 201.

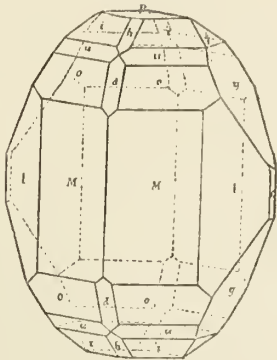


Fig. 202.

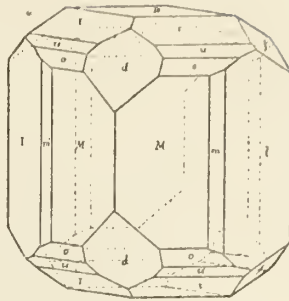


Fig. 203.

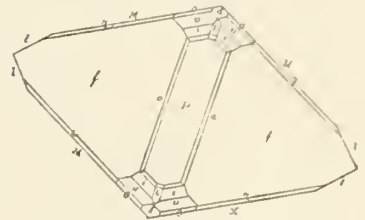
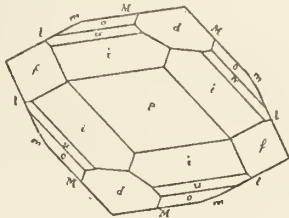
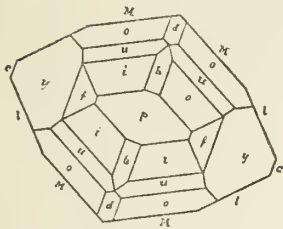
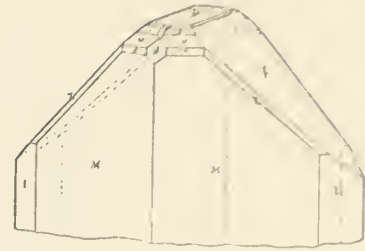


Fig. 204.

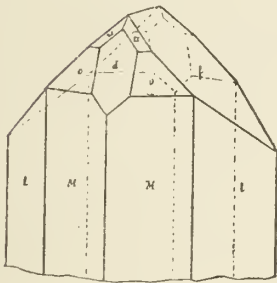


Fig. 205.

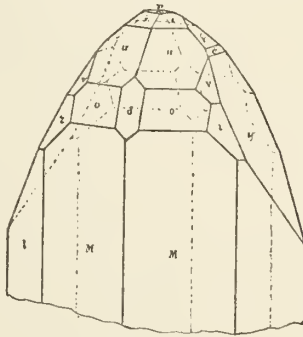
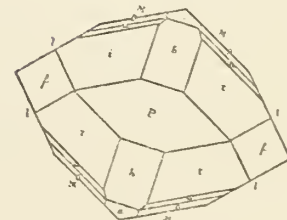
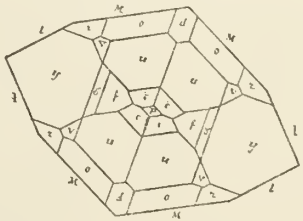
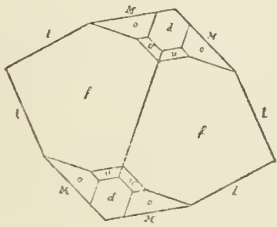
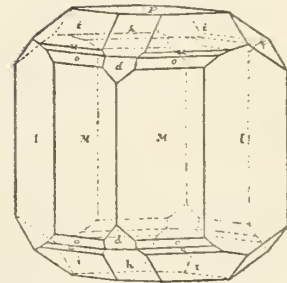


Fig. 206.



Topas

Fig. 207.

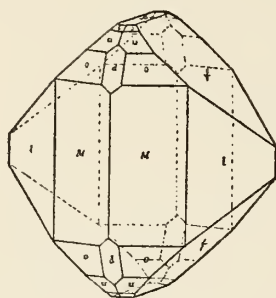


Fig. 208.

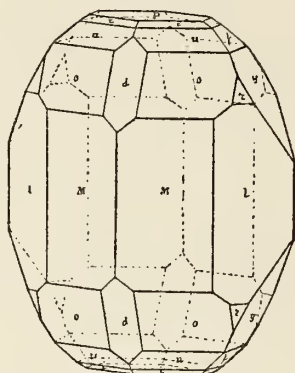


Fig. 209.

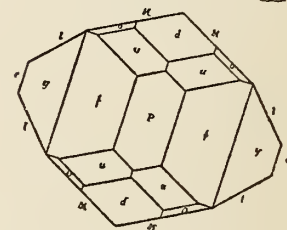
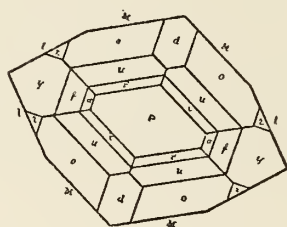
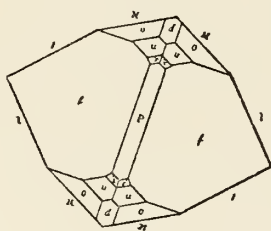
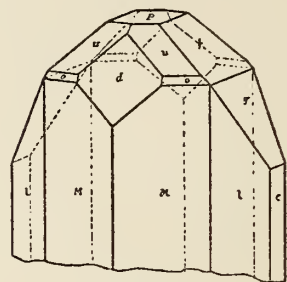


Fig. 210.

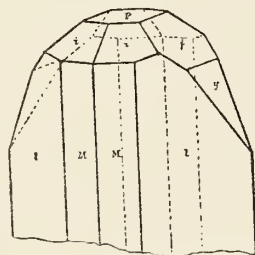


Fig. 211.

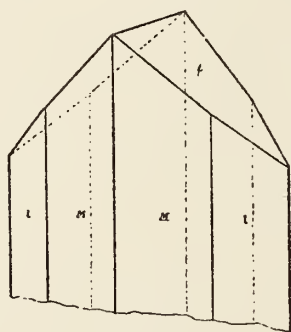


Fig. 212.

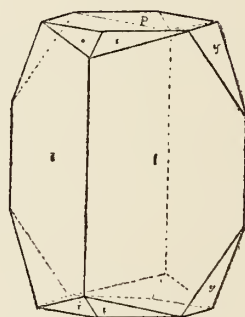
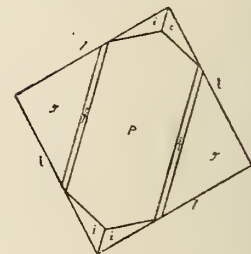
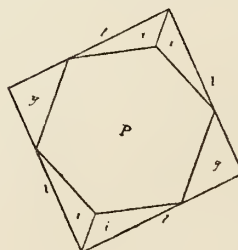
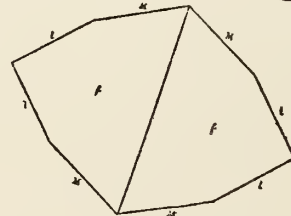
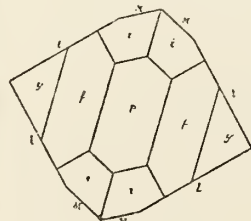
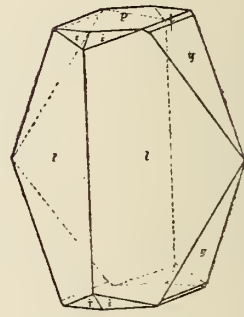


Fig. 213.



Topas

Fig. 214.

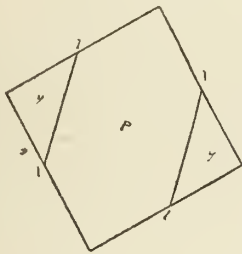
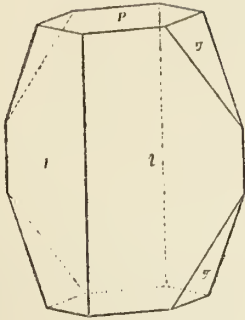


Fig. 215.

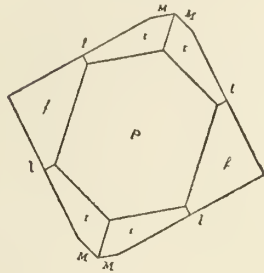
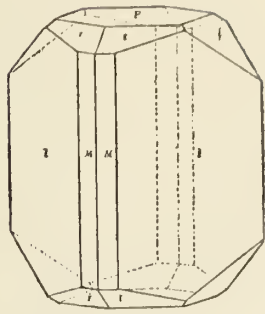


Fig. 216.

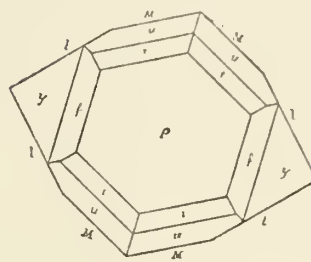
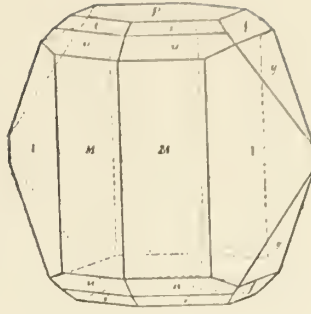


Fig. 217.

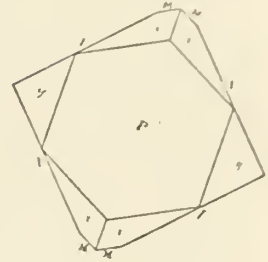
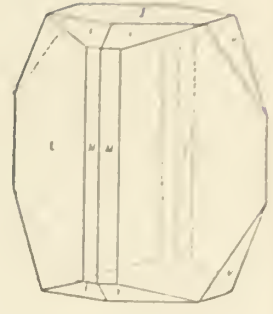


Fig. 218.

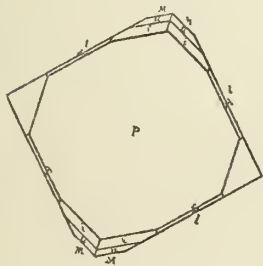
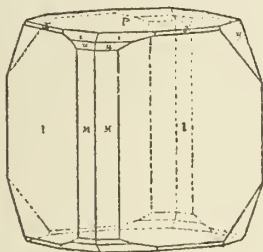


Fig. 219.

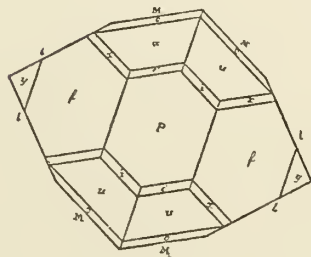
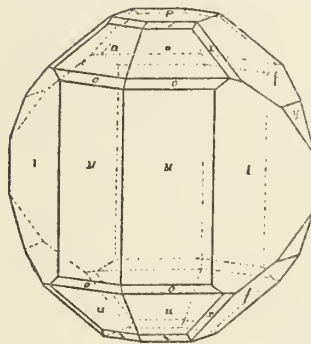


Fig. 220.

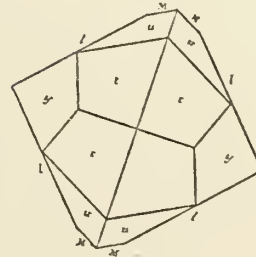
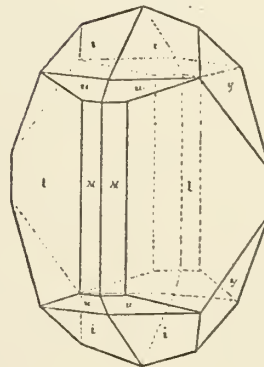
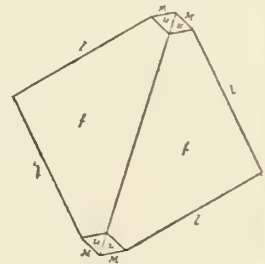
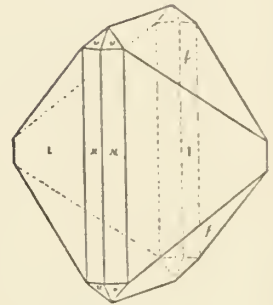


Fig. 221.



Topas

Fig. 222.

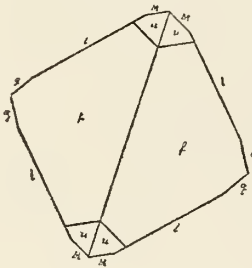
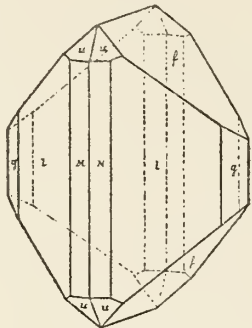


Fig. 223.

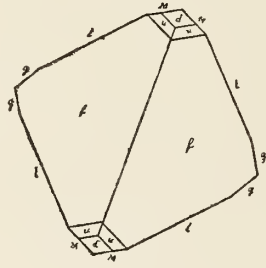
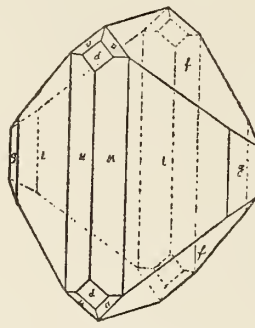


Fig. 224.

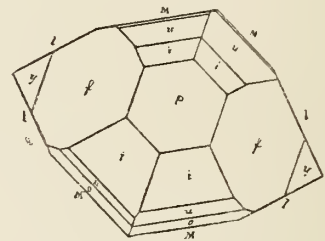
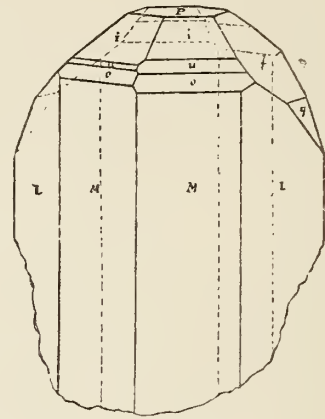


Fig. 225.

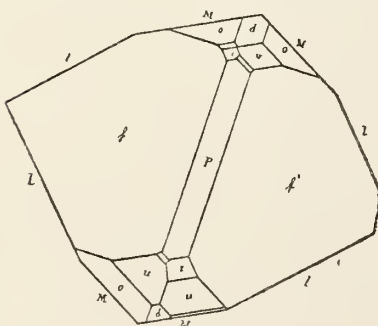
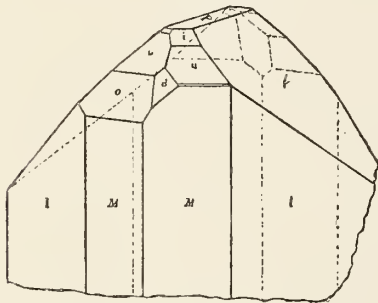


Fig. 226.

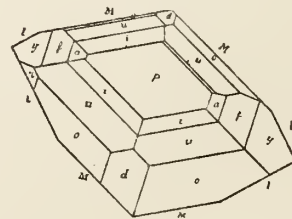
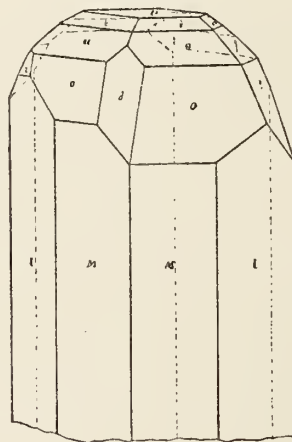
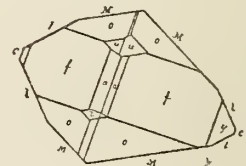
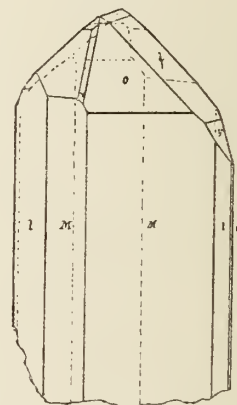


Fig. 227.



Topas

Fig. 228.

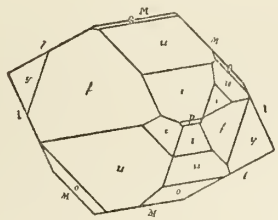
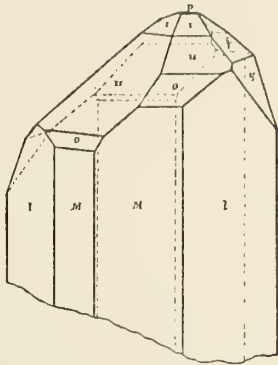


Fig. 229.

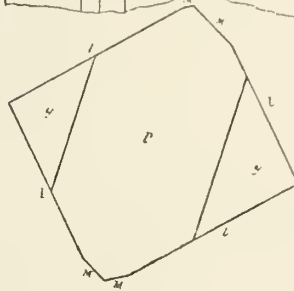
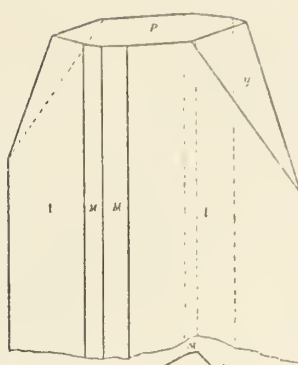


Fig. 230.

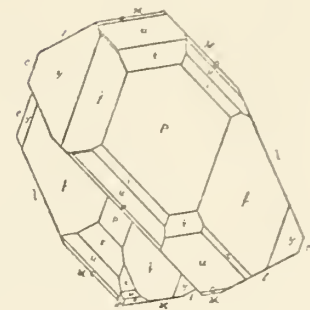


Fig. 231.

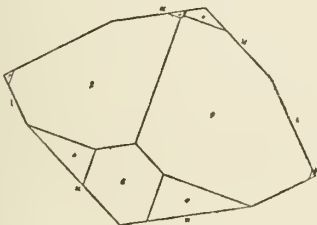
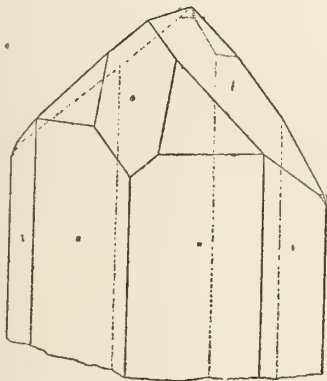


Fig. 232.

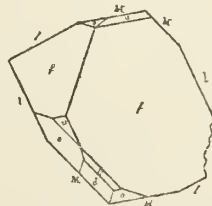
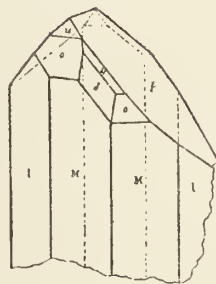


Fig. 233.

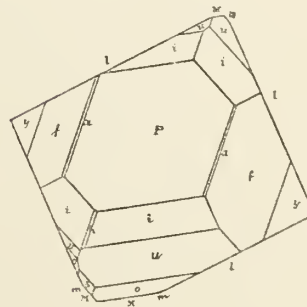
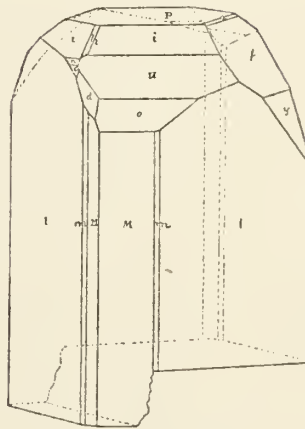
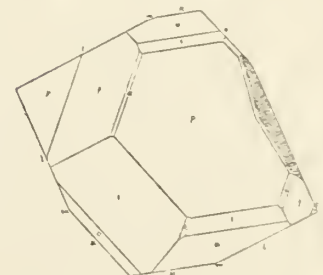
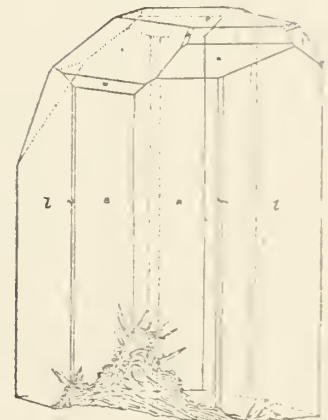


Fig. 234.



Topas

Fig. 235.

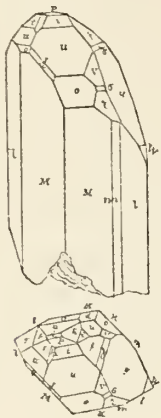


Fig. 236.

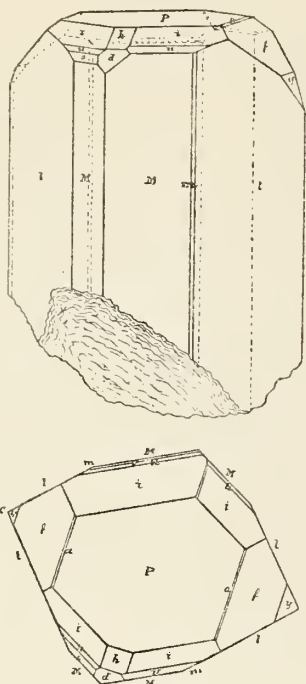


Fig. 237.

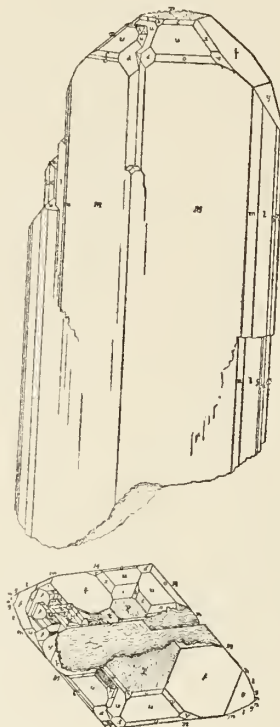


Fig. 238.

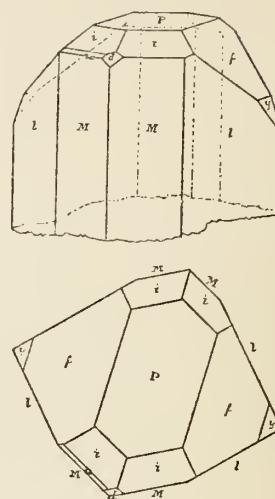


Fig. 239.

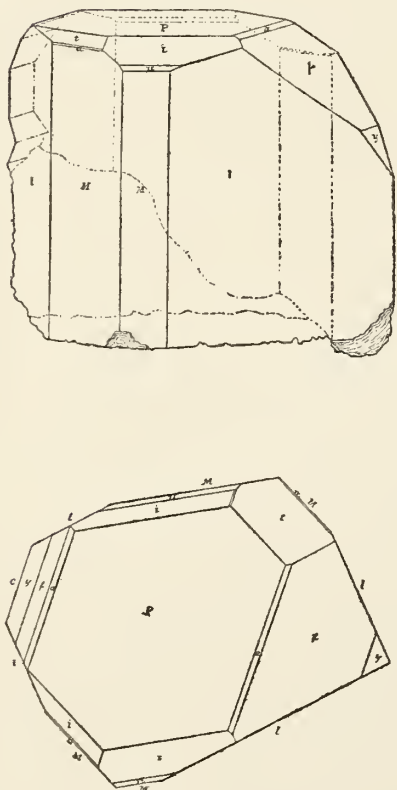


Fig. 240.

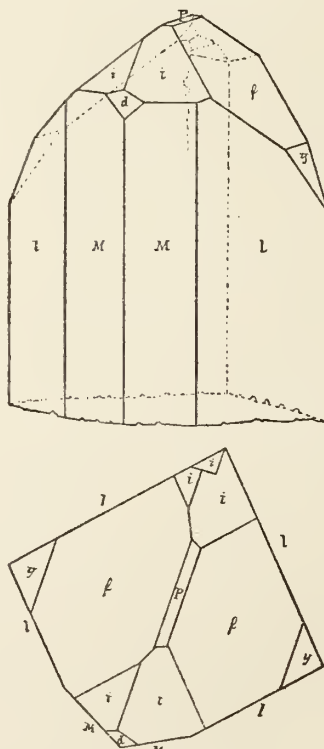
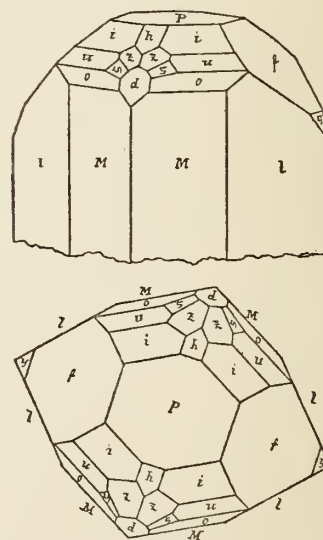


Fig. 241.



Topas

Fig. 242.

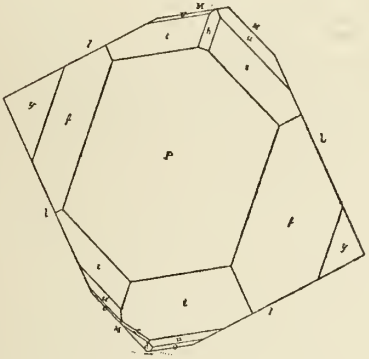
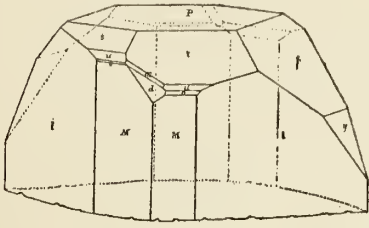


Fig. 243.

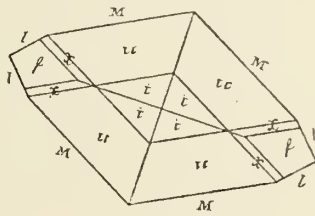
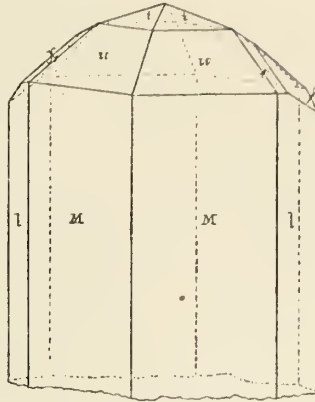


Fig. 244.

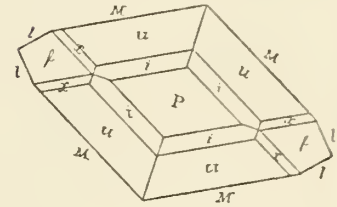
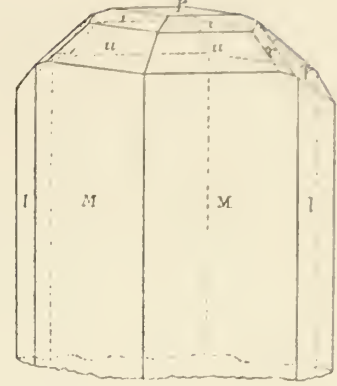


Fig. 245.

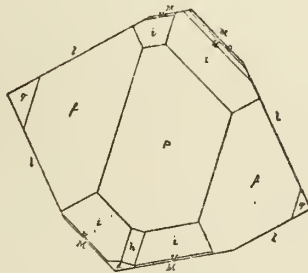
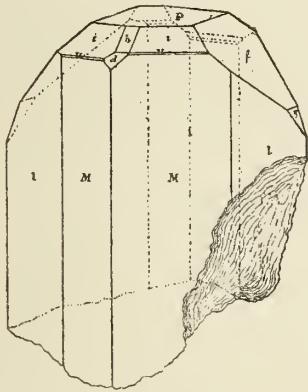


Fig. 246.

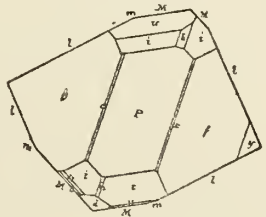
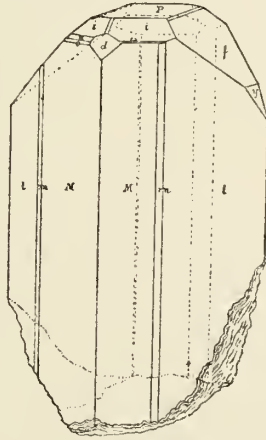


Fig. 247.

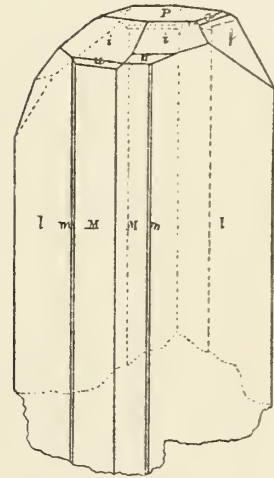
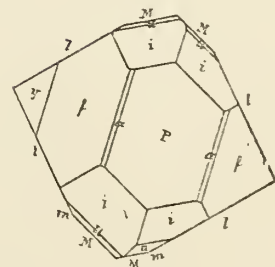
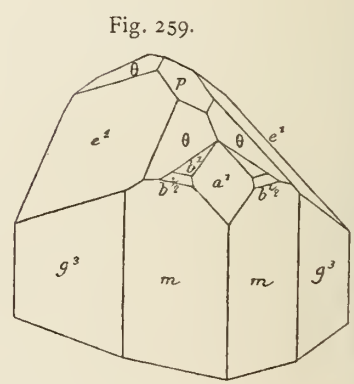
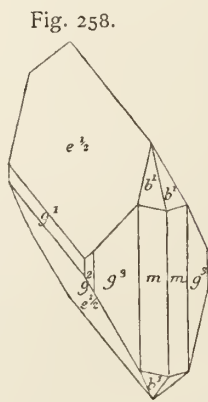
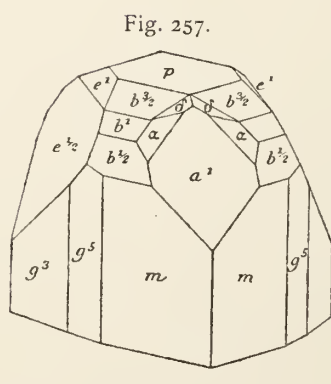
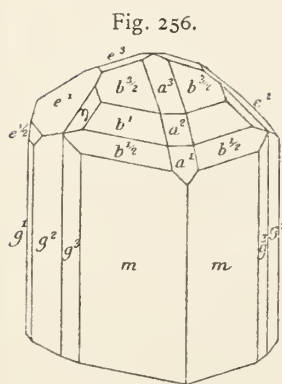
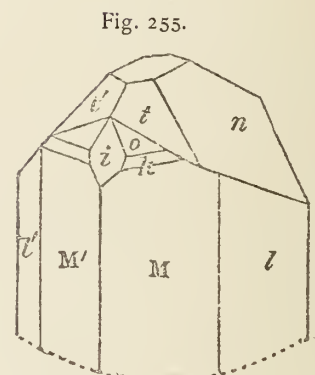
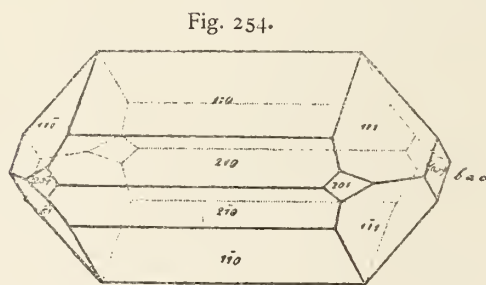
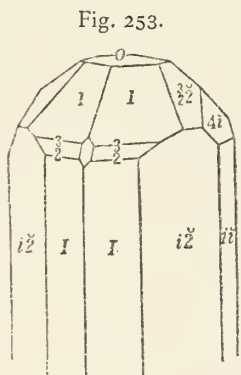
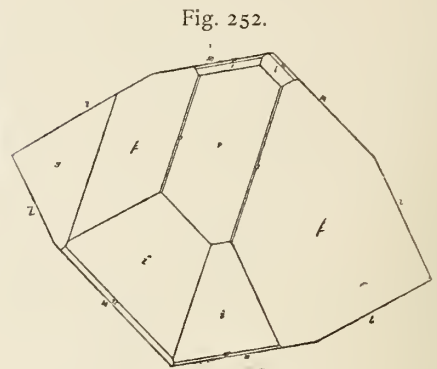
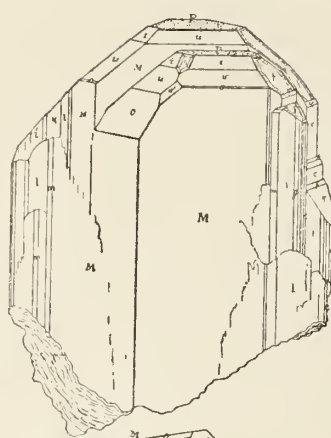
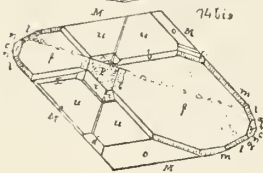
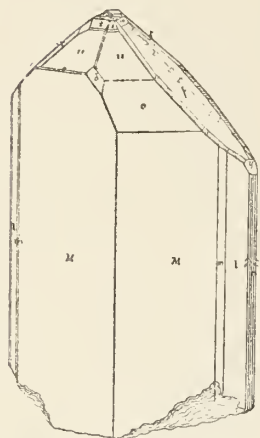
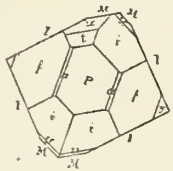
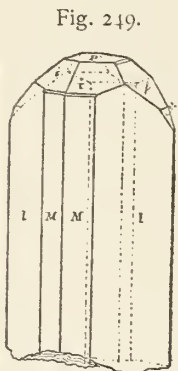


Fig. 248.



Topas



Topas

Fig. 260.

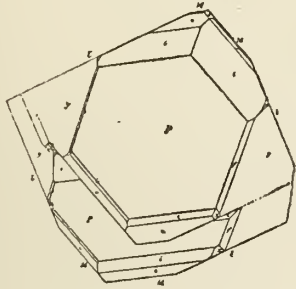
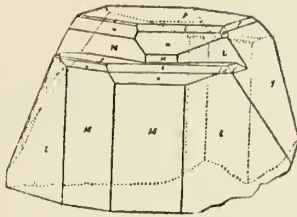


Fig. 261.

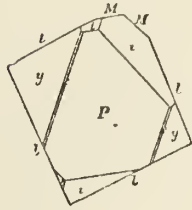
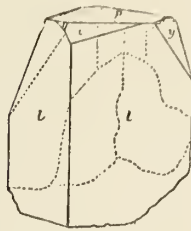


Fig. 262.

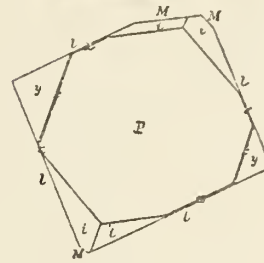
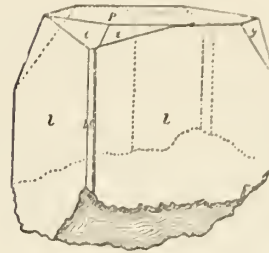


Fig. 263.

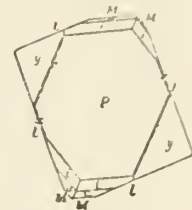


Fig. 264.

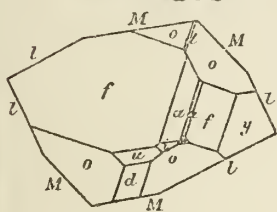
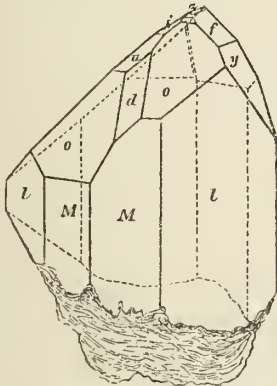


Fig. 265.

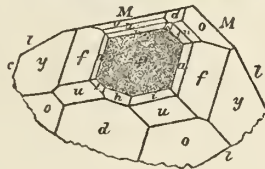
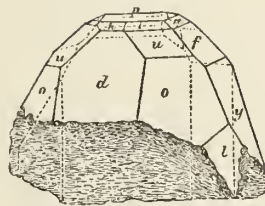


Fig. 266.

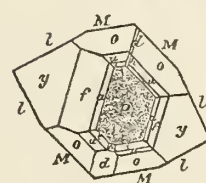
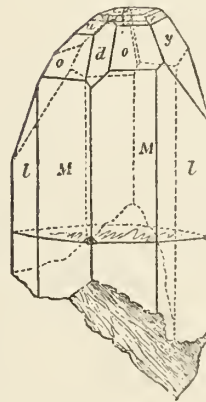


Fig. 267.

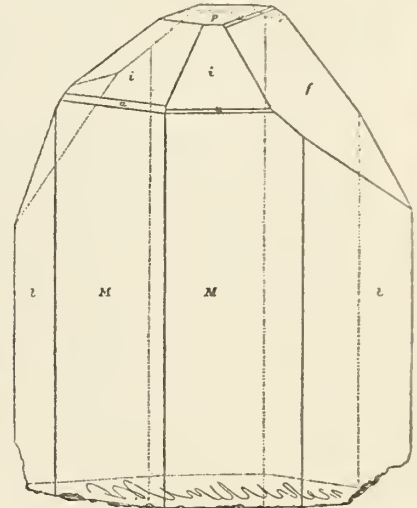


Fig. 268.

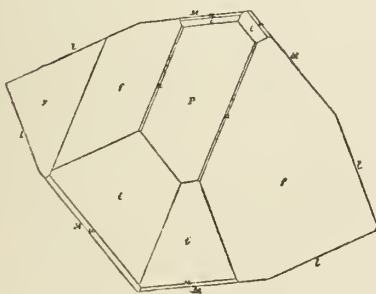


Fig. 269.

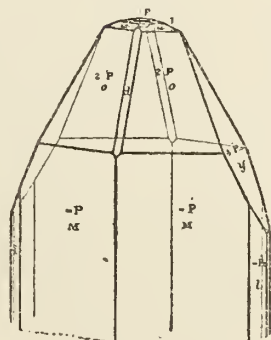
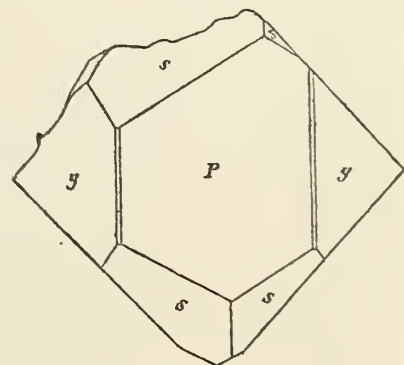


Fig. 270.



Topas

Fig. 271.

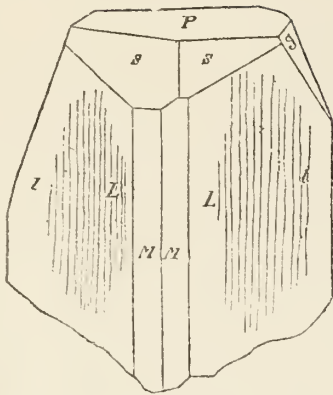


Fig. 272.

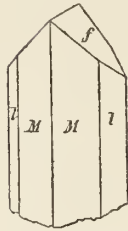


Fig. 273.

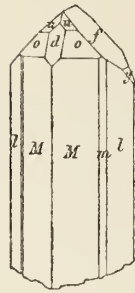


Fig. 274.

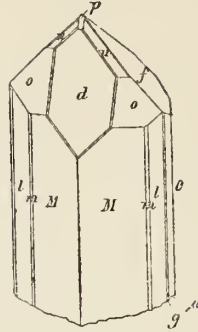


Fig. 275.

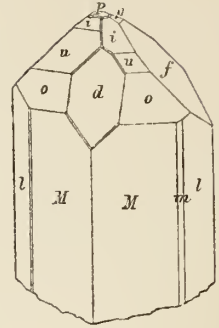


Fig. 276.

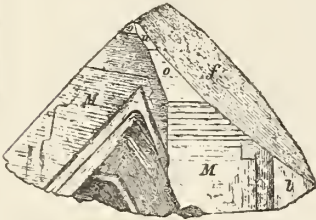


Fig. 277.

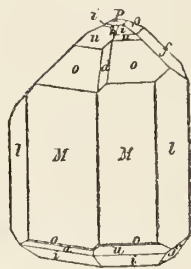


Fig. 278.

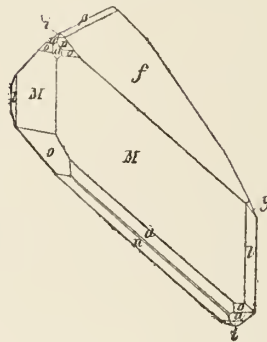


Fig. 279.

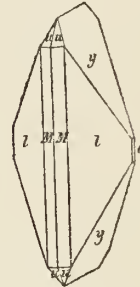


Fig. 280.

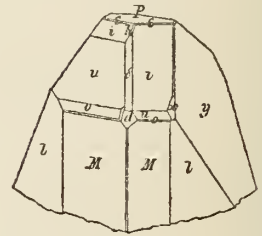


Fig. 281.

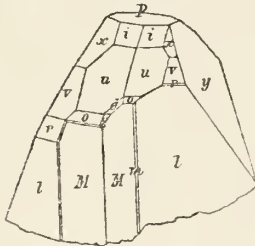


Fig. 282.

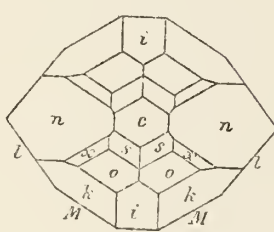


Fig. 283.

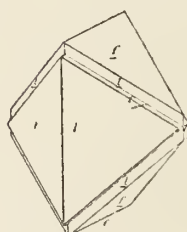


Fig. 284.

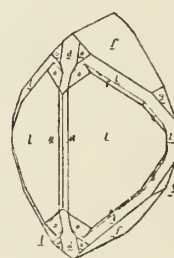


Fig. 285.

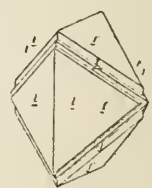


Fig. 286.

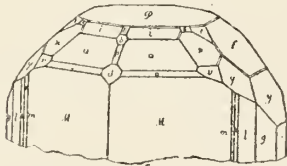


Fig. 287.

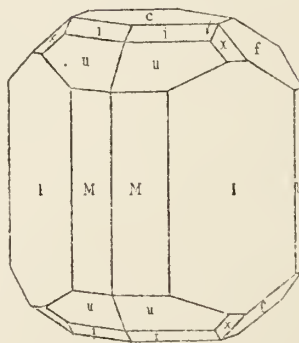


Fig. 289.

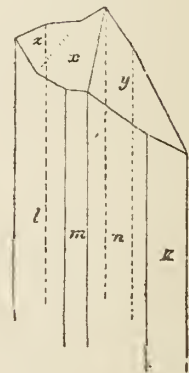


Fig. 290.

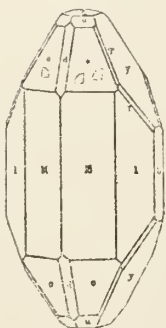


Fig. 291.

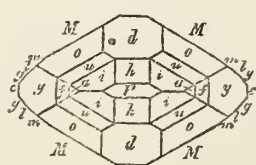


Fig. 292.

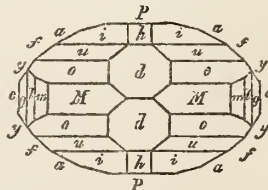
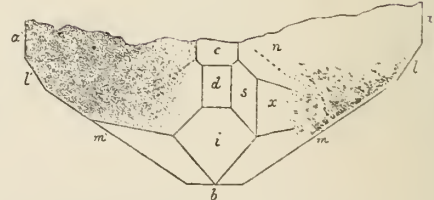


Fig. 293.



Topas

Fig. 294.

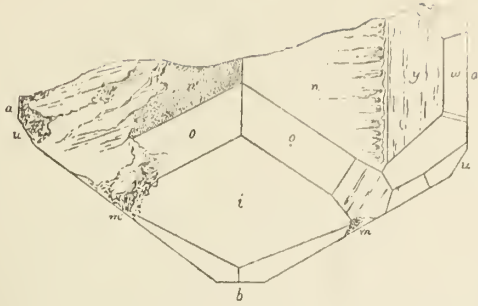


Fig. 295.

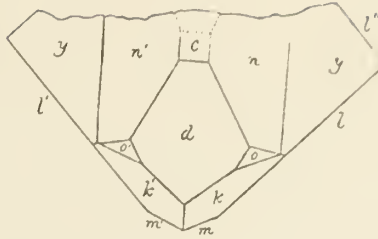


Fig. 296.

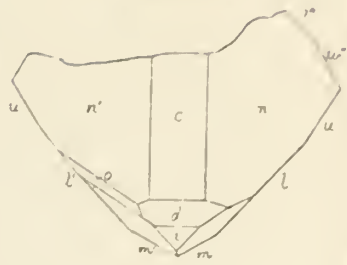


Fig. 297.

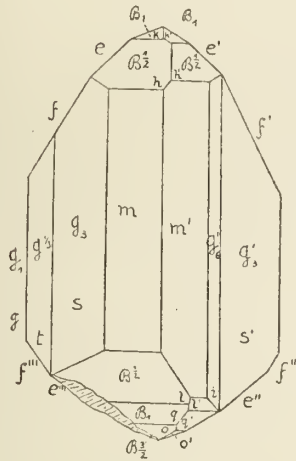


Fig. 298.

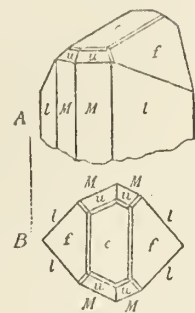


Fig. 299.

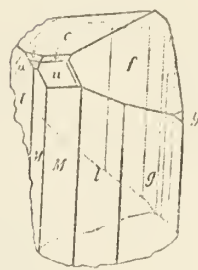


Fig. 300.



Fig. 301.

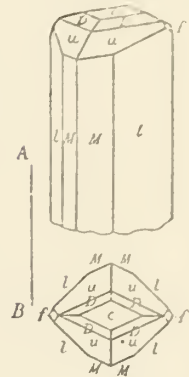


Fig. 302.



Fig. 304.

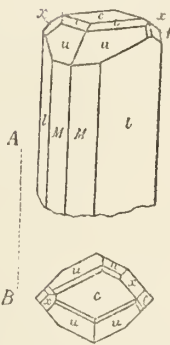


Fig. 305.

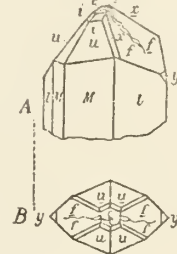


Fig. 306.

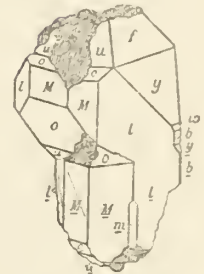


Fig. 303.

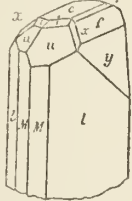


Fig. 307.

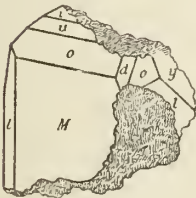


Fig. 308.

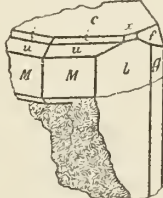


Fig. 309.

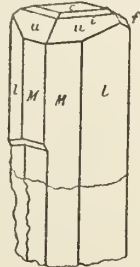


Fig. 310.



Fig. 311.

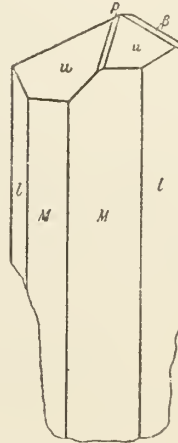


Fig. 312.

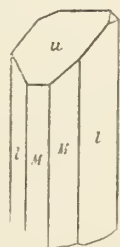


Fig. 313.



Fig. 314.



Fig. 315.



Topas

Fig. 316.

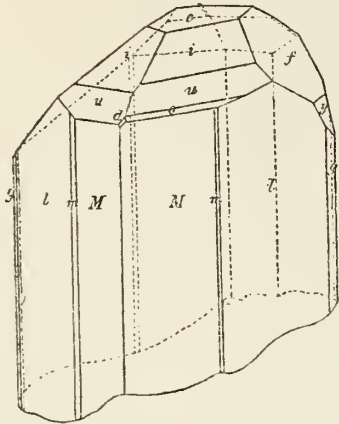


Fig. 317.

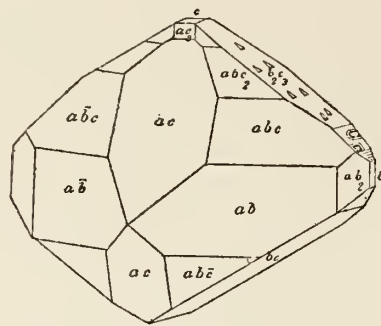


Fig. 318.

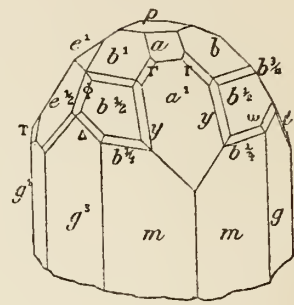


Fig. 321.

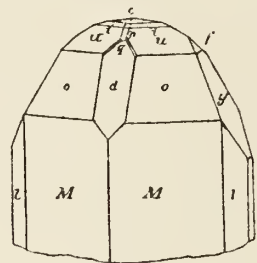


Fig. 322.

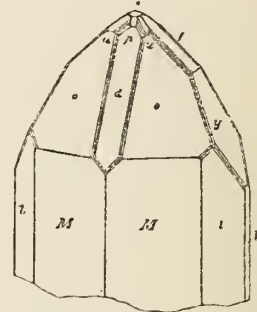


Fig. 320.

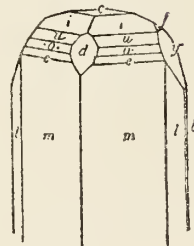


Fig. 319.

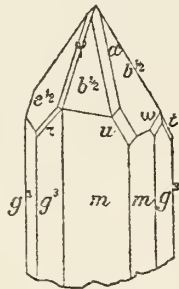


Fig. 323.

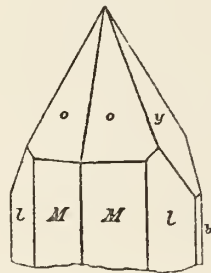


Fig. 324.

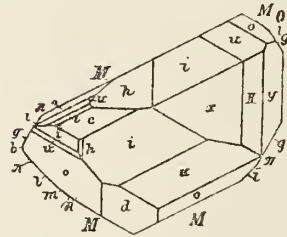


Fig. 325.

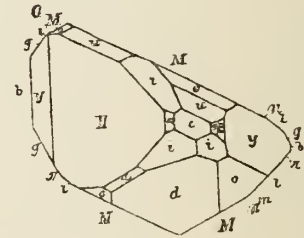


Fig. 326.

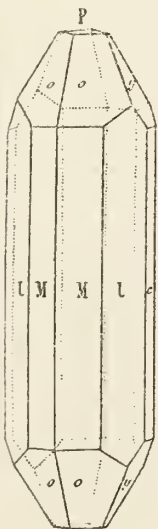


Fig. 327.

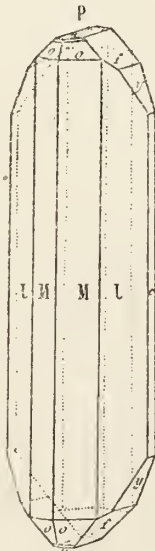


Fig. 328.

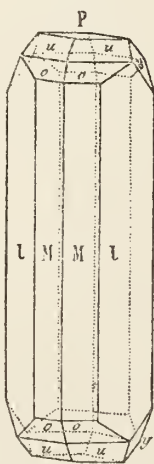


Fig. 329.

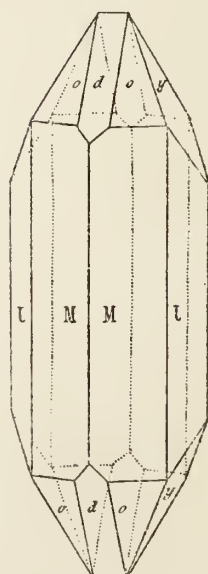


Fig. 330.

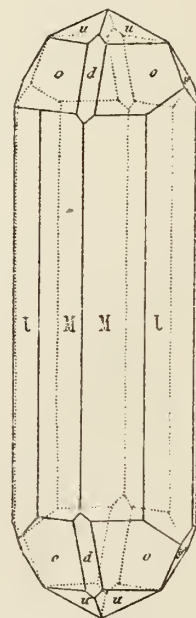


Fig. 331.



Topas

Fig. 332.

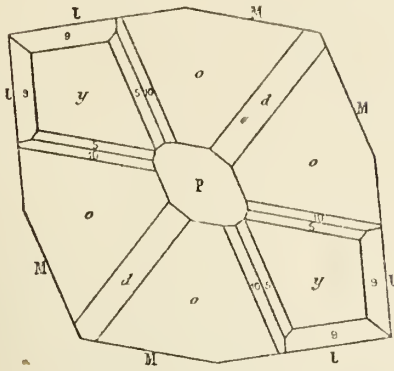


Fig. 333.

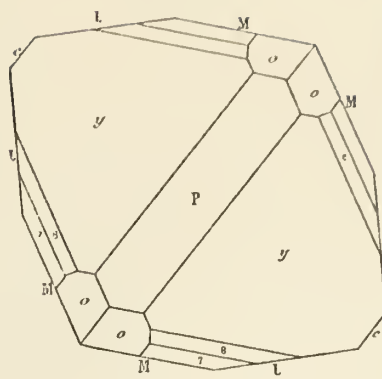


Fig. 334.

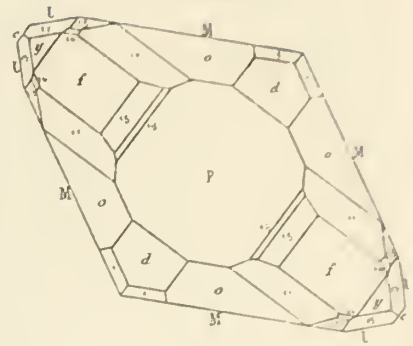


Fig. 335.

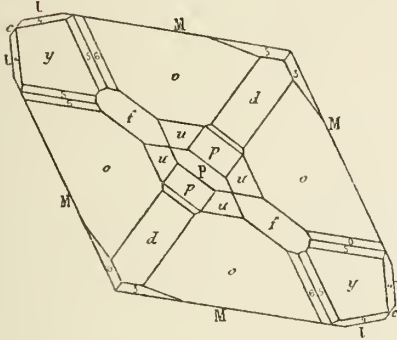


Fig. 336.

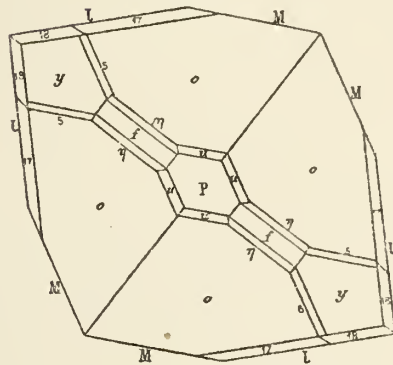


Fig. 337.

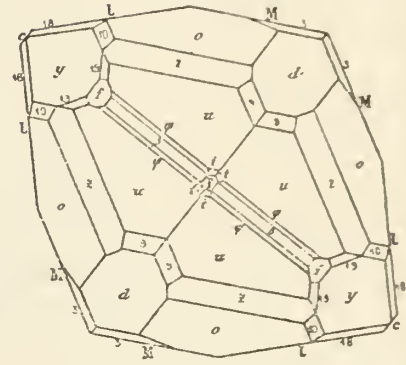


Fig. 338.

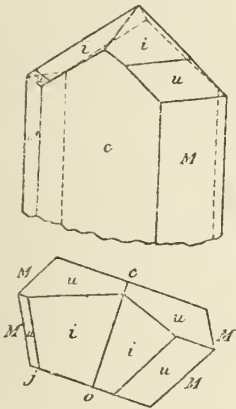


Fig. 339.

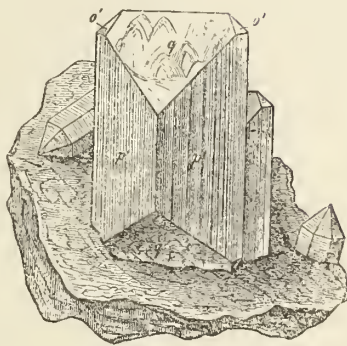


Fig. 340.

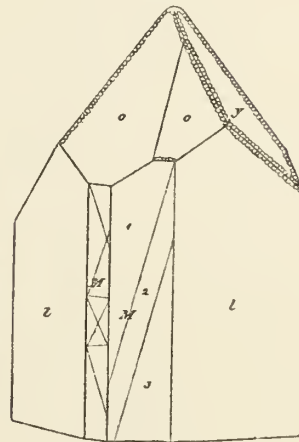


Fig. 341.

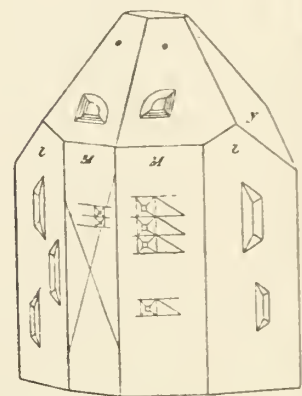


Fig. 342.

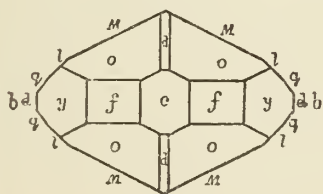


Fig. 343.

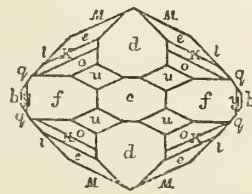


Fig. 344.

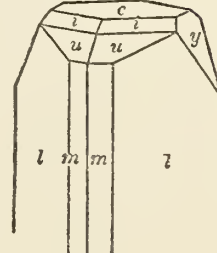
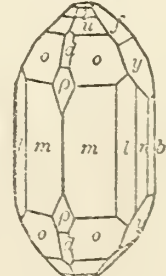


Fig. 345.



Topas

Fig. 346.

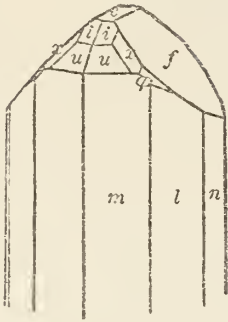


Fig. 347.

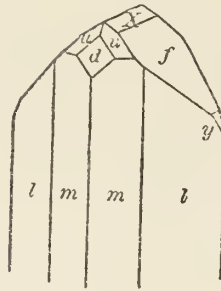


Fig. 348.

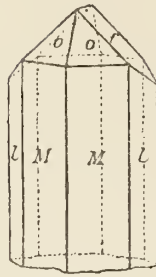


Fig. 349.

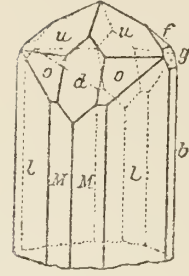


Fig. 350.

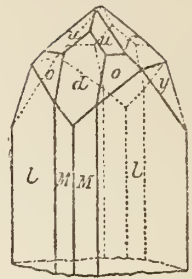


Fig. 351.

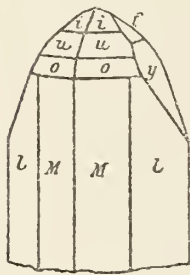


Fig. 352.

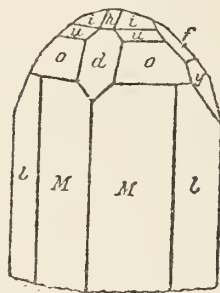


Fig. 353.

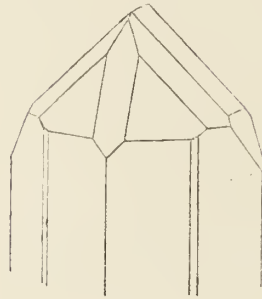


Fig. 354.

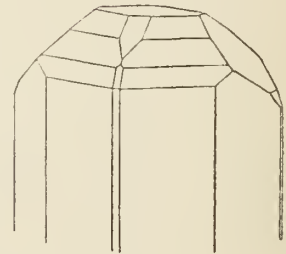


Fig. 355.

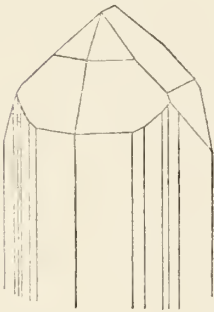


Fig. 356.

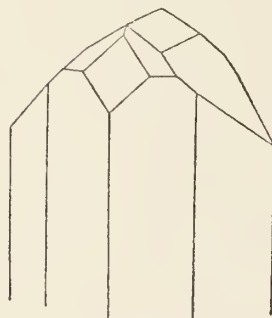


Fig. 357.

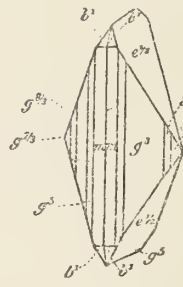


Fig. 358.

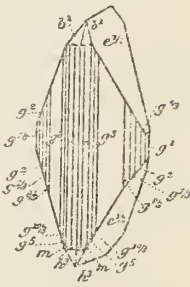


Fig. 359.

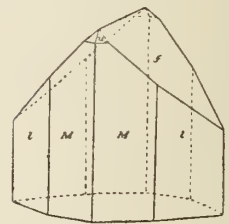


Fig. 362.

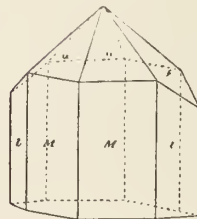


Fig. 363.

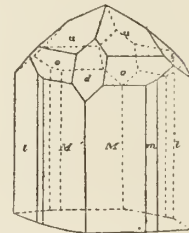


Fig. 364.

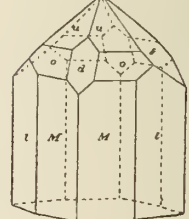


Fig. 360.

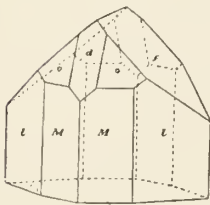


Fig. 361.

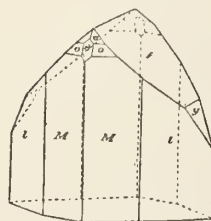


Fig. 368.

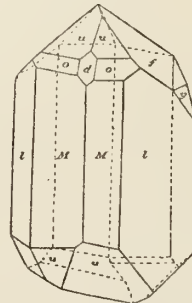


Fig. 365.

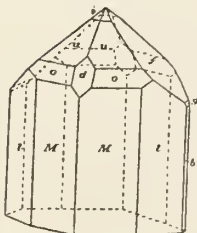


Fig. 366.

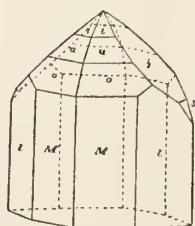


Fig. 367.

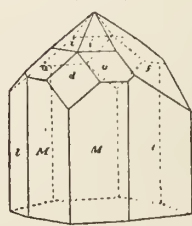
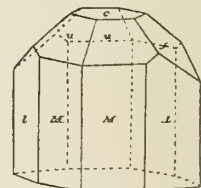


Fig. 369.



Topas

Fig. 370.

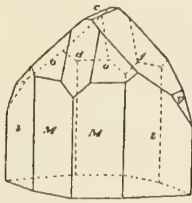


Fig. 371.

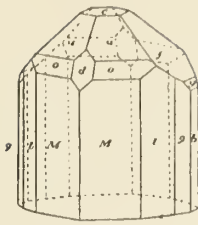


Fig. 372.

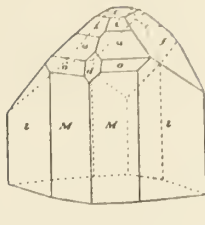


Fig. 373.



Fig. 374.



Fig. 375.

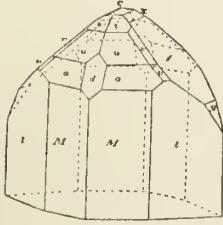


Fig. 376.

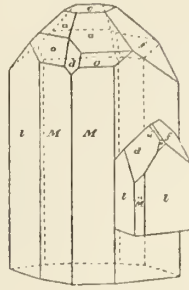


Fig. 377.

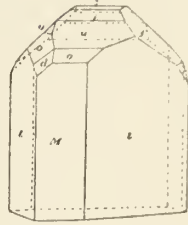


Fig. 378.



Fig. 379.

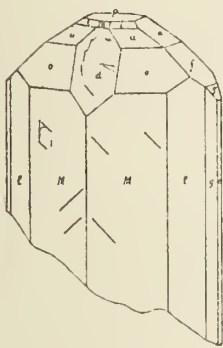


Fig. 380.

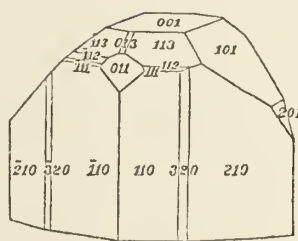


Fig. 381.

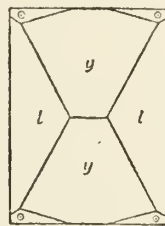


Fig. 382.

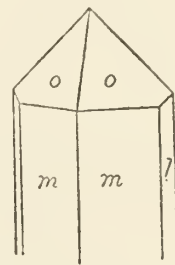


Fig. 383.

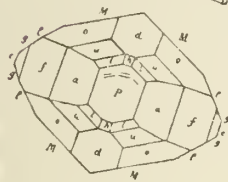
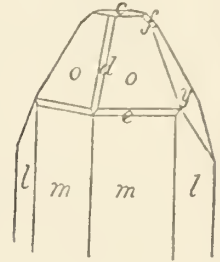


Fig. 384.

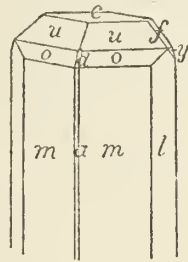


Fig. 385.

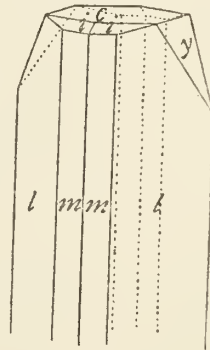


Fig. 386.

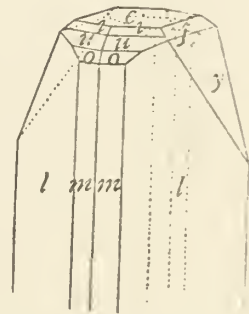


Fig. 387.

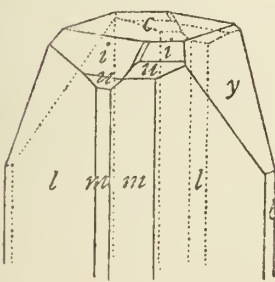


Fig. 388.

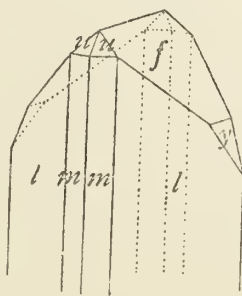


Fig. 389.

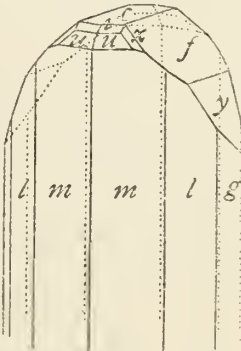
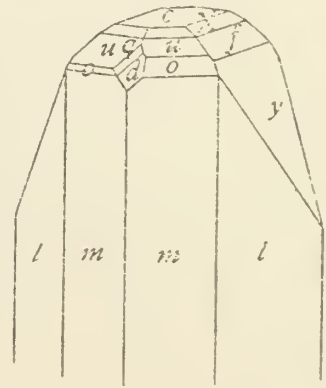


Fig. 390.



Topas

Fig. 391.

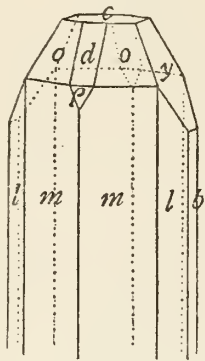


Fig. 392.

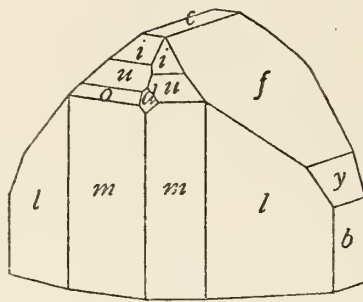


Fig. 393.

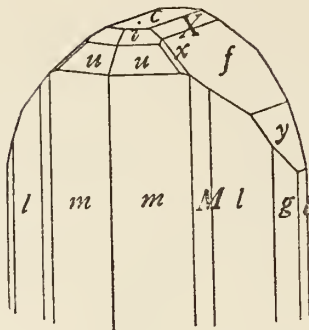


Fig. 394.

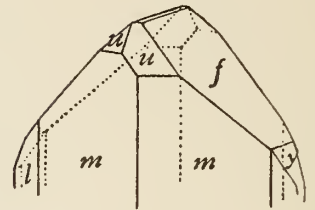


Fig. 395.

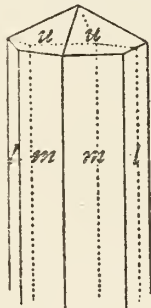


Fig. 396.

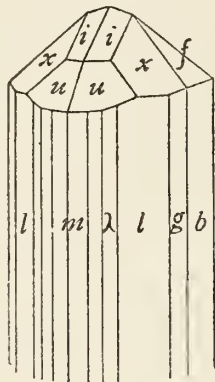


Fig. 397.

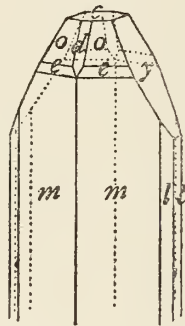


Fig. 398.

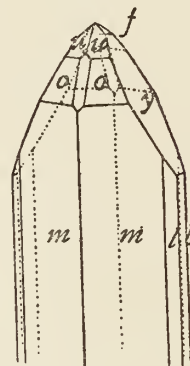


Fig. 399.

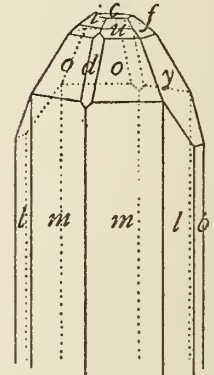


Fig. 400.

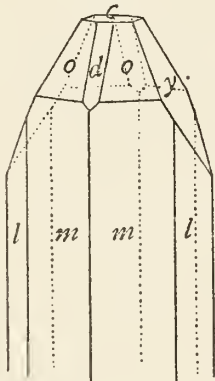


Fig. 402.

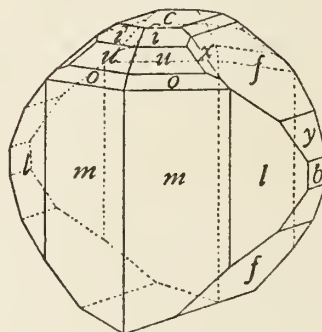


Fig. 401.

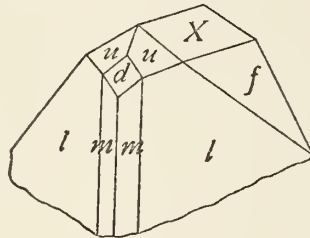


Fig. 403.

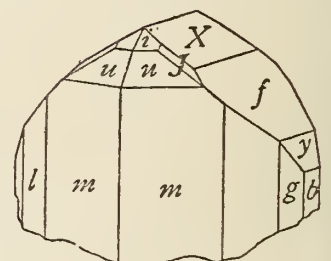


Fig. 404.

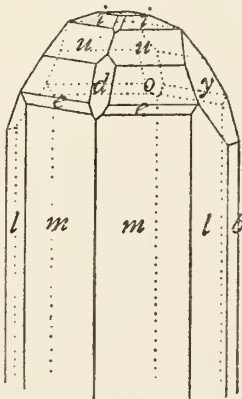


Fig. 405.

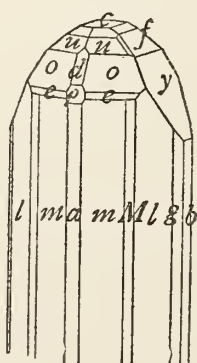


Fig. 406.

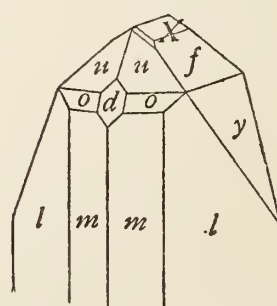
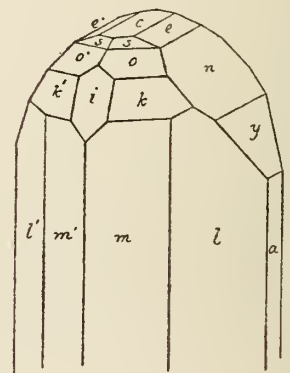
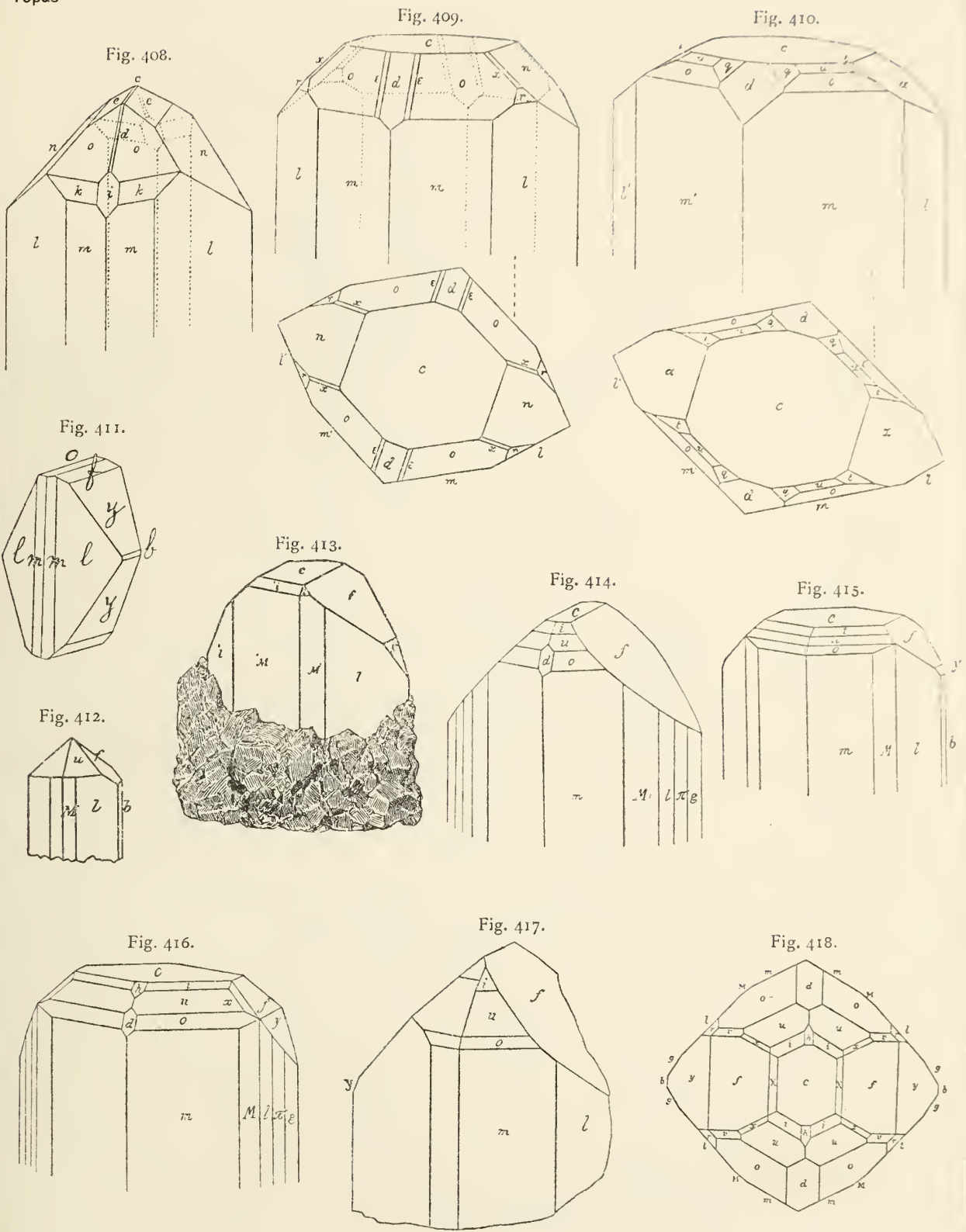


Fig. 407.



Topas



Topas

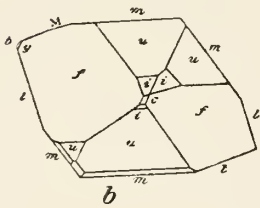
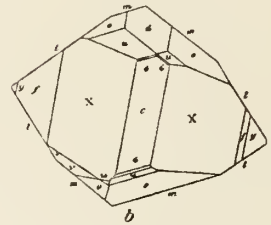
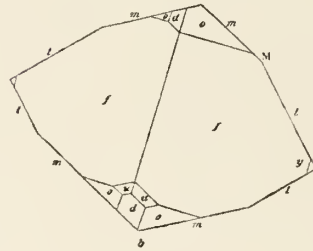
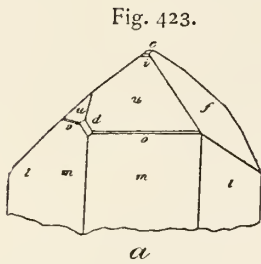
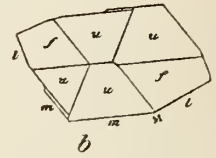
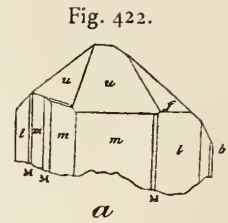
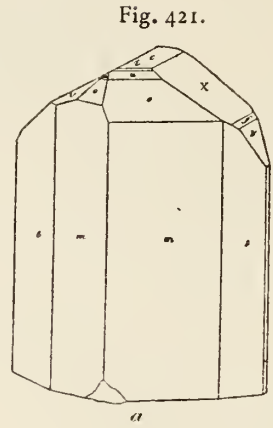
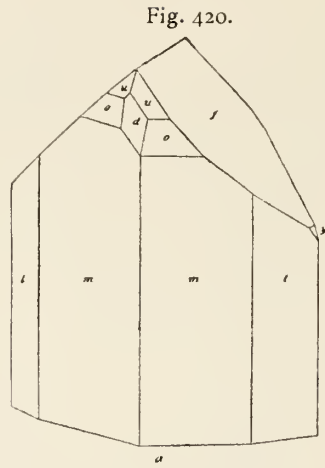
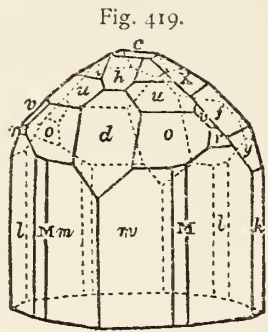


Fig. 425.

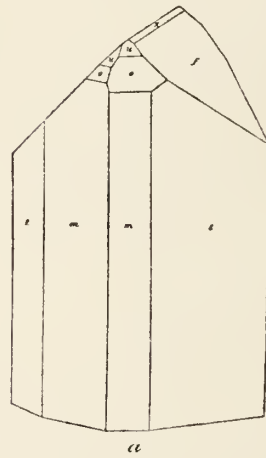


Fig. 426.

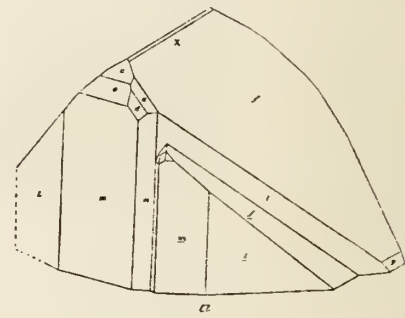
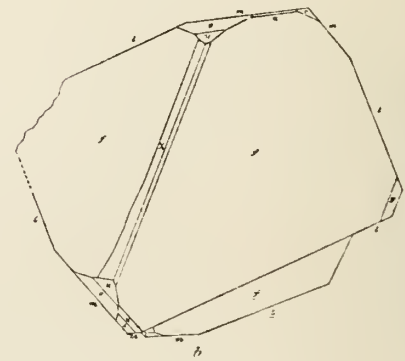
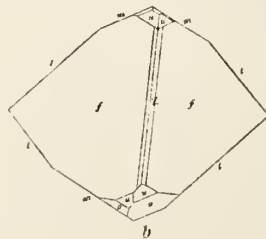
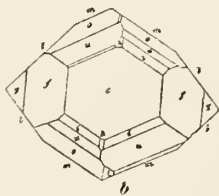
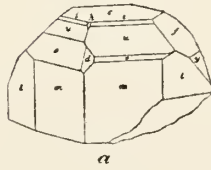


Fig. 424.



Topas

Fig. 427.

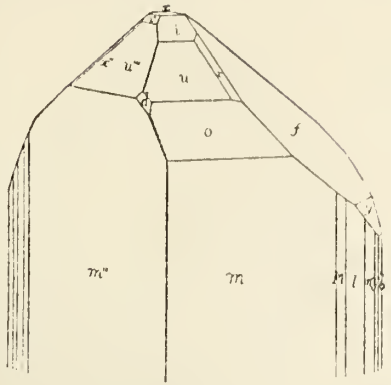


Fig. 428.

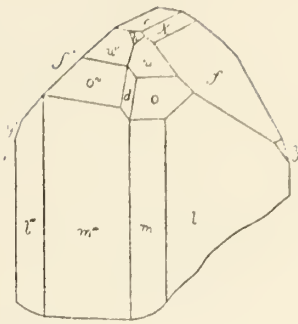


Fig. 429.

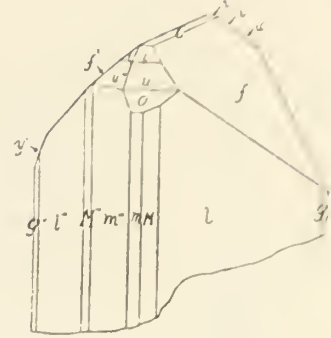


Fig. 430.

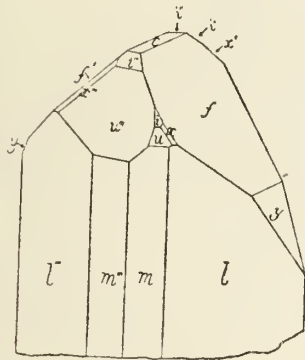


Fig. 431.

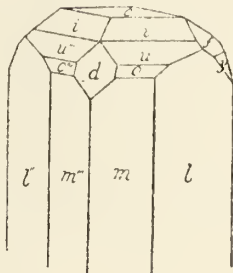


Fig. 432.

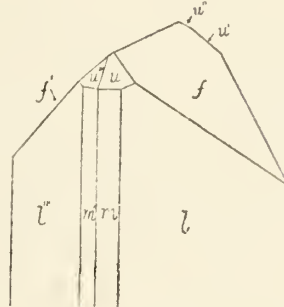


Fig. 433.

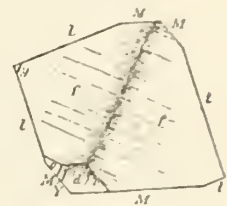


Fig. 435.

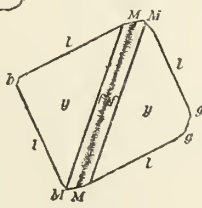


Fig. 436.

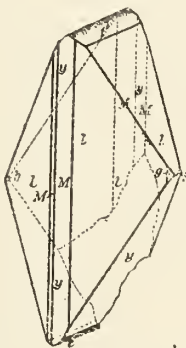


Fig. 437.

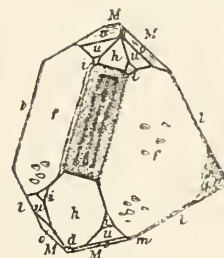


Fig. 434.

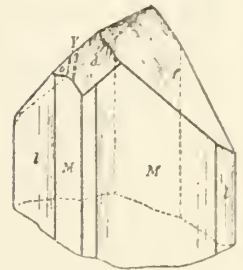


Fig. 439.

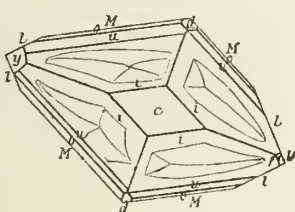


Fig. 438.

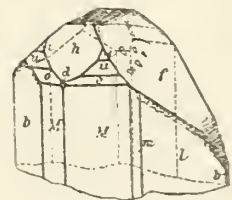


Fig. 440.

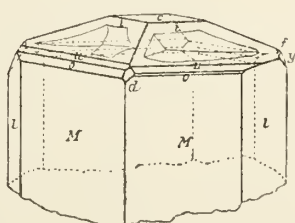


Fig. 441.

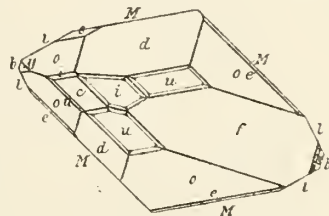


Fig. 442.

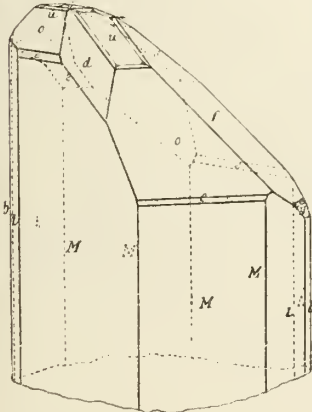


Fig. 445.

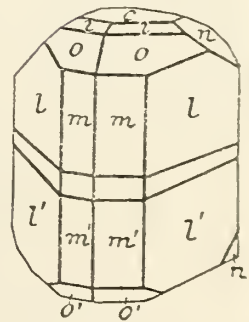


Fig. 443.

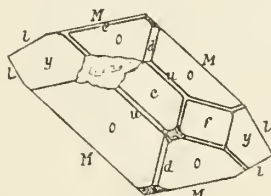
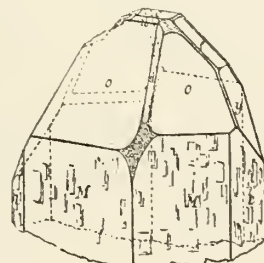


Fig. 444.



Topas

Fig. 446.

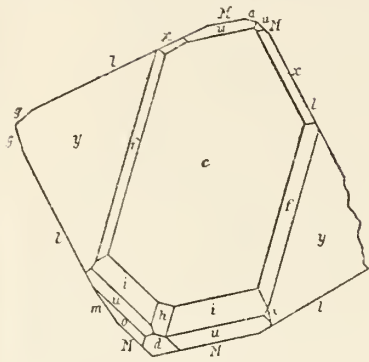


Fig. 447.

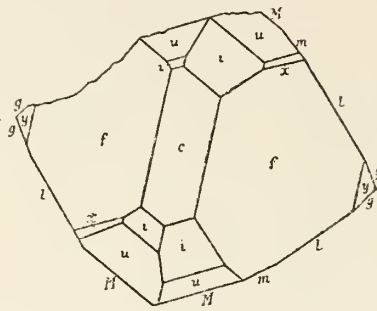


Fig. 448.

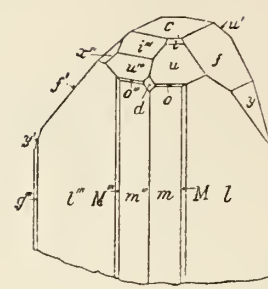


Fig. 449.

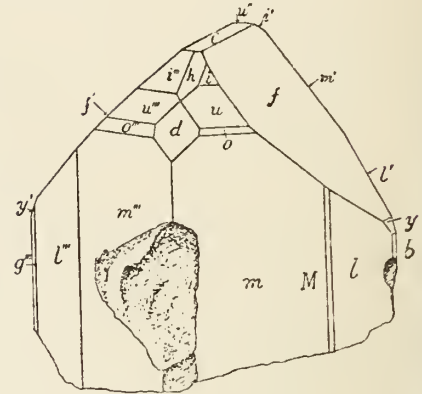


Fig. 451.

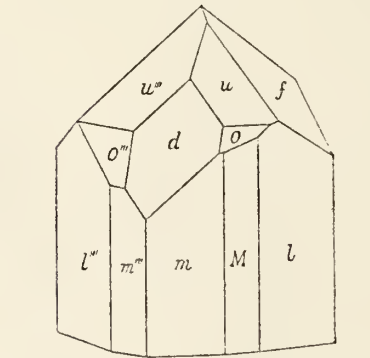


Fig. 450.

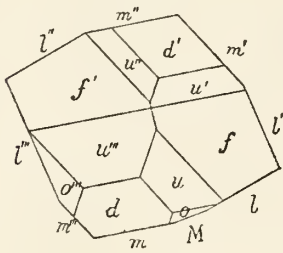


Fig. 452.

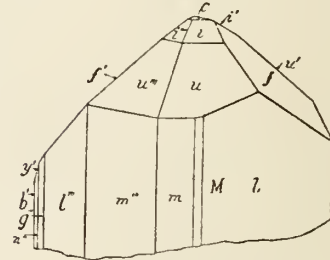


Fig. 453.

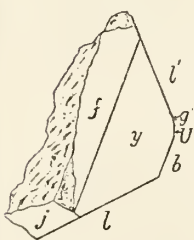


Fig. 454.

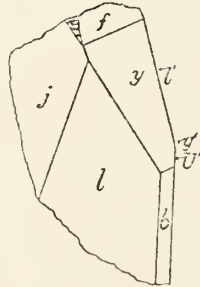


Fig. 456.

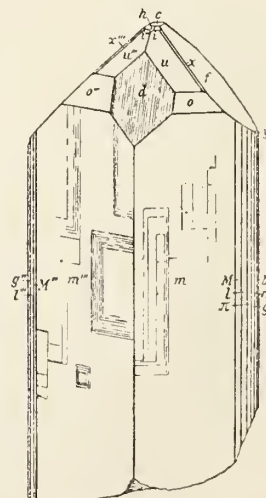


Fig. 457.

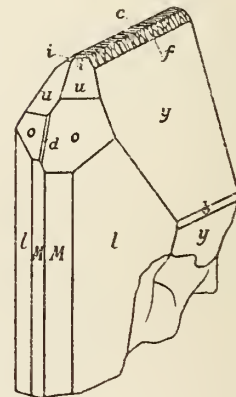
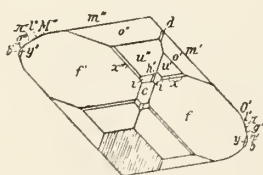


Fig. 455.



Topas

Fig. 458.

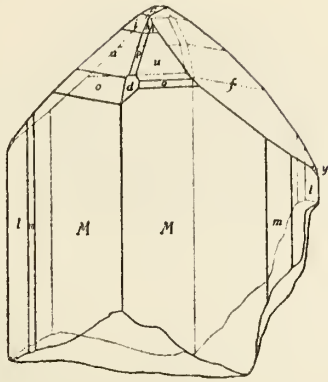


Fig. 460.

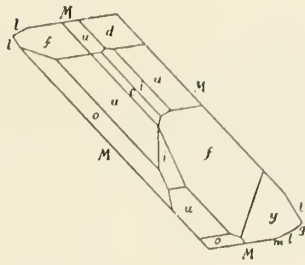


Fig. 461.

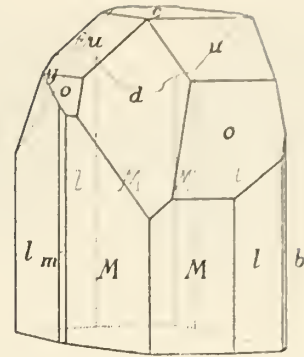


Fig. 459.

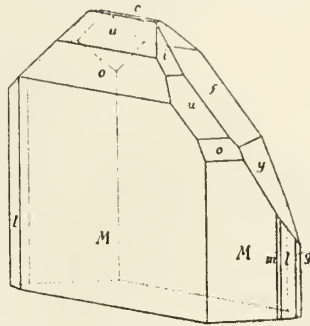
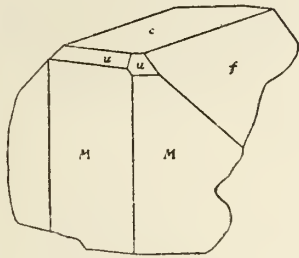


Fig. 462.

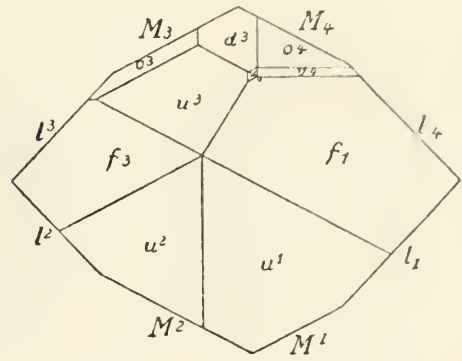


Fig. 463.

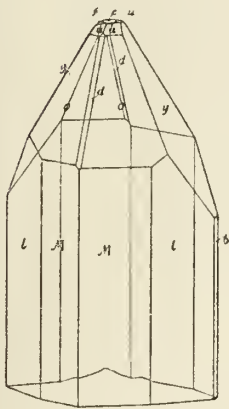


Fig. 465.

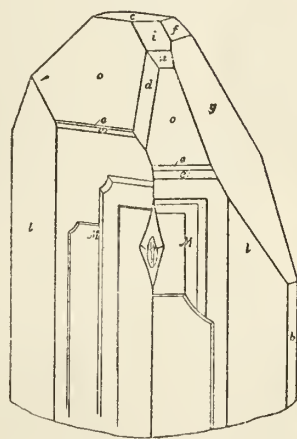


Fig. 466.

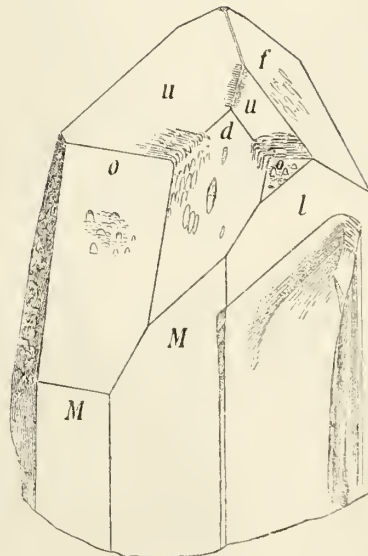


Fig. 467.

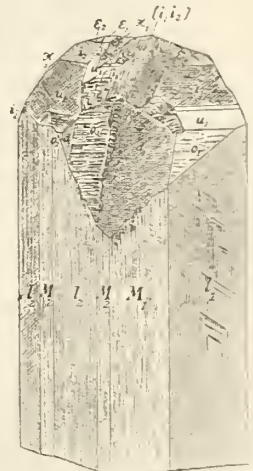
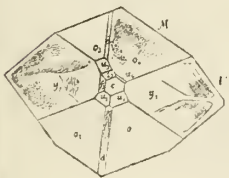


Fig. 464.



Topas

Fig. 468.

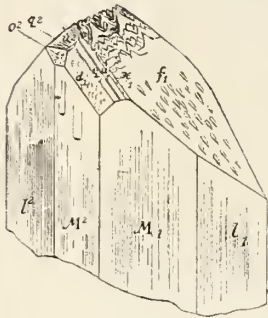


Fig. 469.

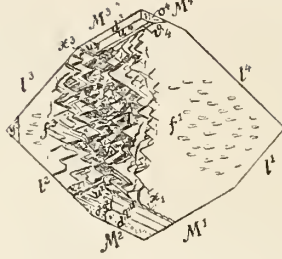


Fig. 470.

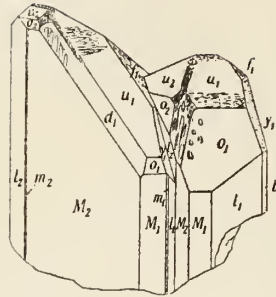


Fig. 471.

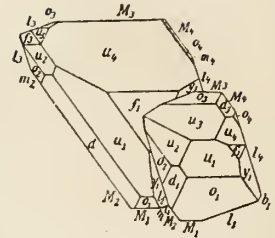


Fig. 472.

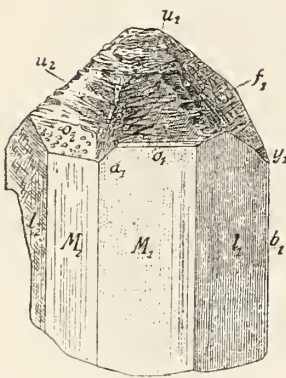


Fig. 473.

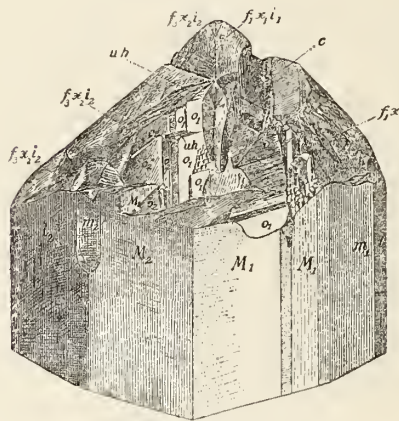


Fig. 474.

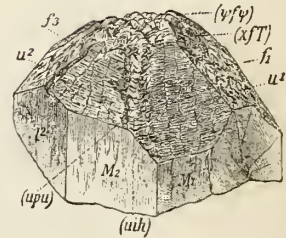


Fig. 475.

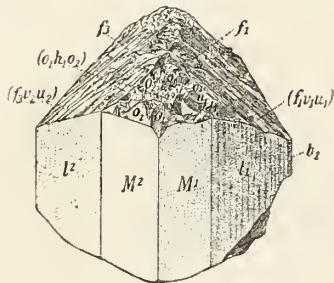


Fig. 476.



Fig. 477.

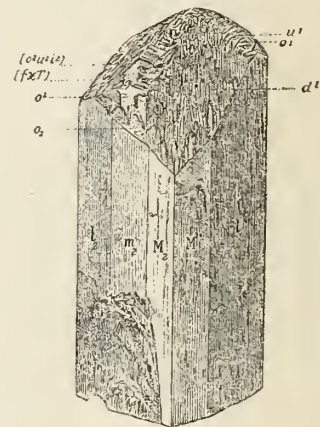


Fig. 478.

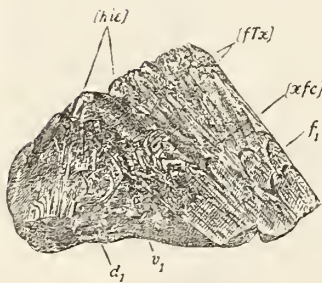


Fig. 479.

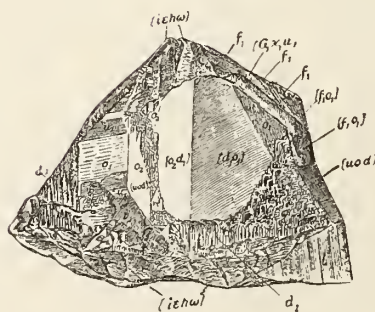
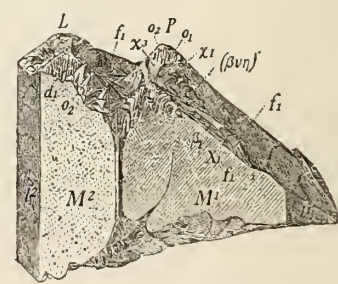


Fig. 480.



Topas

Fig. 481.

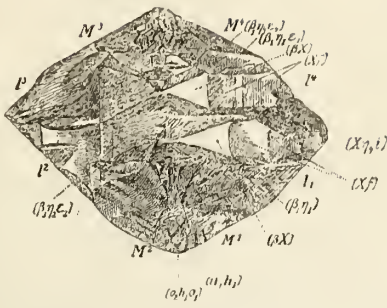


Fig. 482.

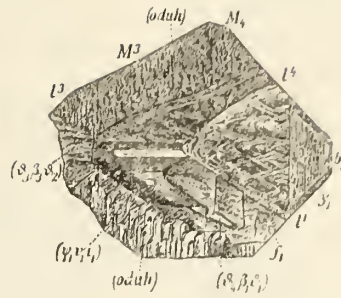


Fig. 483.

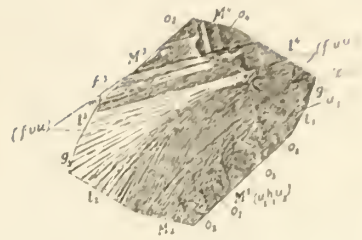


Fig. 484.

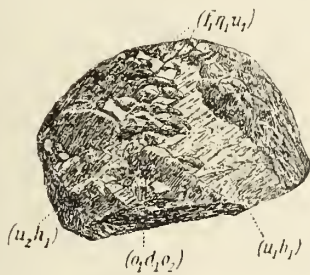


Fig. 486.

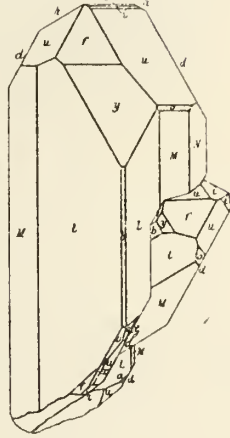


Fig. 487.

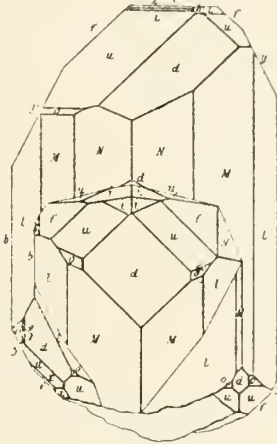


Fig. 488.

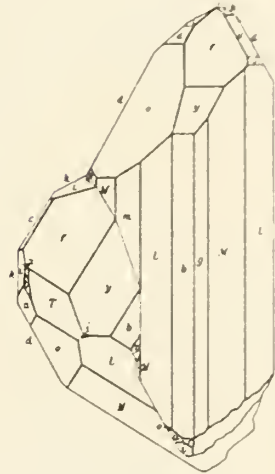


Fig. 485.

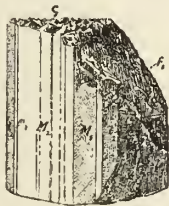


Fig. 490.

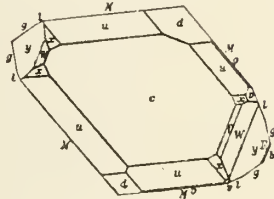


Fig. 491.

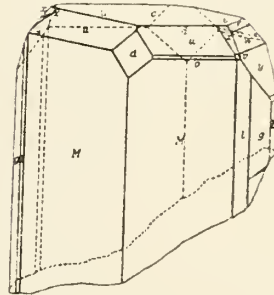


Fig. 492.

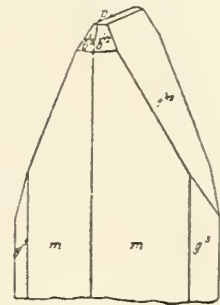


Fig. 489.

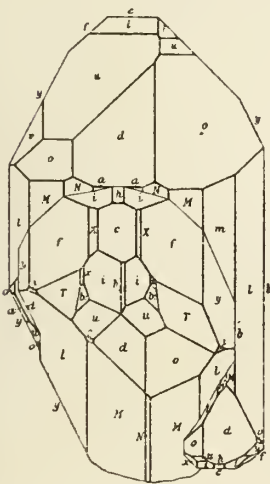


Fig. 493.

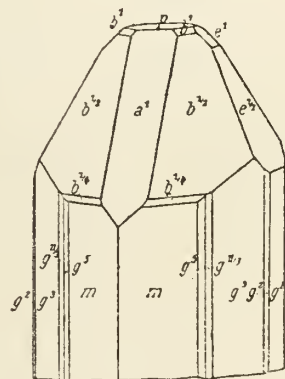


Fig. 494.

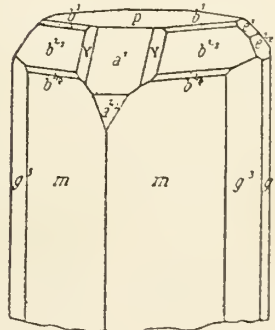
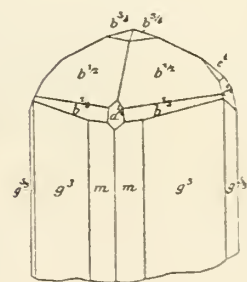


Fig. 495.



Topas

Fig. 496.

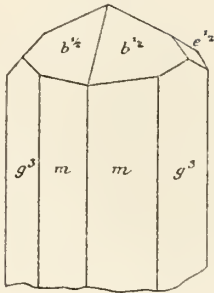


Fig. 497.

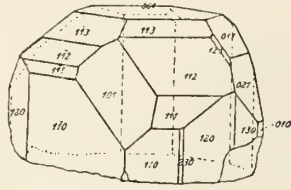


Fig. 498.

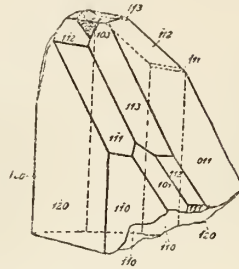


Fig. 499.

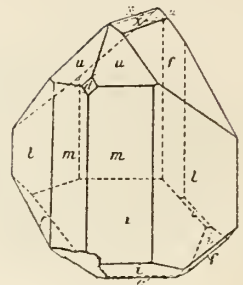


Fig. 500.

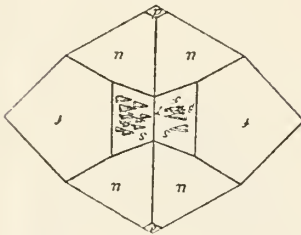


Fig. 501.

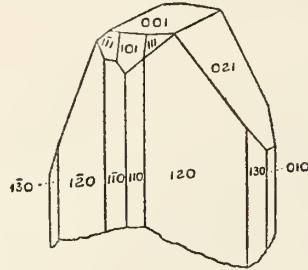


Fig. 502.

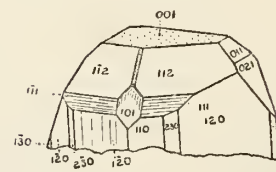


Fig. 503.

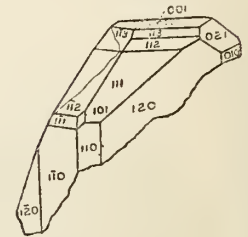


Fig. 504.

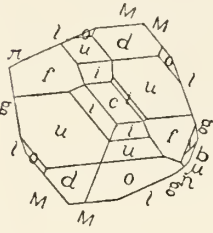


Fig. 505.

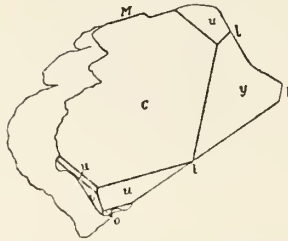


Fig. 506.

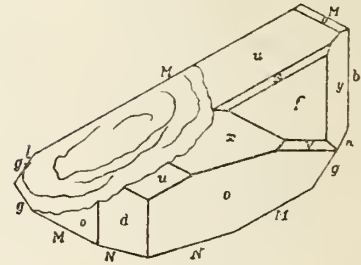
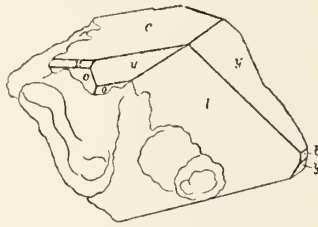
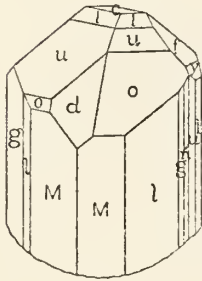
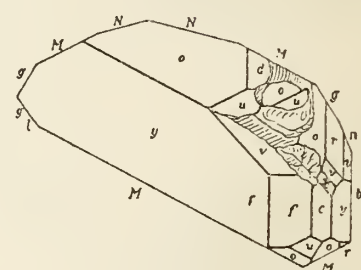
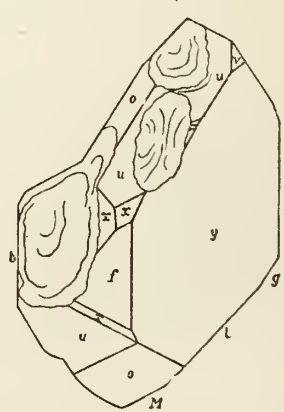
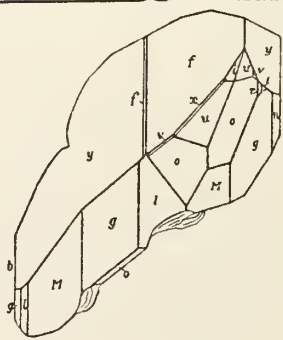
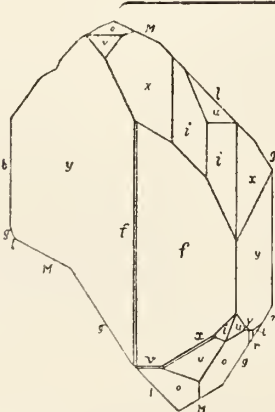


Fig. 507.



Topas

Fig. 508.

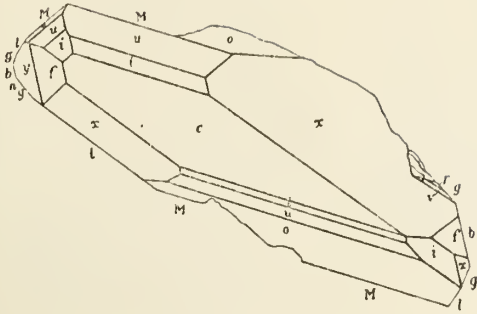


Fig. 509.

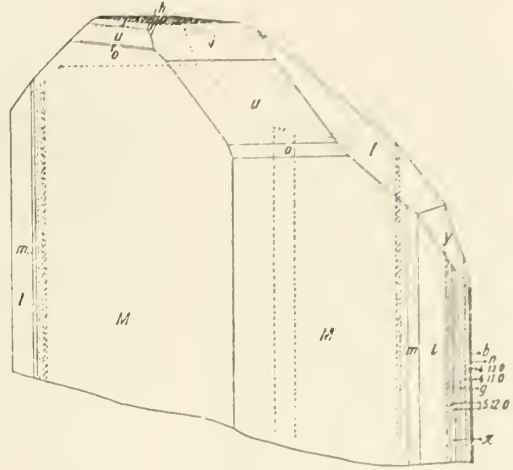


Fig. 510.

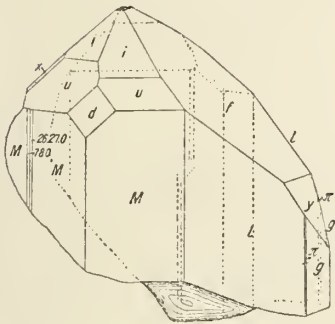


Fig. 511.

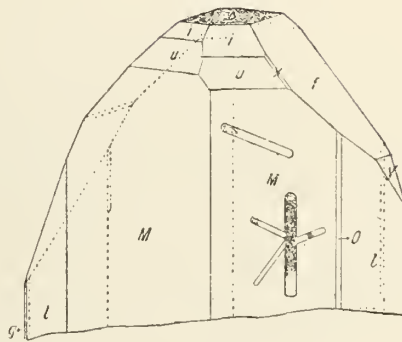
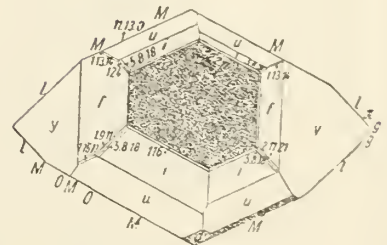
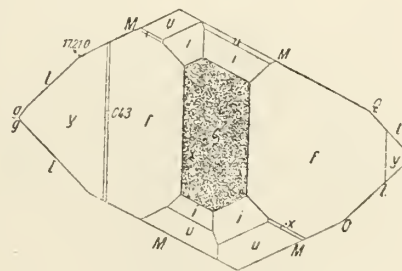
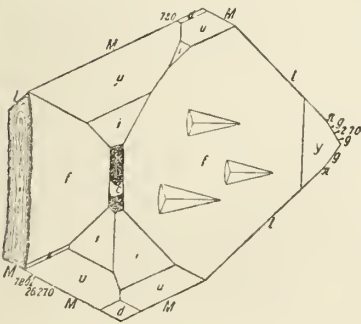
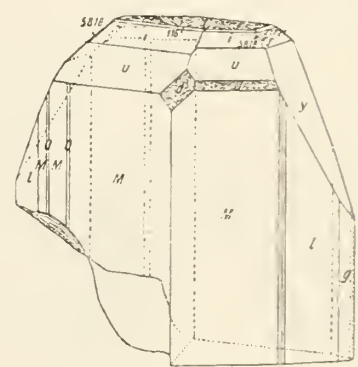


Fig. 512.



Topas

Fig. 528.

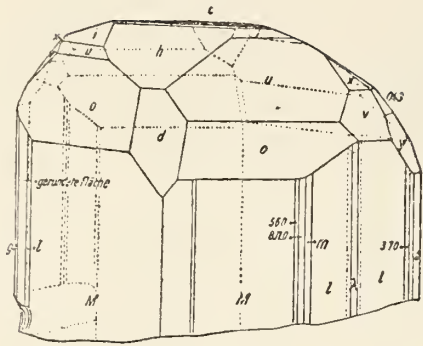


Fig. 529.

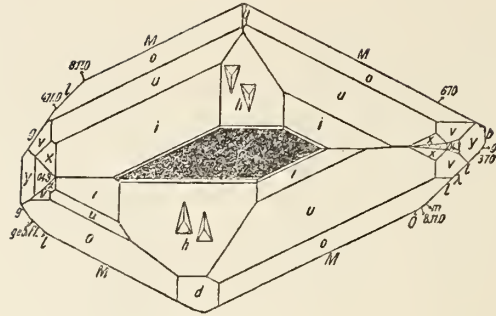


Fig. 530.

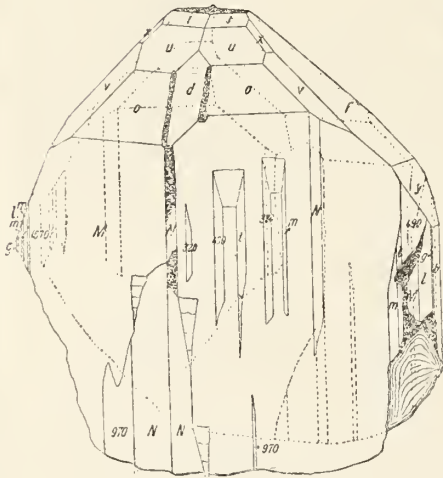


Fig. 531.

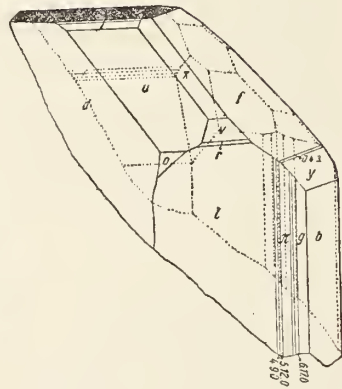
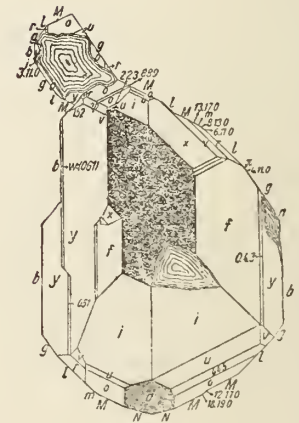
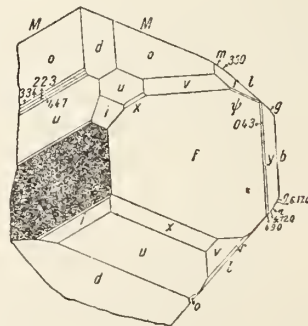
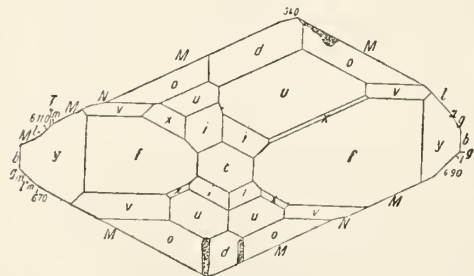
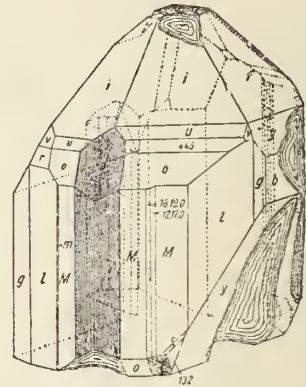


Fig. 532.



Topas

Fig. 533.

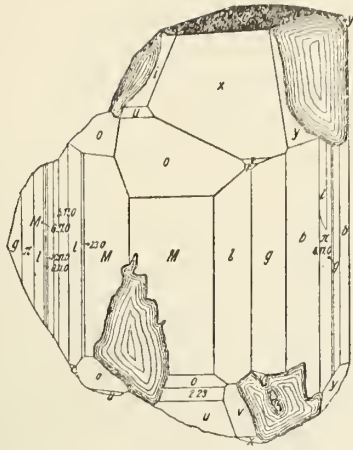


Fig. 534.

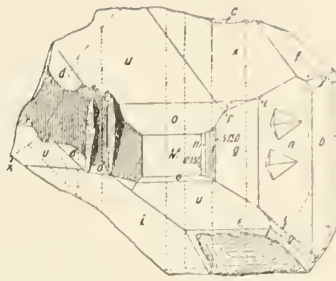


Fig. 535.

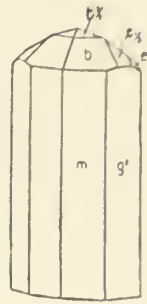


Fig. 536.

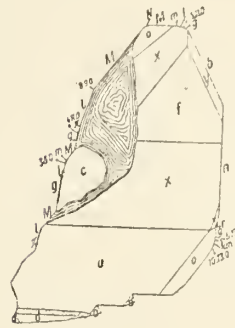
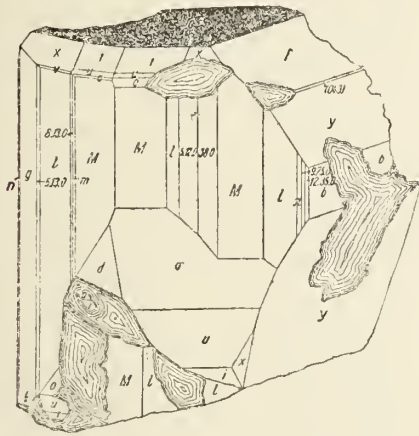
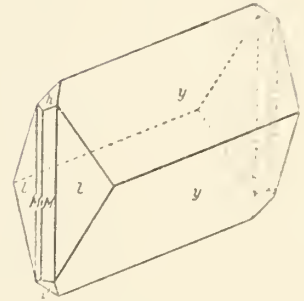


Fig. 537.

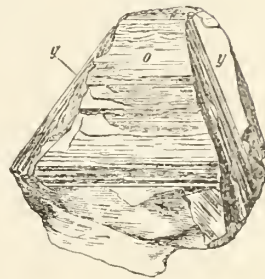


Fig. 539.

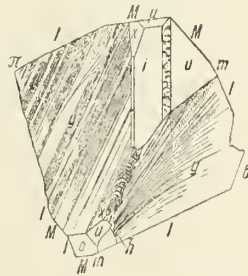


Fig. 538.

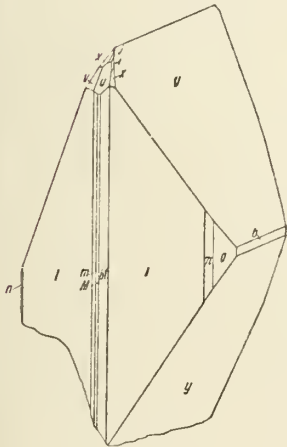


Fig. 540.

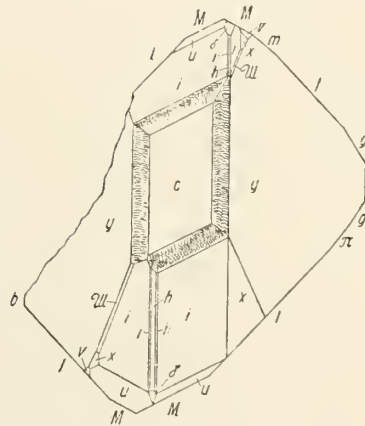
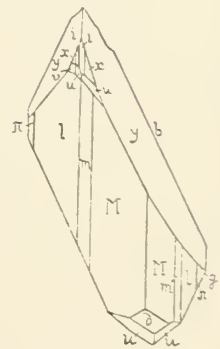


Fig. 541.



C. F. Wintersche Buchdruckerei.

BINDING LIST JUN 18 1944

5-8
G572
A



